

Міністерство освіти і науки України  
Івано-Франківський національний технічний  
університет нафти і газу

На правах рукопису

**Кольцов Сергій Віталійович**

**УДК 550.834.05 (477.7)**

**«Сейсмостратиграфічні критерії вивчення глибинної будови та  
перспективи нафтогазоносності Північнокримського прогину  
і прилеглих територій»**

Спеціальність 04.00.22 - геофізика

Дисертація на здобуття наукового ступеня  
**кандидата геологічних наук**

Науковий керівник  
Степанюк Василь Петрович  
кандидат геолого-мінералогічних  
наук, професор

м. Івано-Франківськ - 2007 р.



д 315

## ЗМІСТ

	Стор.
Вступ	5
Розділ 1 Стан та проблеми геолого-геофізичної вивченості Північнокримського прогину і прилеглих територій з позицій сейсмостратиграфії	10
Висновки	32
Розділ 2 Сейсмостратиграфічна та геолого-геофізична моделі Південного регіону України	34
2.1 Принципи сейсмостратиграфічного розчленування розрізу	34
2.2 Літолого-стратиграфічна характеристика СЛП Південного регіону	37
2.3 Геолого-геофізична модель	45
2.4 Сейсмостратиграфічна модель	56
2.4.1 Придбруджинський прогин	57
2.4.2 Каркінітсько-Північнокримський прогин	78
2.4.3 Індоро-Кубанський прогин	96
Висновки	125
Розділ 3 Сейсмостратиграфічні критерії визначення типів тектонічних порушень	129
3.1 Типові моделі тектонічних порушень	129
3.2 Сейсмостратиграфічні критерії визначення типів тектонічних порушень	135
3.2.1 Скиди	137
3.2.2 Підкиди та підкидо-насуви	147
3.2.3 Насуви	154

3.2.4	Гравігенно-тектонічні зриви	157
3.2.5	Інверсійні розриви	160
	Висновки	168
 Розділ 4	Особливості геологічної будови Північнокримського рифтогенного прогину	171
4.1	Тектонічна будова	172
4.1.1	Бортові палеоскіди	176
4.1.2	Складові тектонічні елементи рифту	180
4.2	Особливості будови східної центрикліналі	186
4.3	Геологічна будова літодинамічних комплексів крейдового віку	194
	Висновки	200
 Розділ 5	Перспективи нафтогазоносності відкладів крейдового віку та напрямки геофізичних робіт	203
5.1	Сейсмостратиграфічна класифікація нафтогазоперспектив- них структур	203
5.2	Принципи розміщення нафтогазоперспективних структур	206
5.3	Першочергові напрямки геофізичних робіт	215
	Висновки	226
	Висновки	229
	Список використаних джерел	236

**ПЕРЕЛІК УМОВНИХ ПОЗНАЧЕНЬ, СИМВОЛІВ,  
ОДИНИЦЬ, СКОРОЧЕНЬ І ТЕРМІНІВ**

АВПТ	Аномально високий пластовий тиск
ВНК	Водо-нафтовий контакт
ВТ	Вулканогенно-теригенний
ГВК	Газо-водяний контакт
Гл. покр.	Покрівля глин
К	Карбонатний
КП	Карбонатна плита
КССК	Квазисинхронний сейсмічний седиментаційний комплекс
КТ	Карбонатно-теригенний
НГПС	Нафтогазоперспективна структура
ПК	Пікет
Під.	Підошва
Покр.	Покрівля
Св.	Свердловина
СЛП	Структурно-літологічний поверх
СК	Сульфатно-карбонатний
СПК	Сейсмічний пакет
СПЧ	Сейсмічна пачка
Т	Теригенний
ТК	Теригенно-карбонатний
$\Delta V_{\text{інт}}$	Інтервалльна швидкість
$G_{\text{sep}}$	Середня щільність
$G_{\text{над}}$	Надмірна щільність
У.п.	Умовне паливо

## ВСТУП

**Актуальність теми.** З отриманням незалежності в Україні особливу актуальність набула проблема нарощування обсягів видобутку нафти і газу за рахунок підвищення ефективності геологорозвідувальних робіт (ГРР). Одним із головних методів ГРР є сейсморозвідувальні дослідження МСГТ, на результатах яких базуються побудови геологічних моделей нафтогазоперспективних структур (НГПС).

На сучасному рівні, крім класичних методів вивчення основних горизонтів відбиття, видлення та трасування тектонічних розривів, необхідно використовувати прийоми сейсмостратиграфічної інтерпретації, узагальнена методика якої включає аналіз сейсмічних комплексів та сейсмофаций, що виділяються за хвильовими картинами.

Для якісного проведення такої інтерпретації необхідні чітко визначені сейсмостратиграфічні критерії вивчення глибинної будови. В першу чергу, геолого-геофізичні та сейсмостратиграфічні моделі структурно-літологоческих поверхів (СЛП) та сейсмостратиграфічні класифікації нафтогазоперспективних структур.

Не дивлячись на те, що по Південному регіону України хоча і накопичено значний обсяг фактичного матеріалу та проведено багато досліджень, сейсмостратиграфічні критерії вивчення геологічної будови не розроблені, що не дозволяє оптимізувати нафтогазопошукові роботи і забезпечити відкриття нових родовищ в межах Південного регіону України взагалі та Північно-Кримського рифтогенного прогину, зокрема.

**Зв'язок роботи з науковими програмами, планами, темами.** Тема досліджень пов'язана з: науковим обґрунтуванням та аналізом результатів багаточисленних регіональних і пошуково-розвідувальних робіт, які виконувались Кримською геофізичною експедицією “Кримгеофізика” ДГП “Укргеофізика” в рамках національної програми “Нафта і газ України до 2010

року”; науковими дослідженнями за темами №175 (номер держреєстрації У-00-114/2) та № 175 (У-01-59/2) КП “Південекогоецентр”; та наукової теми “Обґрунтування перспектив нафтогазоносності осадового чохла шельфу та глибоководної частини Українського сектору Чорного моря” ДП “Науканафтогаз” НАК “Нафтогаз України”, (номер держреєстрації 0106U010040); планом науково-дослідних робіт кафедри польової нафтогазової геофізики ІФНТУНГу (звіт по НДР за 2007 р.); розробкою лабораторного практикуму для студентів – геофізиків ІФНТУНГу “Сейсмостратиграфічна інтерпретація матеріалів МСГТ”.

**Мета і завдання досліджень.** Основною метою є наукове обґрунтування та розробка сейсмостратиграфічних критеріїв вивчення глибинної будови нафтогазоперспективних літодинамічних комплексів і локальних об'єктів та визначення перспектив нафтогазоносності Північнокримського прогину і прилеглих територій.

Основними завданнями досліджень для досягнення поставленої мети є: розробка геолого-геофізичної та сейсмостратиграфічної моделі структурно-літологічних поверхів осадового чохла Південного регіону України; розробка сейсмостратиграфічних критеріїв визначення кінематики тектонічних порушень; визначення особливостей геологічної будови і нафтогазоносності відкладів крейдового віку Північнокримського рифтогенного прогину; проведення сейсмостратиграфічної класифікації нафтогазоперспективних структур (НГПС) з визначенням принципів їх розміщення на території рифту; обґрунтування пріоритетних напрямків та першочергових структур для проведення ГРР.

**Об'єкт досліджень.** Сейсмостратиграфічні та геолого-геофізичні моделі нафтогазоперспективних комплексів Південного регіону України.

**Предмет досліджень.** Сейсмостратиграфічні та літолого-стратиграфічні характеристики осадового чохла Південного регіону України, класифікації та принципи розміщення НГПС, критерії перспектив нафтогазоносності

нижньокрейдових відкладів та першочергові напрямки пошуків нафтогазоперспективних структур.

*Фактичним матеріалом* дисертації слугували дані глибокого буріння, матеріали наземної (МСГТ) та свердловинної сейсморозвідки (ВСП, ПМ ВСП), ГДС, які отримані та проаналізовані в процесі обґрунтування і проведення геолого-геофізичних робіт в межах суходолу Південного регіону України, а також численні фондові матеріали та літературні джерела.

*Методи дослідження.* Аналіз та систематизація геолого-геофізичної інформації; сейсмостратиграфічне розчленування; порівняльні аналогії; компіляції; структурно-тектонічні; автоматизоване картобудування.

*Наукова новизна* розкрита у наступних наукових положеннях:

1. Геолого-геофізична і сейсмостратиграфічна моделі осадового чохла Південного регіону України, до основи яких покладено узагальнення геолого-геофізичної інформації з розподілом за відомими структурно-літологічними поверхами та їх відображення в рисунку сейсмічного запису хвильового поля.

2. Сейсмостратиграфічні критерії виділення тектонічних порушень з визначенням їх типів у відповідності до прийнятої геологічної класифікації, які базуються на аналізі хвильових картин, геолого-геофізичних та сейсмостратиграфічних моделях СЛП.

3. Закономірності розміщення нафтогазоперспективних структур у відкладах нижньокрейдового віку Північнокримського прогину основою яких є дослідження по уточненню геологічної будови східної центрикліналі прогину, вперше побудовані структурні карти сейсмічних горизонтів III<sub>a</sub>(Р<sub>1</sub>під.), IV<sub>a</sub>(К<sub>1</sub>покр.), IV<sub>b</sub><sub>2</sub>(К<sub>1</sub>під.); дослідження з визначення принципів розміщення порід-колекторів, флюїдонепроникливих товщ у розрізі відкладів крейдового віку.

*Практичне значення одержаних результатів* в застосуванні розроблених сейсмостратиграфічних моделей і критеріїв аналізу сейсмічних матеріалів для вивчення особливостей геологічної будови Північнокримського рифтогенного

прогину з позицій актуалістичної геодинаміки та перспектив його нафтогазоносності.

Вивчена геологічна будова Північнокримського рифтогенного прогину, побудовані структурні карти по основних сейсмічних горизонтах та визначені принципи розміщення нафтогазоперспективних об'єктів, які використані для складання планів ДГП „Укргеофізика”, щодо проведення пошуково-розвідувальних робіт на нафту і газ в Південному регіоні України з визначенням черговості їх виконання.

*Особистий внесок здобувача.* Основні теоретичні і методичні результати, що виносяться на захист, отримані автором самостійно. Побудова структурних карт сейсмічних горизонтів в межах Північнокримського рифтогенного прогину виконана з використанням матеріалів ДАТ «Чорноморнафтогаз» (Мельничук П.М., 2005р.) та ТЦ ДГП «Укргеофізика» (Стовба С.М., 2003р.), співробітниками КГФЕ «Кримгеофізика» під керівництвом та безпосередній участі автора.

*Апробація результатів дисертації.* Основні результати досліджень і положень доповідались на наукових і науково-технічних конференціях: II Міжнародна наукова конференція «Тектоника и нефтегазоносность Азово-Черноморского региона в связи с нефтегазоносностью пассивных окраин континентов» (Крым, 2000), Гурзуф, 2000 р.; III Міжнародна конференція «Крым-2001», “Геодинамика и нефтегазоносные системы Черноморско-Каспийского региона”, Гурзуф, 2001 р.; IV Міжнародна конференція «Крым-2002», “Геодинамика и нефтегазоносные системы Черноморско-Каспийского региона”, Гурзуф, 2002 р.; V Міжнародна конференція «Крым-2003», «Проблемы геодинамики и нефтегазоносности Черноморско-Каспийского региона», Гурзуф, 2003 р.; VI Міжнародна конференція «Крым-2005», «Геодинамика, сейсмичность и нефтегазоносность Черноморско-Каспийского региона», Гурзуф, 2005 р.; Міжнародна науково-практична конференція УНГА «Нафта і газ України –2004», Судак, 29 вересня – 01 жовтня 2004 р.; Науково-технічний семінар НАК «Нафтогаз України» «Стан та перспективи розвитку

робіт по комплексуванню різних методів досліджень нафтогазоперспективних розрізів при проведенні геологорозвідувальних робіт на нафту та газ», Ахтирка, 29-30 квітня 2004 р.; Міжнародна конференція «Геоінформатика: теоретичні та прикладні аспекти», Київ – 2005 р.; IV Міжнародна конференція за проблемою нафтогазоносності Чорного, Азовського та Каспійського морів, Геленджик, 4-7 червня 2007р.; Міжнародна науково-технічна конференція «Прикладна геологічна наука сьогодні, здобутки та проблеми», Київ, 5-6 липня 2007р.

*Публікації.* Матеріали дисертаційної роботи опубліковані в 16 наукових працях, серед яких 6 статей у фахових виданнях, передбачених ВАК України (з них одна одноосібна).

## РОЗДІЛ 1

# СТАН ТА ПРОБЛЕМИ ГЕОЛОГО-ГЕОФІЗИЧНОЇ ВИВЧЕНОСТІ ПІВНІЧНОКРИМСЬКОГО ПРОГИНУ І ПРИЛЕГЛИХ ТЕРИТОРІЙ З ПОЗИЦІЙ СЕЙСМОСТРАТИГРАФІЇ

Інтерес до Південного регіону України, як потенційного джерела корисних копалин виник в глибоку давнину, але цілеспрямоване наукове вивчення геологічної та тектонічної будови налічує лише 100 років. Можна виділити три головних етапи геолого-геофізичної вивченості регіону, протягом яких отримано дані про геологічну будову, тектоніку та нафтогазоносність, які покладено в основу розробок дисертаційної роботи.

**Перший етап** геологічних спостережень в Криму охоплює період від XVIII ст. до 1917 року. Спочатку це були окремі подорожі російських та іноземних дослідників, які їх описували і збирали колекції гірських порід (Василь Зуєв, С. П. Палас, М. О. Головкінський та ін.). В кінці 19-го та на початку 20-го століття розпочато систематичні геологічні дослідження по стратиграфії, петрографії та тектоніці. Особливо велике значення мають роботи М. І. Андрусова, Н. Ф. Синцова, А. Ф. Слудського, К. К. Фохта та ін. Були складені перші геологічні карти, надано опис окремих стратиграфічних рівнів, зроблено перші кроки опису тектоніки.

**Другий етап** вивчення (1917-1941 р.р.) пов'язаний з розвитком більш детальних геологічних досліджень. В ці ж роки в комплекс методів вивчення геологічної будови входить структурне і пошукове буріння, а також геофізичні методи: електророзвідувальні методи “СПІР” і гравірозвідка. Найбільше значення мали роботи О. Д. Архангельського, К. І. Макова, Г. О. Личагіна, М. В. Муратова, Д. В. Соколова, К. К. Фохта. В цей період вияснялись загальні питання стратиграфії, тектоніки, гідрогеології, палеонтології, перспективності регіону у відношенні нафтогазоносності. Були зроблені перші спроби

узагальнення геологічних даних. Більшість цих досліджень базувалися на теорії блокової і складчасто-блокової тектоніки з переважаючою роллю вертикальних тектонічних рухів. В той же час висловлювалися припущення про велику роль горизонтальних рухів. Так, В. Д. Соколов припустив наявність крупного насування титонських відкладів на більш молоді породи в східному Криму [1]. А. С. Моїсєєв висунув припущення про переміщення верхньоюурських вапняків Головної гряди Кримських гір по насувах, виділяв численні насуви і насувні луски у відкладах юри Гірського Криму [2, 3].

**Третій етап** вивчення (1945р. – теперішній час) характеризується бурхливим розвитком геолого-геофізичних досліджень в Криму. До цього періоду відносяться дослідження М. В. Муратова, І. О. Бруда, Г. О. Личагіна, В. Ф. Малаховського, О. Д. Архангельського, М. С. Бурштара, Ю. В. Казанцева, В. Б. Соллогуба, О. В. Чекунова, Г. Х. Дікенштейна та ін. В Південному регіоні проводяться детальні структурно-геологічні зйомки, складаються геологічні карти, деталізується будова регіону. Розпочато буріння опорних, пошукових, розвідувальних свердловин та проведення геофізичних досліджень в свердловинах (ГДС), а також регіональні геофізичні роботи (магніто-гравіорозвідувальні і сейсморозвідувальні (МВХ) масштабу 1:200000 та 1:500000 з тематичним узагальненням отриманих даних).

Розпочинаючи з 60-х років головну роль серед інших геофізичних методів займає сейсморозвідка різних модифікацій (ГСЗ, КМЗХ, МВХ, МВХ РНП). В ці роки основну увагу приділяли картуванню границь відбиття та заломлення, які пов’язані з підошвами та покрівлями великих літодинамічних комплексів, а також трасуванню крупних тектонічних порушень.

Великий внесок у розвиток сейсморозвідки ВСП зробив А. Н. Аміров, яким було систематизовано дані про сейсмічні швидкості.

Одним з основних наукових досягнень 60-х – 70-х років минулого сторіччя є те, що за результатами узагальнення даних сейсморозвідки ГСЗ, КМЗХ, МВХ, гравіметрії і магніторозвідки групою вчених на чолі з В. Б. Соллогубом була висунута гіпотеза про існування Одесько-

Джанкойського рифту, як наслідок розвитку коро-мантійної суміші у верхній мантії і нижній корі.

З 1968 року розпочато роботи по упровадженню методу спільної глибинної точки (МСГТ) і вже з 1973 року усі сейсморозвідувальні роботи виконуються цим методом. На початку 70-х років проведено перші дослідження МСГТ на акваторії Чорного моря (А. Ф. Коморний та ін.). Не дивлячись на суттєвий методологічний крок, задачі сейсморозвідки залишилися попередніми – картування поверхонь головних горизонтів відбиття, без вивчення міжреперного простору.

Великий внесок в розвиток польової геофізики та методів інтерпретації даних, на цьому етапі досліджень, зробили в своїх роботах кримські геофізики М. К. Ківшик, М. Є. Герасимов, В. І. Меркулов, В. В. Чернов (сейсморозвідка), А. І. Котляр (гравірозвідка), В. М. Апарєєв, Р. І. Кривоносов, Н. П. Корольова (ГДС) та геологи В. А. Гордієвич, Г. П. Курило, Л. Г. Плахотний, Н. М. Чір та інші.

В результаті цих робіт було виявлено та закартовано велику кількість антиклінальних складок у відкладах різного віку, де було відкрито декілька родовищ вуглеводнів в основному в кайнозойській частині розрізу, відносно просто побудованої, і яка містить в собі складки брахіантиклінального типу невеликих розмірів.

Пошуки родовищ в більш древніх відкладах і на великих глибинах не дали очікуваних результатів, що, в першу чергу, пов'язано з недоліками концепції блокової та складчасто-блокової тектоніки регіону, яка використовувалась при геологічній інтерпретації сейсморозвідувальних даних. При інтерпретації даних сейсморозвідки основна увага надавалась виділенню субвертикальних тектонічних розривів та забезпеченням подібності структурних побудов по різновікових комплексах. Цьому сприяло і те, що на часових сейсмічних розрізах велика була роль і доля хвиль-завад різної природи. Методика цих років не дозволила повністю звільнитися від них із-за недостатньо ефективних систем спостережень при проведенні польових робіт,

програмних комплексів обробки і прийомів інтерпретації. Також були недосконалими апаратура, методи обробки та інтерпретації даних ВСП та ГДС.

Якість матеріалів, що отримувались, не дозволяла проводити сейсмостратиграфічне розчленування розрізу за рисунком сейсмічного запису і параметрами середовища з визначенням об'ємних границь об'єктів. Також неможливо було проводити визначення і аналіз фізичних параметрів (сейсмічні швидкості та ін.) з використанням різних типів хвиль.

З упровадженням більш потужних систем спостережень МСГТ і програмних комплексів обробки (А. О. Мень), багатохвильової свердловинної сейсморозвідки та ПМ ВСП (А. Н. Аміров) поступово вдалось звільнитися від фону кратних хвиль та інших хвиль-завад і впевнитися, що структурний план нижньокрейдових відкладів Північнокримського і Індоло-Кубанського прогинів та палеозою Західного Причорномор'я не схожий на структурний план вищезалигаючих відкладів, особливо кайнозойського віку.

Отримані в середині 80-х - на початку 90-х років сейсморозвідувальні матеріали дозволили здійснити перші роботи з сейсмостратиграфічного аналізу сейсмічних даних, ПГР та регіонального узагальнення даних про параметри середовища.

Вперше сейсмостратиграфічне розчленування осадової товщі Південного регіону України з використанням такого підходу було проведено М. Є. Герасимовим сумісно з Б.С. Кривченковим у 1986 році [4].

У цій роботі приведено узагальнені дані по структурно-літологічних поверхах (СЛП) – про вік, глибину залягання, товщину, інтервальні сейсмічні швидкості поздовжніх хвиль, а також про стратиграфічну приуроченість та індексацію основних горизонтів відбиття з коефіцієнтами відбиття (К) на цих границях. Виділення за вказаними параметрами структурно-літологічних поверхів (СЛП) дозволило порівняти сейсмостратиграфічну характеристику з різних районів Південного регіону України і використовувати ці дані в практиці геофізичних досліджень.

На початку 90-х років було проведено розчленування СЛП на КССК, СПК та СПЧ, а також узагальнено дані про швидкості поперечних хвиль.

Таким чином, до середини 90-х років сейсмостратиграфічне розчленування осадової товщі півдня України на сейсмічні комплекси різних ієрархічних рівнів було проведено і широко застосовувалось при інтерпретації сейсморозвідувальних даних.

Для правильного аналізу карт потенційних полів та використання їх при проведенні нафтопошукових досліджень необхідно мати дані про фізичні властивості гірських порід, які складають розріз того чи іншого району. В межах Південного регіону України систематичне та цілеспрямоване вивчення фізичних властивостей порід проводилось протягом усього періоду геологічних досліджень. Великий обсяг вимірювань дав можливість оцінити фізичні характеристики відкладів як на окремих площах, так і на всій території півдня України. На теперішній час було зроблено узагальнення петрофізичних властивостей окремих складових регіону (наприклад: відкладів Гірського Криму [5, 6], Рівнинного Криму [7] і т.п.), швидкостей розповсюдження пружних коливань всього регіону у цілому [4, 8], або окремо по породах-колекторах та покришках [9]. В цих роботах, за виключенням [4], узагальнено дані по стратиграфічних рівнях (розчленування на епохи) без відокремлення окремих структурно-літологічних поверхів (СЛП), що незручно при проведенні сейсмостратиграфічної інтерпретації. На теперішній час узагальнень головних петрофізичних властивостей (позірний опір, магнітна сприйнятливість, щільність, пористість), а також літологічного складу з розподілом по СЛП є існує.

При нафтогазопошукових дослідженнях дуже важливі точні знання про тектонічну будову, які базуються на останніх наукових розробках та досягненнях.

З метою правильного розуміння проблем, які є у поглядах на тектоніку Південного регіону, в розділі наведено короткий опис еволюції цих поглядів.

За час вивчення регіону вони змінювались від тих, що базуються на “класичній” геосинклінальній теорії, до теорії плит, тобто ці погляди повторили загальносвітовий еволюційний шлях.

Перші спроби пояснення причин виникнення і формування дислокацій, а також погляди на характер тектоніки Криму відносяться до кінця XIX – початку ХХ ст. (К. К. Фохт [10], В. Д. Соколов [1, 2] та ін.). Слід відмітити, що ці дослідження ще не базувалися на будь-яких теоріях.

У післявоєнний період у результаті досліджень було побудовано велику кількість тектонічних карт і схем Південного регіону України та його складових частин. Більшість цих побудов було виконано з позицій геосинклінальної теорії. Аналіз та класифікація структурних моделей, які базуються на різних уявленнях про будову регіону, проведено М. Є. Герасимовим у 1994 р. [11]. Згідно його досліджень найбільша кількість моделей базувалася на уявленнях про **блокову будову** регіону, що виникла внаслідок завершення геосинклінального розвитку. Найбільш значними роботами того напрямку слід вважати дослідження М. В. Муратова [12-17], Г. А. Личагіна [18, 19], М. С. Бурштара [20], Г. Х. Дікенштейна [21], А. В. Чекунова [22-24], В. Б. Соллогуба [25-27] та ін. Ці автори склали структурні моделі, в яких головну роль відведено субвертикальним розломам скидового, зсувного типу та їх комбінаціям і дуже рідко підкидової кінематики. Орієнтування розривів у верхній частині розрізу вважалося аналогічним дорифейським глибинним розломам [28]. Розриви трасувалися з півдня на північ, південного-заходу на південний схід, які перетинають субширотні структури півдня України і сейсмоактивні зони Криму та Кавказу. Вважалося, що магматичні тіла приурочені виключно до зон глибинних розломів меридіонального простягання, а структурні плани різних структурно-літологічних поверхів подібні один до одного і т.п. Суттєвим недоліком цих моделей було те, що вони не були збалансовані та не допускали палінспастичних реконструкцій структур.

Наступним еволюційним кроком в поглядах на тектонічну будову регіону були структурні моделі, які базувалися на уявленнях про складчасто-насувну будову регіону. Найбільш значні роботи цього етапу належать Ю. В. Казанцеву [29, 30], М. Є. Герасимову [31]. В цих роботах була зроблена спроба ув'язати питання, що стосуються часу та основних особливостей формування земної кори, взаємозв'язки плікативних і діз'юнктивних дислокацій, а також структурне положення та походження магматичних утворень. Хоча окремі геологічні структури авторами трактувались цілком обґрунтовано, прийнятий ними варіант геологічної будови Криму з переважаючим насуванням товщ на Східно-Європейську платформу не дозволяв побудувати загальну геометрично можливу модель будови та розвитку регіону.

Корінний перегляд поглядів на будову південного обмеження Східно-Європейської платформи було зроблено у 1994 році в докторській дисертації М. Є. Герасимова [11]. У роботі надана нова тектонічна схема та геодинамічна модель Азово-Чорноморського регіону з позиції **актуалістичної геодинаміки** та балансу переміщень.

Поштовхом до створення цієї моделі стали роботи В. Е. Хаїна [32, 33], відомі палеогеодинамічні реконструкції океану Тетісу [34], палеомагнітні дослідження Д. М. Печерського та В. А. Сафонова [35], які дозволили виявити високоамплітудні горизонтальні переміщення фрагментів сучасного Криму. Згідно цих досліджень ширина зони субдукції досягає 1700 км. Поштовхом до створення моделі було виділення Кримського терейну Е. Г. Тихоненковим у 1989 р. [36], так як виникла проблема виявлення в його обрамленні колізійних швів (сутур), які є відображенням повної субдукції океанічної кори палеоокеану Тетіс. Важливим кроком було також обґрунтування і виділення В. В. Юдиним [37-39] та М. Є. Герасимовим [11] положення та направлення нахилу сутурних зон.

В подальшому ці погляди на тектоніку були доповнені та значно розвинуті в роботах [40-58], які дозволили створити певні погляди і уявлення

про тектоніку регіону і скласти принципово нову тектонічну схему та геодинамічну модель [47-49] (Рис. 1.1)

Виходячи з сучасних геодинамічних уявлень, Південний регіон представляє собою складноПобудований фрагмент Євразійської плити. Ця складність обумовлена тим, що за час еволюції відбувалося накладення структур різних етапів розвитку. Згідно досліджень останніх років [50, 51], встановлено, що регіон пройшов ряд етапів дивергентних та конвергентних геодинамічних процесів. Кожному етапу були властиві певні структурні форми, літодинамічні комплекси, кінематика значних тектонічних розривів, магматизм. На **дивергентних етапах** переважали процеси рифтогенезу та спредингу, відбувалося утворення рифтогенних прогинів. Переважаючими формами диз'юнктивних дислокаций були лістрічні скиди. Основні локальні структури представлені грабено - та горстоподібними, антитетичними та гомотетичними блоками, залишковими рифтогенними підняттями і масивами палеовулканів. На **конвергентних етапах** відбувалася повна або часткова субдукція океанічної кори палеоокеанів під континентальну, або океанічну кору у зонах колізій та субдукцій. Відображенням положення цих зон є колізійні шви (сутури). Тому виділення, визначення направлення нахилу та трасування сутур є основою тектонічного районування, так як вони не тільки визначають геодинамічну, модель і контролюють утворення осадових та вулканічних формацій, а також структур низьких порядків (крайові прогини, тектонічні пластини і т.п.) [33].

Найбільш давньою на території регіону є пізньопалеозойська Дунайсько-Терська сутура, яка сформувалася при пізньопалеозойській колізії Скіфської плити з Євроамериканським (за Зоненшайном) [34] континентом і має південний нахил. Ця сутура вперше обґрунтована в межах Криму В. В. Юдиним під назвою Північнокримська [52, 39], а у 1994 р. під назвою Дунайсько-Терська, була простежена по усій південній окраїні Східно-Європейської платформи (палеократону) [11] (Рис. 1.1).



д 315

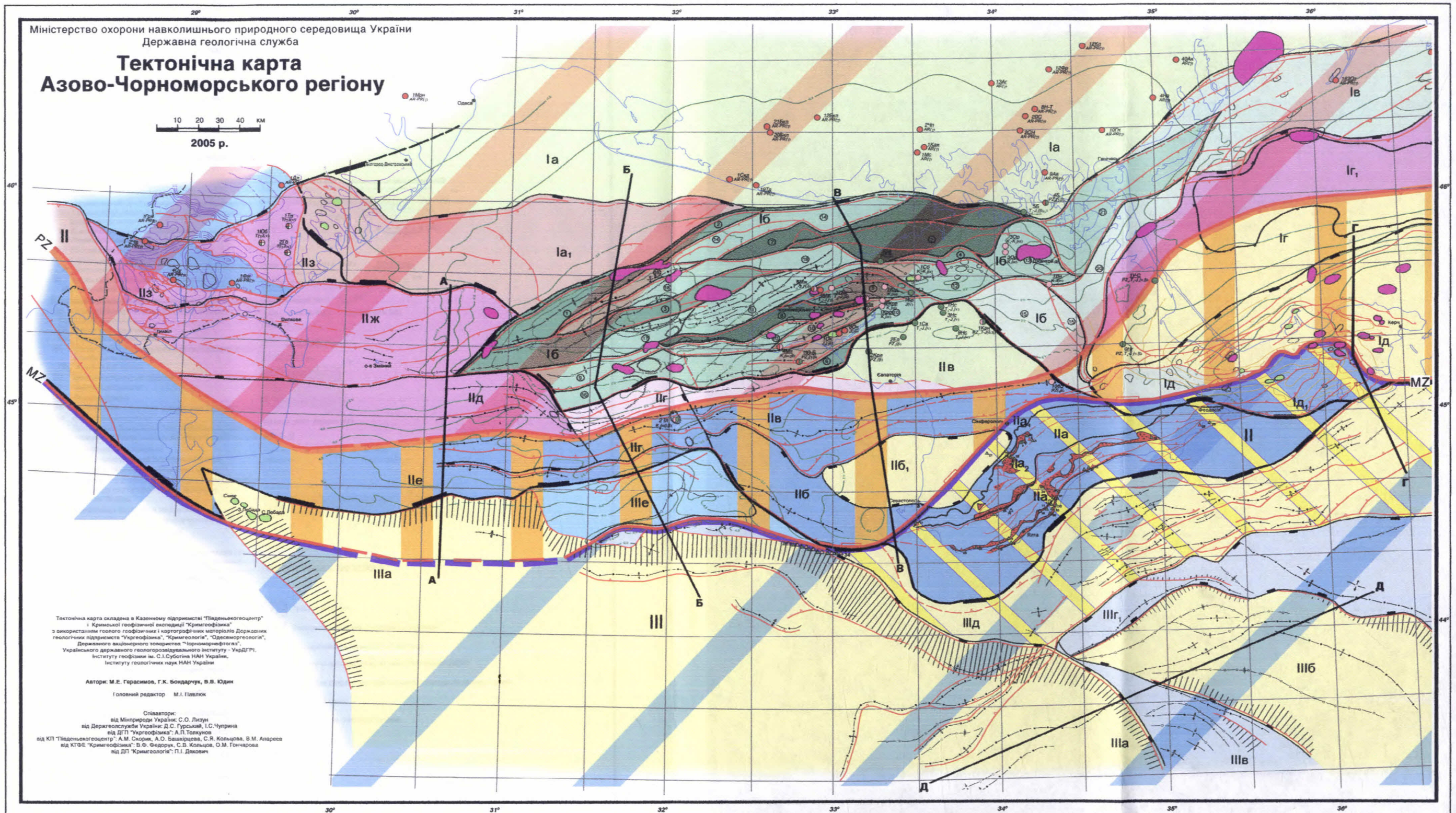


Рис. 1.1. Тектонічна карта Азово-Чорноморського регіону за М. Є. Герасимовим, Г. К. Бондарчуком, В. В. Юдиним та ін., 2005

### Умовні позначення до тектонічної карти Азово-Чорноморського регіону:

- PZ** Півніопалеозойська сутура (Дунайсько-Терська)  
**MZ** Мезоійські сутури (Леченя-Камена і Кримсько-Кавказька)
- I** Причорноморський мегапрогин:
- Ia** Південнокрімська монокліналь;
  - Ia<sub>1</sub>** Прогнозуєча зона розвитку карбонатної товщі девону-карбону пасивної окраїни Лавразії
  - Ib** Півніокрімський рифтогенний прогин
  - Блоки антитетичного типу:  
1 - Голіцинський; 2 - Тендрівський; 3 - Шмідтівський; 4 - Тетянівський; 5 - Рилевський;
  - Ic** Октібрський
  - Блоки горизонтального типу:  
7 - Кархітський; 8 - Глібівський
  - Грабени:  
9 - Михайлівський; 10 - Тарханкутський; 11 - Півніонтарханкутський; 12 - Серебрянський;
  - 13 - Сиваський; 14 - Кархітський; 21 - Східносиваський
  - Блоки гомотичного типу:  
15 - Красногорідський; 16 - Південнобортовий; 17 - Приєсовий; 18 - Південношмідтівський;
  - 19 - Південноноглицианський; 20 - Слав'янський
- Ib** Півніозовозький прогин
- Ir** Середньозовозький підняття
- Ir<sub>1</sub>** Азовський вал
- Id** Індоло-Кубанський рифтогенний прогин
- Id<sub>1</sub>** Приморська монокліналь
- II** Нижньопрутсько-Кримське мегапідняття
- IIa** Південно-кімська складчасто-насувна споруда (по В.В. Юдину)
- IIa<sub>1</sub>** Куестова монокліналь
- IIa<sub>2</sub>** Передгірна структурна зона
- IIa<sub>3</sub>** Гирська структурна зона
- IIb** Качинський блок ранньомезозойської пасивної окраїни Лавразії з накладенням Алмінського прогину
- IIb<sub>1</sub>** Алмінський прогин
- IIb<sub>2</sub>** Центрально-кімське підняття
- IIb<sub>3</sub>** Ільчевське підняття
- IId** Підняття Губінка
- IIe** Крайова ступінь (північна бортова зона Західно-Чорноморського рифтогенного прогину)
- IIx** Придунайське підняття
- IIz** Болградсько-Лиманський блок (Алібейський, Гризіцький, Каланчакський блоки; Каменський (Татарбунарський), Камишинський прогини)
- III** Чорноморська мегазападина
- IIIa** Західночорноморський рифтогенний прогин
- IIIb** Східночорноморський рифтогенний прогин
- IIIc** Центральночорноморське залишкове рифтогенне підняття
- IIIr** Залишкове рифтогенне підняття Шатського
- IIIr<sub>1</sub>** Підняття Тетяєва
- IIIr<sub>2</sub>** Прикімсько-Кавказька зона складок
- IIIr<sub>3</sub>** Передмізойський верхньоіорсько-нижньокрійдовий крайовий прогин
- A-A** Лінія сейсмогеологічних розрізів
- Палеоплати:**
- Південна окраїна палеомікроконтиненту **Aratia** (Україна) в складі СЕП (AR-PR) зі збереженими фрагментами верхньопротерозойсько-палеозойської пасивної окраїни. Передкірпачинського крайового прогину та накладеними рифтогенними прогинами трап-нижньоіорського і нижньокрійдового віку
  - Скіфська плита (PZ)**
  - Зона кім'єрського колажу палеомікроконтинентів і острівних дуг зі збереженими фрагментами пасивних окраїн, крайових прогинів та накладеними рифтогенними прогинами крійдового і кайнозойського віку
  - Колізійні шви (сутури):** Дунайсько-Терська півніопалеозойська сутура південного падіння
  - Мезоійські сутури: Леченя-Камена південного падіння і Кримсько-Кавказька мезозойська північного падіння
  - Гирсько-кімська складчасто-насувна споруда (ГКСНС) з зонами меланжей (по В.В. Юдину)
  - Зони рифтогенезу трап-нижньоіорського віку, піддані тангенціальному стисненню в пізньомезозойський та кайнозойський час:  
Каменський (Татарбунарський) рифт, Придунайська тектонічна пластина, вал Губінка та ін. на заході, Азовський вал на сході
  - Кархітсько-Сиваський грабен в Криму і північно-західному шельфі
  - Передмізойський крайовий прогин (фрагмент)

### Сейсмогеологічні розрізи до тектонічної карти Азово-Чорноморського регіону:

Сейсмогеологічний розріз по лінії А-А



Сейсмогеологічний розріз по лінії Б-Б



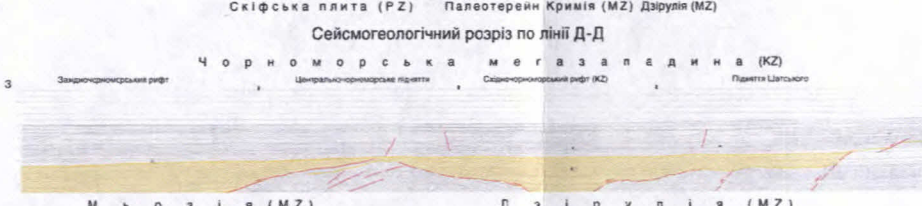
Сейсмогеологічний розріз по лінії В-В



Сейсмогеологічний розріз по лінії Г-Г



Сейсмогеологічний розріз по лінії Д-Д



### Умовні позначення до сейсмогеологічних розрізів:

Палеогенова система	N+Q	Відклади неоген-квартеру	T <sub>3</sub>	Триасові відклади
	P <sub>3</sub> N <sub>1</sub>	Палеогенові відклади	PZ	Палеозойсько-нижньомезозойські відклади
Крейдова система	P <sub>2</sub>	Верхній відділ (олігоцен+ нижній міоцен, майкопська серія)	PR	Протерозойсько-палеозойські відклади
	P <sub>1</sub>	Середній відділ	a / b	Тектонічні палеорозриви: а) скиди; б) підкідо-насуви
Крейдова система	K	Нижній відділ	/ %	Тектонічні розриви, активні в кайнозої. а) скиди; б) підкідо-насуви
	K <sub>2</sub>	Крейдові відклади	Geol	Геологічні межі
Крейдова система	K <sub>1</sub>	Верхній відділ	G	Свердловини глибокого буріння
	J <sub>2,3</sub>	Нижній відділ	F(Δg)	Графік F(Δg)
		Юрські відклади	ΔT <sub>a</sub>	Графік ΔT <sub>a</sub>

У зв'язку з тим, що сутура на території Криму перекрита потужною товщею мезозойсько-кайнозойських відкладів, різними авторами вона трасується по різному. На відміну від першого варіанту трасування у 1999 р. В. В. Юдиним було обґрунтовано більш північне положення сутури [46]. У 2002 р., в результаті аналізу даних буріння свердловин, а також ГСЗ, КМЗХ та МСГТ, нами був зроблений висновок про більш південніше положення сутури у межах Криму [53].

Ця сутура є північною границею Скіфської плити [13] і південною границею Передскіфійського крайового прогину пізньопалеозойського віку, утвореного при насуванні Скіфії на північ [11, 46].

Південною границею Скіфської плити є колізійні шви (сутури) Кримсько-Кавказька (MZ) та Печеняга-Камена (MZ), які мають різну кінематику (Рис.1.1). Подібна різниця кінематики окремих частин Скіфії пов'язана зі збільшенням товщини земної кори в зоні Одеського дорифейського шва [51]. Східніше цього розлому відбувалося насування групи мікроконтинентів (Кримія, Теодосія, Анапія), а західніше – підсуwanня під Мъозію [55].

Такий розвиток у мезозої окремих частин півдня України обумовило різну вергентність структур стиснення та місцезнаходження крайових прогинів. У західному секторі Передмъозійський (Переддобруджинський) крайовий прогин знаходитьться північніше колізійного шва, а структури мають північну вергентність. У східному секторі розвинуті структури південної вергентності, а Бітакський крайовий прогин розташований на південнь від сутури.

Південніше Скіфської плити розташовується група мезозойських мікроконтинентів Кримія, Теодосія, Анапія та інші.

Південною границею Гірсько-кримського терейну є Південнокримська сутура середньо-верхньоюрського віку, яка розташована вздовж континентального схилу Чорного моря [56].

Кайнозойську геодинаміку регіону відзначають процеси задугового рифтингу та спредингу в тилу насування Євразії на Африканську та Аравійську літосферні плити, при цьому формуються Чорноморська мегазападина

(Західно- та Східно-Чорноморський прогини), Індого-Кубанський та Каркінітсько-Сиваський рифтогенні прогини, а також Кримсько-Кавказька зона підсуву (Південнокримський та Північночорноморський насуви) [55].

Слід відмітити, що про різні структури на ранніх етапах розвитку коректно говорити в палеотектонічному розумінні, так як в результаті наступних тектонічних процесів виникла часткова або повна перебудова цих елементів.

Найбільш древнім тектонічним елементом Південного регіону України є пасивна окраїна Лавразії (у ранньому палеозої – Лаврусії) [33], збережена північніше Дунайсько-Терської сутури (Рис. 1.1). Цей елемент вивчений бурінням та сейсморозвідувальними дослідженнями в межах Західного Причорномор'я, де встановлено розвиток осадового чохла венд-кам'яновугільного віку [57].

В межах інших частин регіону ці відклади прогнозуються на великих глибинах (Присивасся), або доведено лише розвиток відкладів кам'яновугільного віку (Рівнинний Крим) [54, 69].

У пізньому палеозої по Дунайсько-Терській сутурі відбувалася субдукція океану Палеотетіс та причленування в пізньому карбоні-пермі до краю палеозойської Лавразії островодугового терейну Скіфія. При цьому північніше зони субдукції та колізії формувався Передскіфійський крайовий прогин [46], який накладено на пасивну окраїну Лаврусії та виконаний формаціями, що вивчені бурінням в межах Придобруджинського прогину [56]. Серед них можна виділити флюїдну та нижньомоласову формації раннього-середнього карбону, які складені алевролітами, аргілітами, пісковиками та кам'яним вугіллям. Вище залягає верхня моласа верхньокам'яновугільного – пермського віку, складена грубоуламковими строкатобарвними відкладами. Південніше сутури формувався островодуговий терейн Скіфія. У свердловинах, розташованих південніше сутурної зони, під відкладами мезозою розкрито різні осадові, метаморфічні і магматичні (андезити) породи палеозою, що дозволяє виділити тут літодинамічний комплекс активної окраїни [46].

У тріасі починається новий етап розпаду суперконтиненту з утворенням континентальних і окраїнно-континентальних рифтогенних структур та розкриття океану Мезотетіс [33]. У регіоні, що розглядається, збереглись деякі з рифтогенних структур, а також фрагменти пасивної окраїни і перикратонного прогину ранньомезозойської Лавразії (Рис. 1.1).

До категорії рифтогенних прогинів цього віку слід віднести Татарбунарський (Каменський) та Бурнаський в Західному Причорномор'ї, Сивасько-Каркінітський в Рівнинному Криму, та частково збережені фрагменти прогинів у зоні зчленування Гірсько-Кримського терейну і Скіфської плити (район Альмінського прогину). Характерною рисою усіх цих прогинів є те, що обмежені вони лістрічними скидами, заповнені флюшевими відкладами великої товщини (св. Старо-Троянівська №1, при глибині 5500 м не вийшла з відкладів тріасу) та розвитком магматичних утворень базитового складу. Розвинуті ці прогини над Передскіфійським прогином пізньопалеозойського віку (за варіантом Герасимова М. Є.), або значно південніше активної окраїни Скіфії.

Рифтогенно-спредингове розкриття океану Мезотетіс закінчилося в кінці ранньої юри [33]. З цього часу, до початку етапу мезозойської конвергенції (юра (кімеридж-титон) - крейда), для регіону характерний пасивно-окраїнний геодинамічний режим. У цей час відбувається утворювання шельфових карбонатних відкладів келовей-оксфордського віку.

У середньоюрському часі починається закриття океану Мезотетіс [32, 33]. При цьому, на сході відбувалося формування активної окраїни Євразії та складчасто-насувних структур, а перед зоною субдукції та колізії – крайових прогинів (Бітакський та ін.). На заході формувалася пасивна окраїна з накладеним на неї Передміозійським (Передбруджинським) крайовим прогином, а північніше сутурної зони - активна окраїна мікроконтиненту Мъозія. Тобто, у західному секторі відбувалося насування мікроконтиненту Мъозія на пасивну окраїну Євразії, а у східному - підсуwanня Кримії та Теодосії під активну окраїну Євразії. Зміна геодинамічних режимів відбувалася в зоні

Одеської дорифейської зони конвергенції, що пов'язано з розвитком потужного шару магматичних утворень в її зоні [11].

На початку ранньої крейди океанічна кора між Кримією та Євразією була повністю знищена і відбулося їх зіткнення, так мікроконтиненти Кримія, Дзірулія та інші увійшли до складу Євразійської плити. Подальше підсування мікроконтинентів Кримія та Дзірулія і насування Мьозії на плиту створило умови для розвитку процесів задугового спредингу. В результаті, північніше в 50-100 км від зони зчленування відбулося закладення та розвиток Північнокримського і Північноазовського рифтогенних прогинів.

На тектонічній будові Північнокримського рифту зупинимось докладніше (Рис. 1.2). На основі сучасних геолого-геофізичних даних з обліком результатів буріння свердловин були визначені граници рифту та його складові частини [58].

Північною границею Північнокримського прогину є Причорноморський скид південного падіння, а південною - Південнобортовий скид північного падіння.

У межах рифту виділяється сім грабеноподібних блоків (Михайлівський, Тарханкутський, Північнотарханкутський, Серебрянський, Каркінітський, Східносиваський та Сиваський), та два горстоподібні (Каркінітський та Глібівський). Решта блоків в межах рифту є тетичними. Серед них виділяються шість антитетичних блоків – Голицинський, Тендрівський, Шмідтівський, Тетянівський, Рилеєвський і Октябрський, та низка гомотетичних – Красногвардійський, Слав'янський та інші.

За даними магніторозвідки, сейсморозвідки та буріння в межах рифту картується низка палеовулканів. У північно-східній частині прогину вони укладаються в ланцюжок північно-східного простягання, в центральній та західній частинах напрямок простягання палеовулканів змінюється на західне. Палеовулкани центральної та західної частин рифтогену зачіпають відклади альбу, і в окремих випадках, кампану, тоді як у північно-східній частині вони перекриті альбом.

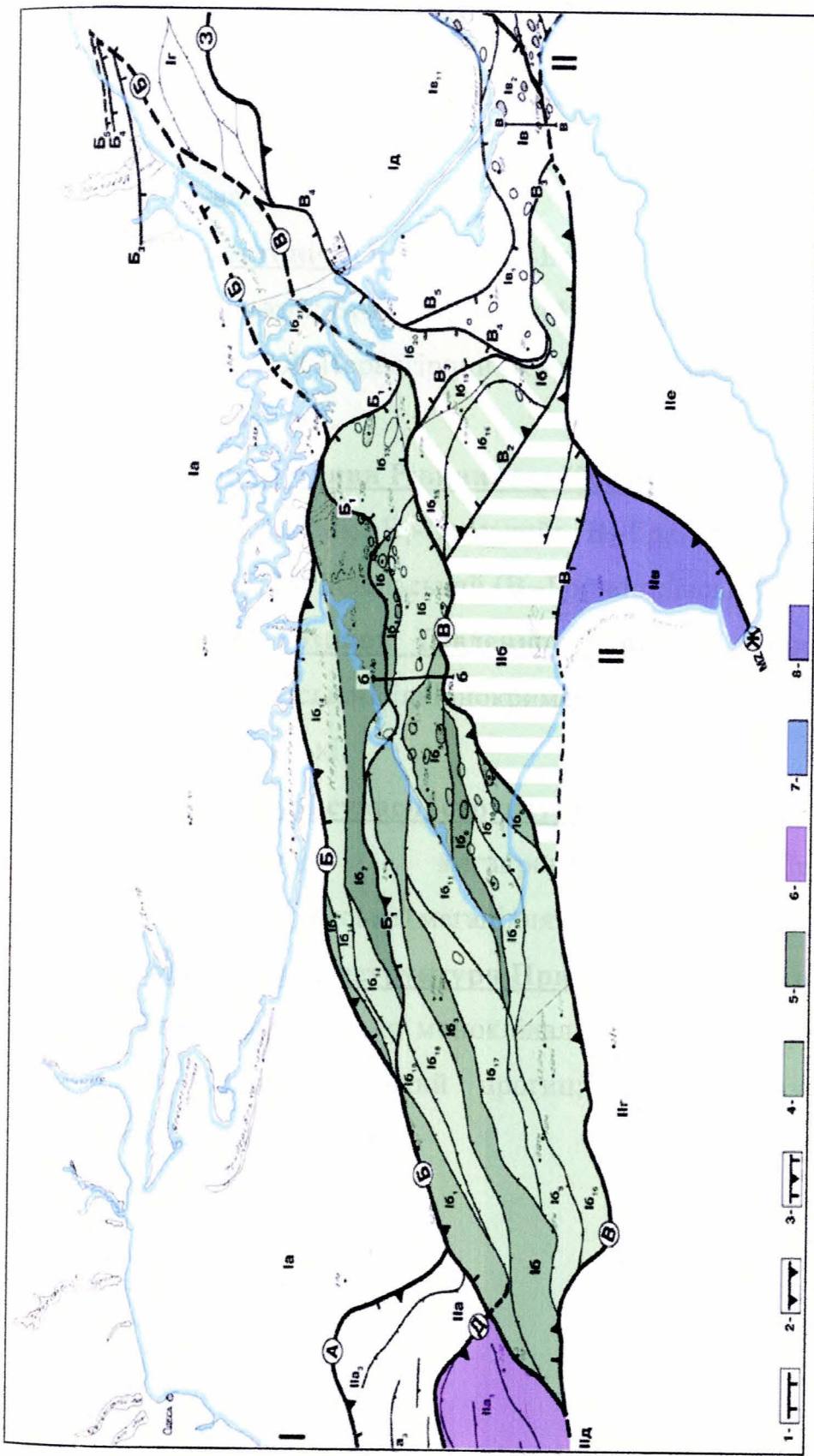


Рис. 1.2. Фрагмент тектонічної схеми Південного регіону України

за М. Є. Герасимовим, Г. К. Бондарчуком, В.Ф. Федоруком, С.В. Кольцовим, 2003

### **Умовні позначення:**

Тектонічні розриви різної кінематики: 1-скиди; 2-насуви і підкидо-насуви; 3-інверсійні підкидо-насуви по палеоскидах або інверсійні скиди по палеопідкидо-насувах.

**Крупні тектонічні розриви:** А-Болградсько-Балабанівський; Б-Причорноморський; Б<sub>1</sub>-Голицинський; В-Південно-Бортовий; Д-Придунайський; Ж-Передгірний (Кримсько-Кавказька сутура); З-Головний Азовський.

Тектонічні розриви Рівнинного Криму, пов'язані з рифтогенезом:

В<sub>2</sub>-Первомайський; В<sub>1</sub>-Сакський; В<sub>2</sub>-Григорівський; В<sub>3</sub>-Карасьовський; В<sub>4</sub>-Стрілковський; В<sub>5</sub>-Індолъський (В<sub>6</sub>-Горностаївський).

Тектонічні розриви Південноукраїнської монокліналі, пов'язані з утворенням Каркінітсько-Північнокримського прогину:

### **Б<sub>3</sub>-Б<sub>5</sub>-Приазовські.**

## Надрегіональні сучасні структури:

I-Причорноморський мегапрогин; II-Придунайсько-Кримське  
(Нижньопрутсько-Кримське) мегапідняття;

## Регіональні палеоструктури Причорноморського мегапрогину:

Ia-Південноукраїнська монокліналь; Iб-Північнокримський рифтогенний прогин; Iв-Індоло-Кубанський прогин; Iг-Північноазовський прогин; Iд-Середньоазовське підняття.

### **Блоки Північнокримського рифту:**

Переважно антитетичного типу: Iб<sub>1</sub>-Голицинський; Iб<sub>2</sub>-Тендрівський;  
 Iб<sub>3</sub>-Шмідтівський; Iб<sub>4</sub>-Тетянівський; Iб<sub>5</sub>-Рилеєвський;  
 Iб<sub>6</sub>-Октябрський;

Горстового типу: Iб<sub>7</sub>-Каркінітський; Iб<sub>8</sub>-Глібівський;

Грабени: Iб<sub>9</sub>-Михайлівський; Iб<sub>10</sub>-Тарханкутський;  
 Iб<sub>11</sub>-Північнотарханкутський; Iб<sub>12</sub>-Серебрянський; Iб<sub>13</sub>-Сиваський;  
 Iб<sub>14</sub>-Каркінітський; Iб<sub>21</sub>-Східносиваський.

Переважно гомотетичного (синтетичного) типу: Iб<sub>15</sub>-Красногвардійський;  
 Iб<sub>16</sub>-Південнобортовий; Iб<sub>17</sub>-Приосьовий; Iб<sub>18</sub>-Південношмідтівський;  
 Iб<sub>19</sub>-Південноголицинський; Iб<sub>20</sub>-Слав'янський.

**Тектонічні пластини і блоки Індоло-Кубанського рифтогенного прогину:** Iв<sub>1</sub>-Нижньогірський; Iв<sub>2</sub>-Шубинський; Iв<sub>3</sub>-Казантипський;  
 Iв<sub>11</sub>-Північний борт (південний схил Середньоазовського підняття).

Істотно змінюється і речовинний склад утворення, які складають тіла палеовулканів [58]. Так, за даними магніторозвідки палеовулкани центральної та північно-східної частин прогину відображаються позитивними аномаліями, тоді як у західній частині поведінка магнітного поля спокійна. Ця різниця у поведінці магнітного поля свідчить про різні джерела їх генерації.

Північно-східна частина рифту, яка має північно-західне простягання, відображає процес задугового рифтингу при причленуванні терейну Кримія до Євразії, тоді як основна частина Північнокримського рифту, яка має чітко виражене північно-східне простягання, відповідає етапу причленування мікроконтиненту Дзірулія [55]. Про різну історію розвитку частин Північнокримського прогину свідчать і особливості будови прогинів кайнозойського віку, які залягають над різними частинами рифтогену. Осі Каркінітсько-Північнокримського прогину (північно-західний напрямок) та Михайлівської западини кулісоподібно зміщені відносно один одного.

Південніше Кримсько-Кавказької сутури розташовані палеомікроконтиненти Кримія та Теодосія, які причленувались до ранньомезозойської Лавразії, починаючи з середньоюрського віку. Ці мікроконтиненти увійшли до складу Гірськокримського терейну, південною границею якого є Південнокримський насув.

Згідно глобальних реконструкцій [32, 33], наприкінці ранньої крейди продовжувалось закриття океану Тетіс та формування у тиловій частині активної окраїни Євразії (приблизно уздовж осі сучасного Чорного моря) великого передрифтового підняття.

У пізній крейді в результаті виникнення процесів рифтогенезу відбулося блокове опускання цього підняття. Рифтогенез супроводжувався магматизмом, про що свідчать ізотопні визначення віку основних порід, які були підняті з північного континентального схилу Чорного моря Е. Ф. Шнюковим та ін. Такий самий магматизм відомий по простяганню рифту в малому Кавказі та Болгарії [54]. Наприкінці крейди рифтогенез перейшов у задуговий спрединг, що

привело до початку формування мікроокеану Паратетіс (Чорне море), та закладенню рифтів Чорноморської западини.

В палеоцені, еоцені, олігоцені та міоцені процеси дивергенції продовжувались і було сформовано Каркінітсько-Північнокримський, Індоло-Кубанський, Західно-Кубанський (Росія), Східно-Чорноморський та Західно-Чорноморський рифтогенні прогини, які були заповнені олігоцен-міоценовими відкладами (Рис. 1.1). Виділення границь Каркінітсько-Північнокримського та Індоло-Кубанського прогину носить умовний характер, що пов'язано з відсутністю крупних бортових палеоскидів. Границі проведено по зонах різкого зменшення товщин синрифтового комплексу (олігоцен – нижній міоцен). Каркінітсько – Північнокримський прогин розвинутий над центральним грабеном та північним бортом Північнокримського рифтогену і в деякій мірі повторює його форму.

Індоло-Кубанський прогин розташований в зоні зчленування мезозойської Євразії та мікроконтинентів Теодосія (як складової Гірськокримського терейну) і Анапія. Південний борт накладено на східне занурення терейну та Анапію, а північний борт на Середньоазовське підняття.

Границі Західночорноморського і Східночорноморського рифтів визначаються більш однозначно за наявністю бортових палеоскидів. Розвинуті ці рифтогенні прогини над мікроконтинентами Мъозія та Анапія, відповідно.

Розкриття океану Паратетіс продовжувалось до початку неогенового часу, коли сходження Африканської та Євразійської плит повністю подавили розвиток Паратетісу. На його краях почали формуватися насуви, меланжі та принасувні складки. Тектонічне скупчення привело до формування Кримських гір у результаті підсуву під них мезозойсько-кайнозойських комплексів. На цьому етапі еволюції відбулося формування основних зон розвитку локальних антиклінальних складок у відкладах мезозою та кайнозою. Цей геодинамічний режим не змінився і на теперішній час.

Із вищеприведеного можна зробити наступний висновок: за час геодинамічної еволюції Південний регіон України пройшов

ранньопалеозойський, ранньомезозойський і кайнозойський дивергентні, а також пізньопалеозойський, мезозойський і пізньокайнозойський конвергентні етапи розвитку. На цих етапах утворювались і зазнавали змін (майже до повної перебудови) основні тектонічні елементи, структури в осадовому чохлі. Таким чином, за минулі роки геолого-геофізичного вивчення регіону отримано інформацію про геологічну будову, стратиграфію, літологію, тектоніку, петрофізичну характеристику осадового чохла півдня України.

Аналіз літературних джерел, де міститься інформація про літолого-стратиграфічну і петрофізичну характеристику осадового чохла Південного регіону України, показав, що її структуровано хронологічно з розподілом на еонотеми, ератеми, системи і інші більш дрібні одиниці. Використання даних у такому вигляді при сейсмостратиграфічній інтерпретації, незручно, що пов'язано з багатьма факторами (неспівпадання сейсмічних, геощільнісних та геоелектричних границь з стратиграфічними; залежність геофізичних полів від літологічного складу, а не від віку відкладів та ін.).

На нашу думку, більш зручним є відокремлення та узагальнення за сейсмостратиграфічними одиницями різного рангу, що дозволяє:

- однозначно визначати стратиграфічні рівні горизонтів відбиття;
- вивчати за допомогою хвильових картин літологічний склад та його латеральні зміни в межах сейсмостратиграфічних одиниць;
- більш ефективно використовувати характеристики при вивченні регіонів з точки зору умов седиментації і історії розвитку за допомогою комплексної інтерпретації даних МСГТ з іншими методами;
- встановлення взаємозв'язку між літологічним складом та геофізичними полями.

Аналіз стану сейсмостратиграфічної інтерпретації даних МСГТ при вивченні геологічної будови півдня України показав, що основна увага приділялась вивченню основних динамічно виражених і протяжних горизонтів відбиття, приурочених до границь СЛП і окремих КССК. При цьому приділялося мало уваги аналізу рисунка сейсмічного запису в міжреперному

просторі і, як наслідок, не було проведено узагальнення його особливостей в різних сейсмостратиграфічних одиницях. Особливості хвильового поля пов'язувались тільки з умовами осадконакопичення. Проблемам виділення тектонічних розривів на часових розрізах не приділялося належної уваги. За своєю природою усі розриви вважалися підкідо-насувами, завдяки яким були утворені усі крупні тектонічні елементи Південного регіону.

На теперішній час проведено розчленування осадового чохла на сейсмічні комплекси різних рівнів з визначенням головних горизонтів відбиття та узагальнення даних про сейсмічні швидкості і літолого-стратиграфічну приуроченість [4, 59, 60].

Однак, не було визначено типи границь, які обмежують сейсмостратиграфічні одиниці різного рівня, геометричні форми фаціальних одиниць, характер контакту з іншими одиницями. Також не проведено узагальнення особливостей хвильових картин в різних сейсмостратиграфічних одиницях. Відсутність цих даних не дозволяє провести якісну сейсмостратиграфічну інтерпретацію.

Під рисунком сейсмічного запису розуміється взаємне розташування відбиттів, зафікованих у межах окремих сейсмостратиграфічних одиниць, а також варіації їх просторової конфігурації і безперервності та якісна оцінка параметрів, що характеризує ці відбиття (амплітуда, частота). При цьому однократні відбиття розглядаються як хроностратиграфічні, тобто ті, які відносяться до поверхні розділу верств або поверхні незгідностей. Виключення складають відбиття, пов'язані з поверхнями зон АВПТ, контактами різнофазових середовищ (ВНК, ГВК), січними інtrузіями, площинами насувів та деякими іншими факторами [61].

Кожний параметр сейсмічного запису має певну інформацію про будову товщі. Конфігурація відбиттів дозволяє встановити характер напластування, за яким можна судити про процеси осадконакопичення, палеорельєф та процеси ерозії [59]. Неперервність відбиттів свідчить про наявність витриманих по площі рівномірно напластованих відкладів. Амплітуда відбиттів несе

інформацію про співвідношення значень швидкості та густини на границях розділу пластів та їх товщину. Частота є параметром, залежним від взаємоположення границь відбиття та латеральних змін інтервальних швидкостей. Групування відбиттів за цими параметрами в сейсмічні фациальні одиниці, виділення їх на часових розрізах, вивчення просторового розповсюдження та стратиграфічної приуроченості дозволяють провести їх більш однозначну інтерпретацію [62].

Також при аналізі сейсмічних фаций важливо мати уяву про форму зовнішніх поверхонь фациальних одиниць. Це дає можливість більш однозначно визначати умови осадконакопичення, в яких утворилась та чи інша сейсмоформаційна одиниця.

За особливостями рисунка сейсмічного запису можна прогнозувати, в яких геодинамічних умовах виникло утворення різних тектонічних елементів, СЛП, КССК. На основі аналізу хвильових картин більш впевнено і однозначно виділяються і обмежуються різні геологічні об'єкти такі як палеовулкани, біогермні утворення [63], кліноформи, що характеризуються відмінним від вміщаючих товщ рисунком запису, а також оцінювати перетворення, що зазнають геологічні тіла від їх утворення до теперішнього часу [61].

Аналіз тектонічних схем та карт, створених на різних етапах вивчення регіону, дозволив зробити наступні висновки:

- найбільш повно тектоніку регіону характеризують схеми, які базуються на позиціях актуалістичної геодинаміки і на яких враховано наслідки усіх етапів еволюції регіону;
- на цих схемах знайшли своє відображення тектонічні елементи різних етапів розвитку.

Тому, при інтерпретації геолого-геофізичної інформації необхідно спиратися на схеми, які побудовано з позицій актуалістичної геодинаміки.

## Висновки

1. За час систематичного вивчення геологічної будови Південного регіону України виконано великий обсяг геолого-геофізичних досліджень. В результаті отримано інформацію про літолого-стратиграфічний склад, петрофізичні характеристики та тектонічну будову осадового чохла, яка структурована за стандартним хронологічним принципом, з розподілом на геохронологічні одиниці.

Використання узагальнених даних про літолого-стратиграфічний склад та петрофізичні характеристики осадового чохла з розподілом за сеймостратиграфічними одиницями різного рівня (геолого-геофізична модель) є більш ефективним і зручним при сеймостратиграфічній інтерпретації.

2. Погляди на тектонічну будову пройшли шлях від тих, що базуються на розломно-блоковій і складчасто-блоковій будові в рамках геосинклінальної теорії, до тих, які спираються на актуалістичну геодинаміку.

3. В фанерозойській історії півдня України виділяються три дивергентних (ранньопалеозойський, ранньомезозойський і кайнозойський) і три конвергентних (пізньопалеозойський, мезозойський і пізньокайнозойський) етапи.

4. Крупними структурами дивергентних етапів є рифтогенні прогини (Татарбунарський (Каменський), Каркінітсько-Сиваський та ін.), їх границями - палеоскиди лістричної кінематики. Основними конвергентними структурами є тектонічні пластини (блоки), які обмежені колізійними швами (сутурами), що визначають положення локальних диз'юнктивних і плікативних дислокаций, а також крайових прогинів.

5. Із-за послідовного чергування дивергентних і конвергентних етапів геодинамічного розвитку структури регіону повністю перебудовані, або несуть на собі сліди проявлення протилежних тектонічних рухів різних етапів.

6. У існуючих на теперішній час узагальненнях сеймостратиграфічних характеристик дані про літологічний склад СЛП і КССК надано у скороченому

(тезисному) вигляді і не охоплюють усю повноту літологічного складу відкладів, що недостатньо при проведенні інтерпретаційних робіт.

7. Для проведення якісної сейсмостратиграфічної інтерпретації необхідні повні знання про літого-стратиграфічний склад та петрофізичні властивості відкладів з розподілом їх за сейсмостратиграфічними одиницями (геолого-геофізична модель регіону).

8. Без чітких знань про характер хвильових картин та сейсмостратиграфічні характеристики, зафікованих в межах сейсмостратиграфічних одиниць (сейсмостратиграфічна модель регіону), ефективність сейсморозвідувальних досліджень залишається низькою.

9. З метою підвищення ефективності сейсмостратиграфічної інтерпретації матеріалів МСГТ необхідно розробити геолого-геофізичну та сейсмостратиграфічну моделі регіону.

Тому в розділі 2 наведено результати аналізу та узагальнення сейсмостратиграфічних характеристик структурно-літологічних поверхів, а також літого-стратиграфічна та петрофізична характеристика відкладів осадового чохла з розподілом за сейсмостратиграфічними одиницями.

## РОЗДІЛ 2

### ГЕОЛОГО-ГЕОФІЗИЧНА ТА СЕЙСМОСТРАТИГРАФІЧНА МОДЕЛІ ПІВДЕННОГО РЕГІОНУ УКРАЇНИ

#### 2.1 Принципи сейсмостратиграфічного розчленування розрізу

На теперішній час при інтерпретації сейсморозвідувальних даних, крім класичних методів вивчення основних динамічно виражених і протяжних горизонтів відбиття, виділення та трасування тектонічних розривів і т.д., широко використовуються прийоми сейсмостратиграфічної інтерпретації.

Основною задачою цього виду інтерпретації є вилучення із сейсмічних даних неструктурної інформації: виділення осадових формацій єдиного генезису; визначення товщини та умов седиментації комплексів осадових порід, які утворилися на різних етапах геодинамічної еволюції; оцінка глибин палеобасейну; встановлення палеотектонічних умов; вивчення рельєфу поверхонь незгідностей; виявлення палеогеографічних умов та історії геологічного розвитку; виділення геологічних тіл різного генезису (рифогенні будівлі, масиви палеовулканів, криптодіапіри та ін.); виділення тектонічних порушень.

Узагальнена методика сейсмостратиграфічних досліджень включає аналіз сейсмічних комплексів та сейсмофацій, які виділяються за конфігурацією та характером припинення простеження сейсмічних відбиттів від пластів осадових порід.

Першим етапом сейсмостратиграфічної інтерпретації є виділення сейсмічних комплексів різних ієрархічних рівнів та простеження їх на великих територіях на основі порівняння з ритмічно (циклічно) побудованими осадовими товщами.

Найбільшою сейсмостратиграфічною одиницею є структурно-літологочний поверх (СЛП) – сейсмічний образ осадового формаційного комплексу, який формувався протягом тривалого етапу розвитку, обмеженого

сейсмогеологічними границями. Такими границями, в основному, є регіональні поверхні незгідностей або перериви в осадконакопиченні.

Поверхні незгідностей добре помітні в межах того чи іншого стратиграфічного розрізу. На них встановлено достовірні ознаки проявів ерозійних процесів або перериви в седиментації з випаданням верств. Вони, як правило, відділяють більш молоді верстви розрізу від більш древніх та відповідають відносно тривалій відсутності осадконакопичення. На окремих ділянках незгідні поверхні можуть переходити в менш виразні приховані незгідності. Вздовж таких поверхонь, як правило, немає фізичних ознак, які б свідчили про наявність незгідності, тому їх прийнято називати “згідними”. Стандартна класифікація незгідностей, застосована при сейсмостратиграфічних дослідженнях, складена Донбаром і Роджерсом в 1957 році [64] та доповнена Мітчемом, Вейлом [65, 66]. Згідно цієї класифікації виділяються: ерозійний зріз - верстви в покрівлі комплексу розмиті біля верхньої границі в основному в результаті еrozії; покрівельне прилягання - початково похилені осі в покрівлі комплексу обмежуються біля верхньої границі в основному в результаті відсутності осадконакопичення; покрівельна згідність - співвідношення верств, при якому верстви в покрівлі комплексу не обриваються біля верхньої границі; підошовне налягання - в підошві комплексу початково горизонтально залягаючі верстви поступово виклинюються біля початково похиленої поверхні, або початково похилені верстви поступово виклинюються догори по піднесенню біля поверхні, яка мала в період осадконакопичення більший кут нахилу; підошовне прилягання - в основі комплексу початково похилені верстви спостерігається поступове зникнення відбиттів біля первісно горизонтальної або похиленої поверхні; підошовна згідність - верстви у підошві комплексу паралельні підошовній границі.

В основу цієї класифікації покладено наявність або відсутність паралельності між верствами та самою граничною поверхнею. Ці критерії визначаються з великою долею імовірності за часовими розрізами МСГТ, що забезпечує надійне виділення СЛП. Крім того, імовірність виділення СЛП

забезпечується відносно великою товщиною відкладів, що складають поверхні (від перших сотень метрів до декількох кілометрів), які значно більші роздільної здатності методу.

Наступними за СЛП в ієрархії сеймостратиграфічних одиниць є квазисинхронні сейсмічні седиментаційні комплекси (КССК) і сейсмічні пакети (СПК), які їх складають та сеймопачки (СПЧ).

КССК – є сейсмічним образом геологічного тіла, складеного генетично пов'язаними верствами, які сформувалися на окремих фазах тектонічних етапів.

Покрівлею і підошвою КССК є сеймогеологічна границя, пов'язана з незгідністю, або з еквівалентною до неї згідною границею. На відміну від СЛП, границями КССК можуть бути як регіональні поверхні незгідностей, так і ті, які мають локальний (зональний) характер. Більш менші сеймостратиграфічні одиниці є сейсмічним відображенням групи геологічних верств (СПК) або однієї верстви (СПЧ), що об'єднують відклади з загальними літологічними ознаками, закономірно змінюються по простяганню та залежать від умов осадконакопичення і характеризуються одним типом рисунка сейсмічного запису.

Спираючись на ці принципи у кінці минулого сторіччя було зроблено розчленування розрізу на СЛП і КССК та узагальнено деякі характеристики осадового чохла [4, 59, 60], що мають суттєві недоліки, які наведено у розділі 1. В першу чергу, це стосується неповного опису літологічного складу, що суттєво знижує ефективність використання цих узагальнень на практиці, у різноманітних моделях, які використовуються при сеймостратиграфічній інтерпретації.

В зв'язку з цим є дуже актуальним завдання детального вивчення літологічного складу в межах виділених сеймостратиграфічних одиниць.

## 2.2 Літолого-стратиграфічна характеристика СЛП Південного регіону України

Найбільш древні породи **архейського, нижньо-середньопротерозойського віку** розкрито в межах Західного Причорномор'я в свердловинах Суворівська 4, Болградська 1, Джаларська 1, Мирненська 1 та ін.; вони представлені гранітоїдами групи плагіогранітів, які піддалися вторинним змінам [67]. Розкрита товщина досягає 1894 м в свердловині Джаларська 1.

Осадовий чохол району робіт складений породами палеозойського, мезозойського та кайнозойського віків, в складі яких виділяються структурно-літологічні поверхні.

У відкладах вендської (V) та кембрійської (Є) систем протерозойської і палеозойської ератем виділяється самий древній **СЛП XI-Т**.

**Відклади венду та кембрію** на всю товщину розкриті свердловинами Яргарськими 110-111, Феропонтівською 19, Валя-Пержей 20 та Суворівською 4 [67] Городненською 1 та Лиманською 1 в межах Придобруджинського прогину.

Літологічно відклади венду представлені кварцовими пісковиками, алевролітами з проверстками аргілітів, а також туфоаргілітами [54].

Розкрита товщина відкладів венду досягає 1860 м.

Кембрійські відклади літологічно представлені польовошпат-кварцовими пісковиками з проверстками аргілітів, алевролітів, конгломератів. Загальна товщина кембрійських відкладів досягає 375 м.

Наступний **СЛП X-КТ** включає в себе ордовикську (О) і силурійську (S) системи та нижній віddіл девонської системи ( $D_1$ ).

**Відклади ордовику** розкриті тільки свердловинами Яргарськими 110-111. Літологічно представлені кварцитоподібними пісковиками з тонкими прошарками алевролітів. Товщина цих відкладів досягає 26 м, їх поширення можливе тільки уздовж північного борту Придобруджинського прогину.

На відкладах ордовику, а також протерозою трансгресивно залягають **відклади силурійського віку**. На всю товщину вони розкриті свердловинами

Балабанівською 1, Джалаарською 1, Лиманською 1, Мирненською 1, Саратськими 1 і 6 та ін. в межах Західного Причорномор'я [68]. Товщина відкладів досягає 764 м (св. Мирненська 1). Літологічно ці відклади представлені темно-сірими вапняками та мергелями з проверстками алевролітів і аргілітів [69].

**Відклади нижнього девону** розкриті свердловинами Фурманівською 1, Валя-Пержей 20, Городненською 1, Розівською 1, Лиманською 1 та ін. Товщина відкладів досягає 349 м (св. Городненська 1). Літологічно ці відклади представлені мергелями, аргілітами, доломітизованими вапняками. У верхній частині розрізу карбонатність аргілітів збільшується, з'являються аргіліти з прошарками мергелів і вапняків [70]. Завершується розріз нижнього девону строкатобарвистими пісковиками та алевролітами з прошарками аргілітів.

**СЛП IX-СК** включає в себе середній і верхній відділи девонської системи ( $D_2$ - $D_3$ ) та турнейський і візейський яруси нижнього відділу кам'яновугільної системи ( $C_{1t}$ - $C_{1v}$ ).

**Відклади середнього та верхнього девону** розкриті на повну товщину свердловинами Балабанівською 1, Саратськими 2, 3, 4, 6, Тузловською 2, Фурманівською 1 та ін.

**Відклади середнього девону** представлені ейфельським і живетським ярусами [71]. Ейфельський ярус складений переважно ангідритами та доломітами з рідкими тонкими прошарками аргілітів і доломітових глин, у верхній частині розрізу широко розповсюджені доломітизовані органогенні та органогенно-уламкові вапняки [70]. Товщина відкладів досягає 560 м. Відклади живетського ярусу представлені сірими майже чорними вапняками доломітизованими з прошарками мергелів, місцями доломітів і ангідритів. Товщина ярусу до 430 м.

**Верхньодевонські відклади** згідно залягають на породах середнього девону і представлені франським та фаменським ярусами [71].

Літологічно представлені сірими доломітизованими вапняками, доломітами, ангідритами з прошарками аргілітів, іноді доломітизованих

мергелів, алевролітів та пісковиків [71]. Товщина франського ярусу до 440м, фаменського ярусу до 270м.

**Турнейський і візейський яруси нижнього відділу карбону** складені переважно карбонатним типом розрізу. Літологічно представлені доломітизованими, пелітоморфними, органогенно-детритовими вапняками і доломітами з рідкими прошарками аргілітів і ангідритів. Товщина турнейського ярусу біля 300 м. Товщина візейського ярусу досягає 270 м.

До складу **СЛП VIII-Т** входять теригенні відклади серпухівського ярусу нижнього відділу кам'яновугільної системи ( $C_1s$ ).

На повну товщину ці відклади розкриті в тих же свердловинах, що і породи вище приведених ярусів. На півночі розповсюдження товщи контролюється границею Придобруджинського прогину.

**Розріз серпухівського ярусу** представлений, на відміну від візейського і турнейського, теригенними породами – аргілітами з проверстками алевролітів, пісковиків, іноді в розрізі зустрічаються вапняки. У верхній частині розрізу спостерігаються верстви кам'яного вугілля, іноді прошарки доломітів, вапняків, сидеритів і мергелів товщиною 10-20 см. Загальна товщина ярусу досягає 700 м.

Пермська та тріасова системи (Р-Т) входять до складу **СЛП VII-КТ**.

**Відклади пермсько-тріасового віку** мають досить нерівномірне розповсюдження. В результаті перед'юрського розмиву вони залишилися тільки в крупних грабенах і депресіях, а також у вигляді екзотичних брил в Гірському Криму [52].

За літолого-формаційним складом відклади поверху слід розділити на 2 підповерхи: пермсько-нижньотріасовий і середньо-верхньотріасовий.

В Придобруджинському прогині на утвореннях нижнього карбону трансгресивно залягають континентальні відклади, які умовно відносяться до **пермсько-нижньотріасового віку**. Представлені вони червоноколірними пісковиками, алевролітами та аргілітами з прошарками гравелітів, конгломератів і вулканогенних порід. Серед останніх виділяються інтузивні

гіпабісальні, ефузивні, вулканогенно-осадочні та ін. породи [69]. В свердловині Татарбунари 1 розкрита товщина цих відкладів досягає 2800 м.

В межах Північного Причорномор'я під відкладами крейди глибокими свердловинами розкрита товща осадочно-ефузивних порід ранньопермського віку. Представлені вони чорними та темно-сірими сланцями з прошарками пісковиків, алевролітів, гравелітів, туфів та туфітів, а також ефузивів [69].

**Середньо-верхньотріасові відклади** в межах Придобруджинського прогину представлені переважно морськими відкладами: сірими, рожевими і білими мармуровидними вапняками, сірими і темно-сірими органогенно-уламковими і оолітовими вапняками та мергелями. Серед ефузивних порід зустрічаються андезитові і діабазові порфірити. Розкрита товщина їх 320 м.

Верхньотріасові відклади в Татарбунарському грабені складені чергуванням аргілітів, алевролітів, пісковиків, мергелів і вапняків [67]. Товщина досягає 3030 м (св. Стари Трояни 1).

Відклади тріасу розкриті також в південно-західній частині Рівнинного Криму (св. Євпаторійські 8, 10, Федорівська 12 та ін.). Розріз тріасу складений аргілітами, метаморфізованими вапняками, мергелями, метаморфізованими пісковиками, алевролітами і глинистими сланцями, прорваними плагіограніт-порфіритами і кварцовими діоритами [70]. На Тетянівській площі розріз ділиться на дві частини: нижня, яка відноситься до середнього тріасу, представлена аргілітами з проверстками пісковиків і алевролітів, а верхня, яка відноситься до верхнього тріасу, представлена конгломератами, гравелітами і пісковиками з проверстками аргілітів.

Розкрита товщина тріасових відкладів в Рівнинному Криму досягає 500 м.

В Гірському Криму відклади верхнього тріасу представлені переважно тонкоритмічним теригенним флішем (таврійська серія) з піщано-алевроліто-аргілітовим та аргіліто-алевролітовим складом флішових ритмів. На локальних ділянках зустрічаються прошарки туфів, туфітів, кератофіритів та спілітів. Зустрічаються пластові інтрузії і дайки діорит-порфіритового та діабазового складу [52].

Відклади тоарського ярусу ( $J_1$ ) на сьогоднішній день розкриті в Присивасці [72] (св. Генічеська 5 і св. Новоолексіївська 1) та на північно-західному шельфі Чорного моря (св. Іллічівська 2).

На Іллічівській площині в межах Каламітського підняття нижньоюрські відклади внизу складені аргілітами і пісковиками, вверху – аргілітами з прошарками алевролітів.

**Відклади середньої юри** в регіоні мають більш широке розповсюдження і найбільш добре вивчені в Західному Причорномор'ї [73].

Базальна пачка середньої юри, сформована в прибережно-мілководних умовах, залягає незгідно на ерозійній поверхні різновікових доюрських утворень. Складена пачка сірими різнозернистими пісковиками з прошарками глин [73]. Товщина горизонту 0-60 м.

Відклади байоського і батського ярусів представлені сірими аргілітами або глинами з прошарками аргілітів, пісковиків, рідше вапняків і мергелів. Товщина відкладів досягає 1700 м.

В Рівнинному Криму передбачається розвиток в нижній і середній юрі піщано-глинистих відкладів [72].

До складу **СЛП V-КТ** входять відклади верхнього відділу юрської системи ( $J_3$ ).

**Відклади келовою** в межах Придобруджинського прогину повсюдно залягають трансгресивно на породах батського ярусу, іноді на девоні і силурі [74]. Літологічно представлені алевролітами, аргілітами і вапняками [70]. Товщина ярусу коливається від 0 до 800 м.

**Відклади оксфорду** діляться на нижньо- і верхньооксфордські. Нижня частина ярусу складена темно-сірими щільними вапняками і мергелями з прошарками аргілітів; товщина відкладів до 130 м. Верхньооксфордські відклади на півночі прогину представлені органогенними і рифогенними вапняками. Біогермні вапняки розкриті в свердловинах на Саратській, Валя-Пержейській, Баймаклійській, Баурчинській, Андрушинській та ін. структурах [73]. Рифогенна зона простягається на відстань 150 км при ширині 18-20 км. В

піднятих кернах біогермні вапняки складаються із рештків рифоутворюючих організмів: коралів, моховаток, брахіопод, голкошкірих та ін. Товщина ярусу досягає 850 м.

**Відклади кімериджського ярусу** складені вапняками, глинами, доломітами, гіпсами і ангідритами, а титонського ярусу – пістрявими глинами з прошарками пісковиків і гіпсоангідритів [74]. Товщина верхньої юри досягає 1500 м.

В межах Кримського півострова відклади кімериджського віку представлено конгломератами, а титонського – вапняками.

**СЛП IV-BT** включає в себе нижній відділ крейдової системи ( $K_1$ ).

**Відклади нижньої крейди** на даній території мають нерівномірне поширення: в Рівнинному Криму і Північному Причорномор'ї в розрізі нижньої крейди відсутні беріаський, валанжинський і, частково, готерівський яруси. В Західному Причорномор'ї поширені, головним чином, беріас-аптські відклади [70].

В Гірськокримському районі присутні всі яруси нижньої крейди. На Керченському півострові відклади нижньої крейди вивчені ще недостатньо – в Мошкарівській зоні відсутні готерівський і баремський яруси. Передбачувана товщина відкладів до 3000 м.

В Північнокримському рифті розріз нижньої крейди характеризується великою товщиною відкладів (до 3200 м). Тут розвинуті прибережно-морські та континентальні відклади готерів-барему - нижнього апту (пісковики, гравеліти, глини, рідко вапняки) і морські відклади верхньоапт-альбського віку (переважно темно-сірі глини і алевроліти). Різка зміна літологічного складу аптських відкладів порівняно з баремськими пов'язана з початком закладення рифту. Про це свідчить наявність обвуглених рослинних залишків, що характерно для рифтів «байкальського типу» на початковому етапі розвитку [75]. В середній і верхній частині альбського розрізу широко розвинуті вулканогенні породи (туфи, туфіти та ефузивні породи) [76].

Потужність альбських відкладів в Північнокримському рифті перевищує 3000м (що складає 80% товщини нижньої крейди). Велика потужність альбських відкладів, широке розповсюдження вулканогенних утворень та збільшення піскуватості вверх по розрізу дозволяє віднести альбські відклади до рифтогенної формaciї [75].

На Центральнокримському піднятті та Каламітському валу (св. Іллічівська 2) розвинуті в основному теригенно-вулканічні породи загальною товщиною біля 1000 м.

У північно-західному Приазов'ї в теригенному розрізі поряд з глинистими утвореннями широко розвинуті кремнисті. Товщина цих відкладів 150-360 м.

**СЛП III-К** включає в себе відклади верхнього відділу крейдової системи ( $K_2$ ) та палеоцен-еоцену палеогенової системи ( $P_1-P_2$ ).

Відклади верхньої крейди в регіоні мають дуже широкий розвиток. Вони повністю відсутні тільки на Середньоазовському піднятті і в межах Головної гряди Гірського Криму. На інших ділянках можуть бути відсутні тільки окремі яруси.

**Розріз верхньої крейди** в основному представлений карбонатними породами: вапняками, мергелями, писальною крейдою. В Рівнинному Криму сеноманські відклади літологічно дуже схожі на альбські і мають з ними поступовий перехід, на Іллічівській площі вони представлені червоноколірними і сірими глинами та аргілітами з прошарками туфів і ефузивних порід [54].

В сantonських відкладах виділяється дві товщи. В нижній (ранньосантонській) переважають вапняки, у верхній - мергелі та аргіліти. Ця зміна літологічного складу свідчить про різні режими осадконакопичення, що пов'язано з закінченням процесу рифтоутворення та початком синеклізного етапу розвитку, який продовжувався до початку палеогенового часу [77, 78].

Найбільша товщина відкладів верхньої крейди в межах Північнокримського прогину близька до 2500 м, в межах Індоло-Кубанського прогину досягає 2000 м.

Відклади **палеоцену і еоцену** мають широке розповсюдження. Літологічно представлені в основному карбонатними породами, в меншій мірі – теригенними. Ці відклади розкриті на повну товщину значною кількістю глибоких свердловин. Тому їх літологічний склад і стратиграфія досить добре вивчені.

В межах Північнокримського прогину відклади нижнього палеоцену представлені вапняками органогенно-детритовими, органогенно-пелітоморфними і мергелями [54]. Загальна товщина їх більше 300 м. Верхній палеоцен представлений переважно мергелями з прошарками глинистих вапняків, а в покрівлі – глин. Товщина їх досягає 320 м.

В межах Індоло-Кубанського прогину палеоценові відклади представлені переважно глинистими і глинисто-карбонатними відкладами, на Краснопольській площі вапняками біогермного походження [54]. Товщина відкладів до 1240 м (св. Горностаївська 4).

**Відклади еоцену** розчленовуються на три товщі, із яких нижня і верхня складені вапнистими глинами, а середня – вапняками і мергелями.

До складу СЛП II-Т входять відклади **олігоцену** палеогенової системи та нижньої частини **міоценового віddілу** неогенової системи ( $P_3mk+N_1$ ), які складають майкопську серію.

Літологічно ці відклади складені в основному темними глинами з рідкими прошарками алевролітів і дрібнозернистих пісковиків товщиною 1-5 м.

Загальна товщина відкладів в межах Індоло-Кубанського прогину до 4000 м, Північнокримського – біля 900 м. Відклади майкопської серії відсутні в найбільш піднесеній частині Новоселівського підняття, в центральній частині Кримського передгір'я, на деяких структурах Тарханкутського півострова. В межах Індоло-Кубанського прогину в основі майкопської серії зустрічаються пачки піщано-алевритових порід товщиною 150-250 м.

В межах Західного Причорномор'я відклади майкопської серії складені переверстуванням зеленувато-сірих піскуватих глин, проверстками алевритистих, з мергелями і пісковиками. Товщина відкладів досягає 150 м.

**СЛП I-ТК** включає в себе середній та верхній міоцен ( $N_1^2-N_1^3$ ), пліоцен ( $N_2$ ) неогенової системи та відклади четвертинної системи (Q).

**Відклади неогенового віку** трансгресивно залягають на відкладах, які залягають нижче. Вони поширені на усій території даного регіону [54].

Літологічно відклади в межах Придбруджинського прогину представлені вапняками, які вище по розрізу змінюються глинами з проверстками пісковиків, пісків та вапняків. Товщина цих відкладів в свердловині Городненській 1 досягає 450 м.

В межах Індоло-Кубанського та Каркінітсько-Північнокримського прогинів ці відклади представлені глинами з тонкими проверстками вапняків, мергелів, пісковиків та пісків [54]. Товщина відкладів більше 600 м.

В межах Каркінітсько-Північнокримського прогину товщина неогенових відкладів змінюється від 0 до 400 м.

**Четвертинні відклади** в цілому залягають з незгідністю на неогенових. Літологічно представлені глинами, суглинками з включеннями гальки та дрібного гравію, вапняками-черепашниками [54]. Товщина цих відкладів рідко перевищує 50 м.

Дані про літолого-стратиграфічний склад відкладів осадового чохла, наданий у такому вигляді, є базою для створення геолого-геофізичної моделі.

## 2.3 Геолого-геофізична модель

Для створення геолого-геофізичної моделі, окрім даних про літолого-стратиграфічний склад сейсмостратиграфічних одиниць необхідні узагальнені дані про петрофізичні властивості відкладів осадового чохла. Таке узагальнення вперше проведено в рамках дисертації. При проведенні цих досліджень використовувались літературні [5-7, 8, 9] і фондові [54, 70, 74], а також матеріали зібрани автором в період з 1984 по 2004 рік [79]. В результаті було узагальнено дані про швидкість розповсюдження пружних коливань, щільність, пористість, магнітну сприйнятливість та позірні опори порід осадового чохла,

які лягли до основи геолого-геофізичної моделі осадового чохла Південного регіону України (Таблиця 2.1).

Отримані результати дали можливість обґрунтувати стратиграфічні рівні основних горизонтів відбиття і розділити петрощільнісні комплекси, які різко відрізняються між собою, оцінити значення пористості, магнітної сприйнятливості і позірних опорів відкладів осадового чохла, установити деякі закономірності зміни петрофізичних властивостей у вертикальному розрізі.

**В межах Придобруджинського прогину** найбільшою щільністю і швидкістю розповсюдження пружних коливань характеризуються осадові породи, які складають **СЛП XI - Т і IX – СК** (венд-кембрій та середній девон - нижній карбон). Покрівлі і підошви цих поверхів є витриманими щільнісними і швидкісними границями.

Відклади нижнього девону і силуру (**СЛП X-КТ**) характеризуються зменшенням середньої щільності на  $100 \text{ кг}/\text{м}^3$ , по зрівнянню з СЛП XI-Т і СЛП IX-СК. Середня щільність ( $2600 \text{ кг}/\text{м}^3$ ), та пластова швидкість ( $4100$ - $4700 \text{ м}/\text{с}$ ) цього комплексу порід порівняно висока, що пояснюється великою глибиною залягання (особливо в межах Білоліського блока) і наявністю в розрізі щільних ефузивних утворень та високошвидкісних карбонатів. В цілому, комплекс порід нижньокарбонового віку характеризується відносно малими значеннями пористості як загальної, так і відкритої (від 0,4 до 14,3%).

Колекторами в межах СЛП XI-Т, X-КТ і IX-СК є силурійські вапняки, пісковики нижнього девону, а також доломіти і вапняки середнього девону.

Наступний, верхньокарбоновий – тріасовий, комплекс (**СЛП VIII-Т, VII-КТ**) характеризується зниженими значеннями середніх щільностей ( $2500$  –  $2570 \text{ кг}/\text{м}^3$ ) та сейсмічними швидкостями  $3000$  –  $5200 \text{ м}/\text{с}$ . Щільнісна (від 100 до  $130 \text{ кг}/\text{м}^3$ ) і швидкісна (від 750 до  $900 \text{ м}/\text{с}$ ) різниці у підошві СЛП VIII-Т та покрівлі СЛП VII-КТ роблять ці горизонти опорними для гравіметричної і сейсмічної розвідок.

# ГЕОЛОГО-ГЕОФІЗИЧНА МОДЕЛЬ ОСАДОВОГО ЧОХЛА ПІВДЕННОГО РЕГІОНУ УКРАЇНИ

Таблиця 2.1

№ п/п	Структурно - літологічні поверхи (СЛП), індекси, вік	Літологічний склад	Щільність $\rho$ , кг/м <sup>3</sup>	Пористість загальна, відкрита* n, %	Магнітна сприйнятливість $\chi, 10^{-5}$ CI	Позірний опір $\rho_p$ , Ом·м	Інтервальна (пласта) швидкість, $V_{int.}$ , м/с
1	2	3	4	5	6	7	8
<b>Приобруджинський прогин</b>							
1.	<b>I-ТК</b> (теригенно-карбонатний) неоген – палеоген – крейда	глини, алевроліти, пісковики, валняки	1970-2410	2.2-18	2-6	2-5 2-5 5-10 20-100	1800-2400
2.	<b>V-КТ</b> (карбонатно-теригенний) верхня юра	глини, алевроліти, валняки, хемогенні, пісковики	2480-2540 2300-2570 — / — — / — — / —	2.5-11.5 7.2-22.54* 3.2-8.87* 0-1 9.38-32.17*	2-6	2-10 5-15 50-200 100-400 10-25	2800-4600
3.	<b>VI-T</b> (теригенний) середня юра	аргіліти, алевроліти, пісковики	2480-2540 2200-2500 — / —	2.5-11.5 4.93-25.53* — / —	5-6 — / — — / —	2-10 5-20 — / —	3200-4400
4.	<b>VII-КТ</b> (карбонатно- теригенний) тріас - перм	аргіліти, алевроліти, мергелі, валняки, конгломерати, гравеліти, пісковики, гіпси,	2210-2610 — / — 2600-2620 2600-2610 2400-2600 — / — 2220-2700 2300-2480	4-6 0.1-33* 2-7 — / — 2-6 — / — 0.04-19.88* 0.2-3	6-7	2-10 5-20 20-60 20-150 15-30 — / — 10-20 100-200	3000-3500

Продовження таблиці 2.1

1	2	3	4	5	6	7	8
		вулканокластичні утворення, ефузиви	2500-2570  2740	0.4-7.2  1.2-2.3	2 600	20-100  150-250	
5	VIII-T (теригенний), верхній карбон	аргіліти, алевроліти, пісковики, кам'яне вугілля	2500-2540  2520-2640  — / —  —	0.8-6*  9-10. 5*  — / —  —	5-15	2-15  10-25  20-30	4700-5200
6	IX-СК (сульфатно-карбонатний), нижній карбон, верхній і середній девон	мергелі, вапняки, доломіти, ангідрити, аргіліти	2640 - 2700  — / —  — / —  — / —  2500-2540	0.23 – 4.11*.  — / —  1-14.3  1 – 3*  9-10.5	5 - 28	20 – 60  20-1000  — / —  40-70  10-20	5400-6000
7	X-КТ (карбонатно-теригенний), нижній девон, силур	аргіліти, алевроліти, пісковики, вулканокластичні утворення, вапняки, ефузиви	2500-2570  — / —  — / —  — / —  2670-2720  2650-2800	—  8.5 – 10  1.07 – 6.5*  0.4 – 7.5*  0.51- 7.42*  1.3 – 2.8	6	10 – 20  20 – 50  — / —  20 – 60  20 – 100  150 – 750	4100 – 4700
8	XI-T (теригенний), венд-кембрій	аргіліти, алевроліти, пісковики, філіти	2700-2770  — / —  — / —	—  1.05 – 6.34*  — / —	5-6	15 - 25  10 - 100  — / —  10-750	4600 – 5600
<b>Каркінітсько-Північнокримський прогин</b>							
1	I-TK (теригенно-карбонатний) неоген	вапняки, глини, пісковики	даних  даних  немає	До 55  До 5  До 55	даних  даних  немає	До 10  ~ 1  До 10	1800-2500

Продовження таблиці 2.1

1	2	3	4	5	6	7	8
2	<b>II-T</b> (теригенний) олігоцен - нижній міоцен	глини, алевроліти, пісковики	1800-2000 1660-2770 1800-1960	11.6-34.18 4.0-36.86* 11.7-39.0*	2-3	2-5 2-10 5-20	2000-2500
3	<b>III-K</b> (карбонатний) еоцен-палеоцен, верхня крейда	мергелі, вапняки, вулканогенні утворення, глини, пісковики	1270-2670 2000-2470 2500-2570 1270-2570 1680-2480	0.18-31.5 0.14-18.9 0.02-20.0 2.50-51.0 5.6-35.8	2-4 2 500 2-4 — / —	10-200 10-200 10-100 2-8 5-20	2800-5900
4	<b>IV-BT</b> (вулканогенно- теригенний) нижня крейда	аргіліти, мергелі, вулканокластичні утворення, ефузиви, алевроліти, пісковики	1330-2680 2420-2680 2510-2570 2480-2680 1700-2670 — / —	0.11-1.75 0.13-5.9 0.02-20.0 0.11-45.42 0.3-21.9* — / —	2-4 2 500 2-4 — / —	2-10 10-50 10-50 <100 5-20 — / —	3200-5500
5	<b>VI-T</b> (теригенний) середня юра	аргіліти, пісковики, сланці	2600-2620	2-9	2-5	2-15 — / — >100	4700-5600

**Інділо-Кубанський прогин**

1	<b>I-TK</b> (теригенно-карбонатний) неоген	вапняки, глини, пісковики	2200-2270 1520-1980 1600-2500	1.2-18.2 20.3-40.2 10.2-30.0*	2-10	до 500 2-5 до 20	1800-2500
2	<b>II-T</b> (теригенний) олігоцен-нижній міоцен	глини, алевроліти, пісковики	1580-2340 1700-2770 — / —	12.2-29.3 13-28* — / —	40-50 10-20 — / —	2-5 10-20 — / —	1900-2700
3	<b>III-TK</b> (теригенно-карбонатний)	мергелі, вапняки,	2240-2640 2530-2630	0.33-4.73* 0.6-23.61*	0-2	30-50 70-400	2800-4600

Продовження таблиці 2.1

1	2	3	4	5	6	7	8
	еоцен-палеоцен-верхня крейда	аргіліти, пісковики	2140-2350 2590-2610	9.85-25.95 2.59-3.9	50 20	2-5 10-20	
4	<b>IV-T</b> (теригенний) нижня крейда	аргіліти, алевроліти, пісковики	2360-2410 — / — — / —	5.35-12.74 — / —	даних немає	2-10 15-20 20-40	3000-5200
5	<b>V-TK</b> (теригенно-карбонатний) верхня юра	вапняки, аргіліти, пісковики	2622-2638** — / — 2600**	даних немає	даних немає	50-2 000	4000-5000
6	<b>VI-T</b> (теригенний) середня юра	аргіліти, пісковики, гравеліти	2550-2570** 2600**	даних немає	даних немає	даних немає	

Примітка. \*\* Значення щільності порід у відслоненнях Гірського Криму.

Породи-колектори в межах цих СЛП представлені пісковиками верхнього карбону (відкрита пористість до 10,5%) та тріасу (відкрита пористість до 19,88%).

В наступному, середньоюрському комплексі (**СЛП VI-T**) зафіковано зменшення середньої щільності до  $2370 \text{ кг}/\text{м}^3$  і збільшення пластових швидкостей до  $3200 - 4400 \text{ м}/\text{s}$  порівняно з **СЛП VII-KT**. Породи-колектори представлені піщано-алевритовими різницями, які характеризуються підвищеними значеннями відкритої пористості (до 25,53%).

Верхньоюрський структурний комплекс (**СЛП V-KT**) характеризується наявністю витриманої карбонатної формациї з середньою щільністю  $2430 \text{ кг}/\text{м}^3$ , пористістю до 8,87% і швидкостями до  $4400 \text{ м}/\text{s}$ . Ця карбонатна товща відокремлена різкими щільнісними і швидкісними границями від нижче і вищезалляючих відкладів. Щільнісна і швидкісна різниці та регіональне розповсюдження роблять ці горизонти опорними. Близькими петрофізичними характеристиками відмічаються відклади, які складають карбонатно-хемогенний комплекс кімеридж-титонського віку, який розвинутий в південно-західній частині Західного Причорномор'я. На решті території ці відклади відсутні, або їх товщина мінімальна.

Найменш щільні і низькошвидкісні (неоген-крейдові) відклади (неоген-крейдові) належать до складу **СЛП I-TK**. Наявність в підошві поверху різкої щільнісної ( $290 \text{ кг}/\text{м}^3$ ) і швидкісної (біля  $1000 \text{ м}/\text{s}$ ) граничної поверхні робить її опорною [79].

Відмічені основні опорні границі в підошвах і покрівлях СЛП та окремих товщ в середині поверхів мають повсюдне розповсюдження. Інші щільнісні і швидкісні границі невитримані і мають локальне розповсюдження.

**В межах Каркінітсько-Північнокримського прогину** найбільш щільні ( $2600 \text{ кг}/\text{м}^3$ ) і високошвидкісні породи ( $\sim 5000 \text{ м}/\text{s}$ ) складають **СЛП VI-T**. До покрівлі поверху приурочена щільнісна границя з надмірною щільністю ( $100-200 \text{ кг}/\text{м}^3$ ), а також різка границя відбиття з перепадом інтервальних швидкостей (біля  $800 \text{ м}/\text{s}$ ).

Вище залягає комплекс порід крейдового віку, який характеризується приблизно рівними значеннями середньої щільності (біля  $2000 \text{ кг}/\text{м}^3$ ). В межах СЛП IV-BT і III-K підвищеною щільністю володіють вулканогенні утворення ( $2530-2540 \text{ кг}/\text{м}^3$ ) і ефузивні породи ( $2540 \text{ кг}/\text{м}^3$ ), решта відкладів характеризується широким діапазоном зміни петрофізичних характеристик. Швидкість розповсюдження пружних коливань змінюється в діапазоні від 3200 до 5900 м/с. В межах цих СЛП найменшими пластовими швидкостями характеризуються глинисті формаційні одиниці нижньої крейди, а максимальними – пісковики нижньої і карбонати верхньої (турон-консьак). В межах палеоценової частини СЛП III-K відмічається різке зменшення швидкостей розповсюдження пружних коливань і щільності порід в інтервалах еоценових відкладів, що обумовлює наявність щільнісної ( $G_{\text{над}} = 150 \text{ кг}/\text{м}^3$ ) і границі відбиття в покрівлі палеоценових відкладів.

В товщі нижньокрейдових відкладів колектори представлені алевритопіщаними і вулканогенними утвореннями. Карбонатні породи верхньої крейди в монолітах практично непроникливі [8]. Колекторські властивості цих відкладів мало залежать від щільності і обумовлені вторинною тріщинуватістю і пустотністю. У відкладах палеоцену і еоцену колекторами є нещільні піщано-алевритові породи та тріщинуваті мергелі і вапняки.

Теригенний комплекс олігоцен-нижньоміоценового віку (СЛП II-T), який залягає вище, характеризується відносно малими значеннями середньої щільності (біля  $1900 \text{ кг}/\text{м}^3$ ) і різким зниженням інтервальних швидкостей (до  $2000-2150 \text{ м}/\text{s}$ ). Для поверху характерні відносно високі значення пористості як загальної, так і відкритої, що і обумовлює добре колекторські властивості піщано-алевритових порід. Найбільш широко вони розповсюджені в східній частині Рівнинного Криму, Північно-східному Присивасі, Північному Причорномор'ї.

**В межах Індоло-Кубанського прогину** комплекс порід, який належить до складу СЛП IV-T і V-TK, петрофізичними дослідженнями не вивчений, а про властивості нижньокрейдових відкладів можна судити за одиничними

визначеннями. Більш детально вивчена теригенно-карбонатна товща еоцен-верхньої крейди.

Згідно отриманих даних в підошві верхньої крейди і верхнього еоцену зафіксована різка геощільнісна ( $G_{\text{над}}=200 \text{ кг}/\text{м}^3$ ) та швидкісна границі ( $\Delta V_{\text{інт.}}$  біля 1000 м/с).

Породи-колектори представлені тріщинувато-кавернозними карбонатними і глинисто-карбонатними відкладами (відкрита пористість до 23,61%), а також піщано-алевритовими породами, які мають підлегле значення.

Відклади олігоцен-неогенового віку **СЛП II-T і I-TK** характеризуються зниженими значеннями середньої щільності і інтервальних швидкостей. До найбільш щільних порід відносяться вапняки неогенового віку ( $G_{\text{cep}}=2450 \text{ кг}/\text{м}^3$ ) і пісковики олігоцену ( $G_{\text{cep}}=2250 \text{ кг}/\text{м}^3$ ). Колектори представлені пісковиками і алевритами олігоцену (відкрита пористість до 28%), а також вапняками (в тому числі і органогенними) та пісковиками неогену (відкрита пористість до 18,2% і 30,0% відповідно).

В результаті проведеного аналізу фізичних параметрів майже усіх типів порід з врахуванням їх складу, віку, умов залягання встановлюються деякі закономірності їх змін.

Величини щільності порід, які складають осадовий чохол півдня України, залежать, головним чином, від їх літологічного складу. Найвищу середню щільність мають седименти, які складаються з доломітів і вапняків (від 2640 до 2700 кг/м<sup>3</sup>), а також ефузивні і вулканогенні утворення (від 2500 до 2750 кг/м<sup>3</sup>), а найнижча щільність у піщано-глинистих фаций (від 2100 до 2300 кг/м<sup>3</sup>). Середні щільності одновікових відкладів змінюються в різних частинах регіону. Це особливо характерно для порід піщано-глинистого складу. Щільністьожної літологічної різновидності збільшується від більш молодих до більш древніх.

На основі вивчення щільнісної характеристики гірських порід в межах осадового чохла Південного регіону виділяються головні щільнісні границі, які приурочені:

**в Західному Причорномор'ї:**

- до покрівлі і підошви СЛП XI-T і IX-СК ( $G_{\text{над.}}=100 \text{ кг/м}^3$ )
- до підошви СЛП VIII-T ( $G_{\text{над.}}=100 \text{ кг/м}^3$ )
- до покрівлі СЛП VII-КТ ( $G_{\text{над.}}=130 \text{ кг/м}^3$ )

**в Каркінітсько-Північнокримському прогині:**

- до покрівлі СЛП VI-T ( $G_{\text{над.}}=200 \text{ кг/м}^3$ )
- до покрівлі палеоценових відкладів СЛП III-К ( $G_{\text{над.}}=150 \text{ кг/м}^3$ )

**в Індоло-Кубанському прогині:**

- до підошви верхньої крейди і верхнього еоцену СЛП III-КТ ( $G_{\text{над.}}=200 \text{ кг/м}^3$ ).

Значення швидкостей розповсюдження пружних коливань в осадовому чохлі змінюються в широкому діапазоні (від 1800 до 6000 м/с). Найбільшими швидкостями характеризуються відклади, які відносяться до складу СЛП XI-T (до 5600 м/с), IX-СК (до 6000 м/с), VIII-T (до 5200 м/с), VI-T (до 5600 м/с), V-КТ (до 4600 м/с), IV-BT (до 5000 м/с), III-К (до 5900 м/с), V-TK (до 5000 м/с), IV-T (до 5200 м/с) і III-TK (до 4600 м/с). Ці СЛП складені переважно щільними породами та утвореннями і залягають на відносно великих глибинах. Можна зробити висновок про те, що швидкості розповсюдження сейсмічних хвиль залежать від літологічного складу і глибини залягання відкладів. Максимальними значеннями пластових швидкостей характеризуються карбонатні, хемогенно-карбонатні відклади, пісковики, сланці і вулканогенні утворення, а мінімальними значеннями - глинисті і піщано-глинисті фації. Пластові швидкості у відкладах одного літологічного складу збільшуються від молодих до більш древніх, і від мілкозалягаючих до глибокозалягаючих [79].

В покрівлях і підошвах СЛП та в межах окремих СЛП фіксуються різні швидкісні граници з  $\Delta V_{\text{інт.}} = 600-1000 \text{ м/с}$ . Ці граници є опорними і мають, як правило, регіональне розповсюдження. Крім того, в межах СЛП відмічаються швидкісні граници, які мають локальне розповсюдження і характеризуються відносно невеликим перепадом швидкостей.

Основні швидкісні граници осадового чохла півдня України тяготіють:

### **в Західному Причорномор'ї:**

- до підошви СЛП XI-T, X-КТ, IX-СК, VIII-T, VI-T, СЛП V-КТ, I-КТ;
- до покрівлі і підошви карбонатної товщі келовоєю-оксфорду.

### **В Каркінітсько-Північнокримському прогині:**

- до підошви СЛП IV-BT, III-КТ, II-T.

### **в Індоло-Кубанському прогині:**

- до підошви СЛП III-ТК, II-T, I-ТК;
- до підошви верхнього еоцену III-ТК.

Наявність різних швидкісних границь в чохлі Південного регіону дає можливість вивчати його методом сейсморозвідки МСГТ.

Повна пористість порід окремих формацій зменшується від більш молодих до більш древніх, від менших глибин залягання до більших [79]. Найбільш пористими в межах півдня України є пісковики та вапняки неогену (відкрита пористість до 30-55%), які залягають на глибинах від 0 до 1,3 км. Найменшу пористість мають різновікові відклади, що залягають на глибинах більше 2500-3500 м (венд-силур Західного Причорномор'я, юра Рівнинного Криму та ін.).

Отже, збільшення щільності порід з ростом глибини пов'язано із зменшенням пористості в результаті ущільнення порід під дією верхньозалягаючих комплексів. З цим пов'язано і збільшення пластових швидкостей.

Осадовий чохол Південного регіону України є практично немагнітним. Середня магнітна сприйнятливість змінюється від 0 до  $50 \times 10^{-5}$  од. СІ. Підвищеними значеннями характеризуються ефузивні та вулканогенні утворення до  $2500 \times 10^{-5}$  од. СІ. На основі цих даних можна вважати, що магнітні поля в основному відображають петрофізичний і мінералогічний склад порід кристалічного та гетерогенного фундаменту. Крім того, на диференціацію магнітного поля суттєвий вплив чинять масиви ефузивів і вулканогенних утворень у складі осадової товщі.

Максимальними значеннями позірних опорів характеризуються формаційні одиниці з переважно карбонатним складом, сланці і хемогенні відклади, а мінімальними – глинисті фациі, незалежно від віку та глибини залягання.

В результаті проведеного аналізу фізичних параметрів майже усіх типів порід, з врахуванням їх складу, віку, умов залягання, встановлюються деякі взаємозв'язки між петрофізичними властивостями гірських порід осадового чохла:

- щільні та високошвидкісні відклади, як правило, характеризуються низькими значеннями пористості;
- на значення щільності, позірних опорів суттєво впливає літолого-мінералогічний склад відкладів, ніж їх вік;
- осадовий чохол півдня України практично немагнітний, за виключенням ефузивних та вулканогенно-осадових утворень;
- відмічається збіг щільнісних і швидкісних границь, приурочених до підошов окремих СЛП, що дозволяє кваліфікувати їх як “жорсткі” акустичні границі.

Дані, які увійшли до складу геолого-геофізичної моделі є важливими при виконанні сейсмостратиграфічної інтерпретації. Проте, тільки цих даних для проведення якісної інтерпретації матеріалів МСГТ недостатньо. Необхідно мати чіткі знання про сейсмостратиграфічні комплекси, які зафіксовані на часових розрізах МСГТ по профілях відпрацьованих в межах різних частин регіону.

## 2.4 Сейсмостратиграфічна модель

В основу сейсмостратиграфічної моделі покладено результати авторських досліджень, які виконано вперше в межах Південного регіону України: аналіз рисунка сейсмічного запису, який базується на вивченні геометричної форми (конфігурації) відбиттів і інших сейсмічних параметрів; визначення типу

границь, що обмежують сейсмостратиграфічні одиниці та їх уточнена сейсмостратиграфічна прив'язка; характер контакту з іншими сейсмостратиграфічними одиницями; вивчення просторових форм та фаціальний склад сейсмостратиграфічних одиниць, а також узагальнення літолого-стратиграфічних характеристик.

При проведенні цього аналізу використовувались часові розрізи по профілях МСГТ, які отримані КГФЕ “Кримгеофізика” та оброблено в системі PROMAX (Holliburton) за поглибленим графом СФА, що передбачає багаторазове корегування статичних та кінематичних поправок, відновлення амплітуд за геометричне розходження та поглинання, багатоступіневу деконволюцію, частотну фільтрацію та нормування амплітуд до заданого рівня, віднімання хвиль-завад, когерентну фільтрацію, послаблення дифрагованих хвиль та врахування сейсмічного зносу. Всього було проаналізовано часові розрізи за 384 профілями МСГТ, в тому числі за 156 профілями в межах Рівнинного Криму та Північного Причорномор'я, 137 профілями в межах Керченського півострова, та 81 в межах Західного Причорномор'я. Стратиграфічно-літологічна прив'язка сейсмічної інформації здійснювалась в свердловинах, де виконувались: комплекс ГДС, сейсмокаротажні дослідження (СК, ВСП, ПМ ВСП), петрографічні та петрофізичні вивчення кернового матеріалу. Всього було проаналізовано матеріали 88 свердловин глибокого буріння різного призначення.

Позначення (номенклатура) СЛП та КССК взято з робіт в яких вони виділені та обґрунтовані [4, 59].

#### 2.4.1 Придобруджинський прогин

Найбільш давні осадові відклади венду та кембрію складають **XI-T СЛП**.

В межах Придбручжя та на північно-західному шельфі Чорного моря (Південноукраїнська монокліналь) в підошві поверху фіксується трьохфазове низькочастотне протяжне відбиття – горизонт XIg(PR<sub>3</sub> під.) (Рис. 2.1). Нижче

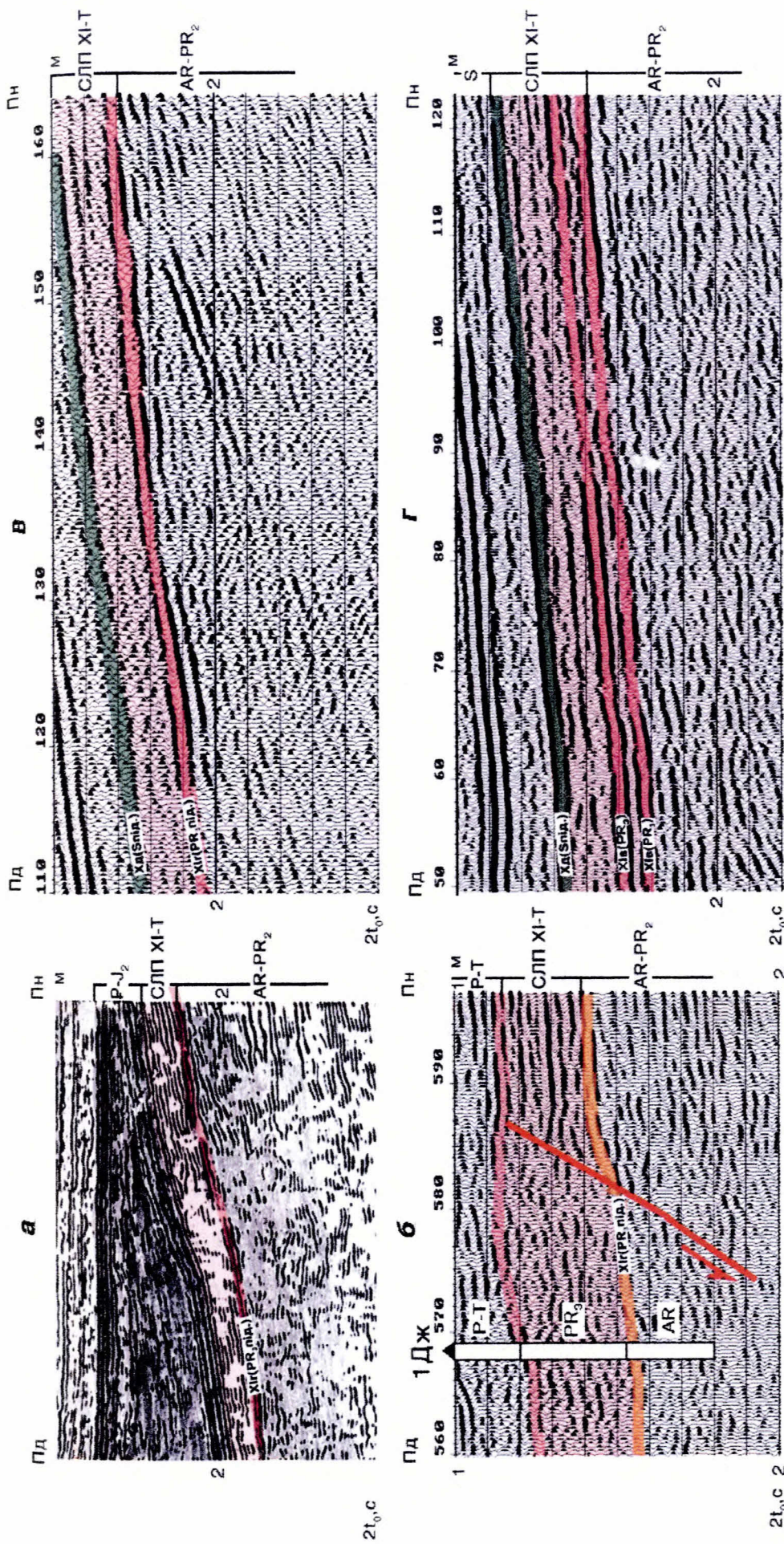


Рис. 2.1. Типи рисунків сейсмічного запису у межах СЛП XI-T. Склад С.В. Кольцов 3 використанням матеріалів “Вестерн Джестерн Дженофізика” (а) та КГФЕ “Кримгеофізика” (б, в, г), 2003

нього відмічається припинення простеження окремих відбиттів та горизонтів по схемі «ерозійний зріз». Згідно даних буріння, ГДС та ВСП цей горизонт відбиття відображає незгідний контакт граніто-гнейсового комплексу архей-протерозойського віку з осадовим комплексом венду [80], на якому спостерігається різкий стрибок густини та швидкостей розповсюдження пружних коливань, що і обумовлює наявність “жорсткої” границі відбиття [79].

В прибережній зоні та на більшій частині суходолу (Білоліський блок) горизонт XI<sub>Г</sub>(PR<sub>3</sub> під.) простежується спорадично і, по суті, є умовним. Це пояснюється відносно великими глибинами залягання підошви відкладів венду (4885 м в свердловині Лиманська 1) та сильним розсіюванням відбиттів на цій границі.

До покрівлі СЛП приурочено відбиття, інтенсивність якого змінюється в різних частинах прогину. На більшій частині Придобужжя, де на верхньопротерозойському комплексі залягають відклади пермо-тріасу (VII-КТ) або юри (VI-T, V-TK), на часових розрізах фіксується інтенсивне низькочастотне відбиття (Рис. 2.1 а). При відсутності значної перерви в осадконакопиченні фіксується менш інтенсивне відбиття – горизонт – X<sub>д</sub>(S під.) (Рис. 2.1 в, г), що обумовлено близькістю петрофізичних властивостей відкладів, що складають XI-T і X-КТ СЛП. У відкладах кембрію та ордовику, фіксується протяжне високоамплітудне інтенсивне відбиття (горизонт XI<sub>в</sub>(PR<sub>3</sub>)). Стратиграфічна приуроченість цього горизонту відбиття неоднозначна, що пов’язано з невеликою кількістю свердловин глибокого буріння, в яких вивчалися швидкості розповсюдження пружних коливань, а також незначною часовою товщиною (100-120мс) між горизонтами відбиття XI<sub>в</sub>(PR<sub>3</sub>) та XI<sub>Г</sub>(PR<sub>3</sub> під.) (Рис. 2.1 г). Можна передбачити, що горизонт відбиття XI<sub>в</sub>(PR<sub>3</sub>), приурочений до підошви відкладів кембрію, які залягають з кутовою незгідністю на верхньопротерозойських.

В інтервалах часових розрізів між горизонтами XI<sub>Г</sub>(PR<sub>3</sub> під.) та X<sub>д</sub>(S під.), фіксується рисунок сейсмічного запису, який характеризується чергуванням субпаралельних площинок відбиття середньої та малої інтенсивності

(низькоамплітудна сейсмофація) [80]. Подібні сейсмофації характерні для товщ, що утворились в умовах зовнішнього шельфу та мають відносно однорідний склад [66], в даному випадку – теригенний. В північному та північно-східному напрямках відмічається збільшення амплітуд та протяжності відбиттів (Рис. 3.1 а, г), що пов’язано зі збільшенням піскуватості відкладів у напрямку палеосуші (Східно-Європейська платформа) [81]. Просторовою формою СЛП є покрив, який типовий для шельфових фацій [82]. Максимальна часова товщина складає біля 1,5 с (~2200 м).

Наступним за віком є **X-КТ СЛП**, який об’єднує карбонатно-теригенні відклади нижнього девону, силуру та ордовику. Підошвою поверху є горизонт відбиття Хд(С під.), покрівлею, в залежності від повноти розрізу відкладів, є горизонти відбиття, стратиграфічно приурочені до підошви середнього девону – IXв(Д<sub>2</sub> під.), підошви тріасу VII(Т під.) або підошви середньої юри VIв(J<sub>2</sub> під.) (Рис. 2.2). Окрім покрівельної та підошової границь в товщі СЛП просліджується витримане по площі високоінтенсивне та протяжне відбиття – горизонт Хв(Ск під.) (Рис. 2.2 а, б), яке приурочено до підошви карбонатних відкладів верхнього силуру, що згідно залягають на вапнисто-глинистих породах нижньосилурійського віку [83]. Цим горизонтом СЛП поділяється на два КССК. Перший – КССК (Хв-д) об’єднує відклади нижнього силуру, до складу другого – КССК (Хо-в) входять теригенно-карбонатні відклади верхнього силуру та нижнього девону. В цілому, для X-КТ СЛП характерний рисунок сейсмічного запису з непротяжними малоамплітудними змінної частоти відбиттями, що чергуються з зонами прозорого та горбистого рисунків (низькоамплітудна сейсмофація). При цьому інтенсивність та протяжність відбиттів, які зафіковано в межах КССК Хд-в нижче, а зони прозорого рисунка більш великі, ніж ті, що фіксуються в інтервалах КССК (Хо-в), що пов’язано відповідно зі збільшенням товщини і витриманості по площі окремих пластів, та з присутністю відносно потужних товщ порід однорідного, переважно карбонатного складу, які утворилися в умовах мілководдя та внутрішнього шельфу [82].

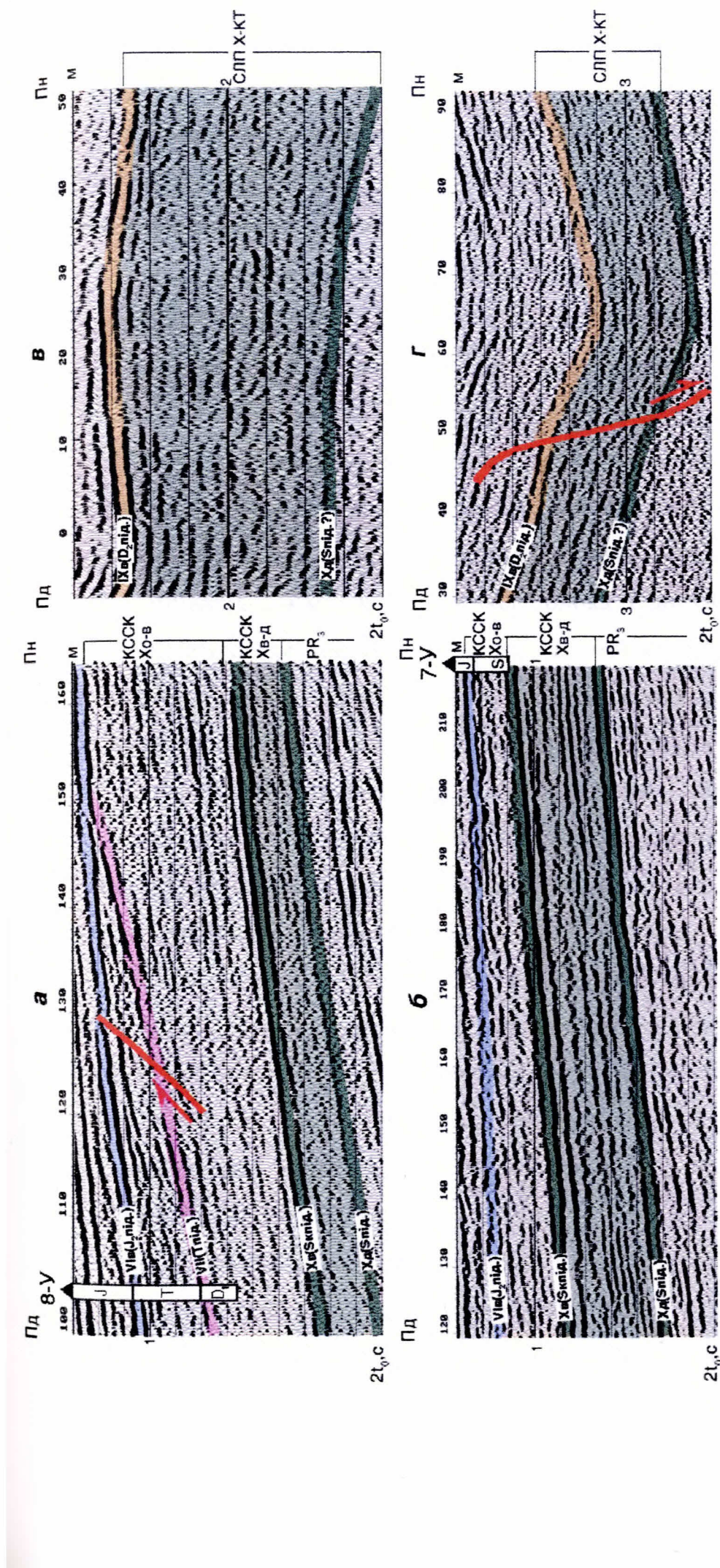


Рис. 2.2. Типи рисунків сейсмічного запису у межах СЛП Х-КТ.  
Склад С. В. Кольцов з використанням матеріалів КГФЕ “Кримгеофізика”, 2003

В межах Білоліського блока в інтервалах нижнього девону на фоні субгоризонтального чергування відбиттів зниженої інтенсивності та протяжності відмічаються області горбистого рисунка сейсмічного запису, які не пов'язані з зонами тектонічних порушень (Рис. 2.2 в).

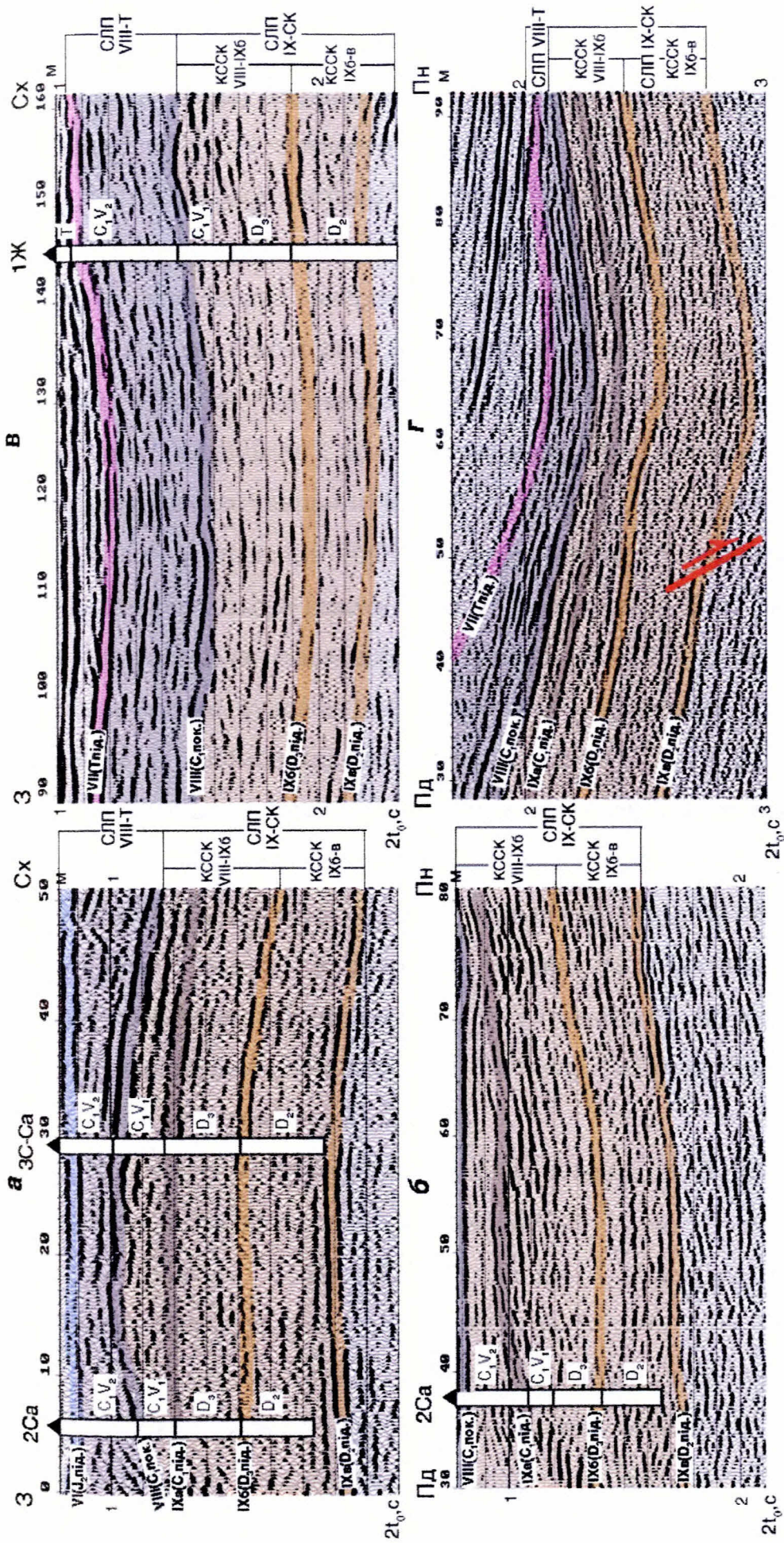
Аналіз хвильової картини та даних буріння показав, що низькоамплітудна сейсмофакція відповідає шаруватим відкладам переважно глинистого складу з окремими тонкими пластами карбонатів та пісковиків, а горбисті сейсмофакції пов'язані з зонами виклинювання окремих пластів невеликої товщини.

Трьохмірна форма зовнішніх границь СЛП у різних частинах Придобужжя різна. В межах Білоліського блока це покривна, або покривно-облікаюча форма, а в межах Південноукраїнської монокліналі це клин. **СЛП IX-СК** виділяється в межах Білоліського блока, Придунайської, Каланчакської та Грівіцької тектонічних пластин. В межах інших частин Західного Причорномор'я ці відклади відсутні (Південноукраїнська монокліналь, Пандаклійський прогин) або прогнозуються на великих глибинах (Каменський (Татарбунарський) прогин) [81]. В підошві поверху простежується високоамплітудне протяжне відбиття, яке стратиграфічно приурочене до незгідного контакту доломітів і ангідритів середнього девону та теригенних відкладів нижнього (горизонт відбиття IX<sub>b</sub>(D<sub>2</sub> під.)).

Нижче горизонту IX<sub>b</sub>(D<sub>2</sub> під.) відмічається припинення прослідження відбиттів за різними схемами, що характерні для покрівельних незгідностей (Рис.2.3), а вище горизонту фіксується згідна (субпаралельна) поведінка відбиттів. В прогнутих частинах Білоліського блока горизонт носить інтерференційний характер, а на окремих ділянках відмічаються зони повної втрати кореляції (Рис. 2.3 в).

Більш яскравовиражений незгідний характер носить покрівельна границя СЛП- горизонт відбиття VIII(C<sub>1</sub>V<sub>1</sub> покр.) [84].

Окрім цих горизонтів, в межах СЛП фіксується відносно інтенсивний горизонт відбиття – Хб(Д<sub>3</sub>під.), яким він поділяється на два КССК IX<sub>b</sub>-в та



VIII-IXб. До складу першого входять відклади середнього девону, до другого – верхнього девону та нижнього карбону.

Для хвильової картини, зафіксованої в межах СЛП IX-СК, характерне субпаралельне чергування окремих відносно високоамплітудних і протяжних відбиттів з відносно непротяжними зниженої інтенсивності. На окремих площах (Східно-Саратська, Сариярська та ін.) фіксуються великі зони “прозорого” або “напівпрозорого” сейсмічного запису (Рис.2.3 а, в), які обумовлені наявністю відносно однорідних масивів верхньодевонських карбонатів великої товщини (біля 327 м в св. Східно-Саратська 3).

Деяке збільшення частоти та протяжності відбиттів відмічається в інтервалах середнього девону поблизу Болградсько-Балабанівської тектонічної зони (Ярославська, Балабанівська площа) (Рис.2.3б). Це обумовлено більш тонкошаруватою будовою цих відкладів та витриманістю по площі окремих пластів [81]. Сейсмофакції, зафіксовані в межах СЛП IX-СК, класифікуються як низькоамплітудні і були утворені при однорідній енергетичній обстановці в умовах мілководного морського басейну, можливо лагуни. В таких умовах одночасно з хемогенними осадками можливий ріст органогенних утворень [85].

Області низьких амплітуд на часових розрізах відповідають або надто тонким прошаркам, або зонам розвитку порід одного домінуючого літологічного типу, а окремі високоамплітудні і протяжні відбиття відповідають контактам товщ різного літологічного складу.

Просторовою формою поверху є покрив, який найбільш типовий для шельфових сейсмофакціальних одиниць [82].

До складу СЛП VIII-Т входять відклади верхнього карбону (серпухівський ярус), які представлено аргілітами з прошарками алевролітів, пісковиків та верств кам'яного вугілля. Підошвою поверху є горизонт відбиття VIII( $C_{IV}$ покр.), а покрівлею VII(Тпід.). Горизонти характеризуються як різкі незгідні граници та відповідають літологічним незгідностям.

Деякі труднощі у виділенні підошви СЛП VIII-Т спостерігаються в межах Бурнаського рифтогенного прогину (Рис. 2.3 г), що пов'язано з подібністю

літологічного складу та петрофізичних властивостей відкладів карбону і пермо-тріасу [86].

В межах поверху фіксується рисунок сейсмічного запису, який характеризується чергуванням мало та середньоамплітудних непротяжних відбиттів; з зонами безсистемного припинення простеження (горбкуватий рисунок запису) і прозорого або напівпрозорого запису (Рис. 2.3в). Відбиття, як правило, субгоризонтальні та низькочастотні, що типово для шаруватих розрізів, які утворилися в лагунних або неморських умовах [83].

Про просторову форму поверху судити важко, так як відносно повно відклади серпухівського яруса збережені в межах угнутих частин Білоліського блока. У склепінні локальних структур вони суттєво скорочені (Східно-Саратська, Жовтоярська площа) або відсутні (Лиманська площа).

Границями для СЛП VII-КТ є горизонти відбиття VII(Тпід.) і VIb(J<sub>2</sub> під.). Протяжність, інтенсивність і простеження підошвового горизонту VII(Тпід.) суттєво змінюються по площі. В межах Південноукраїнської монокліналі (PZ-MZ) і Білоліської тектонічної пластини (PZ) цьому горизонту відповідає відносно високоамплітудне і протяжне двох-трьохфазове відбиття, нижче якого відмічається припинення простеження окремих горизонтів відбиття і площинок по схемі “ерозійний зріз” (Рис. 2.4) та відбиттів, які залягають вище по схемі підошвового налягання, що дозволяє класифікувати його як незгідну границю.

В межах Каменського (Татарбунарського) рифтогенного прогину (MZ) виділити і простежити по площі горизонт відбиття VII(Тпід.) важко (Рис. 2.5), що пов’язано з близькістю петрофізичних характеристик відкладів, які залягають вище та нижче границі, а також великими глибинами залягання підошви пермо-тріасу (більше 5 км) [83].

Максимальні товщини відкладів пермо-тріасу в межах Західного Причорномор’я зафіковані в Каменському (Татарбунарському) [55, 84] і Бурнаському рифтогенних прогинах [87, 88]. Розкрита товщина тріасу складає 4385 і 1775 м, відповідно.

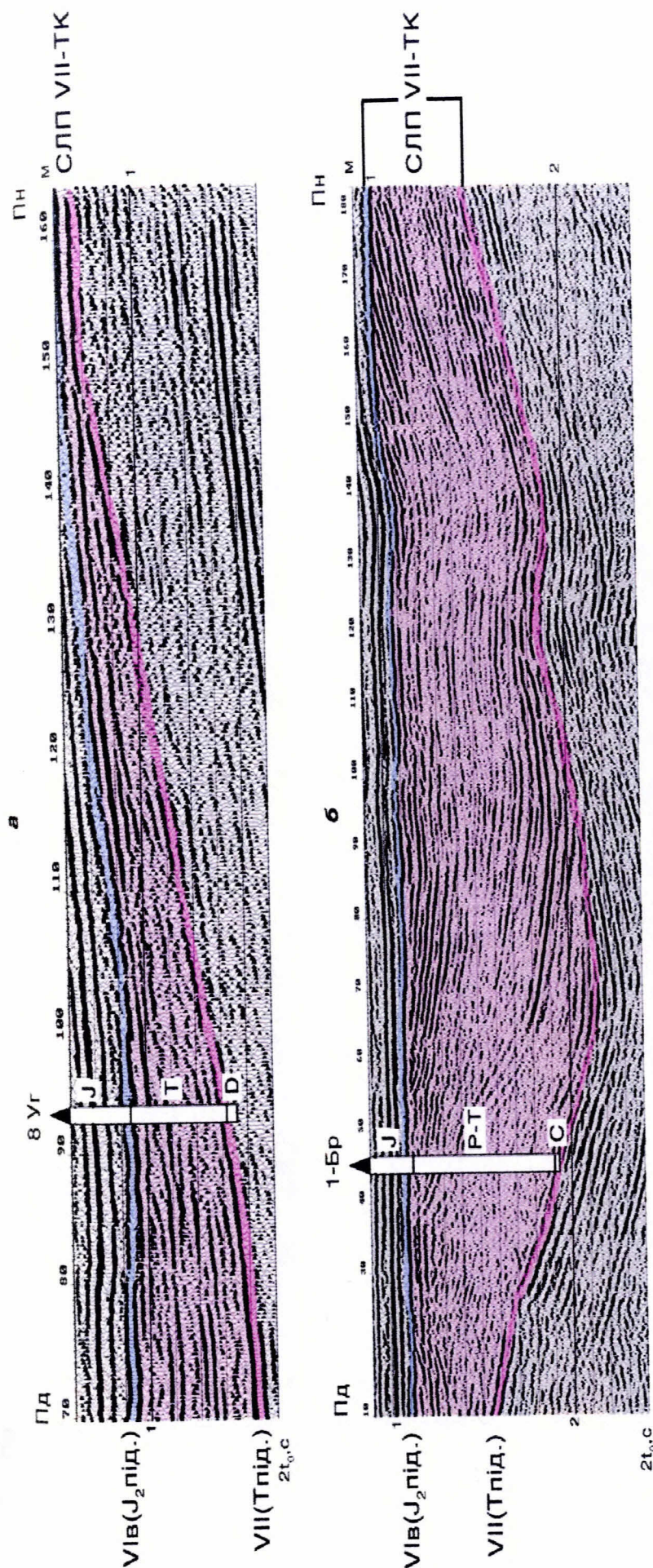


Рис. 2.4. Типи рисунків сейсмічного запису у межах СЛП VII-ТК.  
 а - південний схил Східно-Європейської платформи; б – Бурнаський рифтогенний прогин.  
 Склад С. В. Колтьцов з використанням матеріалів КГФЕ “Кримгеофізика”, 2003

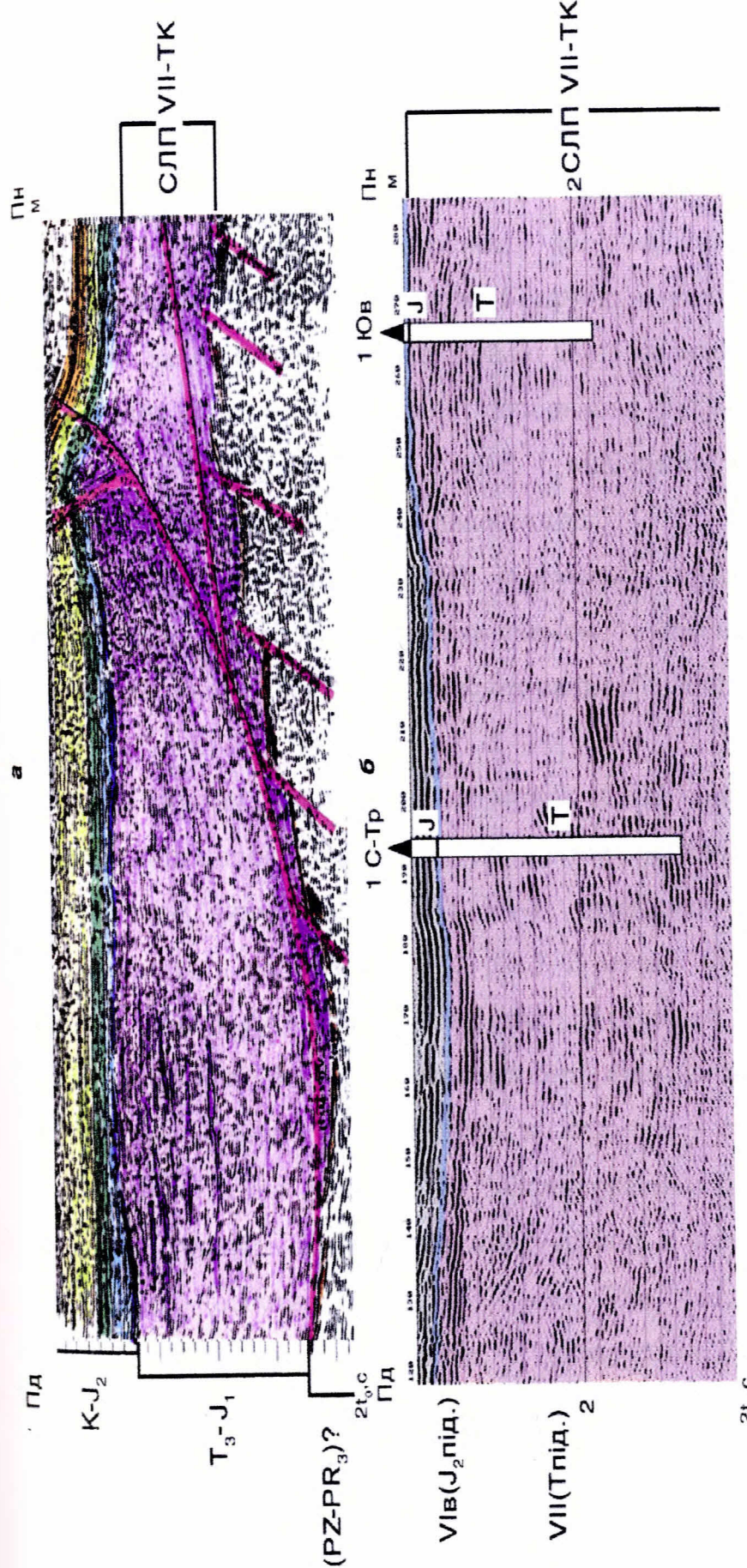


Рис. 2.5. Типи рисунків сейсмічного запису у межах СЛП VII-TK.

Каменський (Татарбунарський) рифтогенний прогин.

Склад С. В. Кольцов з використанням матеріалів ДАТ “Чорноморнафтогаз” та КГФЕ “Кримгеофізика”, 2003

На решті території Західного Причорномор'я відклади тріасу відсутні (північна частина Південноукраїнської монокліналі, Лиманська, Білоліська та інші площини), або мають незначні товщини [86].

В інтервалах пермо-тріасових відкладів фіксується витриманий по площині рисунок сейсмічного запису з відносно протяжними, високо і середньоінтенсивними відбиттями, які чергуються з малоамплітудними, непротяжними змінної частоти. Горизонти відбиття і площинки в межах прогинів залягають субгоризонтально або з малими ( $1-5^\circ$ ) кутами (Рис. 2.4), що є типовим для морських фацій заповнення [65]. В прибортових зонах кути відбиттів збільшуються до  $25-30^\circ$ , і відбувається різке скорочення часової товщини СЛП в бік бортових палеоскідів.

В верхній частині СЛП фіксуються численні припинення окремих відбиттів на покрівлі поверху за схемою “ерозійного зрізу”, що свідчить про глибокий розмив відкладів тріасу в ранньо - середньоюрський час (Рис. 2.4 б) [81].

В цілому зафікована в межах СЛП хвильова картина типова для рифтогенних прогинів Південного та інших регіонів України [50, 89, 90].

Вище виділяється **СЛП VI-T**, покрівлею якого є горизонт відбиття VГ(J<sub>3</sub>під.кп), а підошвою VIb(J<sub>2</sub> під.). В межах Білоліського та Грівіцького блоків горизонту відбиття VIb(J<sub>2</sub> під.) відповідає протяжне, високоамплітудне та інтенсивне відбиття. Нижче горизонту відмічається припинення простеження площинок відбиття і горизонтів за схемою - ерозійний зріз, що дозволяє класифікувати цю границю як “підошовна незгідність” (Рис. 2.6 г). Наявність подібної границі обумовлена присутністю в низах відкладів середньої юри базальних верств товщиною від 31м до 173 м, які представлені переверстуванням пісковиків і алевролітів, що залягають з кутовою незгідністю на розмитій поверхні доюрських відкладів [74]. На іншій території інтенсивність та протяжність горизонту VIb(J<sub>2</sub> під.) суттєво знижується, виділення його на часових розрізах стає менш однозначним.

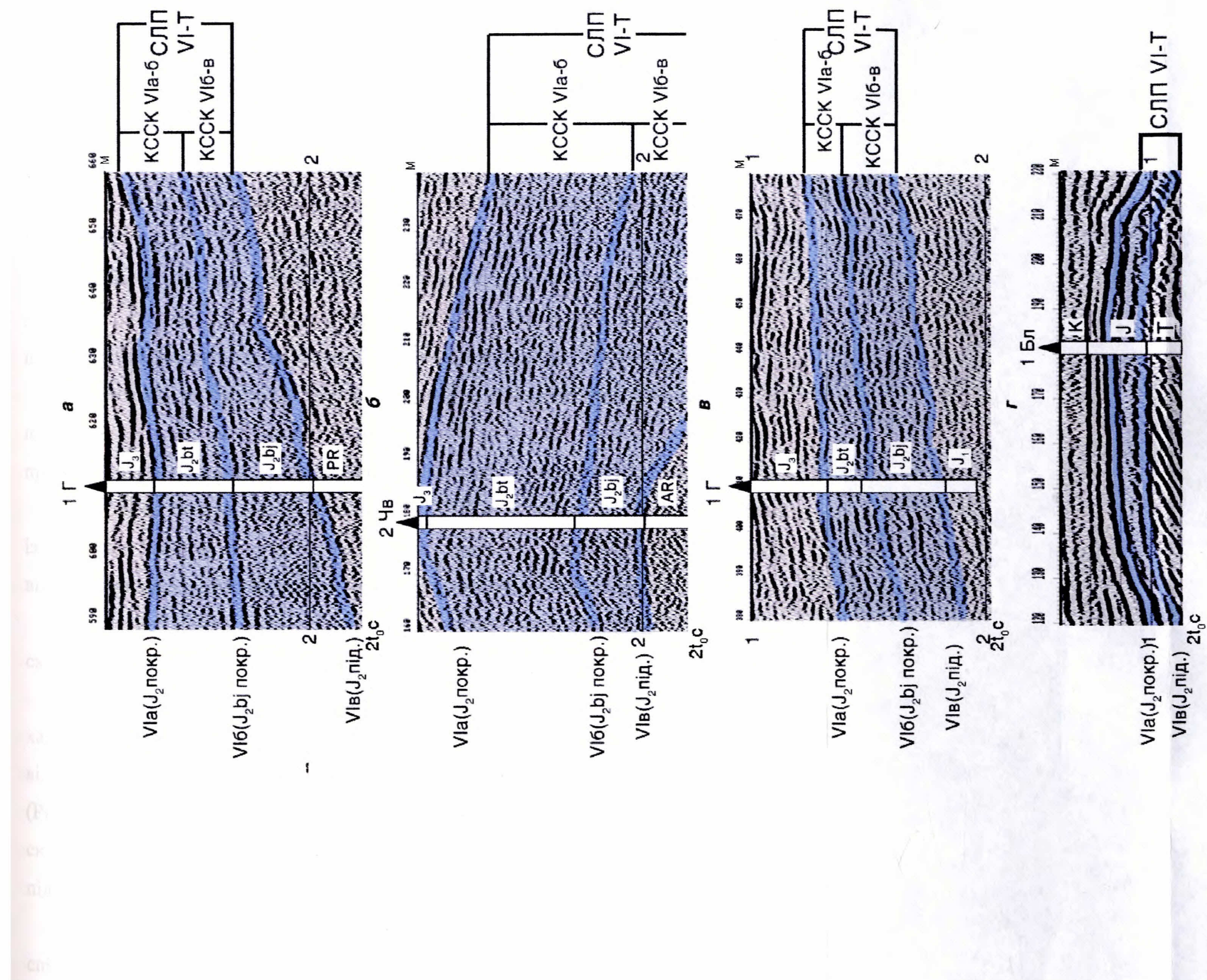


Рис. 2.6. Типи рисунків сейсмічного запису у межах СЛП VI-T.

Склад в. В. Кольцов з використанням матеріалів КГФЕ “Кримгеофізика”, 2003

Товщина СЛП VI-T суттєво змінюється по площі від 2000 м в межах Пандаклійського прогину до перших десятків - сотень метрів в межах інших частин Західного Причорномор'я.

В інтервалах поверху фіксується хвильова картина, яка характеризується чергуванням відбиттів слабкої і середньої інтенсивності з зонами “прозорого” рисунка. Відбиття, як правило, субпаралельні і відносно непротяжні з перемінними амплітудами і частотами (низькоамплітудна сейсмофація) (Рис. 2.6 а, б, в).

Окрім граничних горизонтів найбільш протяжним в межах поверху є горизонт відбиття VIb( $J_2$  b покр.) та VIa( $J_2$  bt покр.) стратиграфічно приурочений до покрівлі байоських та батських відкладів, відповідно.

Горизонти відбиття VIb та VIa мають обмежене розповсюдження по площі. Відносно однозначно вони виділяються на часових розрізах і простежуються по площі в межах Пандаклійського прогину (Рис. 2.6 а, б).

На решті території виділити окремі КССК в межах СЛП VI-T неможливо із-за малих товщин відкладів. На часових розрізах відкладам середньої юри відповідає пачка відбиттів із двох-трьох фаз, часовою товщиною 100-150 мс.

В межах Пандаклійського прогину, згідно даних МСГТ, ВСП і ГДС, в складі СЛП VI-T виділяються три КССК: VIb-в, VIa-б та Vg-VIa.

В інтервалах КССК VIb-в фіксується рисунок сейсмічного запису, який характеризується чергуванням відносно малоамплітудних і непротяжних відбиттів, змінної частоти з зонами “прозорого” і “горбистого” рисунків (Рис. 2.6 а, б). Цей рисунок відповідає товщам з відносно однорідним глинистим складом. Ділянки з “горбистим” і “прозорим” рисунком співпадають з зонами підвищеної піскуватості аргілітів (св. 2 Червоноармійська) [74].

Деяке збільшення інтенсивності і протяжності відбиттів (Рис. 2.6б) співпадає з зонами розвитку верствуватих відкладів, що утворились при мінливій обстановці осадконакопичення в морських умовах [65] переважно зовнішнього шельфу та материкового схилу [95]. Літологічно ці відклади

представлені чергуванням пластів аргілітів та пісковиків невеликої товщини (2-10м) (св.1 Горіхівська, 1 Городненська) [81].

В інтервалах КССК VIa-б (бат) хвильова картина близька до зафіксованої в КССК VIб-в. Різниця полягає у збільшенні частоти та відсутності зон “прозорого” рисунка. Літологічний склад і умови осадконакопичення відкладів батського ярусу аналогічні байоському.

Пандаклійський прогин є єдиним тектонічним елементом, де виділяється КССК Vг - VIa, що пов’язано з відносно великими товщами відкладів келовою.

На часових розрізах виділяється покрівля (Vг) і підошва (VIa) комплексу, а між ними товща з “прозорим рисунком” сейсмічного запису і рідкими відбиттями (Рис. 2.6а). Такий тип рисунка характерний для однорідних товщ, які сформувалися в мілководному морському басейні [66]. Товщини комплексу максимальні в центральній частині прогину, поблизу бортів спостерігається різке зменшення товщини.

Товщина СЛП V-КТ (верхня юра) істотно змінюється по площі від перших десятків метрів в межах Південноукраїнської монокліналі (23-118 м) до 1650-1850 м в межах Пандаклійського прогину. В областях з відносно великими товщами виділяється ряд горизонтів відбиття, які мають регіональне розповсюдження. В підошві поверху простежується двох-трьохфазове відбиття середньої інтенсивності (Рис. 2.7) (горизонт відбиття Vг(J<sub>3</sub> під.кп)), яке приурочено до підошви карбонатної плити верхньої юри. На окремих ділянках горизонт має інтерференційний характер, простежується спорадично, спостерігаються великі зони відсутності відбиттів, що пов’язано з тонкошаруватою будовою верхів середньої та низів верхньої юри (св. 2 Червоноармійська) та близькістю їх петрофізичних властивостей [79]. Наявність видимої кутової незгідності в підошві верхньоюрських відкладів, яка зафіксована за даними буріння і МСГТ (Рис.2.7г), свідчить про глибокий ерозійний розмив середньоюрських відкладів [83].

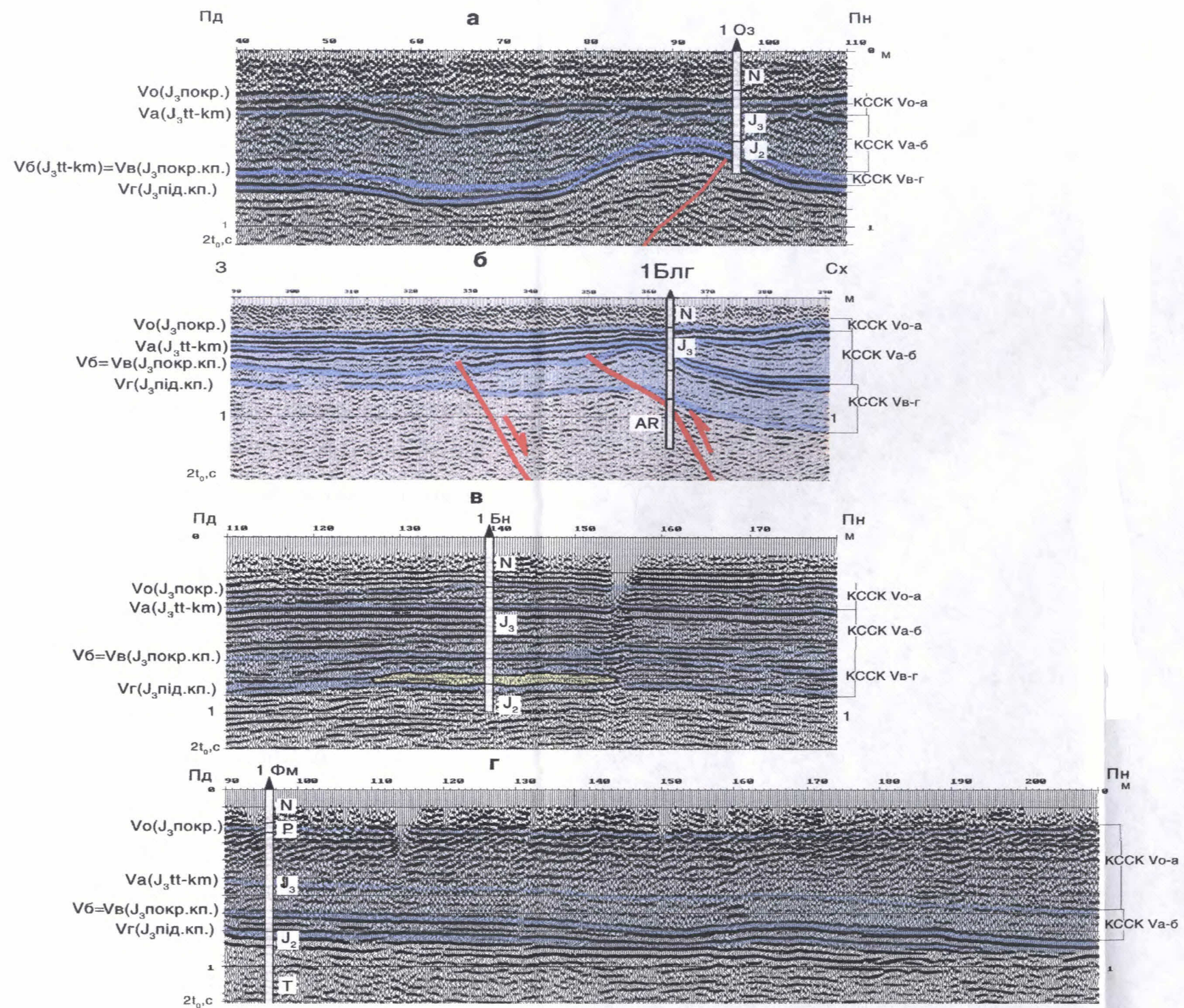


Рис.2.7. Типи рисунків сейсмічного запису у межах СЛП V-КТ: а – Придунайська пластина, Камишинський прогин; б, в, г – Каланчаксько-Грівіцький блок.

Склад С. В. Кольцов з використанням матеріалів КГФЕ “Кримгеофізика”, 2003

Покрівею поверху є горизонт відбиття  $V_o(J_3 \text{ покр.})$ , який відмічається повсюдно. Крім покрівельного і підошовного горизонтів, в межах поверху простежується ряд горизонтів відбиття, якими він поділяється на ряд КССК.

Для КССК  $V_b$ -г (келовей-оксфорд) характерна наявність в підошві та покрівлі високоамплітудних, витриманих по площі двох-трьохфазових горизонтів відбиття  $V_b$  ( $J_3(\text{покр.кп})$ ) та  $V_g$  ( $J_3(\text{під.кп})$ ), відповідно (Рис. 2.7, 2.8). Виключенням є Пандаклійський прогин, в межах якого відмічається зниження інтенсивності горизонту відбиття  $V_g(J_3 \text{ під.кп})$ , що пов'язано з близькістю петрофізичних властивостей відкладів середньої та верхньої юри [70, 74, 79]. В межах комплексу фіксується хвильова картина, яка характеризується "хаотичним" рисунком сейсмічного запису з окремими малоамплітудними відбиттями (Рис. 2.7в). В зонах розвитку рифогенних утворень [92] фіксується прозорий рисунок сейсмічного запису, а для окремих рифогенних утворень характерно збільшення часової товщини КССК ( $V_b$ -г), антиклінальний перегин покрівельного горизонта та відсутність перегину у підошовному.

Товщина комплексу змінюється по площі. Максимальні товщини -500-600 м (300-400 мс) зафіковано в межах Пандаклійського прогину (Рис. 2.8а,б), Горіхівського (Рис. 2.8г) та Грівіцейського блоків (Рис. 2.7в). На решті території товщини комплексу значно менші і складають 200-300 м (100-150 мс).

КССК  $V_b$ -в (карбонатно-теригенна товща оксфорду) виділяється лише в центральній частині Пандаклійського прогину та характеризується наявністю в підошві та покрівлі витриманих, інтенсивних, високоамплітудних відбиттів (горизонти  $V_b$  ( $J_3 \text{ покр.кп}$ ) та  $V_b$  ( $J_3 \text{ tt- km під.кп}$ )), (Рис. 2.8 а, б). Між граничними горизонтами відбиття фіксується рисунок сейсмічного запису з слабоінтенсивними, переривчастими, місцями хаотичними відбиттями з окремими зонами "прозорого" рисунка (Рис. 2.8а). Такий тип рисунка характерний для товщ відносно однорідного літологічного складу з окремими верствами і проверстками порід іншого складу, які утворилися в умовах мілкого моря [65].

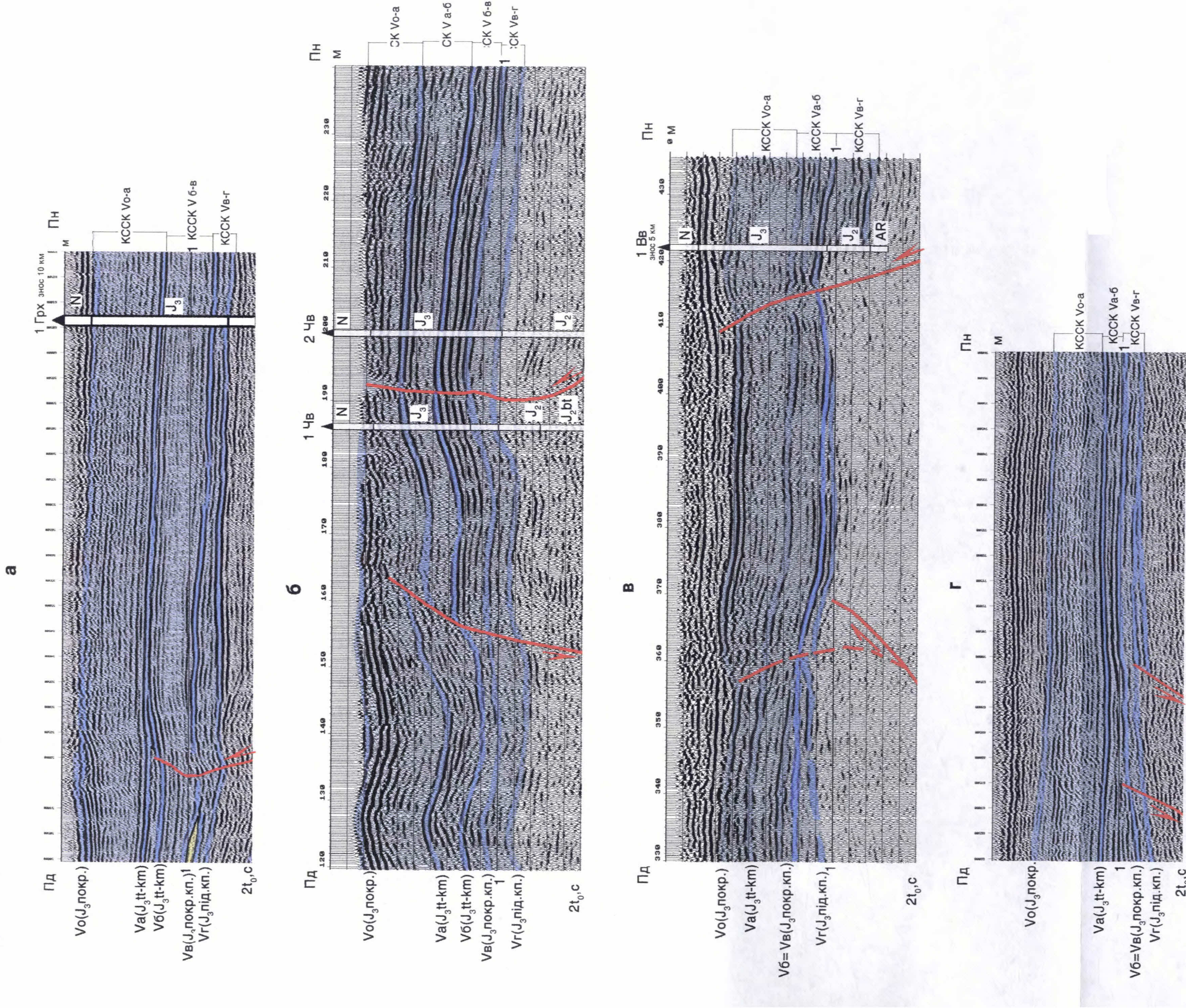


Рис. 2.8. Типи рисунків сейсмічного запису у межах СЛП V-КТ:

а, б – Пандаклійський прогин; в – Горіхівський блок; г – Городненський блок.

Склав С. В. Кольцов з використанням матеріалів КГФЕ “Кримгеофізика”, 2003

Збільшення інтенсивності та протяжності відбиттів в межах окремих площ (Рис. 2.8б) пов'язано з тонкошаруватою будовою відкладів верхнього оксфорду [70]. Часові товщини комплексу коливаються від 300-400 мс в центральній частині Пандаклійського прогину до 0 мс в межах крайових частин прогину.

Для КССК Va-б (галогенно-сульфатно-теригенно-карбонатні відклади кімеридж-титону) підошвою є горизонт відбиття Vб(J<sub>3</sub> km-tt під.). Як самостійний горизонт він просліджується лише в межах Пандаклійського прогину (Рис. 2.8 а,б). На іншій території горизонт відбиття Vб(J<sub>3</sub> km-tt під.) співпадає з Vb(J<sub>3</sub> покр.кп) (у випадку залягання відкладів кімеридж-титону безпосередньо на карбонатній плиті келовей-оксфорду), або з VIIa(J<sub>2</sub> bt покр.) при відсутності теригенно-карбонатної товщі келовей-оксфорду [93]. Покрівлею комплексу є горизонт відбиття Va(J<sub>3</sub> tt- km), який приурочено до підошви строкатоцвітів кімеридж-титону. В межах окремих площ, де ці відклади розмито, покрівлею є горизонт Vo(J<sub>3</sub>покр.) (Рис. 2.7а). Для інтервалів КССК Va-б, характерний рисунок сейсмічного запису з непротяжними середньо та високоамплітудними відбиттями, які чергуються з відбиттями малої інтенсивності та зонами прозорого рисунка (Рис. 2.7, 2.8). Подібний рисунок сейсмічного запису характерний для товщ, які складені чергуванням відкладів різного літологічного складу [91] – в даному випадку аргілітів і вапняків (св. Озерна 1, Болградська 1 та інші), а також аргілітів, вапняків, кам'яної солі та гіпсів (св. Соляна 5) (лагунні та мілководні фації).

Товщина комплексу в цілому стабільна. Деяке скорочення товщини відмічається в зонах загального скорочення товщини відкладів юри в сторону Південноукраїнської монокліналі (Рис. 2.7г), а також в склепіннях окремих структур (Рис. 2.7в). Просторова форма КССК Va-б – покрив.

КССК Vo-а (теригенно-глинисті строкатоцвіти кімеридж – титону), розвинуті в межах всього Західного Причорномор'я, за винятком окремих площ, в межах яких він редуктований (Суворівська, Озерна площа) (Рис. 2.7 а). Товщина строкатоцвітів характеризується різкою зміною по площі. Мінімальні

товщини (до 20-30 м) зафіковані в межах Причорноморської монокліналі і Білоліського блока [70], на решті території вони змінюються від 140 м (Джаларська площа) до 648 м (Горіхівська площа) і більше [74].

Підошвою КССК (Vo-a) є горизонт відбиття Va ( $J_3$  tt-km). На більшій частині території йому відповідає високоамплітудне витримане по площі інтенсивне трьохфазове відбиття (Рис. 2.7 а,б,в).

В східній частині Грівіцейського блока інтенсивність його різко падає, а простеження стає спорадичним (Рис. 2.7 г). Причина подібної мінливості заключається в подібності петрофізичних властивостей вище і нижчезаллягаючих відкладів [74].

Покрівлею комплексу є горизонт відбиття Vo( $J_3$  покр.), який має регіональне розповсюдження. Інтервали КССК (Vo-a) характеризуються відносно простою хвильовою картиною. Для нього характерно чергування відбиттів малої та середньої інтенсивності і зон прозорого рисунка (малоамплітудна сейсмофація) (Рис. 2.7г, 2.8 а,б,г) або прозорий рисунок запису. Прозорий рисунок фіксується в зонах розвитку однорідної глинистої товщі з рідкими прошарками алевролітів і пісковиків незначної товщини (0,2-1,2 м) (св. Баннівська 1, св. Виноградівська 1 та ін.).

Малоамплітудна сейсмофація фіксується на площах, в межах яких ці відклади представлені чергуванням глин, пісковиків і алевролітів (св. Горіхівська 1 та ін.).

На відкладах юрського віку суцільним чохлом залягає товща теригенно-карбонатних відкладів крейди, палеогену та неогену, які входять до складу СЛП I – ТК.

Підошвою поверху є горизонт відбиття Vo ( $J_3$  покр.). Інтенсивність і простеження горизонту істотно змінюються по площі. В межах південно-західної і центральної частин Придобруджинського прогину йому відповідає високоамплітудне двох-трьохфазове протяжне відбиття, яке характеризується як ерозійний зразок (Рис. 2.8 а, 2.9 а). В цій частині Придобружжя горизонт

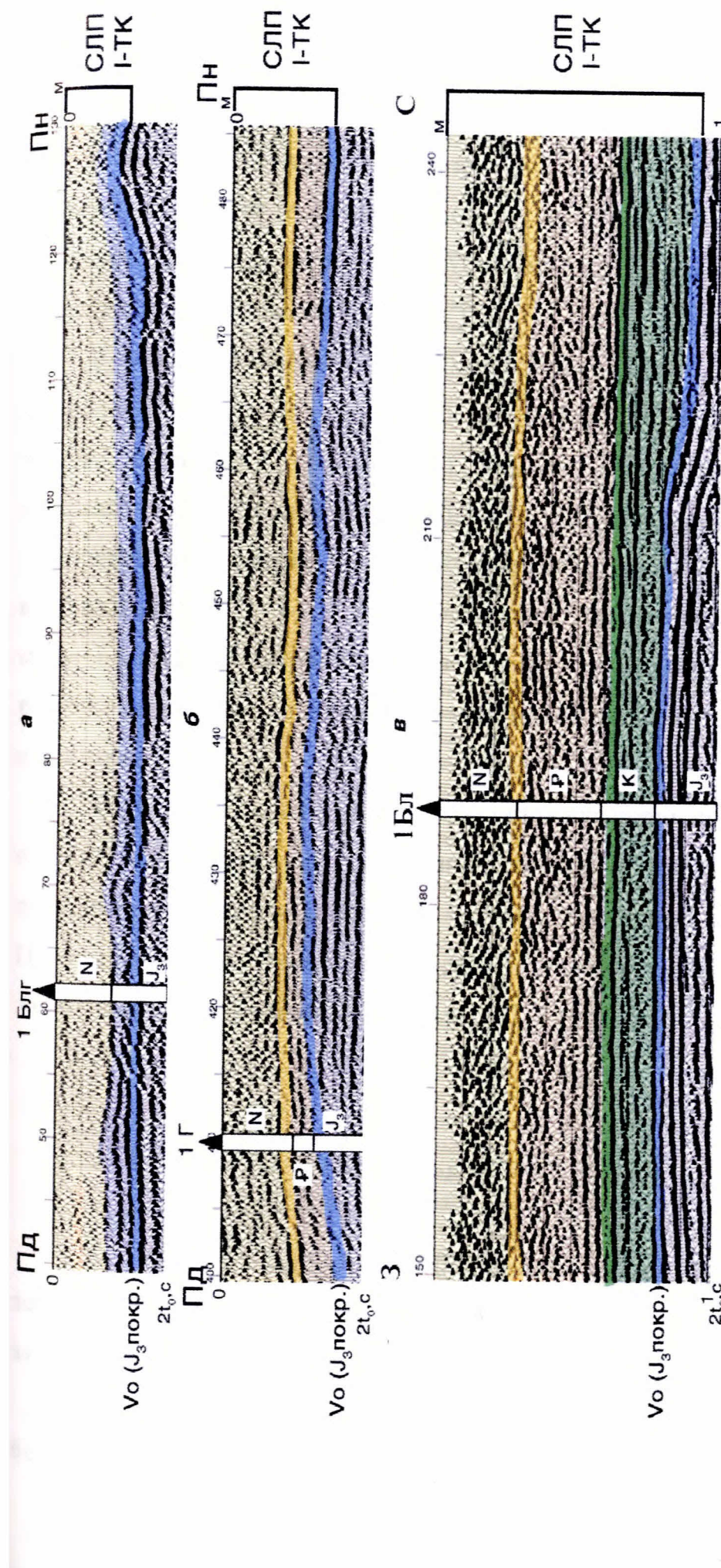


Рис. 2.9. Типи рисунків сейсмічного запису у межах СЛП I-ТК.  
Склад С. В. Кольцов з використанням матеріалів КГФЕ “Кримгеофізика”, 2003

відповідає денудованій покрівлі юрських теригенних відкладів, вище яких залягають карбонати неогену [73].

В північно-західній і східній частинах Придобруджинського прогину інтенсивність і амплітуда горизонту Vo(J<sub>3</sub> покр.) більш низькі (Рис. 2.9 б). На юрських відкладах залягають породи палеогену (св. Городненська 1, св. Фурманівська 1) або крейди (св. Мирнівська 1, Валя-Пержей 20) з близькими петрофізичними характеристиками [79].

В межах Причорноморської монокліналі і Білоліського блока амплітуда і інтенсивність горизонту знову зростає (Рис. 2.9 в). Підошва СЛП I - ТК в цій частині Західного Причорномор'я впевнено виділяється завдяки незгідному заляганню вапняків нижньої крейди на аргілітах верхньої юри [50].

Хвильова картина, яка зафікована в інтервалах часових розрізів, котрі відносяться до СЛП I-ТК, відносно проста. Вона характеризується відбиттями малої і середньої інтенсивності з зонами “прозорого” або “напівпрозорого” рисунка сейсмічного запису, який чергується з окремими високоамплітудними відбиттями.

Подібна хвильова картина характерна для товщ, складених пачками порід однорідного складу, відносно великої товщини (100 м і більше) з окремими літологічними неоднорідностями і стратиграфічними незгідностями [70, 81]. Просторова форма залягання поверху – покривна, що характерно для фаций зовнішнього та внутрішнього шельфу [47, 82].

#### 2.4.2. Каркінітсько-Північнокримський прогин

Під назвою “Каркінітсько-Північнокримський прогин” мається на увазі територія Рівнинного і Гірського Криму, Північного Причорномор'я, північно-західного шельфу Чорного моря та північної частини акваторії Азовського.

До гетерогенного фундаменту досередньоюрські відклади відносяться без виділення окремих структурно-літологічних поверхів [4]. Це пов’язано з

тим, що глибоким бурінням вони практично не вивчені із-за великої глибини залягання (Північнокримський прогин), або їх не розбурено із-за помилково занижених у минулі роки перспектив нафтогазоносності на площах, де вони залягають на відносно невеликих глибинах. Вивченість сейсморозвідкою МСГТ також носить схематичний характер із-за великих глибин залягання горизонтів, рідкої сітки профілів (Центральнокримське підняття, Альмінський прогин та інші) та неможливості однозначної стратиграфічної прив'язки відбиттів.

На відміну від Західного Причорномор'я, де як сейсморозвідкою, так і глибоким бурінням встановлено розвиток осадового чохла венд-кам'яновугільного віку, в межах Рівнинного Криму і Присивассі (пасивна окраїна Лаврусії та Лавразії) [55] немає прямих даних про повний розвиток верхньопротерозойського і палеозойського осадового чохла. Єдиним районом розвитку відкладів кам'яновугільного віку з біостратиграфічно визначеним віком є Центральнокримське підняття. Тут розвинені збагачені вугільною речовиною аспідні сланці з прошарками вапняків, кварцових діабазів; (св. Новоселівські 6, 9). Ці відклади вважаються утвореними в глибоководних умовах, тому відповідають умовам батіалі [16]. Рисунок сейсмічного запису, зафіксований на профілях, відпрацьованих в межах Центральнокримського підняття, у цілому характеризується хаотичним рисунком сейсмічного запису з окремими малоамплітудними непротяжними відбиттями (Рис. 2.10).

Відклади палеошельфу Лавразії в межах Криму на цей час не встановлені, хоча не виключається можливість їх розвитку під відкладами триасу-юри. Про це свідчать матеріали сейсморозвідки, які було отримано в останні роки (2000-2002 р.р.). На окремих сейсмічних профілях в докрейдовій частині розрізу на фоні хаотичного рисунка запису виділяються динамічно виражені пачки відбиттів, які, можливо, відповідають відкладам палеошельфу Лавразії (Рис. 2.10 а).

Відклади пізньокам'яновугільного-permського віку, які можуть бути віднесені до Передскіфійського прогину, розкрито в Північному Причорномор'ї в свердловині Новоолексіївська 6 [94]. Рисунок сейсмічного запису, який

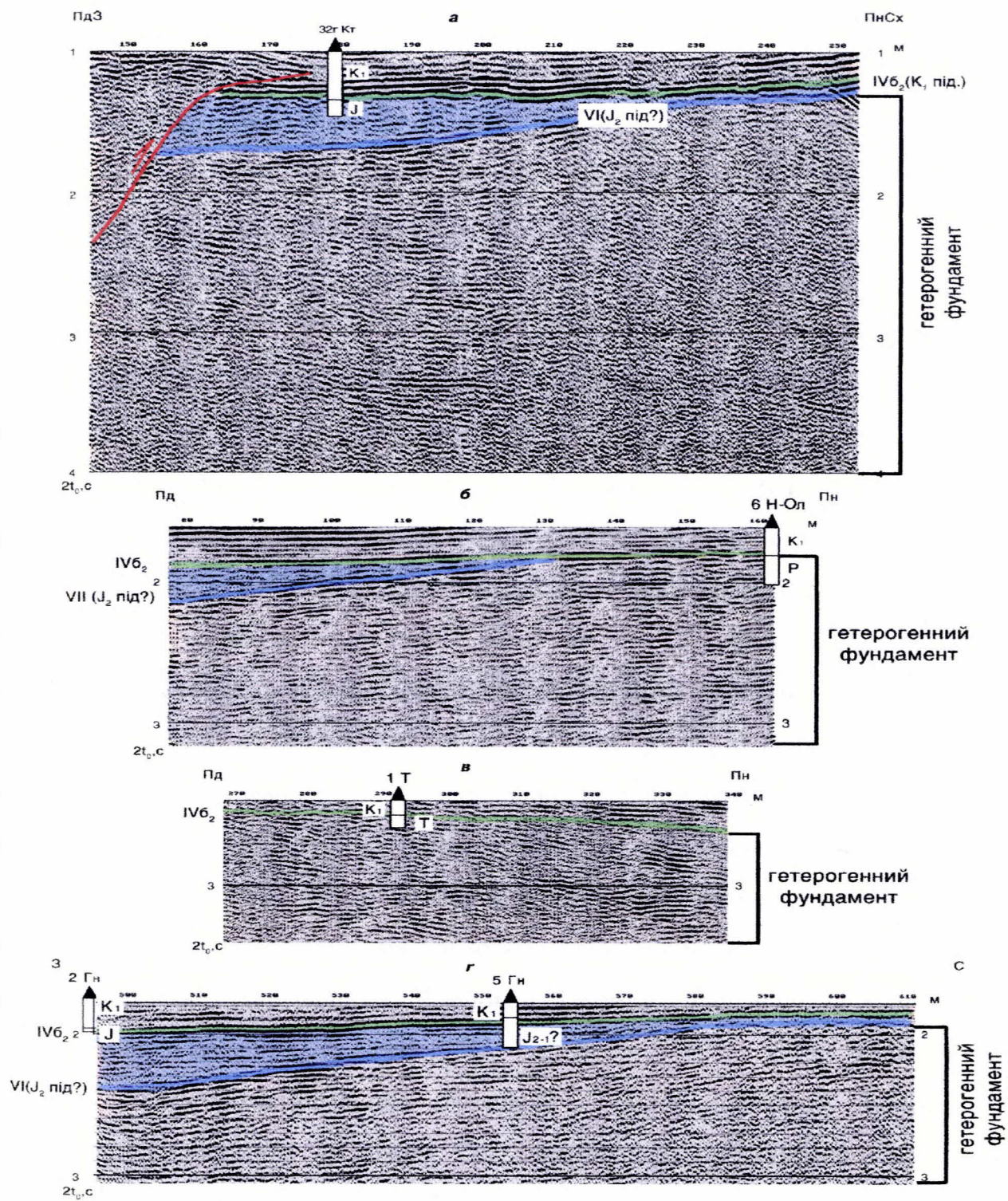


Рис. 2.10. Рисунок сейсмічного запису в досередньоюрських відкладах:  
а - Центрально-Кримське підняття; б, г – північний борт Каркінітсько-  
Сиваського прогину; в – Каркінітсько-Сиваський прогин.

Склад С. В. Кольцов з використанням матеріалів КГФЕ “Кримгеофізика”, 2003

зареєстровано в інтервалах цього віку, характеризується наявністю середньоамплітудних субпаралельних відбиттів, що чергуються з зонами прозорого і хаотичного рисунка. По латералі спостерігається зниження інтенсивності відбиттів та зміна рисунка на хаотичний, з безсистемним припиненням простеження відбиттів (Рис. 2.10 б).

В межах Криму відклади цього типу ще не встановлені, це треба пояснити інтенсивним здійманням території і глибокою ерозією розрізу при причленуванні Гірсько-кремського терейну в середньоюрсько-нижньокрейдовий час [55].

Існування крупного прогину в зоні Присивасся і Каркінітської затоки, який заповнено відкладами тріасового віку, передбачалося ще у 50-60 роках минулого століття [25]. Подальшими геолого-геофізичними дослідженнями було доведено розвиток відкладів цього віку у Каркінітсько-Сиваському прогині (Присивасся), а також у межах інших тектонічних елементів [95]:

Розташована в межах Каркінітсько-Сиваського прогину свердловина Тетянівська 1 на глибині 4752 м увійшла у біостратиграфічно визначені відклади корнійського ярусу і зупинена в них. У свердловині 1 Миколаївська (Альмінська западина) під відкладами кайнозою розкрито малопотужні відклади крейди та потужну товщу юри і тріасу. Також розвиток утворень цього віку доведено в акваторіях Чорного (св. Євпаторійська 2), та Азовського (св. Електророзвідувальна 1) морів [54].

На сейсморозвідувальних профілях, відпрацьованих у межах Каркінітсько-Сиваського прогину, в інтервалах докрейдових відкладів фіксується хвильова картина, яка близька до зареєстрованої у межах тріасових прогинів Західного Причорномор'я (Рис. 2.10 в). Вона характеризується наявністю мало – та середньоамплітудних відбиттів, які чергуються з зонами прозорого рисунка. Відбиття, як правило, низькоінтенсивні, непротяжні, субпаралельні, кути нахилу незначні. Збільшення кутів нахилу відбиттів спостерігається в межах бортів Каркінітсько - Сиваського прогину (Рис. 2.10 б, г), або поблизу зон крупних тектонічних порушень.

Вище гетерогенного фундаменту виділяється **VI-T СЛП**. Підошвою поверху є горизонт відбиття VI( $J_2$  під?). На часових розрізах цьому горизонту відповідає двох - рідко трьохфазове відбиття, яке має інтерференційний характер та простежується спорадично по площі (Рис. 2.11).

Відмічаються припинення відбиттів на горизонті VI( $J_2$  під?) за схемою підошовного налягання (Рис. 2.11 а).

Покрівлею СЛП IV-T є горизонт IV $b_2(K_1$  під.), який має значне поширення та відносно однозначно виділяється на розрізах. Виключення складає центральна частина Північнокримського прогину, у межах якої виділення горизонту має певні труднощі.

Для поверху характерний рисунок сейсмічного запису з відносно малоамплітудними непротяжними відбиттями та зонами напівпрозорого рисунка. Відбиття, як правило, субпаралельні, двохфазові, низької та середньої частоти. Такий тип рисунка характерний для теригенних відкладів, які утворилися в умовах шельфу [66].

Латеральні зміни рисунка сейсмічного запису незначні. Найбільш суттєві зміни відбуваються в зонах розповсюдження вулканогенних утворень. Як правило, такі зони характеризуються “німим” (прозорим) рисунком запису та припиненням простеження відбиттів поблизу тіла палеовулкану за схемами налягання (Рис. 2.11 в).

Наступним за віком є **СЛП IV-BT**, який за даними сейсморозвідки МСГТ виділяється в межах всього суходолу Рівнинного Криму та Північного Причорномор'я, а також акваторій Чорного та Азовського морів. Границями поверху є горизонти відбиття IV $b_2(K_1$  під.) та IV $a(K_1$  покр.), які стратиграфічно приурочені до підошви та покрівлі нижньокрейдових відкладів, відповідно.

В зв'язку з тим, що глибина залягання горизонту відбиття IV $b_2(K_1$  під.) суттєво змінюється в межах різних тектонічних елементів, його характеристики різноманітні. На більшій частині Рівнинного Криму та Північного Причорномор'я (за виключенням центрального грабену Північнокримського рифтогенного прогину (MZ)) в підошві відкладів нижньої крейди фіксується

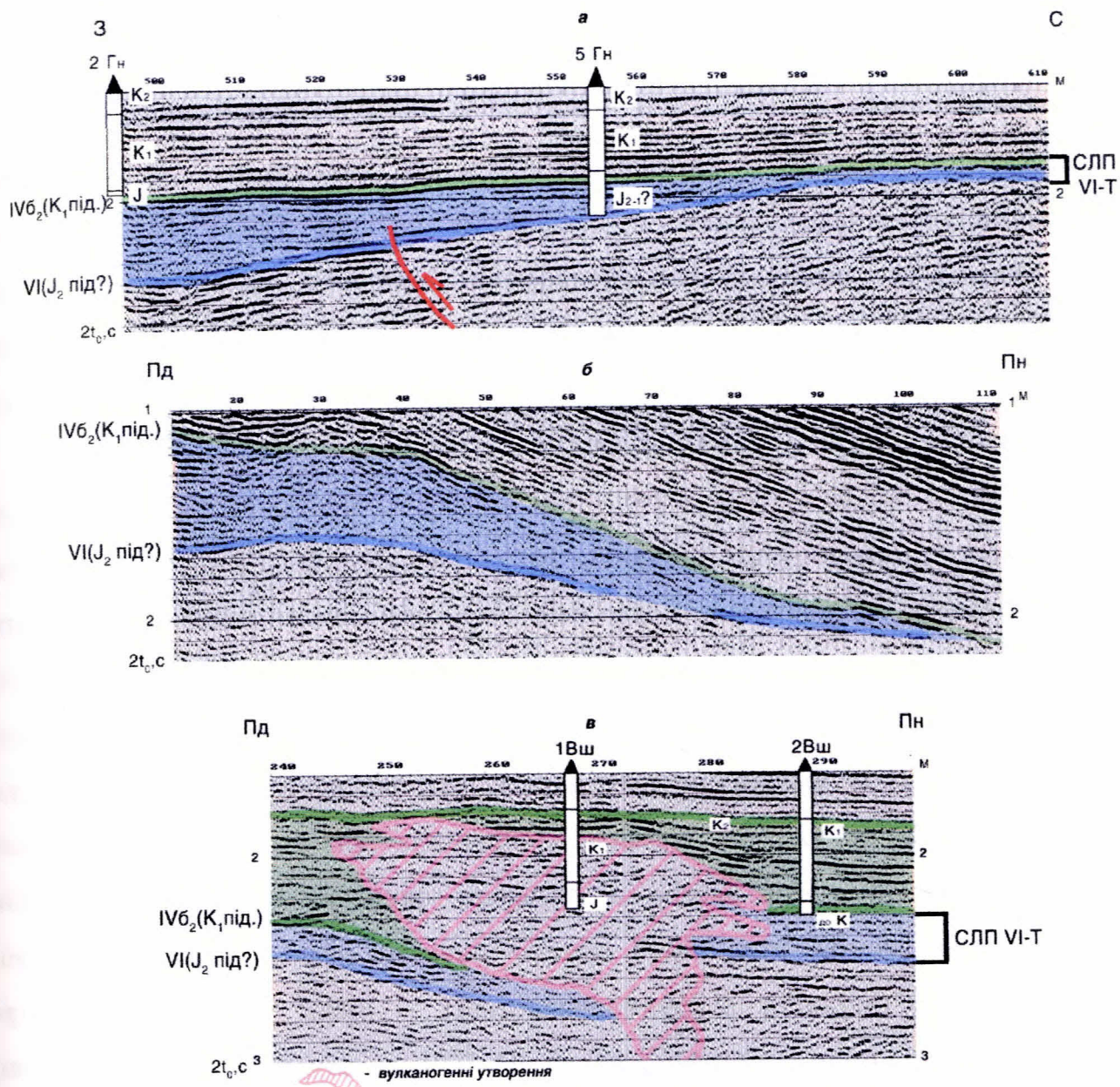


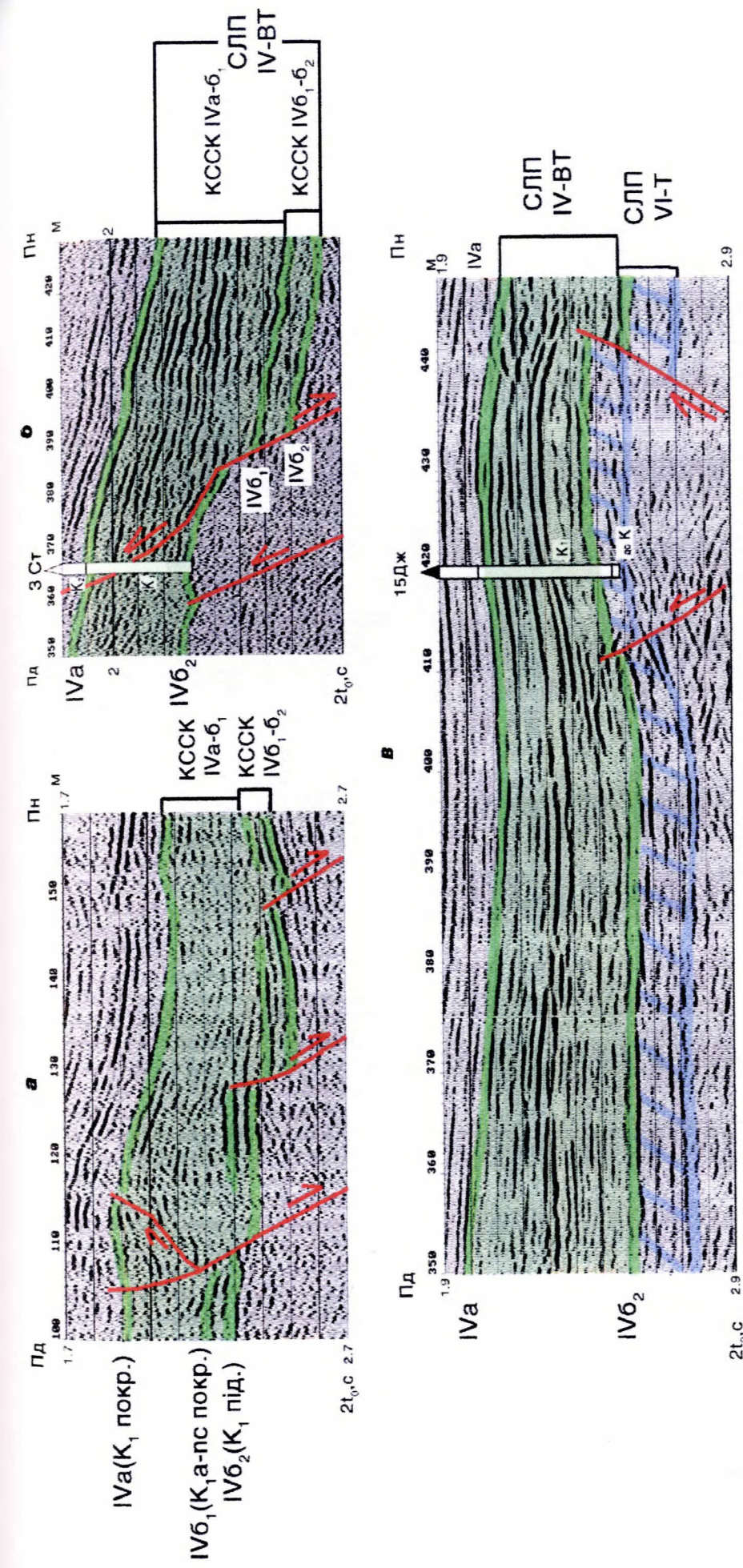
Рис. 2.11. Рисунки сеймічного запису в межах СЛП VI – Т:  
а – Каркінітсько-Сиваський прогин; б – східне занурення Гірсько-Кримського  
терейну; в – Північно-Кримський прогин.

Складав С. В. Кольцов з використанням матеріалів КГФЕ “Кримгеофізика”, 2003

високоамплітудне інтенсивне двох-трьохфазове відбиття (Рис. 2.12, 2.13). Нижче нього відмічаються численні припинення простеження відбиттів за схемою “ерозійний зріз”, а вище горизонту - за різними схемами підошовні незгідності [96]. Це дозволяє виділяти цей горизонт як границю незгідності. Товщина СЛП-IV ВТ суттєво змінюється в межах різних тектонічних елементів. Мінімальні товщини нижньокрейдових відкладів зафіковано в межах Альмінської западини (до 100-150 м), а максимальні (2000-2500 м) у центральному грабені Північнокримського прогину (рифту).

Окрім граничних горизонтів відбиття, в межах поверху виділяється декілька горизонтів відбиття: IV<sub>b1</sub>(К<sub>1a</sub>-пс покр.), IV<sub>a3</sub>(К<sub>1al3</sub> під.) та інші. Горизонт відбиття IV<sub>b1</sub>(К<sub>1a</sub>-пс покр.) стратиграфічно приурочений до покрівлі базальних відкладів неоком-аптського віку, які утворились на дорифтовому етапі розвитку Північнокримського прогину. Цим горизонтом СЛП IV-ВТ поділяється на два КССК: IV<sub>b1-b2</sub> та КССК IV<sub>a-b1</sub>, які об'єднують седиментаційні комплекси, що утворилися на дорифтовому та синрифтовому етапах розвитку рифтогену, відповідно. Розподіл поверху на комплекси за сейсмічними даними можливо провести в межах центрального грабену (північно-західний шельф, північна частина Рівнинного Криму), південного борту (у сучасному плані – Центральнокримське підняття) та частково північного борту (Присивасся) [97]. На решті території (Альмінська западина, північна частина північно-західного шельфу Чорного моря, Північне Причорномор'я), виділити КССК неможливо із-за малих товщин відкладів нижньої крейди [93].

Характерною рисою рисунка сейсмічного запису, який зафіковано у межах КССК IV<sub>b1-b2</sub> (неоком-апт), є наявність інтенсивних низькочастотних багатофазових відбиттів (високоамплітудна сейсмофація), що типово для континентальних та мілководних фаций. Треба відмітити, що подібна хвильова картина спостерігається майже всюди, виключення складають зони поблизу бортових скидів (Рис. 2.12 а, б).



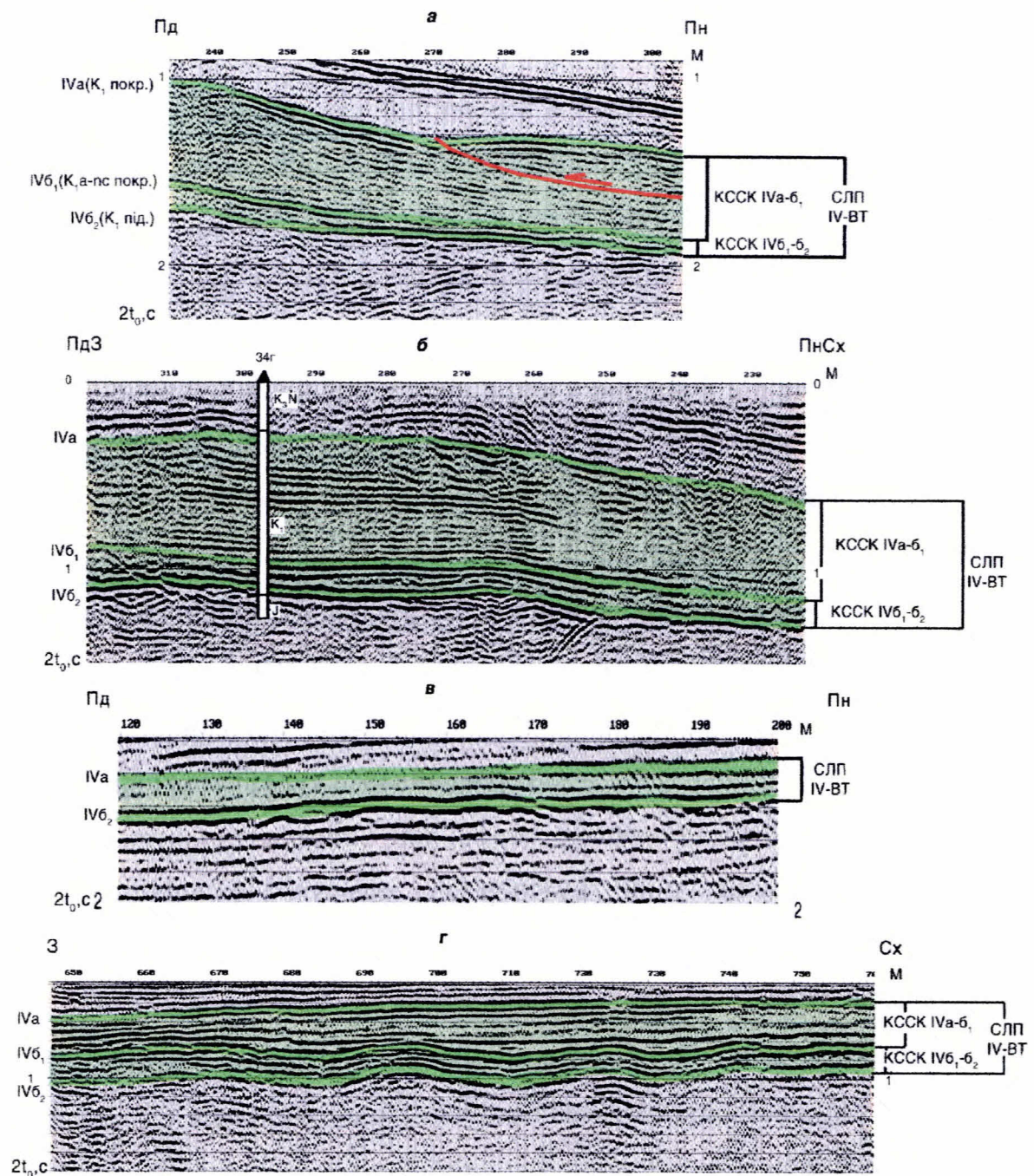


Рис. 2.13. Рисунки сейсмічного запису в межах СЛП IV – BT:

**а, б** – південний борт Північнокримського прогину

(Центральноукраїнське підняття);

**в, г** – північний борт Південноукраїнська монокліналь).

Склад С. В. Кольцов з використанням матеріалів

КГФЕ “Кримгеофізика”, 2003

Часові інтервали КССК (IVa-б<sub>1</sub>) (альбські відклади синрифтового етапу, характеризуються хвильовою картиною зі слабкими відносно непротяжними змінної частоти відбиттями, які чергуються з окремими високоінтенсивними протяжними відбиттями (Рис. 2.12). Інтенсивність і протяжність відбиттів в межах КССК IVa-б<sub>1</sub> залежать від ступеня шаруватості та витриманості окремих пачок і шарів по площині, а також ступеня піскуватості відкладів (пачки А-17, А-18). Такий тип рисунка є типовим для морських фаций, якими заповнено рифтогенні прогини [91]. Слід зазначити, що такий тип рисунка сейсмічного запису характерний для центрального грабену рифтогену [96]. Поблизу бортових скидів та на самих бортах спостерігаються зони з більш протяжними відбиттями підвищеної амплітуди (Рис. 2.13). Області з хаотичним розповсюдженням відбиттів, або “прозорим” рисунком пов’язані з тектонічною роздробленістю відкладів (Рис. 2.12 б). У цілому, хвильова картина, яка зафіксована в межах альбських відкладів, типова для усіх різновікових рифтогенних прогинів півдня України [89].

Крім хвильової картини, пов’язаної зі зміною літологічного складу відкладів, на часових розрізах фіксуються зони аномального рисунка сейсмічного запису, які пов’язані з масивами вулканогенних утворень. На рисунку 2.14а наведено приклад виділення однорідного масиву палеовулкану серед теригенних відкладів нижньої крейди. В районі свердовини Вишняківська 1 у відкладах юри і частково нижньої крейди виділяється зона з “німим” (прозорим) рисунком сейсмічного запису. За її межами фіксується запис, характерний для теригенних товщ [91]. Контур палеовулкану однозначно виділяється за зміною хвильової картини. Поблизу тіла палеовулкану відмічається припинення простеження відбиттів за схемою підошвового налягання, що відображає налягання теригенних відкладів на вулканогенні утворення. Над “німим” рисунком запису фіксуються протяжні відбиття з позитивною кривизною осей синфазності, що відображають облікання вищезалляючими товщами тіла палеовулкану. Такі особливості рисунка сейсмічного запису типові для більшості палеовулканів Північнокримського

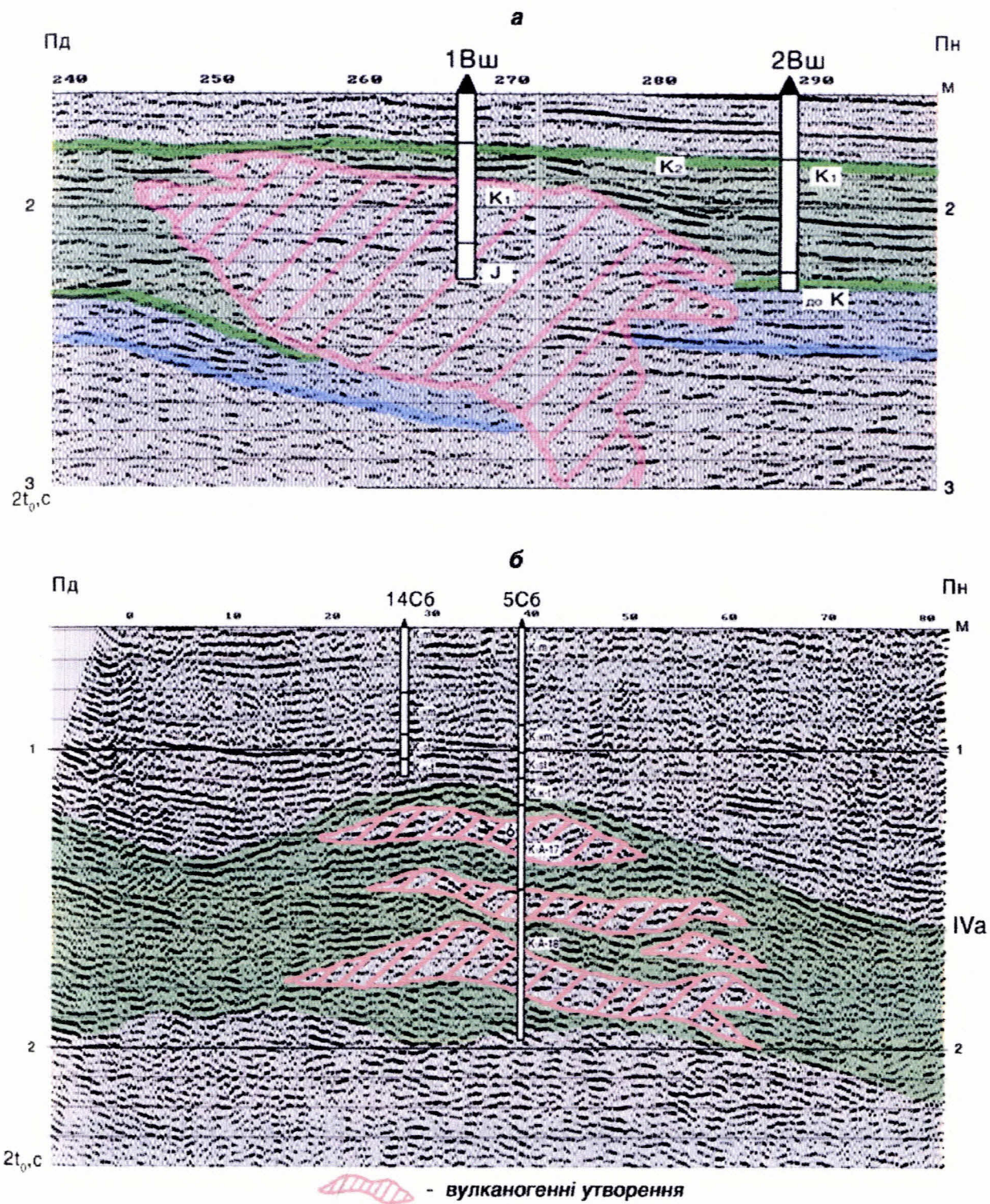


Рисунок 2.14. Виділення масивів палеовулканів за даними сейсморозвідки.  
Склад С. В. Кольцов та С. В. Москальська з використанням матеріалів  
КГФЕ “Кримгеофізика”, 2004

рифтогену (Орловський, Першотравнений, Олексіївський, Соколинський та ін.) [96].

Труднощі з виділенням вулканогенних утворень на часових розрізах виникають у випадку чергування їх з теригенними відкладами всередині масиву палеовулкану (Рис. 2.14 б). Складність обумовлена подібністю хвильових картин у контактуючих вулканогенних і теригенних відкладах. У ряді випадків, крім “німого”, эфузивам відповідають зони з горбистим рисунком запису без визначених закономірностей у розповсюдженні відбиттів зниженої частоти. За своїм характером ця хвильова картина близька до тієї, що фіксується в інтервалах, які відповідають теригенним і вулканогенно-осадовим відкладам поблизу їхнього контакту з вулканогенними утвореннями. В цілому масиви палеовулканів зі складною внутрішньою будовою характеризуються антиклінальним перегином горизонту, пов’язаного з їх покрівлею.

На відкладах нижньої крейди залягає карбонатна товща верхньої крейди-еоцену в якій виділяється **СЛП III-К**. Для поверху характерна наявність інтенсивних протяжних високоамплітудних відбиттів у покрівлі і підошві СЛП та окремих КССК (Рис. 2.15).

Підошвою СЛП є горизонт відбиття IVa( $K_1$ покр.). Він впевнено виділяється як за даними МСГТ, так і за даними сейсмокаротажу, ВСП та ГДС. На часових розрізах йому відповідає інтенсивне витримане по площині низькочастотне відбиття. Покрівлею СЛП є горизонт відбиття IIa( $P_3$ mk під.).

Для поверху характерна наявність інтенсивних протяжних високоамплітудних відбиттів, які приурочені до окремих складових поверху ( $IIIb(K_2t$  під.),  $IIIa_3(K_2km$  під.),  $IIIa_2(K_2m$  під.),  $IIIa(P_1^1$  під.),  $IIb(P_2^3$  низи) та інші). Цими горизонтами СЛП III-К поділяється на ряд КССК, СПК та СПЧ. Всього виділяється три КССК, які об’єднують відклади, що утворилися на різних етапах розвитку рифтогену в мезозої (перехідному (КССК  $IIIa_3-IVa$ ), синеклізному (КССК  $IIIa-a_3$ )), а також на початку кайнозойського рифтогенезу (еоцен-палеоцен (КССК  $IIa-IIIa$ )).

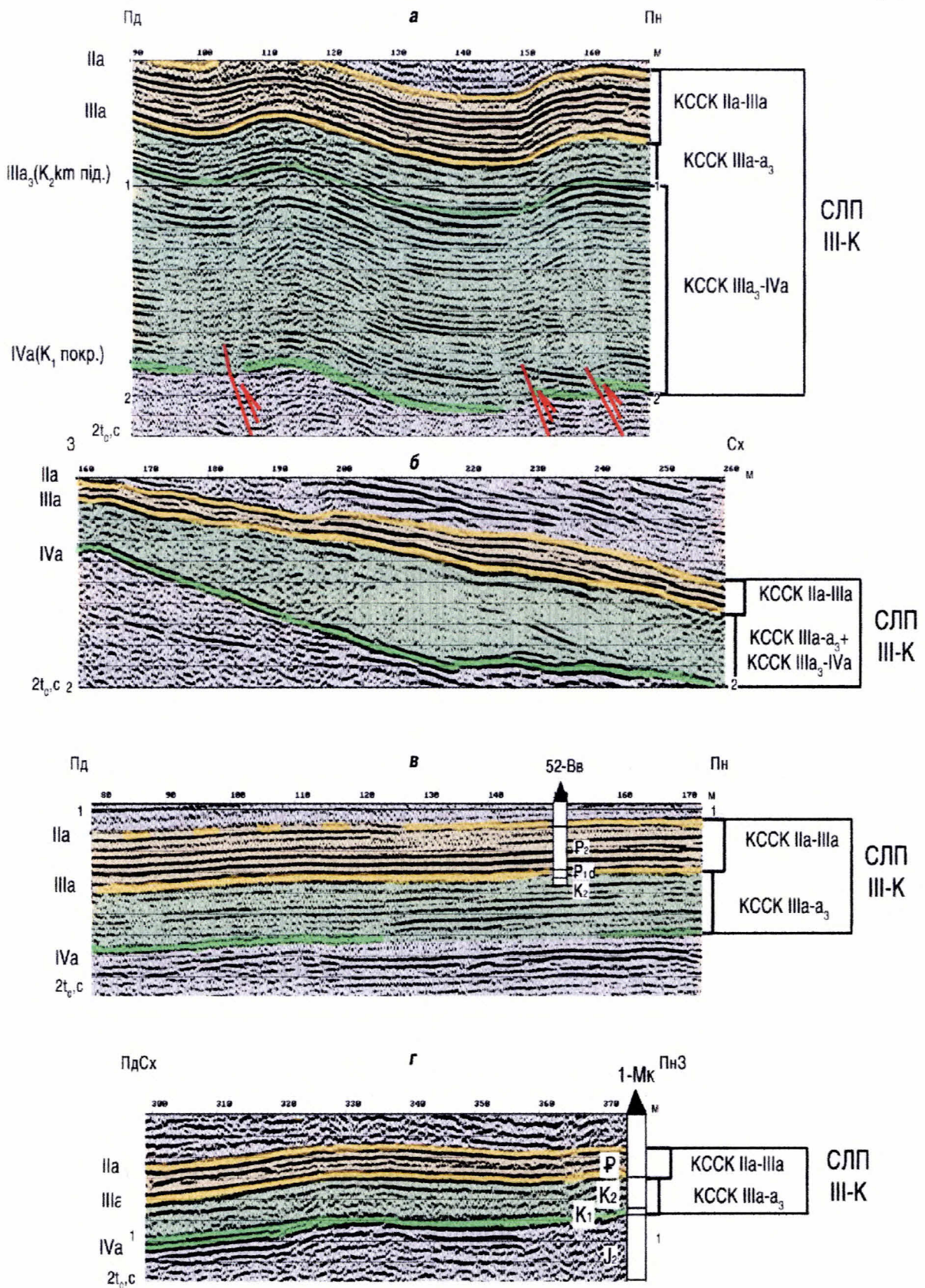


Рис. 2.15. Рисунки сейсмічного запису в межах СЛП III-K.  
Складав С. В. Кольцов та С. В. Москальська з використанням матеріалів  
КГФЕ “Кримгеофізика”, 2004

Для відкладів верхньої крейди характерні два типи рисунка сейсмічного запису. Перший тип, найбільш розповсюджений у межах Північнокримського прогину, пов'язаний з шаруватими відкладами і характеризується багатофазовими, високоамплітудними субпаралельними відбиттями, що чергуються з зонами “прозорого рисунка” (Рис. 2.15 а). В склепінних частинах структур визначаються зони з хаотичним або інтерференційним характером рисунка сейсмічного запису, що обумовлено тектонічною роздробленістю цих відкладів [98].

Другий тип має «прозорий» (німий) характер з відсутністю відбиттів, що корелюються (Рис. 2.15 б). По латералі відбувається поступова зміна прозорого рисунка на горбистий. Такий тип фіксується в межах східної центрикліналі прогину і відповідає ділянкам розвитку щільних однорідних карбонатів, можливо, тектонічно роздроблених [96].

Типи рисунка сейсмічного запису, які зафіковані в межах СЛП, характерні для фацій, що утворилися в умовах мілководного шельфу [66].

Крім того, в прогині і за його межами верхня товща в складі кампан-маастрихту чітко розпізнається на часових розрізах [97]. Їй відповідає прозорий рисунок запису всередині товщі та наявність інтенсивних відбиттів у підошві та покрівлі (Рис. 2.15 в, г). Цей критерій є одним з основних при виділенні цих відкладів на часових розрізах [63].

Верхньокрейдові КССК мають нерівномірне розповсюдження. Так, КССК (ІІа<sub>3</sub>-ІІІа) виділяється в межах Північнокримського прогину. За його межами товщина цього комплексу різко зменшується аж до повного зникнення [97] (Рис. 2.15 г). КССК ІІа-а<sub>3</sub>, навпаки має регіональне розповсюдження і характеризується стабільними товщинами.

Для КССК ІІа-ІІІа (еоцен-палеоцен) характерна наявність інтенсивних субпаралельних відбиттів, що пов'язано з шаруватістю та витриманістю окремих верств по площі. На окремих ділянках профілів фіксуються зони інтерференції і припинення простяження відбиттів, що пов'язано з

стратиграфічними і літологічними виклинюваннями, а також з наявністю субповертових (флети) розривів (Рис. 2.15 б).

У цілому в межах Північнокримського прогину між головними бортовими скидами (Причорноморським на півночі і Південнобортовим на півдні) товщина СЛП III-К стабільна. Деяке збільшення товщини відзначається в межах локальних підняттів, що обумовлено впливом крупних розривів і наступних деформацій стиснення з тектонічним розшаруванням і дуплексуванням окремих пачок. За межами бортових скидів товщина цього поверху різко зменшується за рахунок випадання з розрізу відкладів сеноман-сантону [96, 97].

Просторова форма залягання – покрив, що найбільш типово для сейсмофаціальних одиниць шельфових областей.

На відкладах еоцену залягає товща порід майкопської серії олігоцену та нижнього міоцену, які входять до складу СЛП II-T. Підошвою поверху є горизонт відбиття IIa( $P_3mk$  під.), який має регіональне розповсюдження (Рис. 2.16). В межах Північного Причорномор'я, Присивасся та Рівнинного Криму йому відповідає високоамплітудне протяжне відбиття, яке впевнено корелюється по площі. На окремих площах Рівнинного Криму (Тетянівська, Сусанівська та ін.) спостерігається зменшення амплітуди та погіршення простеження (Рис. 2.16 б). У межах всього регіону для горизонту IIa( $P_3mk$  під.) характерне припинення простеження окремих відбиттів та горизонтів відбиття вище його за схемами “підошвового налягання” [99]. Покрівлею СЛП II-T є горизонт відбиття Ia( $N_1^2$  під.). Для поверху характерні два типи рисунка сейсмічного запису. Перший тип пов’язаний з шаруватими відкладами нижнього міоцену-олігоцену (переважно глинистий склад) і характеризується чергуванням високоамплітудних багатофазових відбиттів з менш амплітудними і протяжними [96]. Спостерігаються численні безсистемні припинення простеження окремих відбиттів та обширні зони інтерференції (Рис. 2.16, а). Така хвильова картина обумовлена не тільки тонкошаруватою будовою цих відкладів, але і її деформованістю порушеннями гравігенно-тектонічної



Рис. 2.16. Рисунки сейсмічного запису в межах СЛП II-Г.  
Склад С. В. Кольцов та С. В. Москальська з використанням матеріалів КГФЕ “Кримгеофізика”, 2004

природи. Цей тип рисунка запису фіксується на профілях МСГТ, які відпрацьовано в межах Північного Причорномор'я, Присивасся, південної та східної частинах Рівнинного Криму і характерний для фацій зовнішнього та внутрішнього шельфу [65].

Для решти частини території типовим є інший тип хвильової картини, який характеризується прозорим рисунком сейсмічного запису з відсутністю відбиттів, що корелюються (Рис. 2.16 б). Такий тип відповідає товщам з однорідним складом, які утворилися в умовах мілководного шельфу [66].

Товщина СЛП II-Т суттєво змінюється по площині. Максимальні товщини зафіковано в межах приосьової зони Каркінітсько-Північнокримського прогину (Присивасся, північна та східна частини Рівнинного Криму). Зменшення товщини поверху спостерігається у напрямку до бортів прогину [100].

Просторова форма поверху - покрив у межах приосьової зони, або клин на бортах прогину.

Останнім СЛП, що виділяється, є **СЛП I-ТК**. До його складу входять відклади середнього і верхнього міоцену, пліоцену та четвертинні. Підошвою СЛП є горизонт відбиття Ia( $N_1^2$  під.), який простежується майже на всій території за виключенням Передгірної частини Рівнинного Криму та зони Південнобортового скиду (Октябрська, Західнооктябрська та інші площини). Горизонту відповідає витримане по площині середньоамплітудне багатофазове відбиття. Виділення цього відбиття на часових розрізах викликає певні труднощі, оскільки на більшій частині воно має інтерференційний характер та ускладнено високим фоном хвиль-завад (Рис. 2.17). Про характер хвильових картин, зафікованих у межах СЛП, судити важко із-за малих часових товщин поверху (0-400 мс), а також високого фону хвиль-завад (заломлені, заломлено-відбиті та ін.). Можна припустити, що він близький до зафікованого у межах Західного Причорномор'я і є типовим для фацій, які утворилися в умовах мілководного шельфу [91].

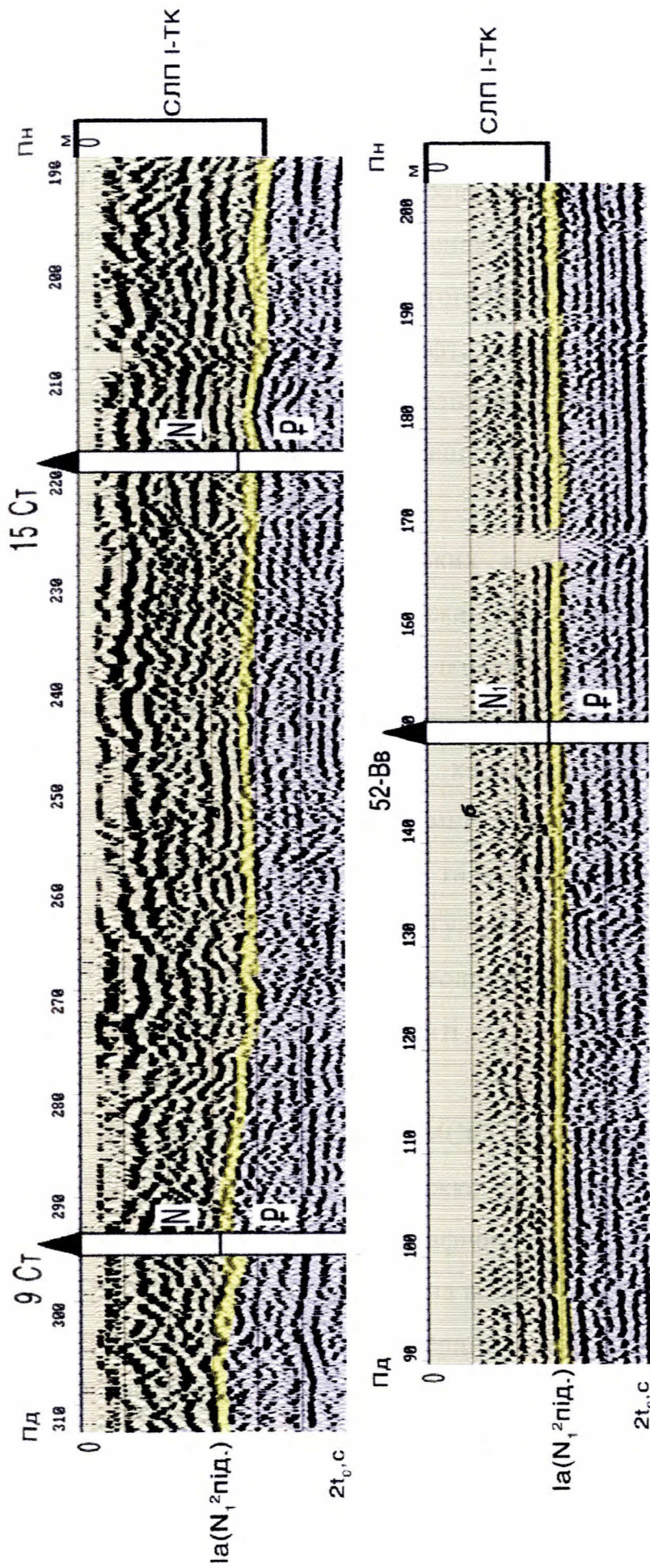


Рис. 2.17. Рисунки сейсмічного запису в межах СЛП I-ТК.  
Складав С. В. Кольцов та С. В. Москальська з використанням матеріалів КГФЕ “Кримгеофізика”, 2004

### 2.4.3 Індоло-Кубанський прогин

Під назвою “Індоло-Кубанський прогин” розглядається територія Керченського півострова та південна частина Азовського моря, в межах якої в кайнозої було сформовано рифтогенний прогин. При цьому комплекс порід відкладів, якими виповнено рифт, поділяється на дорифтові (середня юра-палеоцен), синрифтові (еоцен-олігоцен) та пострифтові (неоген), в межах останніх виділяють переходну товщу (нижній міоцен) та синеклізний комплекс (середній міоцен-пліоцен) [49].

Комплекс досередньоюрських відкладів та утворень відноситься до гетерогенного фундаменту. В межах Індоло-Кубанського прогину ці відклади глибоким бурінням і сейсморозвідкою МСГТ не вивчено із-за великої глибини залягання. Виключення складає південний борт прогину, де інтервали досередньоюрських відкладів характеризуються складною хвильовою картиною (Рис. 2.18) з безсистемним припиненням прослідження відбиттів, обширними зонами інтерференції та взаємним перетином осей синфазності. На окремих ділянках фіксуються регулярні відносно високоамплітудні відбиття, але їх стратиграфічна прив’язка неоднозначна (Рис. 2.18 в).

На гетерогенному фундаменті залягають відклади середньої (**СЛП VI-T**) та верхньої (**СЛП V-TK**) юри.

За даними сейсморозвідки МСГТ відокремити ці СЛП один від одного, а також від фундаменту дуже важко із-за подібності хвильових картин та відсутності однозначної стратиграфічної прив’язки (Рис. 2.19). Лише в межах західного замикання прогину можна виділити інтервали СЛП V-TK за рисунком сейсмічного запису, який характерний для мілководних фаціальних одиниць [91]. На профілях МСГТ зафіксована наявність прозорого та напівпрозорого рисунка сейсмічного запису між горизонтами відбиття V( $J_2$  під.) та IV $b_2$ ( $K_1$  під.), які є граничними для цього СЛП (Рис. 2.19 в).

Відносно однозначно на часових розрізах виділяються інтервали розповсюдження **СЛП IV-T**. Підошвою поверху є горизонт відбиття

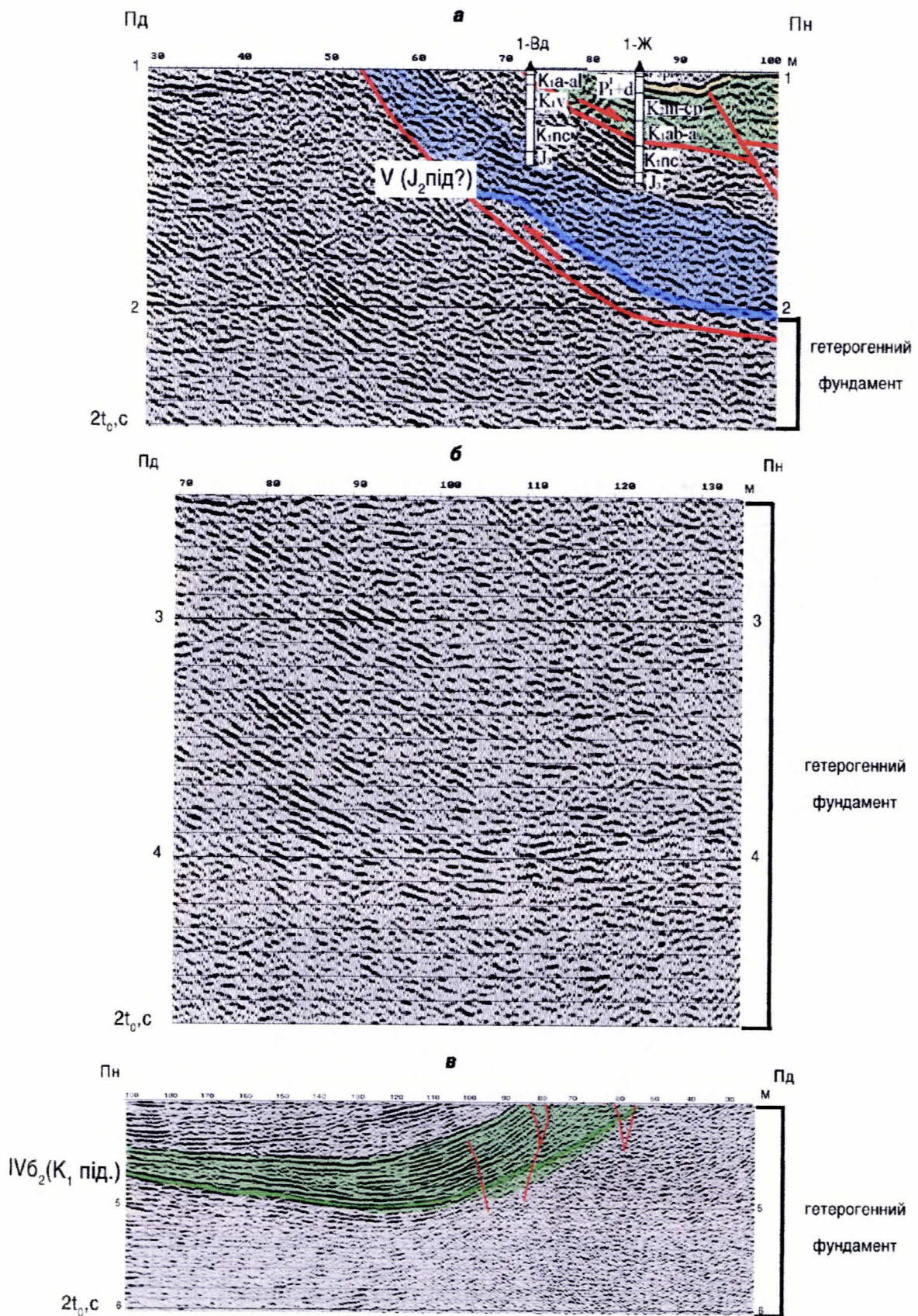


Рис. 2.18. Типи рисунків сеймічного запису в гетерогенному фундаменті.  
Складав С. В. Кольцов з використанням матеріалів КГФЕ “Кримгеофізика”, 2004

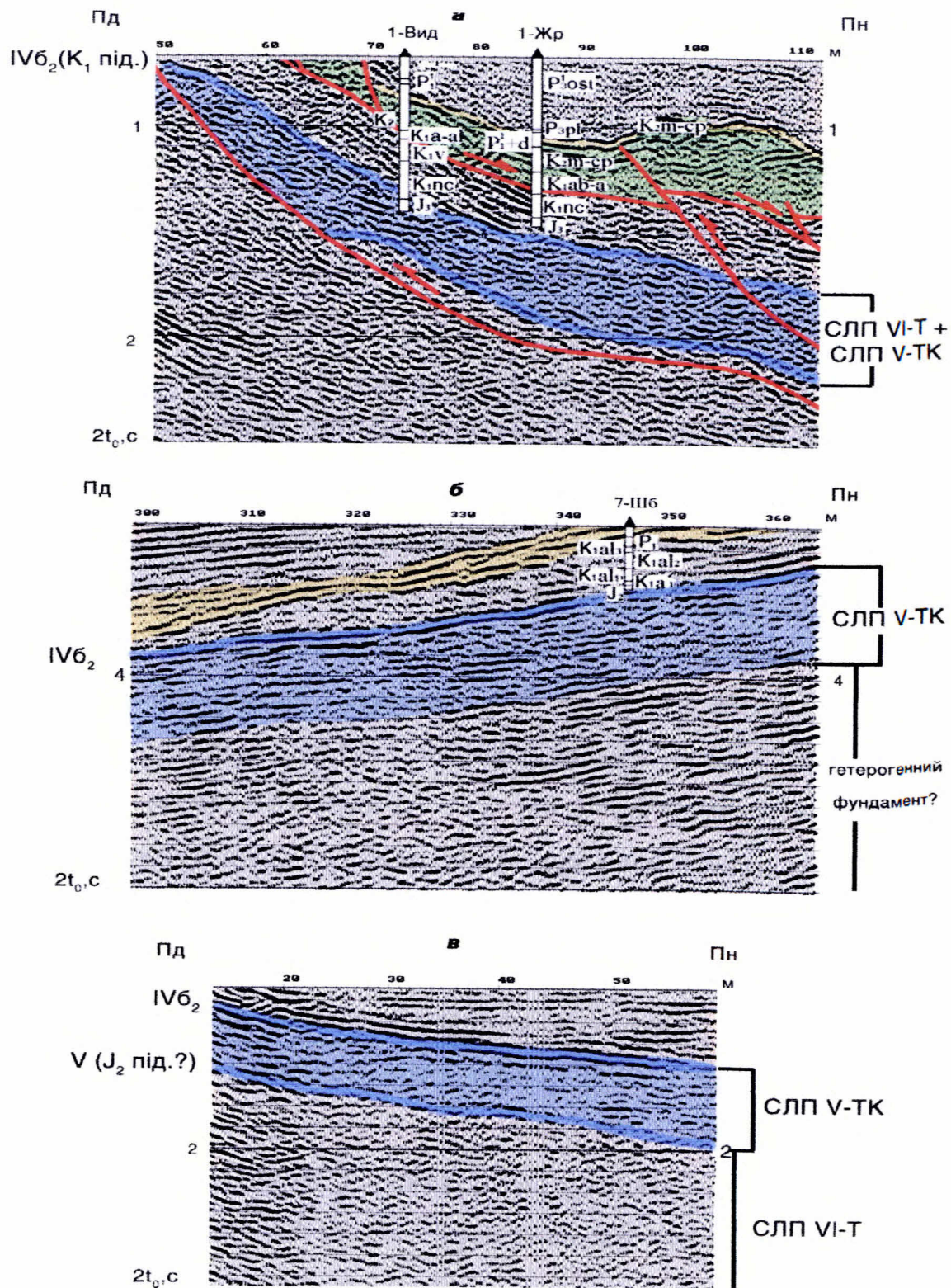


Рис. 2.19. Типи рисунків сейсмічного запису в СЛП VI-T та V-TK  
Склад С. В. Кольцов з використанням матеріалів КГФЕ “Кримгеофізика”, 2004

IVб<sub>2</sub>(К<sub>1</sub>під.). Йому відповідає відносно інтенсивне та високоамплітудне низькочастотне відбиття, якість простеження якого по площі змінна. Відносно однозначно горизонт IVб<sub>2</sub>(К<sub>1</sub>під.) простежується в межах південного та північного бортів прогину. У центральному грабені Індоло-Кубанського прогину виділення горизонту визиває певні труднощі із-за великих глибин залягання (більше 5000-6000 м) та тектонічної роздробленості. Покрівлею СЛП є горизонт відбиття IVa(К<sub>1</sub> покр.).

В межах поверху зафікована хвильова картина, яка характеризується чергуванням відносно протяжних високоамплітудних відбиттів з відбиттями знижених амплітуд та зон прозорого рисунка запису (Рис. 2.20 а). Північніше Кримсько-Кавказької сутури (південна границя прогину) спостерігається збільшення інтенсивності відбиттів (Рис. 2.20 б), що обумовлено тектонічним розшаруванням відкладів. У найбільш занурених частинах фіксується прозорий рисунок сейсмічного запису з окремими відбиттями (Рис. 2.20 г).

В цілому, хвильова картина, яка зафікована в межах СЛП IV-Т Індоло-Кубанського прогину, близька до тієї, що спостерігалась в СЛП IV-BT Північнокримського прогину, тобто типова для рифтогенних прогинів півдня України.

Наявність туфогенних утворень у розрізі альбських відкладів нижньої крейди, яка характерна для Північнокримського прогину, встановлена також в низці свердловин Керченського півострова [100,101]. Крім того, за даними сейсморозвідки встановлена повна аналогія особливостей будови нижньокрейдових відкладів у межах обох прогинів, що дало можливість зробити висновок про існування в крейдовий вік рифтогенного прогину в південній частині Керченського півострова [50].

Наступним за віком поверхом, що виділяється в межах прогину, є СЛП III-ТК. У підошві поверху просліджується відносно протяжне, середньоамплітудне відбиття (горизонт IVa(К<sub>1</sub> покр.)). Вище горизонту спостерігаються припинення відбиттів за різними схемами підошовного налягання (Рис. 2.21 г). Інтенсивність підошовного горизонту змінюється по площі, на окремих площах

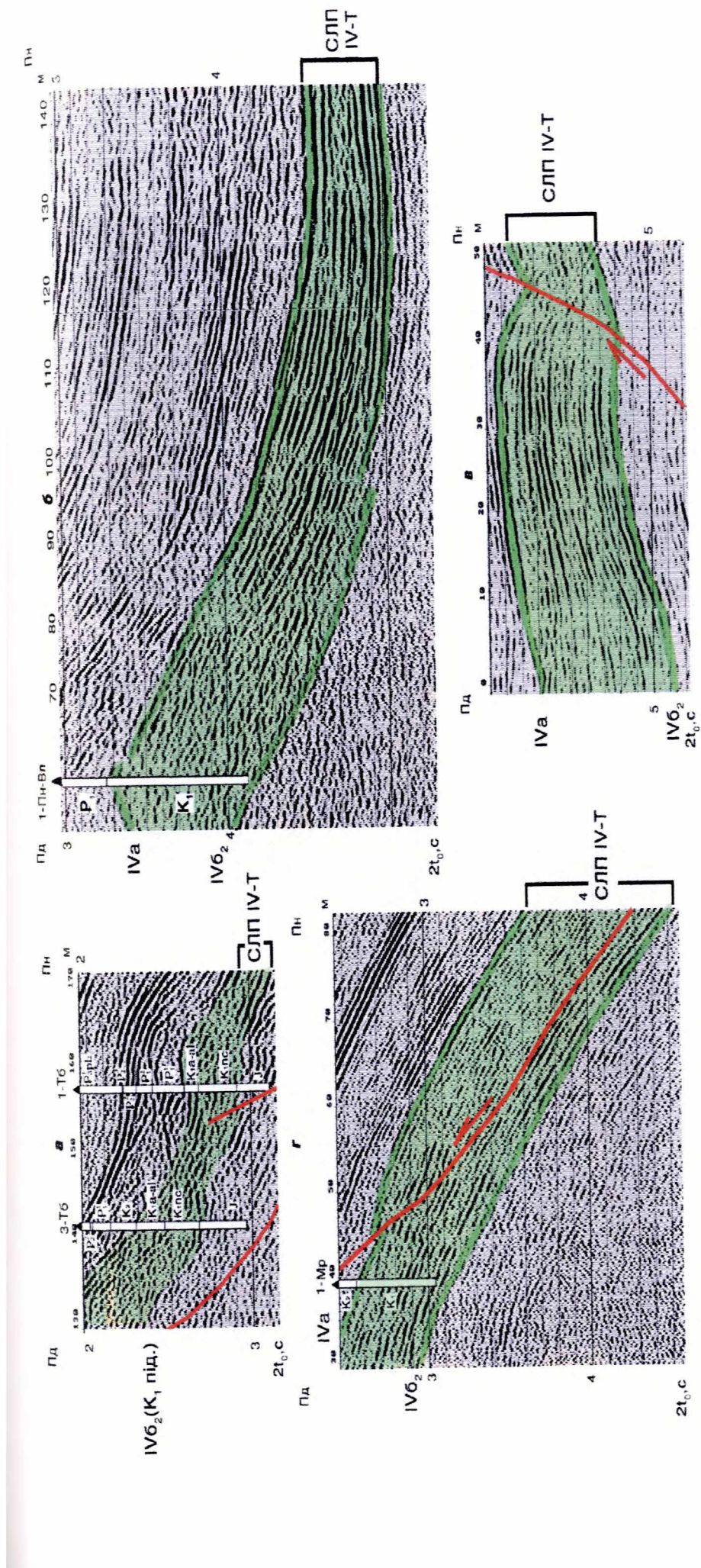


Рис. 2.20. Типи рисунків сейсмічного запису в СЛП IV-Т:  
 а – східне занурення Гірськокримського терейну; б, в, г – південний борт рифту.  
 Склад С. В. Кольцов з використанням матеріалів КГФЕ “Кримгеофізика”, 2004

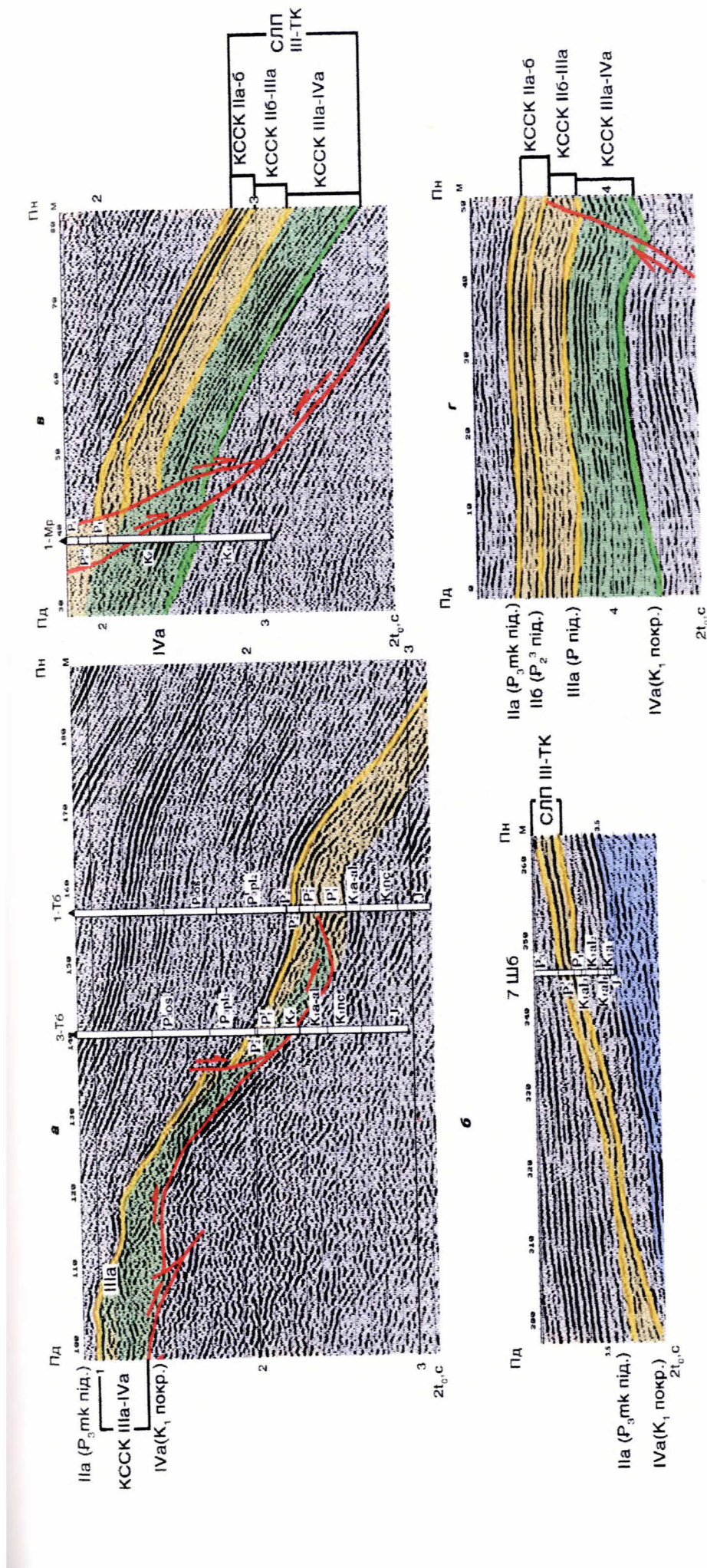


Рис. 2.21. Типи рисунків сейсмічного запису в СЛП III – ТК.  
Склав С. В. Колльцов з використанням матеріалів КГФЕ “Кримгеофізика”, 2004

він має інтерференційний характер (Рис. 2.21 а). В найбільш занурених частинах прогину його простеження стає неоднозначним, спостерігаються обширні зони відсутності відбиттів. Покрівлею поверху є горизонт відбиття ІІа( $P_3mk$  під.). В середині СЛП ІІ-ТК фіксується декілька горизонтів відбиття різної інтенсивності та амплітуд – (ІІІа( $P_1$  під.), ІІб( $P_2^3$  під.) та ін.). Вони поділяють СЛП на ряд КССК, СПК та СПЧ. Згідно [102] в межах поверху виділяються КССК ІІІа – ІІІІа (відклади верхньої крейди), КССК ІІб – ІІІа (відклади середнього еоцену – палеоцену), КССК ІІа–ІІб (відклади верхнього еоцену).

Розповсюдження цих КССК по площі нерівномірне. Так, КССК ІІІа – ІІІІа розвинуто лише в межах південного борту Індоло-Кубанського прогину (південніше Кримсько-Кавказької сутури) (Рис. 2.21 а, в, г). На інших ділянках на відкладах нижньої крейди залягає теригенно-карбонатна товща еоцен-палеоцену (Рис. 2.21 б).

В межах КССК ІІІа-ІІІІа спостерігається рисунок сейсмічного запису, який характеризується чергуванням відносно інтенсивних, середньо та високоамплітудних відбиттів з зонами прозорого рисунка запису (Рис. 2.21 в, г). Цей тип пов'язаний з шаруватими карбонатними відкладами (вапняки, мергелі з прошарками аргілітів та алевролітів) у нормальному (“стратиграфічному”) заляганні. В зонах розвитку гравігенно-тектонічних переміщень фіксується прозорий або хаотичний рисунок сейсмічного запису з окремими відносно інтенсивними відбиттями (Рис. 2.21 а).

КССК ІІб-ІІІа розповсюджений в межах всього прогину. Часова товщина комплексу змінюється від 0-40 мс у північно-західній частині до 300-400 мс у найбільш зануреній східній частині Індоло-Кубанського прогину.

Для КССК ІІб-ІІІа характерний прозорий рисунок сейсмічного запису з окремими відбиттями різної інтенсивності та протяжності (Рис. 2.21 г). Така хвильова картина спостерігається в межах товщ з відносно однорідним літологічним складом [88], які утворилися в умовах мілководного шельфу.

Інтервали КССК ІІа-б характеризуються наявністю високоінтенсивних витриманих по площі відбиттів. Відбиття, як правило, високоамплітудні, низькочастотні, двох-трьохфазові [101]. Часова товщина КССК ІІа-ІІб відносно мала – 100-200 мс, але завдяки характерному рисунку сейсмічного запису цей комплекс впевнено виділяється за даними МСГТ.

Над КССК ІІа-ІІб виділяється СЛП ІІ-Т. Підошвою поверху є горизонт відбиття ІІа( $P_3$  mk під.), якому відповідає відносно інтенсивне, витримане по площі (за виключенням зон розвитку глиняних діапірів) високо та середньоамплітудне відбиття. Вище горизонту спостерігаються численні припинення відбиттів за схемою “підошвового налягання”, що відображає трансгресивний характер залягання олігоценових відкладів (Рис. 2.22). Покрівлею поверху є горизонт відбиття ІІа( $N_1^1$  mk<sub>3</sub> покр.). В межах поверху просліджується ряд горизонтів відбиття, які приурочені до границь розділу між окремими складовими поверху. Інтенсивність та витриманість по площі цих горизонтів значно нижча, ніж граничних відбиттів, тому виділення їх на часових розрізах неоднозначне [99]. Виключення складає горизонт відбиття ІІб( $P_3$  покр.), який стратиграфічно приурочений до покрівлі відкладів керлеуцького ярусу [100]. На часових розрізах він розпізнається за різкою зміною хвильової картини, а також за наявністю припинення простеження окремих горизонтів відбиття і площацок за схемою “ерозійний зріз” (Рис. 2.22 в, г). Певні труднощі виділення горизонту ІІб ( $P_3$  покр.) виникають у східній частині Індоло-Кубанського прогину, із-за близькості рисунка сейсмічного запису, зафікованого вище і нижче горизонту (Рис. 2.22 г).

Горизонтом відбиття ІІб ( $P_3$  покр.) СЛП поділяється на: КССК ІІб-ІІб, та КССК ІІа-б. До складу першого входять відклади планорбелового, остракодового та керлеуцького ярусів олігоцену, до другого – батисифонового ярусу нижнього міоцену [100].

Для КССК ІІб-ІІа характерно чергування непротяжних, середньо та низькоамплітудних відбиттів з зонами “прозорого” або “напівпрозорого”

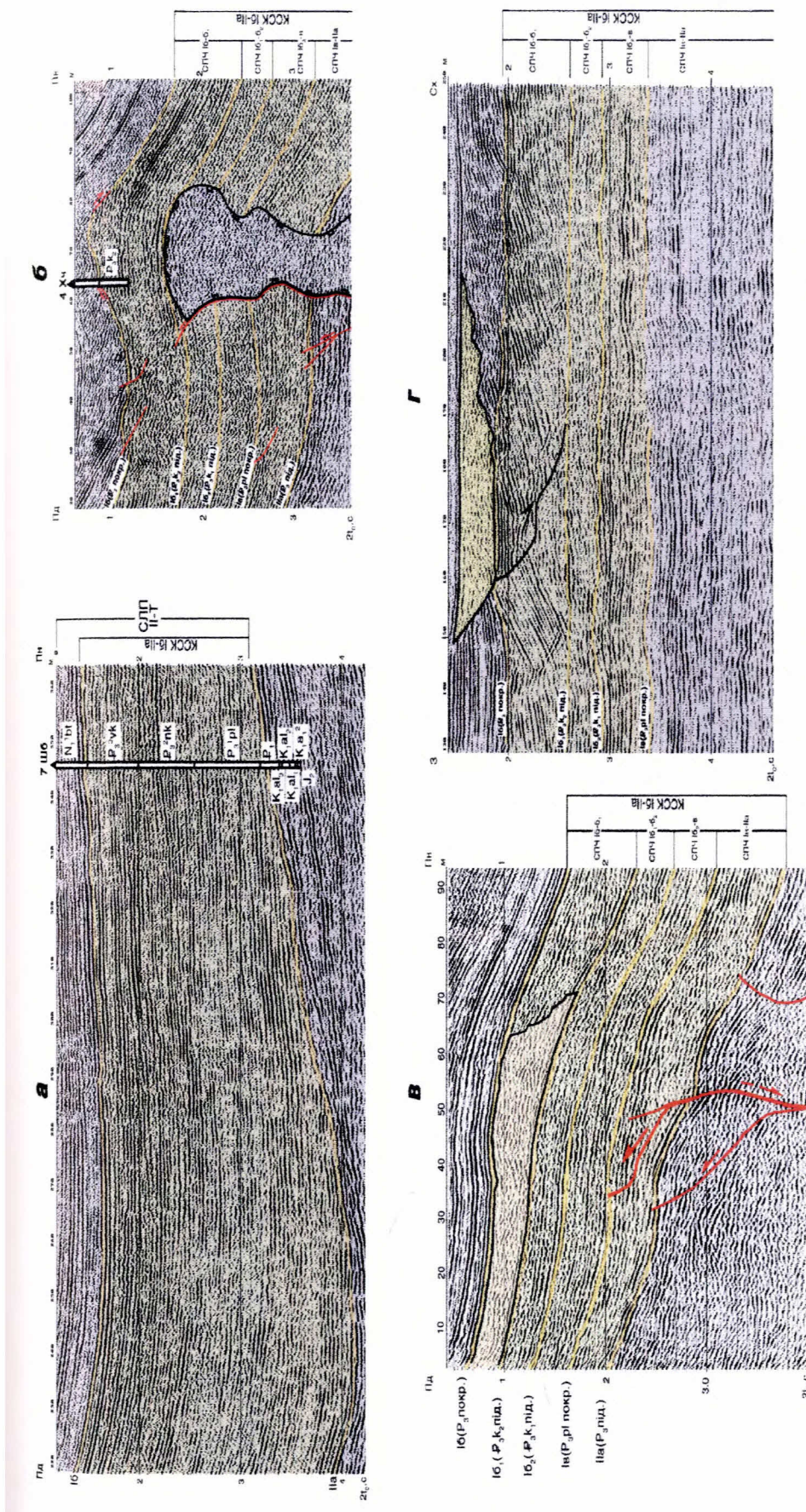


Рис. 2.22. Типи рисунків сейсмічного запису в межах СЛП II-Т (КССК Іб-ІІа). Склав С. В. Кольцов та А. Й. Івановський з використанням матеріалів КГФЕ “Кримгеофізика”, 2004

рисунка сейсмічного запису. Відбиття, як правило, субпаралельні, низькочастотні, невитримані по площі. (Рис. 2.22 а).

В межах окремих частин прогину спостерігається збільшення інтенсивності та зростання амплітуд відбиттів у нижній частині КССК, що пов'язано з розвитком базальних верств дюрменської світи, які представлені чергуванням аргілітів з алевритами та пісковиками (Фонтанівське, Придорожне, Поворотне родовища). Решта частини КССК складена відкладами переважно глинистого складу (чергування глинистих відкладів різної щільності з малопотужними прошарками пісковиків та алевритів) [103].

Просторова форма зовнішніх границь КССК Іб-ІІа є покривно-заповнюючою з відносно стабільними товщинами у приосьовій частині прогину та різким скороченням до бортів. Така форма типова для сейсмофаций заповнення крупних від'ємних структурних форм (рифтогенних та крайових прогинів) [85]. Треба вважати, що КССК Іб-ІІа відображає будову відкладів, які утворилися на синрифтовому етапі розвитку рифтогену в умовах неритової області континентального схилу та зовнішнього шельфу при інтенсивному прогинанні [65, 82].

Над КССК Іб-ІІа виділяється КССК Іа-б. В покрівлі і підошві якого спостерігаються інтенсивні високоамплітудні горизонти відбиття Іа( $N_1^1 m k_3$  покр.) і Іб( $P_3 k$  покр.), які приурочені до регіональних літолого-стратиграфічних незгідностей в покрівлях нижньоміоценових та верхньокерлеуцьких відкладів. Вони відносно однозначно виділяються на часових розрізах МСГТ, а також на матеріалах ГДС та ВСП.

В межах КССК Іа-б фіксується чергування витриманих по площі пачок відбиттів низької інтенсивності, змінної частоти з пачками високоамплітудних, інтенсивних відбиттів у різних комбінаціях (Рис. 2.23).

Крім основного типу рисунка сейсмічного запису, на профілях МСГТ фіксується зміна хвильової картини на хаотичну (Рис. 2.23 г). Зони з подібною хвильовою картиною лінійно витягнуті та тяготіють до крупних тектонічних розривів [104].

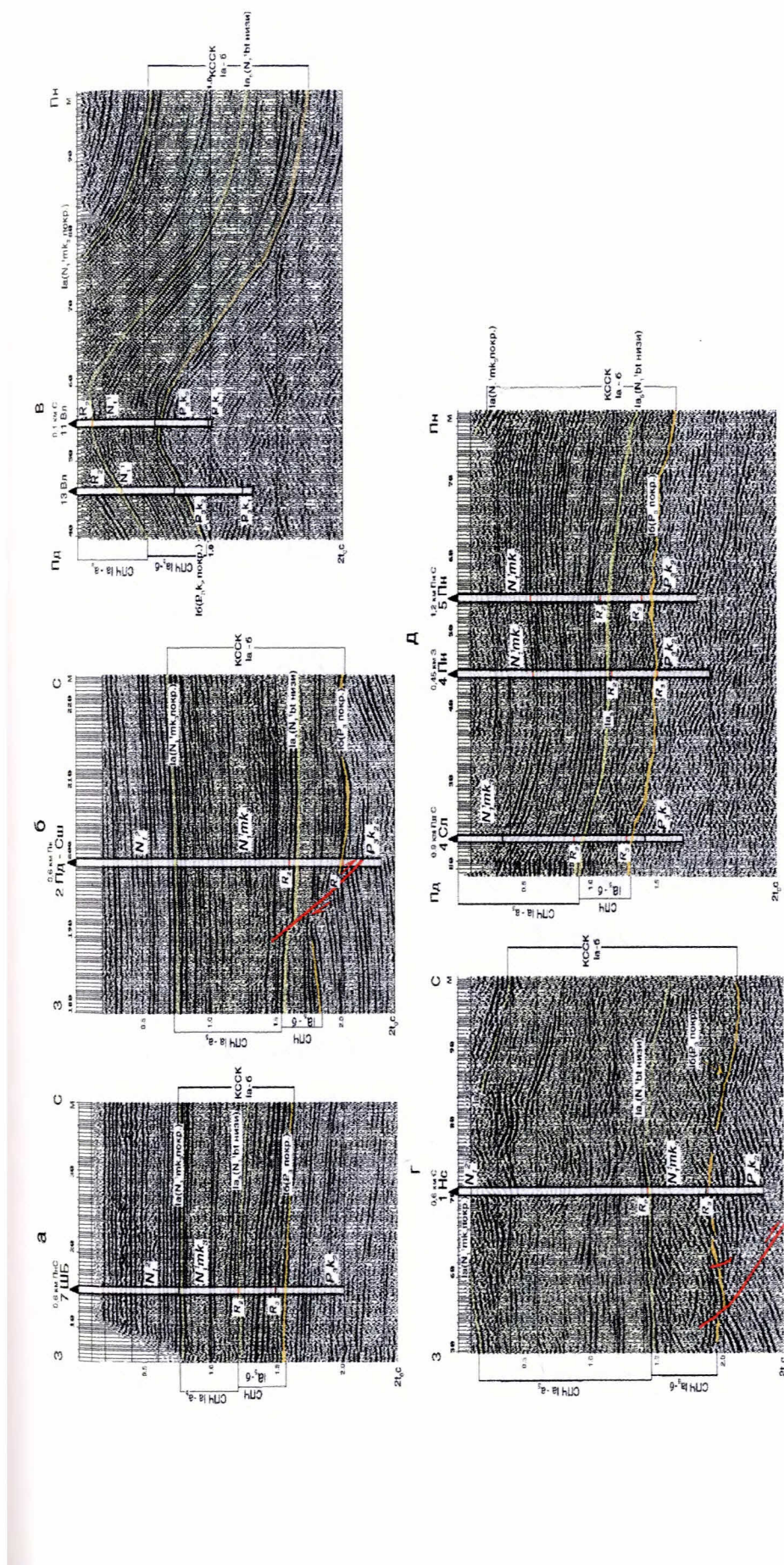


Рис. 2.23. Типи рисунків сейсмічного запису в межах СЛП II-Т (КССК Ia-б).

Склад С. В. Колъцов та А. Й. Івановський з використанням матеріалів КГФЕ “Кримгеофізика”, 2004

Просторова форма КССК Іа-б близька до КССК ІІа-ІІб. Різниця полягає у тому, що КССК Іа-б характеризується менш різким зменшенням товщини поблизу бортів прогину та витриманими товщинами комплексу у приосьовій частині.

Останнім СЛП, що виділяється в межах Індоло-Кубанського прогину,, є СЛП I-КТ. В підошві поверху просліджується інтенсивне, багатофазове відбиття (горизонт Іа ( $N_1^1$  mk покр.)), яке впевнено розпізнається на часових розрізах (Рис. 2.23 а, б, в). Це пов'язано з тим, що горизонт Іа стратиграфічно приурочений до підошви карбонатно-теригенної товщі тортону, яка залягає на теригенних (глинистих) відкладах батисифону, тобто є “жорсткою” сейсмогеологічною границею [79].

Для СПЛ I-КТ характерна наявність великої кількості горизонтів відбиття, якими він поділяється на ряд КССК.

Підошвою КССК Іm під – Іа є горизонт відбиття Іа ( $N_1^1$  mk покр.), а покрівлею горизонт І ( $N_1^3$  m під.), який приурочений до підошви меотичних відкладів. Комплекс має обмежене розповсюдження по площі. Його зафіковано в межах центрального грабену прогину (північна частина Керченського півострова та акваторія Азовського моря). В інших частинах відклади, які входять до складу КССК, розмито.

В межах комплексу фіксується відносно проста хвильова картина з чергуванням субпаралельних відбиттів різної протяжності і амплітуд та зон прозорого рисунка сейсмічного запису (Рис. 2.24).

Аналіз кернового матеріалу та даних ГДС показав, що рисунок сейсмічного запису, який характеризується протяжними і високоамплітудними відбиттями (високоамплітудна сейсмофація), відповідає перешаруванню пластів глин, пісковиків і вапняків невеликої (2-3 м) товщини (св. Мало-Бабчикська 1) (Рис. 2.24 г). Низькоамплітудна сейсмофація (чергування субпаралельних малоамплітудних відбиттів і зон прозорого рисунка) відповідає відкладам переважно глинистого складу (св. Багеровська 2, Сергіївська 1) [101].

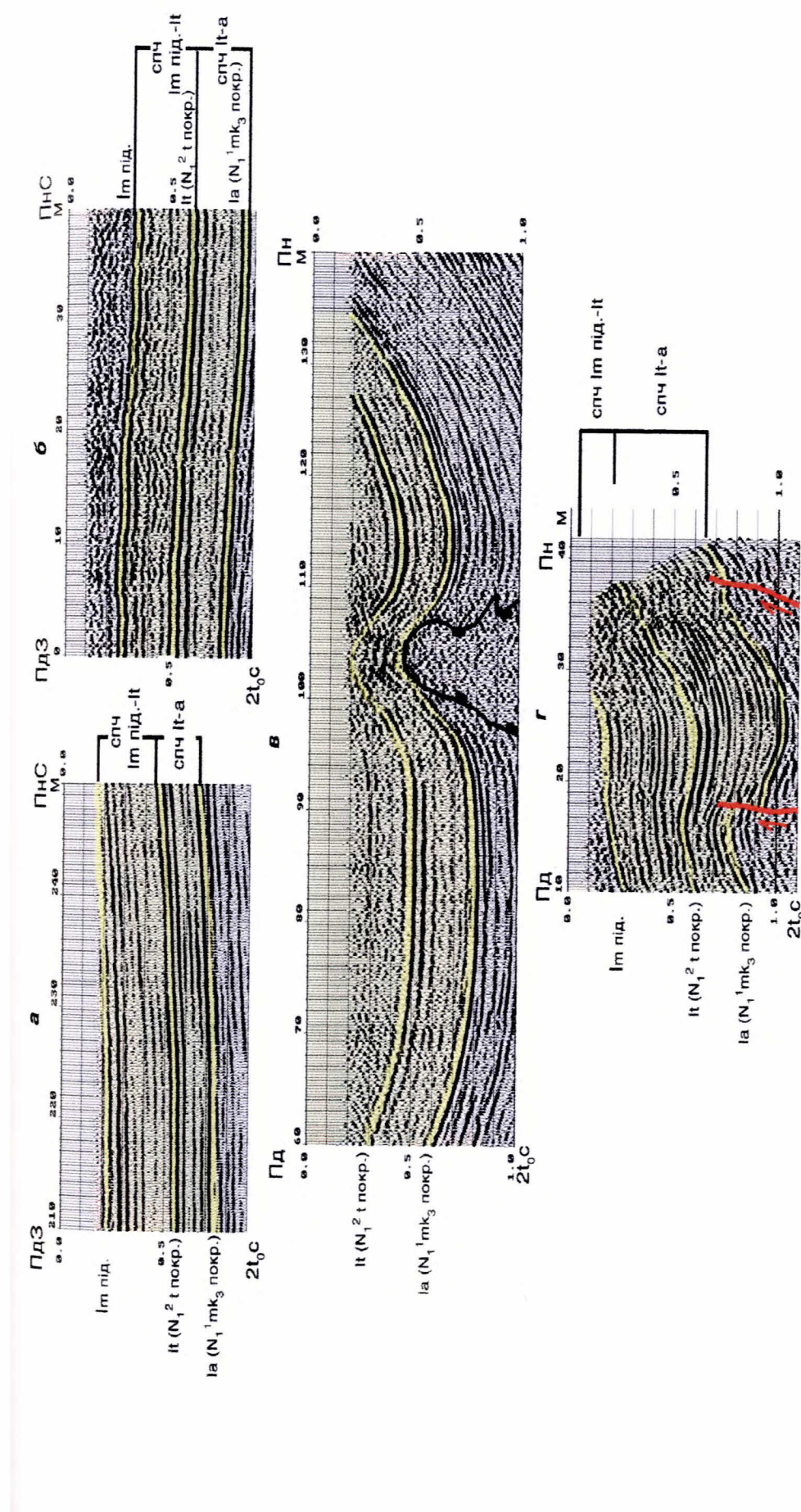


Рис. 2.24. Типи рисунків сейсмічного запису в межах СЛП I-КТ (КССК Im під. – la).  
Склад С. В. Кольцов та А. Й. Івановський з використанням матеріалів КГФЕ “Кримгеофізика”, 2004

Над КССК Im під – Ia виділяється КССК Im покр – Im під. До покрівлі та підошви КССК приурочені відносно високоамплітудні, інтенсивні горизонти відбиття I ( $N_1^3$  m покр.) та I( $N_1^3$  m під.). Вони однозначно виділяються на часових розрізах за зміною хвильової картини та припиненням прослідження окремих площадок відбиття на цих горизонтах за різними схемами (“підошовне налягання”, “ерозійний зріз”) (Рис. 2.25).

Вище по розрізу фіксується КССК Io-Im покр: до його складу входять відклади пліоцену, які розвинуті лише в межах приосьової частини прогину та окремих синкліналях. Із-за невеликої глибини залягання комплексу, великого фону приповерхневих хвиль-завад про характер хвильових картин, зафікованих у межах КССК, судити важко.

В цілому, СЛП I-КТ характеризується витриманими товщинами та покривно-просторовою формою, що є типовим для комплексів порід, які утворилися на завершальних (синеклізних) етапах розвитку [100] в умовах мілководного та глибоководного шельфу (КССК Im під.- Ia) та мілководдя (КССК Im покр.- Im під; КССК Io- Im покр).

Окрім сейсмостратиграфічних характеристик СЛП та КССК було вперше узагальнено дані про кількісні та якісні параметри сейсмічних відбиттів (частота, неперервність, амплітуда). Дані про кількісні оцінки амплітуд та частот автором зібрано при вивчені виробничих звітів у фондах КГФЕ “Кримгеофізика” та ДП “Кримгеологія” [105-113].

Заради зручності використання сейсмостратиграфічну модель побудовано у вигляді таблиці, з відокремленням по окремих складових регіону (Таблиця 2.2), що дозволяє більш ефективно використовувати ці дані, як при вивченні окремих площ і структур, так і при региональних дослідженнях.

Аналіз сейсмостратиграфічної моделі СЛП дозволить встановити деякі закономірності у розподілі характеристик.

В покрівлях і підошвах СЛП зафіковано незгідні граници різного типу.

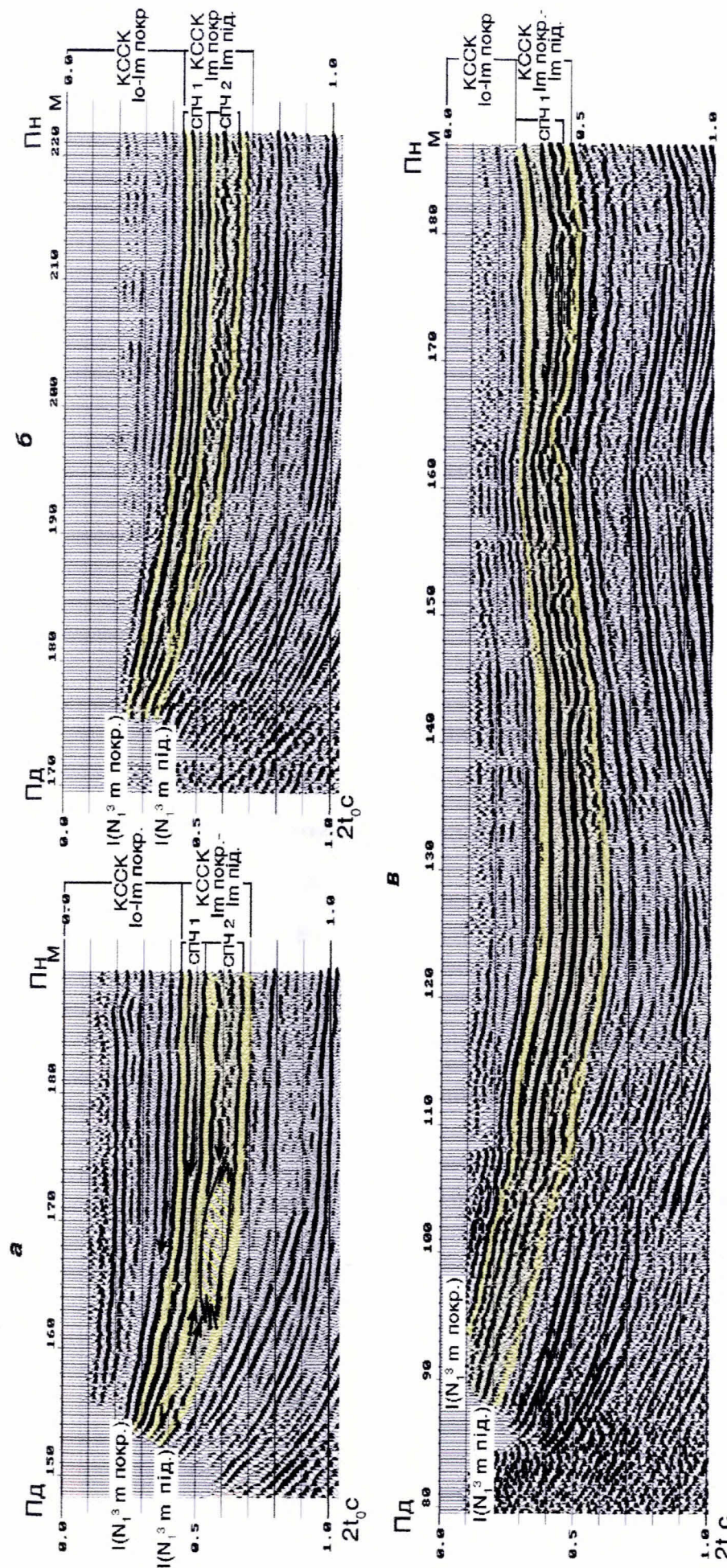


Рис. 2.25. Типи рисунків сейсмічного запису в межах СЛП Г-КТ. (КССК Iм покр. - Iм під. та I<sub>0</sub> - Iм покр.)

Слов'я С. В. Кольцов та А. Й. Івановський з використанням матеріалів КГФЕ “Кримгеофізика”, 2004

**СЕЙСМОСТРАТИГРАФІЧНА МОДЕЛЬ СТРУКТУРНО-ЛІТОЛОГІЧНИХ  
ПОВЕРХІВ (СЛП) ПІВДЕННОГО РЕГІОНУ УКРАЇНИ**

Таблиця 2.2

№ п/п	Сейсмо- формаційна одиниця	Фаціа- льний склад	Геомет- рична форма фаціа- льної одиниці	Границі горизонти відбиття		Характер контакту з іншими сейсмоформа- ційними одиницями	Основний тип рисунка сейсмічного запису	Якісні параметри сейсмічних відбиттів			Примітки
				Підо- шва	Пок- рівля			Ампліту- да (у.о)	Непе- рерв- ність	Час- тота	
1	2	3	4	5	6	7	8	9	10	11	12

**ПРИДОБРУДЖИНСЬКИЙ ПРОГІН**

1	<b>СЛП I-ТК</b>	Фації зовніш- нього та внутрі- шнього шельфу	Покрив	Vo (J <sub>3</sub> покр.)	Пове- рхня землі	Незгідне у підошві	Відбиття середньої та малої інтенсивності, окремі інтенсивні та зони “прозорого” рисунка	Високі та малі 400-1100	Від про- тяжних до непро- тяжних	Від низької до високої 18-35	
2.22	<b>СЛП V-КТ</b>	Лагунні та конти- ненталь- ні фації та фації внутрі- шнього шельфу	Покрив	Vg (J <sub>3</sub> під. кп)	Vo (J <sub>3</sub> покр.)	Незгідне у підошві та покрівлі	Різка зміна рисунка, в межах окремих КССК і по латералі	Від низь- ких до високих 300-1100	Пере- важно протя- жні	Різнома- нітна 16-30	Виділення окремих КССК можливе в межах Панда- лійського прогину, загаль- не скорочення товщини СЛП в сторону Південно- української монокліналі та Білоліського блока

Продовження таблиці 2.2

1	2	3	4	5	6	7	8	9	10	11	12
2.1	KCCSK Vo-a	МілкоВодні та континентальні покриви, або заповнення	Імовірно (J <sub>3</sub> tt-km)	V <sub>a</sub> покр.)	V <sub>o</sub> (J <sub>3</sub> )	Згідне у підошві, зріз у покрівлі	Чергування малоінтенсивних відбиттів з зонами “прозорого” рисунка	Малі та середні	Непротяжні	Низька 16-22	
2.2	KCCSK Va-б	Лагунні та мілководні фації	Покрив	V <sub>b</sub> (J <sub>3</sub> tt-km)	V <sub>a</sub> (J <sub>3</sub> tt-km)	Налягання у підошві і зріз у покрівлі	“Прозорий” та “напівпрозорий” рисунок, поблизу зон тектонічних порушень – “бугрристий”	Низькі та дуже низькі 300-500	Непротяжні	Висока та середня 22-35	Виділяються лише у Придунайській частині
2.3	KCCSK V <sub>b</sub> -в	Мілководні	Заповнення	V <sub>b</sub> (J <sub>3</sub> покр.кп)	V <sub>b</sub> (J <sub>3</sub> tt-km)	Згідне у підошві та покрівлі	Чергування малоінтенсивних відбиттів з зонами “прозорого рисунка” на окремих площах високоамплітудна сейсмофакція	Від дуже низьких до високих 300-1100	Від непротяжних від витриманих	Від високої до низької 20-35	
2.4	KCCSK V <sub>b</sub> -г	Фації карбонатного шельфу	Покрив	V <sub>g</sub> (J <sub>3</sub> під.кп)	V <sub>b</sub> (J <sub>3</sub> покр. кп)	Згідне у підошві та незгідне у покрівлі	“Хаотичний” з окремими відбиттями та зонами “прозорого” рисунка	Від високих до низьких 500-1000	Від непротяжних до низьких та умовно протяжних	Низька та середня 18-24	Загальне скорочення товщини СЛП в сторону Південноукраїнської монокліналі та Білоліського блока.

Продовження таблиці 2.2

1	2	3	4	5	6	7	8	9	10	11	12
3	<b>СІІІ VI-T</b>	Морські переважно зовнішнього шельфу та материкового схилу, мілководні	Покрив	VIb (J <sub>2</sub> під.)	Vг (J <sub>3</sub> під.кп)	Незгідне у підошві, зріз у покрівлі	Чергування слабо та середньоінтенсивних відбиттів з зонами "прозорого" рисунка	Низькі, рідко середні 400-700	Непротяжні 17-25	Перемінна по площі	Виділення окремих КССК можливе в межах Пандаклійського прогину
3.1	KССК Vr-IVa	Мілководні (латераль та підводний береговий схил)	—/—	VIa (J <sub>2bt</sub> покр.)	Vг (J <sub>3</sub> під.кп)	Зріз у підошві, згідне у покрівлі	"Прозорий" рисунок з одиничними відбиттями у північній частині Пандаклійського прогину	Низькі 400-500	Непротяжні та протяжні 17-20	Середня	
3.2	KССК VIa-б	Морські переважно зовнішнього шельфу та материкового схилу	Вірогідно заповнення	VIб (J <sub>2 b</sub> покр.)	VIa (J <sub>2 bt</sub> покр.)	Згідне у підошві та зріз у покрівлі	Чергування слабо та середньоінтенсивних відбиттів	Низькі та середні 400-700	Непротяжні 17-25	Збільшення частоти	

Продовження таблиці 2.2

1	2	3	4	5	6	7	8	9	10	11	12
3.3	KCCSK VIб-в	—//—	—//—	VIb (J <sub>2</sub> під.)	VIb (J <sub>2</sub> b покр.)	Незгідна у підошві, згідна у покрівлі	Чергування слабо- інтенсивних відбиттів з зонами “прозорого” та “бугрристого” рисунків.	Низькі 400-500	Непро- тяжні	Перемінна, переважно низька 17-20	
4	<b>СЛП VII-КТ</b>	Морські фації заповнен- ня (шель- фові)	Форми запов- нення, клин на бортах проги- нів	VII (Тпід.)	VIb (J <sub>2</sub> під.)	Зріз у підошві та покрівлі	Чергування протяжних, високо і середньоінтенсив- них відбиттів з непротяжними. В межах Каменського (Татарбунарського) прогину переважно непротяжні відбиття та зони “прозорого” рисунка	Високі та середні 700-1000	Від протяж- них до перерив- -частих	Змінна, на окремих ділянках підвищена 16-25	Збережений у крупному прогині, до бортів різке скорочення товщини
5	<b>СЛП VIII-Т</b>	Лагунні мілко водні та немор- ські	Віро- гідно покрив	VIII (C <sub>1</sub> V <sub>1</sub> покр.)	VII (Тпід.)	Незгідне у підошві та покрівлі	Чергування субгоризонтальних малоінтенсивних відбиттів з зонами “прозорого” і “горбистого” рисунків	Низькі та середні 400-600	Пере- ривчасті	Змінна 18-28	Збережений у крупному прогині, до бортів різке скорочення товщини

Продовження таблиці 2.2

1	2	3	4	5	6	7	8	9	10	11	12
6	<b>СЛП IX-СК</b> Мілководно-морські та лагунні фації	Покрив	ІХв (D <sub>2</sub> під.)	VIII (C <sub>1</sub> V <sub>1</sub> покр.)	Зріз у підошві та прилягання у покрівлі	Чергування субпаралельних окремих інтенсивних відбиттів з непротяжними та зонами “прозорого рисунка”.	Від високих до низьких 400-1000	Від неперевних до переривчастих	Низька та 18-24		
6.1	<b>КССК ІХб-в</b> Мілководно-морські та лагунні	Покрив	ІХв (D <sub>2</sub> під.)	ІХб (Д <sub>3</sub> під.)	Зріз у підошві та згідне у покрівлі	Чергування непротяжних середньо та низькоінтенсивних відбиттів з окремими протяжними.	Низькі та середні	Переривчасті, рідко неперевні	Низька		
6.2	<b>КССК VIII-ІХб</b> Лагунні фації	Покрив	ІХб (D <sub>3</sub> під.)	VIII (C <sub>1</sub> V <sub>1</sub> покр.)	Згідне у підошві, прилягання у покрівлі	Збільшення інтенсивності та протяжності відбиттів по зрівнянню з КССК ІХб-в, зони “прозорого” рисунка	Від середніх до високих 800-1000	Неперевні та помірно неперевні	Середня та низька 18-24	Зустрічаються обширні зони інтерференції	

Продовження таблиці 2.2

1	2	3	4	5	6	7	8	9	10	11	12
7	<b>СЛП Х-КТ</b>	Зовніш- нього та внутріш- нього шельфу, мілко- водні  (Південно- українсь- ка монок- ліналь)	Покрив- но- обліка- юча (Біолі ський блок)  (Південно- українсь- ка монок- ліналь)	Xд (Smід.)	IXв (Д <sub>2</sub> під.)	Згідне у підошві, зріз у покрівлі	Чергування непротяжних малоамплітудних відбиттів з зонами “прозорого” та “горбистого” рисунка	Від низь- ких до дуже низь- ких 300-500	Від непро- тяжних до помірно протяж- них	Змінна 20-25	Визначення параметрів лише в межах Південно- української монокліналі
7.1	<b>КССК Хв-в</b>	Морські мілко- водні та внутріш- нього шельфу	Клин	Xв (Sk під.)	Гранич- ний для СЛП	Згідне у підошві, зріз у покрівлі	На відміну від КССК Хв-д зони “прозорого рисунка” менші. У нижньодевонських інтервалах зони “горбистого” запису	Низькі 400-500	Непро- тяжні та помірно протяж- ні	Змінна 20-25	
7.2	<b>КССК Хв-д</b>	Шельфові морські переваж- но зов нішнього шельфу	Покрив або клин	Xд (Smід.)	Xв (Sk під.)	Згідне у підошві та покрівлі	Чергування непротяжних відбиттів з великими зонами “прозорого” рисунка	Дуже низькі	Непро- тяжні	Змінна	Виділення в межах Біоліського блока

Продовження таблиці 2.2

1	2	3	4	5	6	7	8	9	10	11	12
8	<b>СЛП ХІ-Т</b>	Шельфові морські і теригенні осадки, фациї зовнішнього шельфу	Покрив	XІг (PR <sub>3</sub> під.)	Хд (Spід.) VII (Tpід.) VIb (J <sub>2</sub> під.)	Пологе налягання у підошві. Прилягання, зріз у покрівлі та згідне при наявності відкладів силуру	Чергування субпаралельних площацок відбиття (низькоамплітудна сейсмофація)	Від дуже низьких до низьких 300-500	Перери-вчасті	Змінна 20-25	Значення амплітуд та частот взято з одного визначення

### ПІВНІЧНОКРИМСЬКИЙ ПРОГИН

1	<b>СЛП І-ТК</b>	Мілководні	Імовірно покрив	Ia (N <sub>1</sub> <sup>2</sup> під.)	Поверхня землі	Незгідне у підошві	Високий фон хвиль-завад, тип рисунка не розпізнається	Неоднозначні характеристики			
2	<b>СЛП ІІ-Т</b>	Фациї зовнішнього та внутрішнього шельфу	Покрив клин на бортах	ІІа (P <sub>3mk</sub> під.)	Ia (N <sub>1</sub> <sup>2</sup> під.)	Налягання у підошві, незгідне у покрівлі	Чергування інтенсивних відбиттів з менш інтенсивними та зонами інтерференційного запису і безсистемного припинення у західній частині “прозорий” рисунок	Від високих до низьких 400-1300	Змінної протяжності	Змінна 22-28	

Продовження таблиці 2.2

1	2	3	4	5	6	7	8	9	10	11	12
3	<b>СЛП ІІІ-К</b>	Мілкo- водного шельфу	Покрив	IVa (K <sub>1</sub> покр.)	ІІа (Р <sub>3mk</sub> під.)	Зріз у підошві, налягання та зріз у покрівлі	Чергування високоінтенсивних відбиттів з зонами “прозорого” рисунка. В межах східної центріклиналі “прозорий” рисунок	Від висо- ких до дуже низь- ких 500-2900	Від витри- маних до непро- тяжних	Низька та середня 20-24	
3.1	КССК ІІа-ІІа	Мілково- дного шельфу	Покрив	ІІа (Р <sub>1</sub> <sup>1</sup> під.)	ІІа (Р <sub>3mk</sub> під.)	Незгідне у покрівлі і підошві (зріз та налягання)	Інтенсивні субпара- лельні відбиття, рідкі зони інтерференції та припинення просліджування відбиттів.	Високі 1000-2900	Протяж- ні	Низька 20-22	Збільшення товщини у межах локальних підняттів
3.2	КССК ІІа-а <sub>3</sub>	--//--//--	Покрив	ІІа <sub>3</sub> (K <sub>2km</sub> під.)	ІІа (Р <sub>1</sub> <sup>1</sup> під.)	Незгідне у покрівлі, згідне у підошві	Інтенсивні відбиття у підошві та покрівлі, «напівпрозорий» рисунок в середині комплексу	Низькі 500-700	Не- протяж- ні	Низька 20-22	Розповсюдження регіональне, товщини стабільні
3.3	КССК ІІа <sub>3</sub> -ІІа	--//--//--	Покрив	ІІа (K <sub>1</sub> покр.)	ІІа <sub>3</sub> (K <sub>2km</sub> під.)	Зріз у підошві, згідне у покрівлі	Субпаралельні інтенсивні відбиття, рідкі зони “прозорого” рисунка. В межах східної центріклиналі “прозорий” рисунок	Від високих до дуже низьких 500-1700	Протяж- ні	Підвищеної частоти 22-24	Розповсюджений у межах рифтогенного прогину. Різке скорочення товщини на бортах

Продовження таблиці 2.2

1	2	3	4	5	6	7	8	9	10	11	12
4	<b>СЛП IV-BT</b>	Контине- нтальні та морські	Запов- нення	IVб <sub>2</sub> (К <sub>1</sub> під.)	IVa (К <sub>1</sub> покр.)	Зріз та налягання у підошві, зріз у покрівлі	Чергування непротяжних, зниженої інтенсивності відбиттів з високоінтенсивними і протяжними.	Від низь- ких до висо- ких 100-900	Від непро- тяжних до витри- маніх по площі	Змінна 18-32	Розділення на окремі КССК можливе в межах центрального грабену та бортів прогину
4.1	<b>KCCSK IV а-б<sub>1</sub></b>	Морські, переваж- но глинисті	Запов- нення	IVб <sub>1</sub> (К <sub>1</sub> а-пс покр.)	IVa (К <sub>1</sub> покр.)	Налягання у підошві, зріз у покрівлі	Чергування слабких непротяжних відбиттів з високоінтенсивними протяжними. Збільшення протяжності поблизу бортових скідів та на бортах	Від низь- ких до висо- ких 100-900	Пере- важно непро- тяжні	Змінна 18-32	Різке скорочення товщини у межах бортів. Однакові значення параметрів в межах Центрального грабену та бортів
4.2	<b>KCCSK IV б<sub>1</sub>-б<sub>2</sub></b>	Континен- тальні та мілковод- ні	Покрив	IVб <sub>2</sub> (К <sub>1</sub> під.)	IVб <sub>1</sub> (К <sub>1</sub> а-пс покр.)	Зріз та налягання у підошві, налягання у покрівлі	Високоінтенсивні субпаралельні відбиття. Відмічаються окремі припинення прослідкування.	Високі 700-900	Протяж- ні	Низька 18-22	Стабільні товщини в межах всього прогину
5	<b>СЛП VI-T</b>	Шельфові морські	Умовно покрив	VI (І <sub>2</sub> під?)	IVб <sub>2</sub> (К <sub>1</sub> під.)	Налягання у підошві та зріз у покрівлі	Непротяжні відбиття та зони напівпрозорого рисунка	Низькі	Непро- тяжні	Низька та середня	Визначення немає

Продовження таблиці 2.2

1	2	3	4	5	6	7	8	9	10	11	12
<b>ІНДОЛО-КУБАНСЬКИЙ ПРОГИН</b>											
1	<b>СЛП I-КТ</b>	Мілкo- водного та глибоко- водного шельфу	Покрив	Ia (N <sub>1</sub> <sup>1</sup> mk <sub>3</sub> покр.)	Поверх- ня землі	Згідне у підошві	Низькоамплітудні сейсмофакції, зони “прозорого” рисунка.  Збільшення інтенсивності відбиттів поблизу підошви та в межах КССК (Im покр.-Im під.)	Від низь- ких до висо- ких	Про- тяжні	Перемінна <u>24-40</u> 16-22	У чисельнику значення у нормальному заляганні, в зnamеннику в зоні діапірів
1.1	KССК I <sub>0</sub> -m покр.	Мілкo- водні	Лінзо- видна	I (N <sub>1</sub> <sup>3</sup> m покр.)	Пове- рхня землі	Незгідне у підошві	Високий фон хвиль- завад	Неодноз начні характери стики			
1.2	KССК Im покр.- Im під.	Мілкo- водні	Лінзо- видна	I (N <sub>1</sub> <sup>3</sup> m під.)	I (N <sub>1</sub> <sup>3</sup> m покр.)	Незгідне у підошві та покрівлі	Субпаралельні витримані відбиття.  В низах бугристі сейсмофакції	Високі	Витри- мані	Висока	
2	<b>СЛП II-T</b>	Фації неритової області, континенталь- ного схилу та шельфу	Форми запов- нення та покрову	Іа (P <sub>3</sub> mk під.)	Ia (N <sub>1</sub> <sup>1</sup> mk <sub>3</sub> покр.)	Налягання у підошві, згідне у покрівлі	Низькоамплітудні сейсмофакції з пачкою інтенсивних відбиттів у підошві.  Збільшення інтенсивності відбиттів та характеру рисунка	Від висо- ких до низь- ких	Від протяж- них до пере- ривчас- тих	Пере- мінна	В зонах розвитку діапірів, хаотичний рисунок

Продовження таблиці 2.2

2	3	4	5	6	7	8	9	10	11	12
KCCSK Ia-б	Шельфові фації	Покрив	Iб (P <sub>3</sub> покр.)	Ia (N <sub>1</sub> <sup>1</sup> mk <sub>3</sub> покр.)	Зріз та налягання у підошві, згідне у покрівлі	У нижній частині (СПЧ Ia <sub>5</sub> -Iб) латеральні зміни низькоамплітудних сейсмофаций на хаотичні. У прогнутих частинах “прозорий” та “напівпрозорий” рисунок. У верхній частині (СПЧ Ia-a <sub>5</sub> ) чергування інтенсивних та малоамплітудних відбиттів.	Низькі	Від протяжних до невитриманих	Перемінна	Відносно витримані товщини по зрівнянню з KCCSK Iб-IIa
KCCSK Iб-IIa	Фації неритової області континентального схилу та шельфу	Покрив	ІІa (P <sub>3</sub> mk під.)	Iб (P <sub>3</sub> покр.)	Налягання у підошві, ерозійний зріз у покрівлі	Непротяжні низькоінтенсивні відбиття, зони “прозорого” та “напівпрозорого” рисунка. У верхній частині (СПЧ Iб-б <sub>1</sub> ) від косошаруватих до субпаралельних інтенсивних.	Високі у підошві та покрівлі,	Від непротяжних до низьких у середині	Перемінна збільшення частот	Збільшення кутів нахилу у зонах порушень діапірів та на бортах

Продовження таблиці 2.2

1	2	3	4	5	6	7	8	9	10	11	12
3	<b>СЛП III-ТК</b>	Мілкo-водного шельфу	Покрив на бортах, клино-подібна форма	IVa (K <sub>1</sub> покр.)	IIa (P <sub>3mk</sub> під.)	Налягання у підошві та зріз покрівлі	Різка зміна у різних КССК	Від високих до низьких <u>200-900</u> 50-200	Від протяжних до непротяжних	Різноманітна <u>20-24</u> 14-20	
3.1	KCCSK IIa-б	—//—	Покрив	IIб (P <sub>2</sub> <sup>3</sup> під.)	IIa (P <sub>3mk</sub> під.)	Згідне у підошві, незгідне (зріз та налягання у покрівлі)	Високоінтенсивні відбиття	Високі	Протяжні	Низька	На рівні КССК параметри не вивчалися
3.2	KCCSK IIб-ІІa	—//—	Покривно-облікаючі	ІІa (P <sub>1</sub> під.)	ІІб (P <sub>2</sub> <sup>3</sup> під.)	Незгідне у підошві, згідне у покрівлі	“Прозорий” рисунок з окремими відбиттями різної інтенсивності	Низькі <u>200-400</u> 50-200	Від протяжних до переривних	Змінна <u>20-24</u> 14-20	Виділяється в межах південного борту
3.3	KCCSK ІІa-ІІa	—//—	Клин	ІІa (K <sub>1</sub> покр.)	ІІa (P <sub>1</sub> під.)	Незгідне у підошві та покрівлі	Інтенсивні відбиття з рідкими зонами “прозорого” рисунка	Високі та середні <u>400-900</u> 50-100	Протяжні	Змінна 20-24	Виділяється в межах південного борту

Продовження таблиці 2.2

1	2	3	4	5	6	7	8	9	10	11	12
4	<b>СЛП IV-T</b>	Глибоково-дного та мілководного шельфу	Імовірно покрив або заповнення	IVб <sub>2</sub> (К <sub>1</sub> під.)	IVa (К <sub>1</sub> покр.)	Незгідне у підошві та покрівлі	Чергування відносно інтенсивних відбиттів з неінтенсивними та зонами “прозорого” рисунка	Від високих до низьких	Протяжні	Низька	
5	<b>СЛП V-TK</b>	Імовірно мілководного шельфу	Імовірно покрив	V (J <sub>2</sub> під.)	IVб <sub>2</sub> (К <sub>1</sub> під.)	Незгідне у покрівлі та підошві	“Напівпрозорий” та “прозорий” рисунки	Дуже низькі	Непротяжні	Низька	Виділяється у західній частині прогину
6	<b>СЛП VI-T</b>		Виділення за даними сейсморозвідки МСГТ неоднозначне								

До них приурочено горизонти відбиття, які мають регіональне розповсюдження і їм на часових розрізах відповідають витримані середньо- та високоінтенсивні відбиття (горизонти IVa (К<sub>1</sub>покр.), IIIa (Рпід.) та ін.).

Горизонти відбиття, що приурочено до границь КССК, які не співпадають з границями СЛП, як правило менш інтенсивні та витримані по площі. Найменшими значеннями амплітуд та частот характеризуються граничні відбиття між КССК, що мають близький фаціальний склад (КССК VIб-в і VIa-б Придобруджинського прогину).

Хвильові картини, зафіксовані в межах окремих СЛП і КССК, не залежать від віку і глибини залягання сейсмостратиграфічних одиниць. На рисунок сейсмічного запису головним чином впливає літолого-мінералогічний склад відкладів, що складають сейсмоформаційну одиницю. СЛП з переважно теригенным складом відкладів характеризуються на часових розрізах як низькоамплітудні сейсмофації. Карбонатним відкладам відповідають інтервали часових розрізів з відносно витриманими по площі відбиттями, або “прозорим” рисунком, який обмежено в покрівлі і підошві інтенсивними відбиттями. Сейсмоформаційні одиниці зі змішаним літологічним складом, як правило, відображаються чергуванням відбиттів різної інтенсивності і амплітуд.

Хвильові картини, які зафіксовані в межах різновікових тектонічних елементів, що мають одну природу, близькі за своїми характеристиками (амплітуда, неперервність, частота відбиттів, кути нахилу і т.д.). В межах одної різновікових елементів, які мають різну природу утворення, ці характеристики суттєво відрізняються. Наприклад СЛП VII-КТ Каменського (Татарбунарського прогину (триас)), СЛП IV-BT Північнокримського прогину (нижня крейда) та СЛП II-T Індоро-Кубанського прогину (олігоцен-нижній міоцен) характеризуються близькими хвильовими картинами. В той же час, в інтервалах верхньої крейди Північнокримського прогину (СЛП III-K) та Придобруджинського прогину (СЛП I-TK), зафіксовано принципово різні хвильові картини.

Тектонічні елементи, які утворилися на конвергентних етапах розвитку, характеризуються складними хвильовими картинами та мінливістю параметрів відбиттів (особливо амплітуд).

Для сейсмоформаційних одиниць, які утворилися на етапах дивергенції (рифтогенні прогини), характерна просторово-геометрична форма заповнення з різким, клиноподібним скороченням товщини на бортах. Покривна або покривно-облікаюча форма типова для літодинамічних комплексів періоду стабілізації.

В межах усіх СЛП півдня України зони крупних тектонічних порушень відображаються зміною хвильових картин і наявністю бугристого або хаотичного рисунка сейсмічного запису. Цей критерій виділення тектонічних порушень нарівні з іншими (розриви відбиттів, вузли дифракції та ін.) можна широко використовувати при інтерпретації сейсморозвідувальних матеріалів.

## ВИСНОВКИ

1. Ефективне використання при сейсмостратиграфічній інтерпретації різних моделей та узагальнене даних вимагає, щоб вони спиралися на принципи сейсмостратиграфічного розчленування розрізу. На теперішній час найбільш зручною для використання є система структурно-літологічних поверхів (СЛП) та квазисинхронних комплексів (КССК), яка розроблена Герасимовим М.Є. Ця система покладена до основи розроблених в дисертаційній роботі моделей та узагальнень.

2. Сейсмостратиграфічна інтерпретація дозволяє вилучати з сейсмічних даних неструктурну інформацію, тобто виділяти осадові формациї єдиного генезису, визначати товщини та умови седиментації комплексів порід, оцінювати глибини палеобасейну, встановлювати палеотектонічні умови, вивчати рельєф поверхонь незгідностей, виявляти палеогеографічні умови та історію розвитку, виділяти геологічні тіла різного генезису та виділяти тектонічні порушення і визначати їх тип.

3. В рамках роботи, вперше, за літературними та фондовими джерелами, проведено детальне вивчення літологічного складу та узагальнено петрофізичні характеристики відкладів осадового чохла півдня України з розподілом за СЛП. Було узагальнено дані про швидкість розповсюдження пружних коливань, щільність, пористість, магнітну сприйнятливість та позірні опори порід та утворень, а також визначено породи, які є колекторами в межах кожного СЛП.

4. За результатами досліджень встановлені закономірності в розподілі та взаємозв'язку між петрофізичними властивостями та науково обґрунтовані рівні основних горизонтів відбиття. До основних закономірностей слід віднести наступне:

- основними причинами збільшення пластових швидкостей є збільшення щільності відкладів і їх літолого-мінералогічний склад;
- вік відкладів не впливає на петрофізичні властивості;
- низькою пористістю відмічаються високошвидкісні відклади;
- на значення позірного опору впливає літологія розрізу;
- найбільш різкі акустичні граници приурочені до границь СЛП;
- ефузивні і вулканогенні утворення, які характеризуються підвищеними значеннями магнітної сприйнятливості, суттєво впливають на спостережене магнітне поле, бо осадочний чохол є практично немагнітним.

5. На базі узагальнених даних про літолого-стратиграфічні та петрофізичні характеристики порід вперше створена геолого-геофізична модель СЛП Південного регіону України.

6. Вперше створено сейсмостратиграфічну модель СЛП Південного регіону, в основу якої покладено наступні дослідження:

- аналіз рисунка сейсмічного запису, який зафіксовано в межах СЛП та КССК;
- визначення просторової форми сейсмостратиграфічних одиниць та граничних горизонтів відбиття;
- вивчення характеру контакту сейсмостратиграфічних одиниць різного рангу;

- визначення фаціального складу СЛП та КССК.

8. Вивчення хвильових картин осадової товщі Південного регіону дозволило встановити умови седиментації, в яких утворилися сейсмостратиграфічні одиниці та встановити їх фаціальний склад, виявити причини латеральних змін рисунка сейсмічного запису. Ці дані є базою для подальших досліджень при виявлені палеогеографічних і палеотектонічних умов, а також історії розвитку регіону.

9. Вивчення горизонтів відбиття, що обмежують сейсмостратиграфічні одиниці, дало можливість встановити типи границь, яким вони відповідають, їх протяжність по площині. Це дозволило оцінити просторову форму СЛП і КССК та рельєф площини незгідностей.

10. В результаті аналізу моделі встановлено деякі закономірності, які притаманні Південному регіону України. Горизонти відбиття, які мають регіональне розповсюдження і приурочені до границь СЛП відносно інтенсивні, в той же час горизонти відбиття, що є граничними між КССК в межах одного СЛП, менш інтенсивні і мають обмежене розповсюдження. Горизонти відбиття, що обмежують КССК з близьким літологічним складом відкладів, характеризуються найменшими значеннями амплітуд та частот. Рисунок сейсмічного запису залежить від літологічного складу відкладів, а не від віку та глибини залягання сейсмостратиграфічних одиниць. Хвильові картини, просторово-геометричні форми подібні у тих СЛП, які утворилися в однакових геодинамічних умовах, а хвильові картини, які зафіксовані в межах зон розвитку глинняних криптодіапірів, близькі до тих, якими характеризуються зони розвитку масивів палеовулканів. Зони бугристого рисунка сейсмічного запису тяготіють до зон крупних тектонічних розривів.

11. Для точного виділення на часових розрізах МСГТ тектонічних порушень, з визначенням їх типу, одного аналізу хвильових картин недостатньо. Необхідні знання про тектонічну будову і геологічну еволюцію регіону та чіткі критерії визначення типу тектонічних порушень на часових розрізах МСГТ.

В розділі 3 наведено дослідження по визначеню сейсмостратиграфічних принципів (критеріїв) визначення типу тектонічного порушення.

## РОЗДІЛ 3

### СЕЙСМОСТРАТИГРАФІЧНІ КРИТЕРІЇ ВИЗНАЧЕННЯ ТИПІВ ТЕКТОНІЧНИХ ПОРУШЕНЬ

#### 3.1 Типові моделі тектонічних порушень

Тектонічні порушення широко розвинуті в межах Південного регіону, простежуються практично у всіх літодинамічних комплексах та характеризуються великим різноманіттям своїх форм.

Найбільш повно вивчено і систематизовано за різними ознаками в рамках структурної геології [114-121].

В загальноприйнятих класифікаціях закладені структурно-морфологічні і структурно-кінематичні параметри. До морфологічних параметрів відносяться: кут падіння поверхні розриву, лінія переміщення близькорозташованих точок, відношення простягання поверхні розриву до напластування і т.д. Згідно кінематичної класифікації виділяються підкиди, скиди, зсуви та насуви. Найбільш докладно ці дислокації і причини їх утворення розглянуті в роботах [114-116].

Згідно цих досліджень до тектонічних порушень, які виникли на дивергентних етапах, слід віднести скиди різних типів ( нормальні, конседиментаційні, постседиментаційні, антитетичні та ін.). До розривів конвергентних етапів відносяться підкиди (січні і поверхтові) та насуви.

Окремо необхідно розглядати гравігенно-тектонічні переміщення, які виникають як на етапах стиснення, так і розтягання. Найбільш складними для вивчення сейсморозвідкою є інверсійні порушення, які виникають в результаті послідовної зміни різних етапів геодинамічної еволюції.

Для утворення **скидів** необхідна наявність тривалого розтягнення по горизонтальній осі. При цьому, як правило, утворюються крупноамплітудні розриви лістричної кінематики [114]. Виположування площини скидача обумовлено як збільшенням з глибиною середньої щільності і зменшенням пластичності гірських порід [114], так і тривалою дією дотичних напруг [120].

Такі умови в осадочному чохлі можуть існувати в зонах крупних розломів і границь тектонічних структур розтягнення [121].

В межах Південного регіону України найбільш часто зустрічаються наступні види скидів:

- конседиментаційні;
- постседиментаційні;
- скиди торошення;
- скиди над вдавленими синкліналями

Типові моделі цих порушень за літературними джерелами наведено на рисунку 3.1-3.4.

Іншим типом тектонічних порушень, які широко розвинуті в Південному регіоні України є підкиди та підкидо-насуви як січні (ремпи), так і поверхтові (флети).

Основною умовою утворення **підкидів, підкидо-насувів** є наявність тангенційного стиснення в горизонтальній площині (тектонічне скорочення) [114]. В зв'язку з цим розвиток цих видів тектонічних порушень відбувається в межах тектонічних елементів, зазнавших стиснення або утворених на дивергентних етапах розвитку [120].

Моделі цих тектонічних порушень наведено на рисунку 3.5-3.6.

**Насув** (шар'яж) представляє собою горизонтальне або слабкопохиле тектонічне порушення, в зоні якого відбулося переміщення маси гірських порід в цілому відносно нижчезалігаючих мас на значну відстань. Для дислокацій цього типу характерна наявність флетової і ремпової складової [114]. Січна складова фіксується в фронтальних частинах насуву або окремих пластинах. В напрямку кореня порушення відбувається виположування площини зміщувача (Рис.3.7).

Одним із видів тектонічних порушень, які широко розвинуті в Південному регіоні України, є **гравігенно-тектонічні зриви** (Рис.3.8). Вони зафіксовані в межах континентального схилу шельфу Чорного моря та на

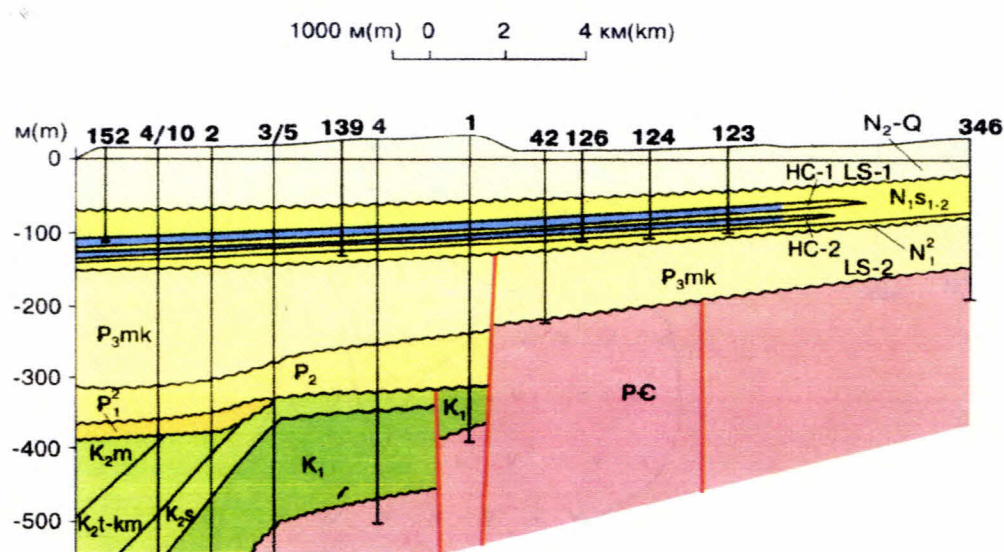


Рис. 3.1. Конседиментаційні скиди північної бортової зони  
Одессько-Донського авлакогену в районі Приазовського  
газового родовища за С.М. Захарчуком, 1986

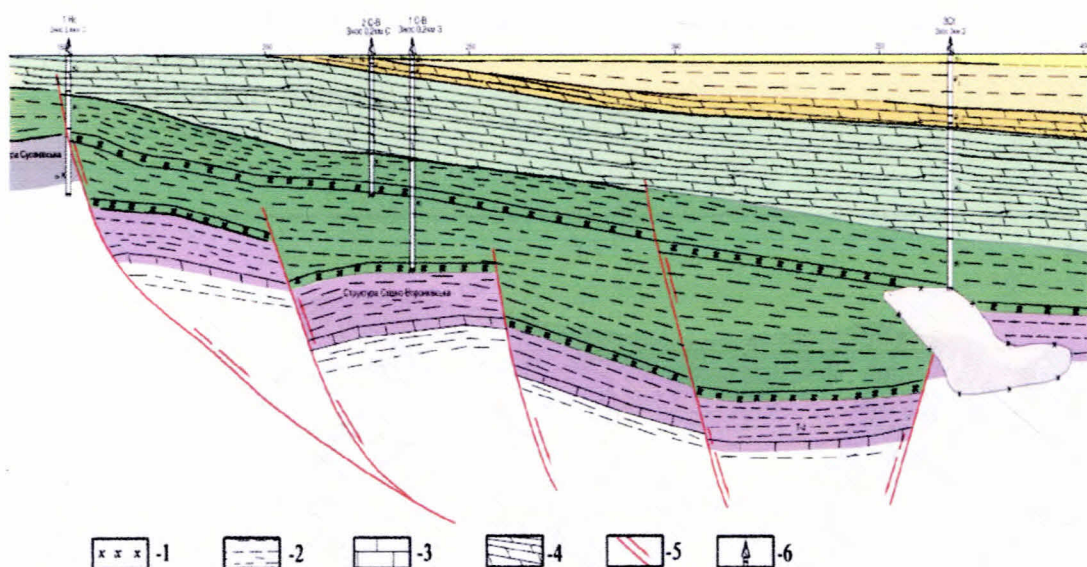


Рис.3.2. Постседиментаційні скиди Північнокримського прогину  
за М.Є. Герасимовим, 2005

- |              |                   |
|--------------|-------------------|
| 1-пісковики; | 4-мергелі;        |
| 2-глини;     | 5-підкідо-насуві; |
| 3-вапняки;   | 6-свердловини     |

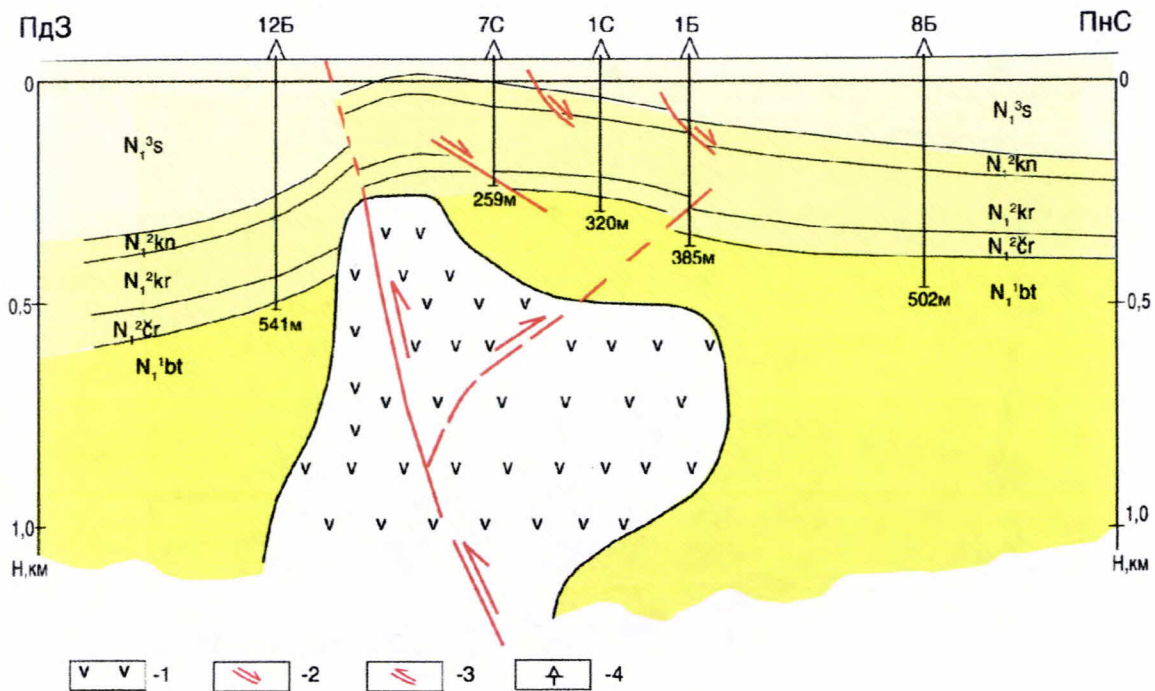


Рис. 3.3. Скиди торошення в склепінні Семенівської структури Індоло-Кубанського прогину за А.Й. Івановським, 2002

- 1- криптодіапір у відкладах майкопської серії олігоцена;
- 2 -пошарові скиди;
- 3-підкідо-насуви;
- 4-свердловини

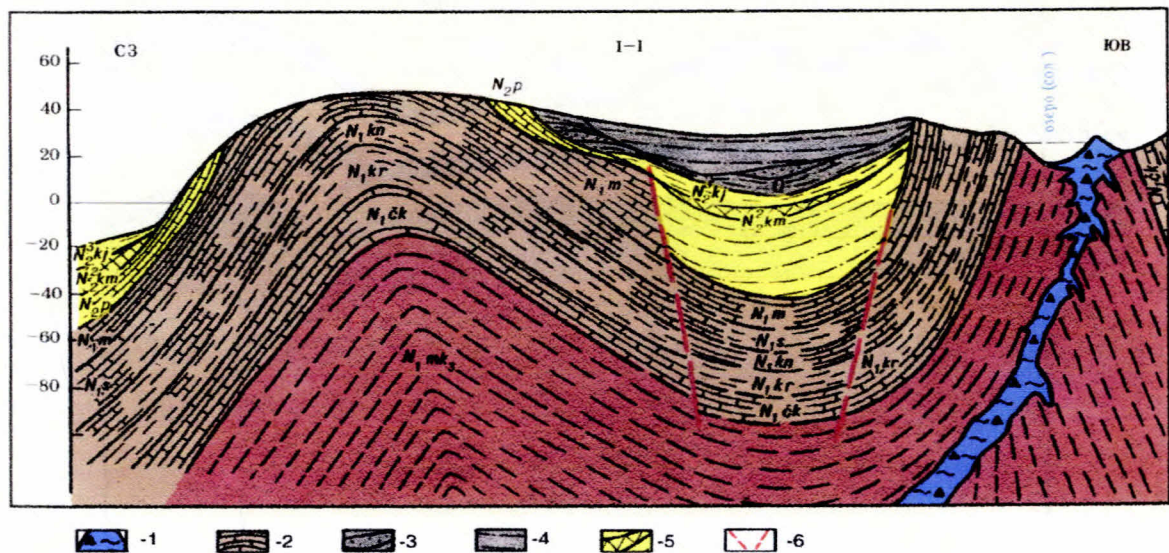


Рис. 3.4. Скиди Каменської вдавленої синкліналі над Насирським діапіром за Є.Ф. Шнюковим, 1986

- |                      |                 |
|----------------------|-----------------|
| 1- сопочні брекчії;  | 4-глини;        |
| 2-карбонатні породи; | 5-залізні руди; |
| 3- піски;            | 6-скиди         |

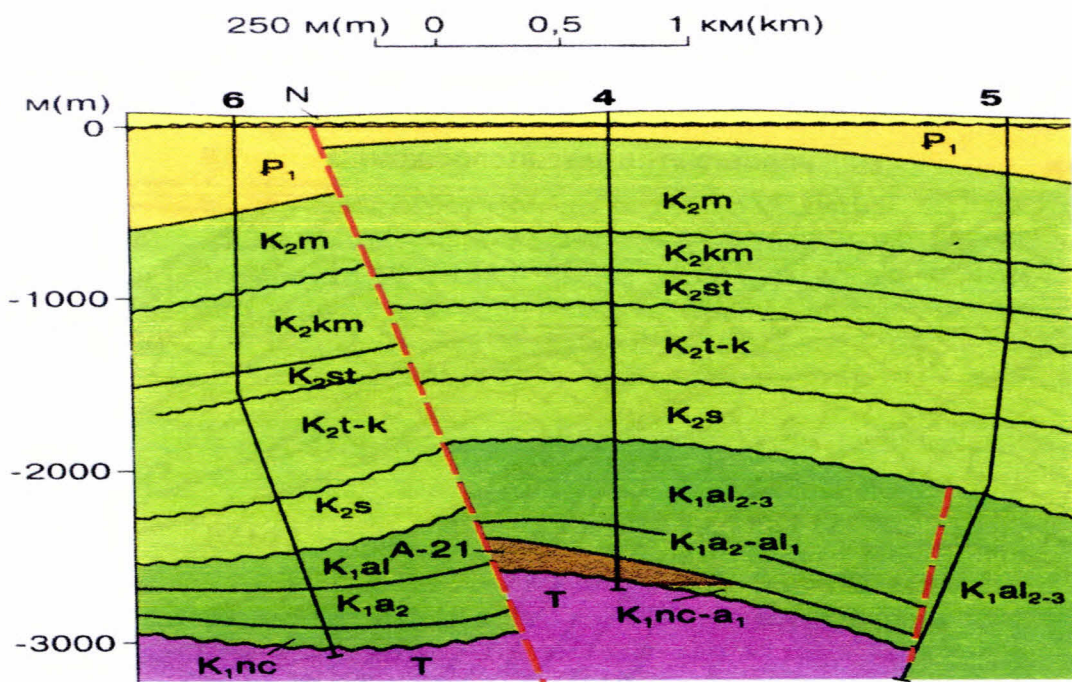


Рис. 3.5. Підкідо-насув в склепінні Октябрської структури (родовища) за А.О. Башкірцевою, 1981

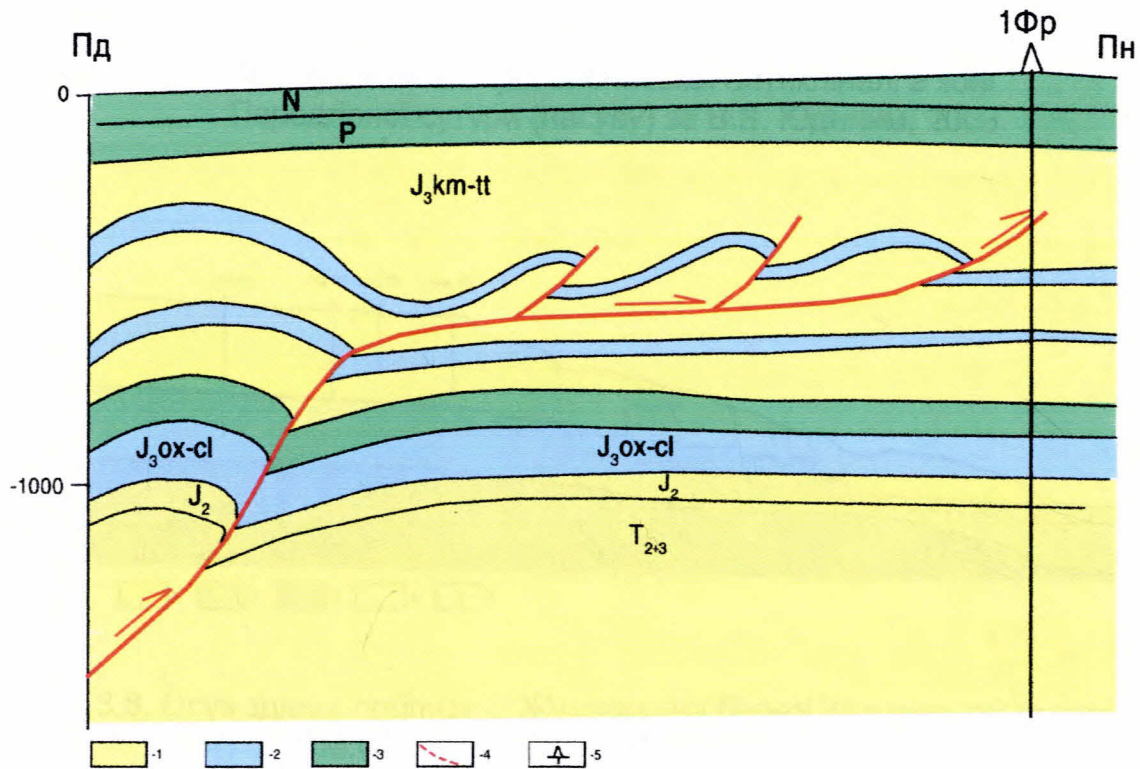


Рис. 3.6. Пошарові підкідо-насуви в зоні Придунайського насуву Придобруджинського прогину за М.Є. Герасимовим, Л.Д. Крамаренко, 2005

1-теригенні;  
2-карбонатні;  
3-теригенно-карбонатні;

4-тектонічне порушення;  
5-свердловина

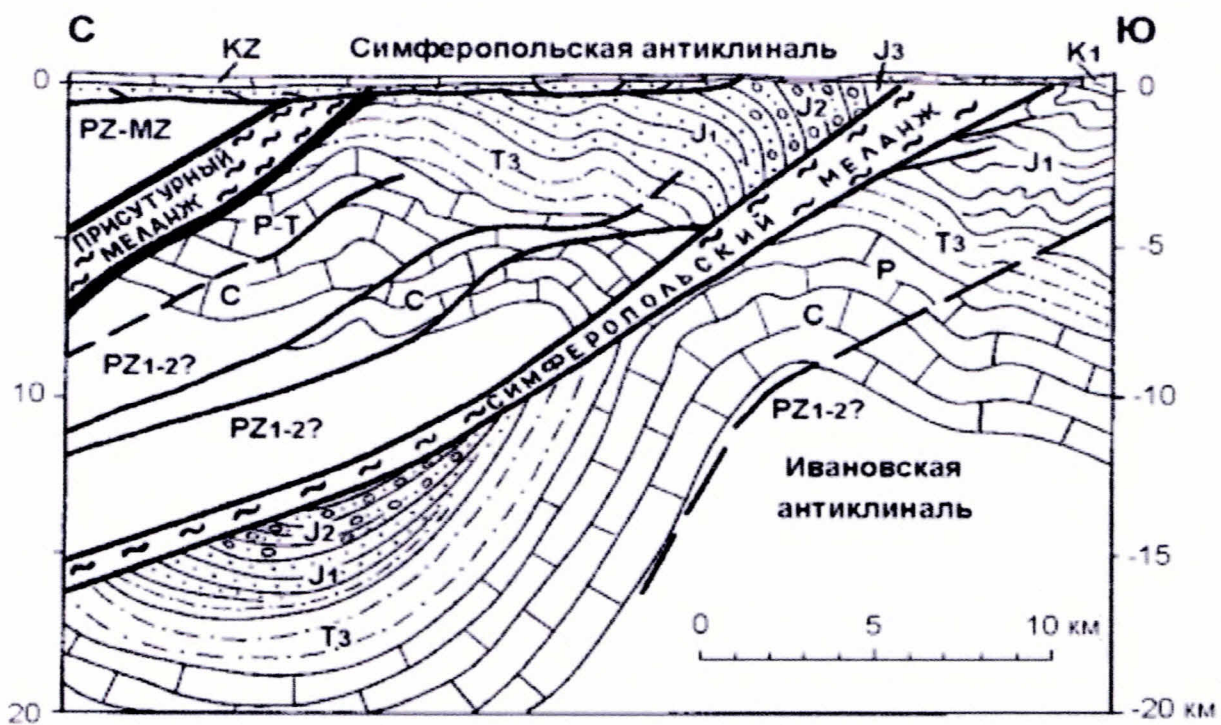


Рис.3.7. Формування Сімферопольської антикліналі в зоні Передгірної сутури (насуву) за В.В. Юдиним, 2003

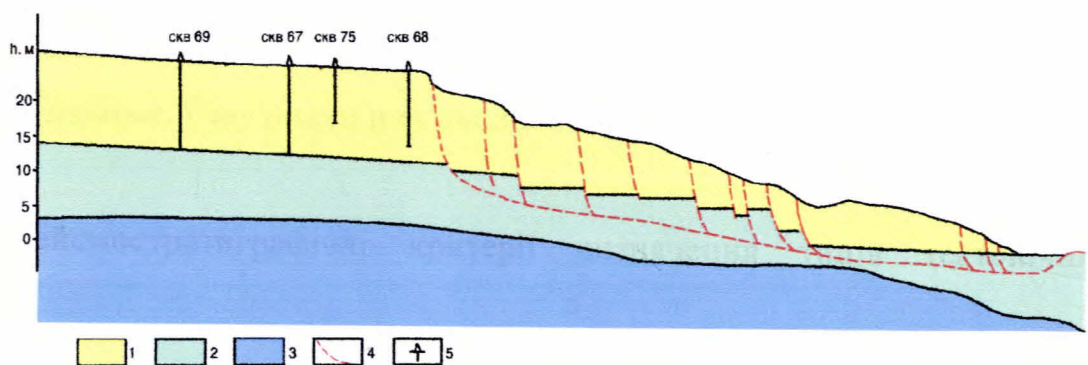


Рис. 3.8. Осув здигу поблизу с. Жуковка (на березі Керченської протоки) за М.М. Горяїновим, А.М. Боголюбовим, 1987

- |                      |                     |
|----------------------|---------------------|
| 1-суглинок;          | 4-границі зміщення; |
| 2-глини тріщинуваті; | 5-свердловини       |
| 3-глини щільні;      |                     |

бортах крупних синклінальних прогинів (Акмонайська, Чегерчинська синкліналі Індоло-Кубанського прогину та ін.).

Гравігенно-тектонічні порушення утворюються в товщах з глинистим або комбінованим (глинисто-теригенним, глинисто-карбонатним) складом. В компетентних породах вони практично не зустрічаються [104]. Для формування гравігенно-тектонічних порушень необхідна наявність глинистих, соленосних, вугленосних, гіпсоносних пластів або прошарків, по яких відбувається сковзання [100]. В зв'язку з послідовним чергуванням дивергентних і конвергентних етапів розвитку більшість тектонічних порушень півдня України мають інверсійний характер. Для цього типу порушень характерні риси як підкидових, так і скидових дислокацій, що суттєво ускладнює їх вивчення.

За літературними джерелами зафіксована 3-4 разова ремобілізація тектонічних рухів в зоні первинного розриву [120]. На рисунку 3.9 наведено модель тектонічних порушень цього типу.

За допомогою моделей тектонічних порушень, принципів, які використовуються при систематизації порушень за різними ознаками в рамках структурної геології та сейсмостратиграфічної моделі СЛП автором вперше було розроблено критерії визначення типів тектонічних порушень за сейсмічними даними. Результати цих досліджень приведено у розділі 3.2.

### 3.2 Сейсмостратиграфічні критерії визначення типів тектонічних порушень

Виділення тектонічних порушень (ТП) за сейсмічними даними є однією з важливих і складних задач інтерпретації. Цьому питанню приділялась велика увага на різних етапах розвитку сейсморозвідки як застосування МЗХ, так і МСГТ [122-127]. На теперішній час розроблені критерії виділення ТП на основі прямих і непрямих ознак, які проявляються в динамічних, кінематичних і швидкісних характеристиках. Ці критерії (різкі розриви та зміщення по-

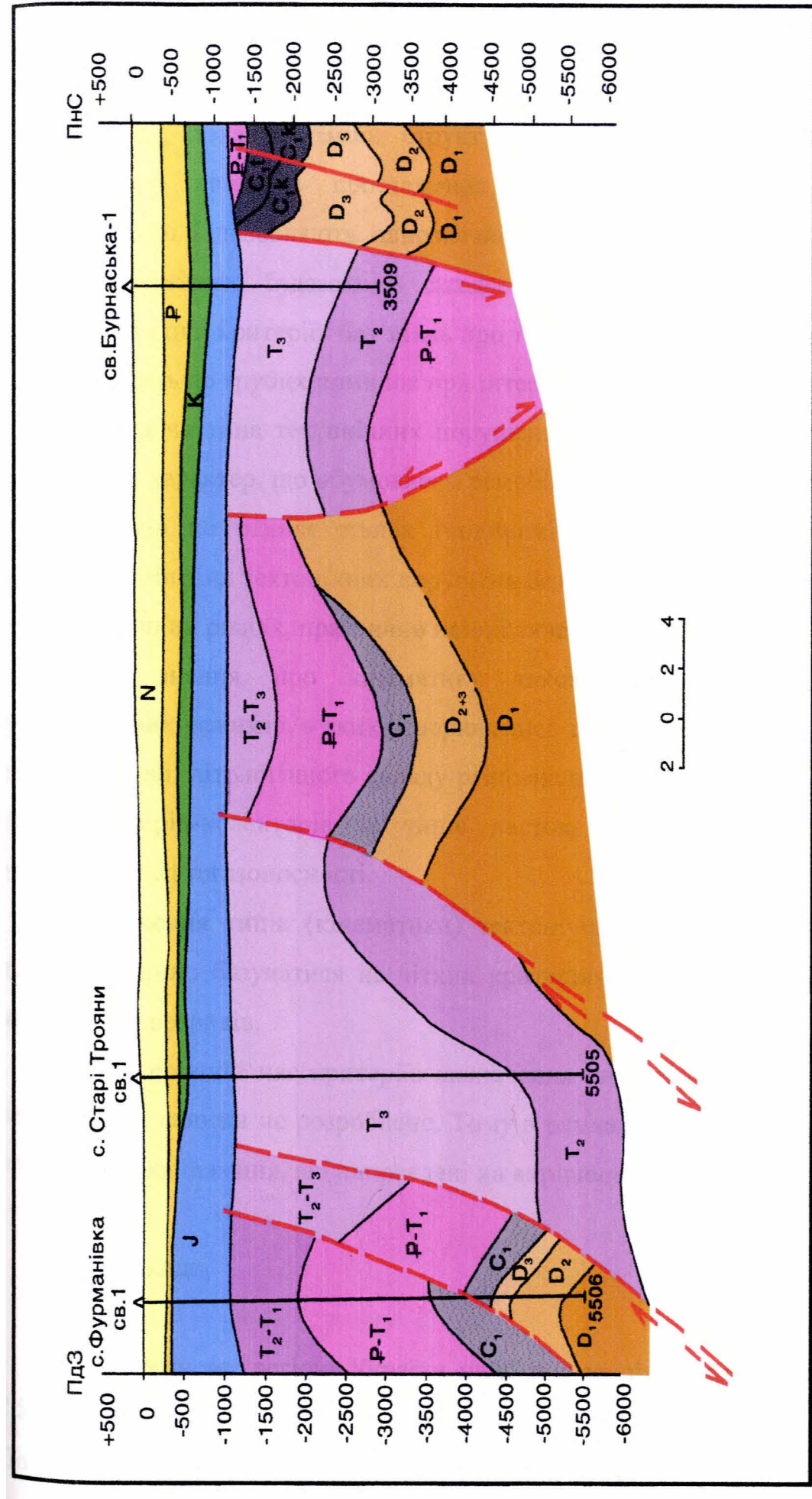


Рис. 3.9. Інверсійні підкідо-насуви в зонах бортових палеоскидів Каменського (Татарбунарського) та Бурнаського рифтогенного прогинів Західного Причорномор'я за Б.М. Полухтовичем, 2001 з доповненнями С.В. Копьцова

горизонтах відбиття, відбиття від площини розриву, наявність хвиль-завад різного типу, локальні зміни структури хвильового поля як зменшення інтенсивності хвиль і простеження, зміна хвильових картин і т.п.) загальновідомі і дозволяють однозначно виділяти ТП в регіонах з відносно простою геологічною будовою. В складнопобудованих геологічних середовищах застосування цих критеріїв без знань про типи кінематики і причини утворення ТП призводить до грубих помилок при інтерпретації.

Більша частина тектонічних порушень Південного регіону України має інверсійний характер, що обумовлено ремобілізацією тектонічних рухів в зонах палеорозривів на різних етапах геодинамічної еволюції. В таких умовах коректне виділення тектонічних порушень без визначення кінематики на різних стратиграфічних рівнях, практично неможливе.

Чіткі знання про кінематику також необхідні при визначенні геодинамічних режимів, в яких утворювались тектонічні елементи. Це важливо при визначенні літологічного складу різновікових комплексів, виявленні рівнів розвитку порід-колекторів та типів пасток, а також при прогнозуванні перспектив нафтогазоносності.

Визначення типів (кінематики) тектонічних порушень за сейсмічними даними повинно базуватися на чітких критеріях, які притаманні для того чи іншого типу розривів.

На теперішній час критеріїв визначення типу тектонічних порушень за сейсмічними даними не розроблено. Тому в рамках дисертації автором вперше проведено дослідження, які направлені на вирішення цього питання.

### 3.2.1 Скиди

В Південному регіоні України найбільш крупні скиди (амплітуди до 2-2,5 км), обмежують рифтогенні прогини, тобто є бортовими (Саратський, Південнобортовий, Причорноморський та ін.) [55]. На рисунку 3.10, 3.11 приведено фрагменти часових розрізів по профілях, перетинаючих

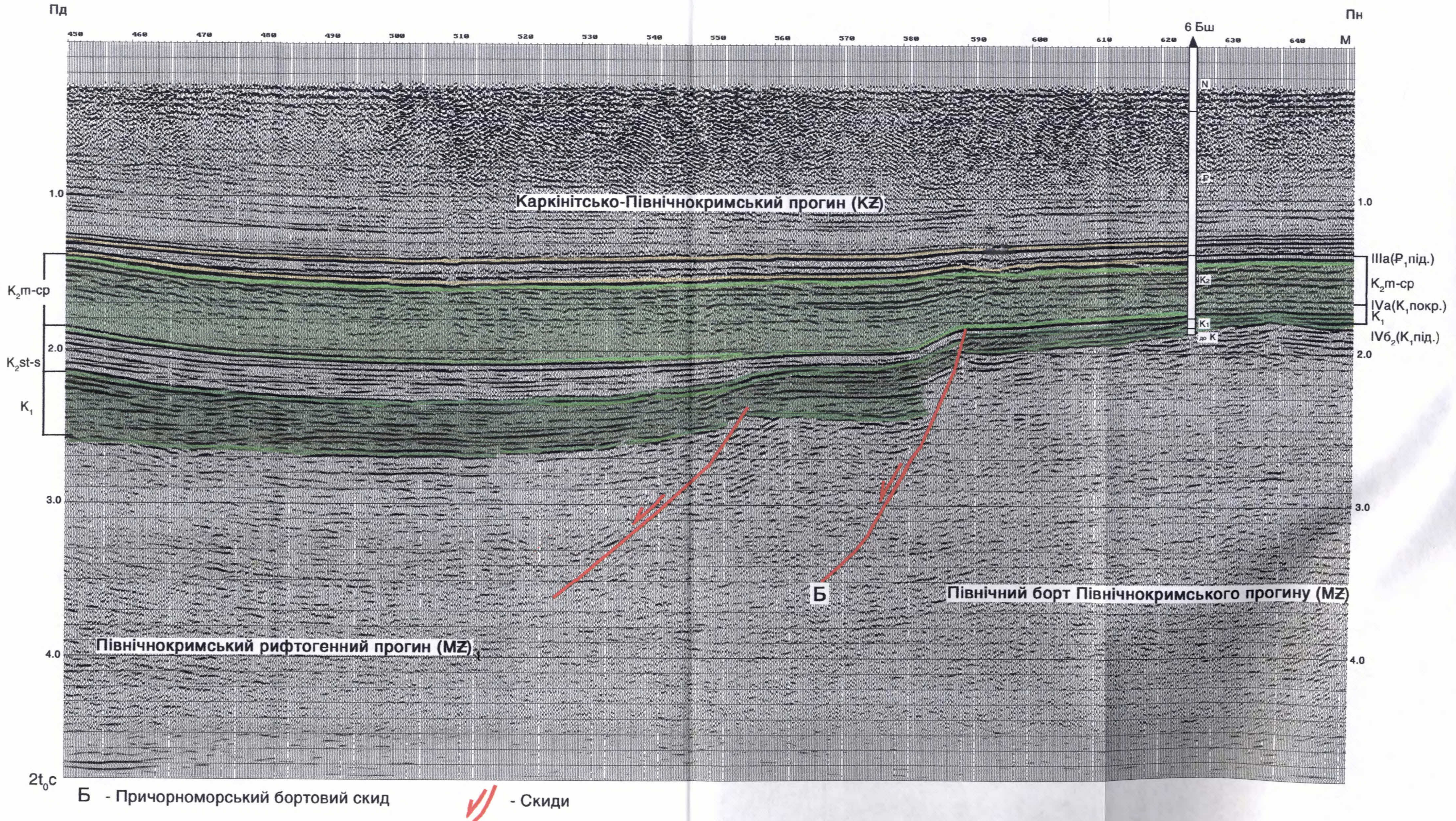


Рис. 3.10. Видлення конседиментаційних лістрічних скидів північного борту Північнокримського рифтогенного прогину.

Склад С. В. Кольцов, М.Є. Герасимов з використанням матеріалів КГФЕ “Кримгеофізика”, 2005

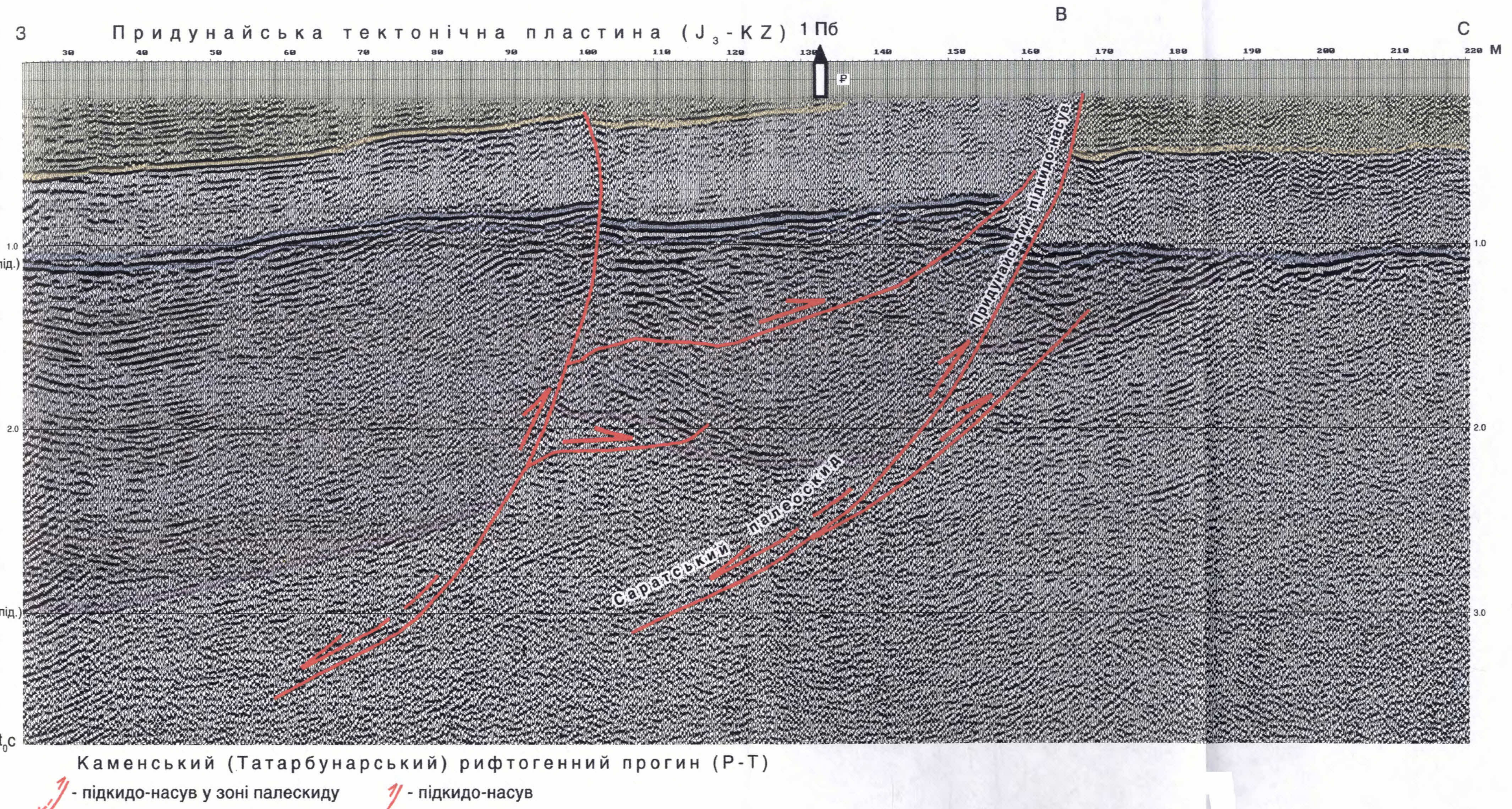


Рис. 3.11. Виділення Придунайського підкіду в зоні Саратського бортового палеоскіду.

Склад С. В. Кольцов, М.Є. Герасимов з використанням матеріалів КГФЕ “Кримгеофізика”, 2004

Причорноморський (бортовий для Північнокримського рифту) і Саратський (бортовий для Каменського (Татарбунарського) рифту) палеоскиди [104].

Зона Причорноморського палеоскиду складається із серії ступінчастих скидів різної амплітуди (Рис. 3.10). В інтервалі пікетів 550-600 можна бачити деякі ознаки скидів. Вздовж слідів розривів відмічено декілька дифрагованих хвиль, які повністю не ліквідовані програмами міграції із-за неортогональності профілю. Важливою ознакою скидів є переривання горизонтів відбиття і зміщення осей синфазності через розрив в південному напрямку. Максимальне вертикальне зміщення по горизонту відбиття IV<sub>a</sub> (К<sub>1</sub>покр.) складає біля 70 мс (110 м), а по підошві крейдових відкладів (горизонт IV<sub>b2</sub>) – біля 200 мс (350 м).

Крім наявності дифрагованих хвиль, площини порушень розпізнаються за наявністю зміщення флексуроподібних вигинів горизонтів відбиття в південному напрямку. Визначною рисою скидів від інших видів порушень є практична відсутність випуклої форми в піднесеному крилі і наявність угнутої в опущеному крилі [104].

Зона Саратського бортового скиду характеризується великими амплітудами переміщень, які складають 500-550 мс (біля 800-900 м) на рівні горизонту відбиття VII (Тпід.) і 100-250 мс (150-330 м) на рівні горизонту VI<sub>b</sub> (J<sub>2</sub>під.) (Рис. 3.11).

При цьому, на рівні підошви тріасових відкладів висяче крило опущено, а на рівні підошви юри – піднесено, порівняно з лежачим. Подібне взаємоположення крил пояснюється інверсією тектонічних рухів на пізньомезозойському конвергентному етапі та насуванні Придунайської тектонічної пластини по насуву в зоні Саратського палеоскиду [100].

Не дивлячись на ці різниці, обидві зони бортових скидів розпізнаються на часових розрізах за наявністю однакових ознак, які є типовими для всіх подібних порушень півдня України.

Для бортових скидів рифтогенних прогинів характерно різке збільшення товщини відкладів, які утворилися на синрифтовому етапі, в опущених крилах порівняно з піднесеними (в 3 рази для Причорноморського і в 2,7 рази для

Саратського скидів) [89]. В піднесених крилах фіксується клиноподібне зменшення цих відкладів (триасу для Саратського і нижньої крейди для Причорноморського), аж до повного виклинювання (Рис. 3.11). В опущених крилах розріз відкладів перехідних етапів розвитку рифтів більш повний. В піднесених крилах ці відклади відсутні, або товщина їх різко скорочена [104]. Так, південніше Причорноморського палеоскиду відклади верхньої крейди (СЛП III-К) представлені усіма відділами, а північніше нього – тільки кампан-маастрихтом. В зоні Саратського порушення відбувається різке зменшення товщини низів юрських та верхів тріасових відкладів.

Характерною рисою порушень в зоні бортових скидів є затухання їх в вертикальному напрямку. Затухання пов'язано з розсіюванням енергії розривного зміщення в результаті роззосередження на низку дрібних посувань. На прикладі Причорноморського порушення видно, що малоамплітудні посування фіксуються на рівні відкладів палеоцену (горизонт відбиття Ша<sub>1</sub>(Р<sub>1</sub>під.)). По вищезаллягаючих горизонтах відбиття розриву осей синфазності не зафіковано.

Згідно класифікації порушень В. Ярошевського [114] усі вищеперераховані ознаки характерні для конседиментаційних скидів, які активні в період осадконакопичення.

Другим типом нормальних скидів є **постседиментаційні скиди**. Цей тип порушень розвинутий в межах півдня України, але виділення постседиментаційних скидів в “чистому вигляді” в більшості випадків важко із-за їх ремобілізації на наступних етапах еволюції і повного або часткового перетворення в інший тип порушення. Древні постседиментаційні скиди уверх по розрізу переходят в конседиментаційні. В багатьох випадках в результаті стиснення в зоні скидів відбувається насування, і вони набувають ознак підкидів або підкидо-насувів. На рисунку 3.12 представлено приклад відображення на сейсмічних даних МСГТ постседиментаційного скиду, який незаторкнутий подальшими тектонічними рухами.

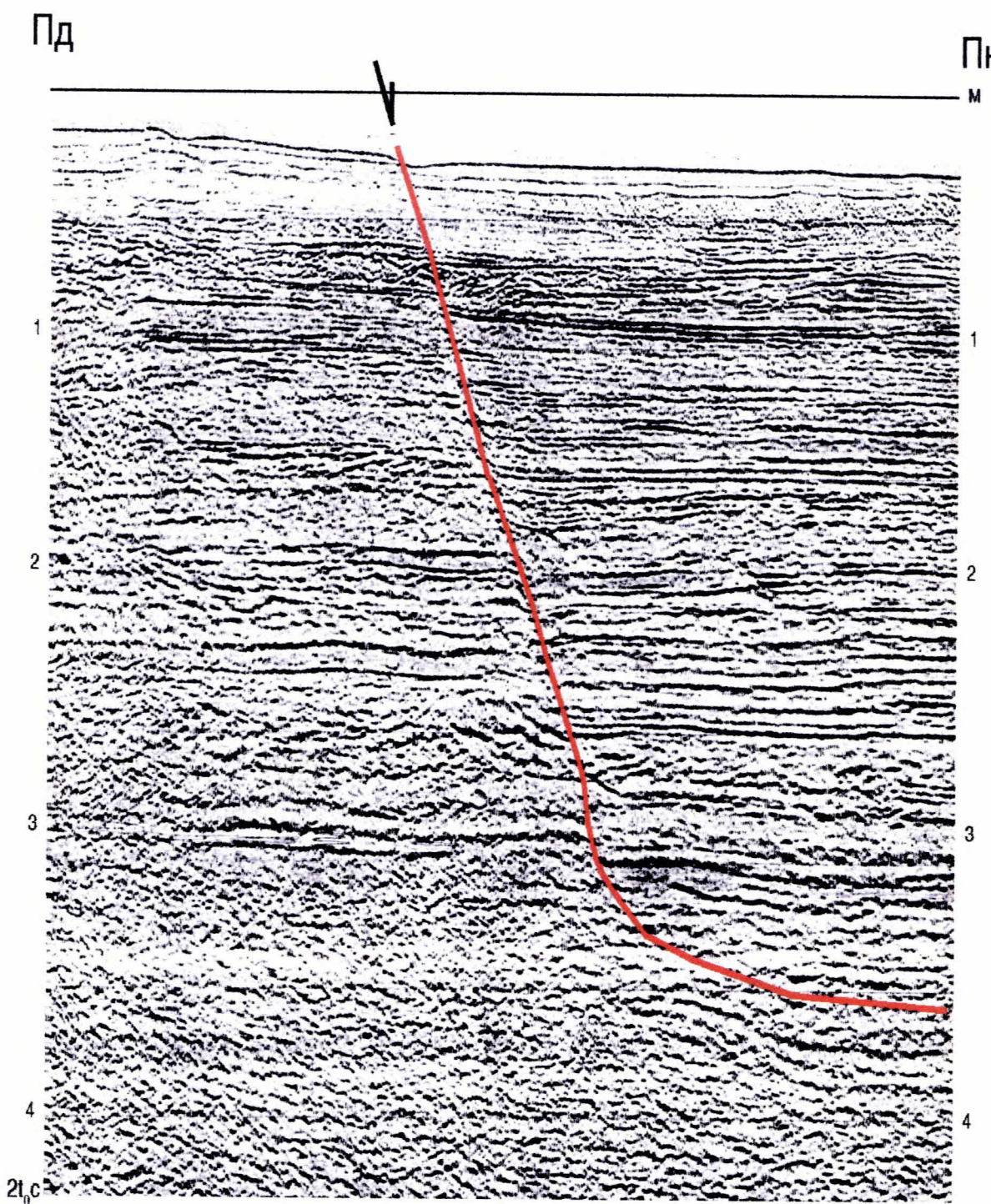


Рис. 3.12. Виділення постседиментаційного скиду на часовому розрізі МСГТ. Західночорноморський рифт.

Склад С. В. Кольцов з використанням матеріалів “Вестерн Дженофізика”, 2005

Порушення цього типу виділяються за тими ж діагностичними ознаками, що і конседиментаційні скиди (наявність дифрагованих хвиль, переривання горизонтів відбиття), але на відміну від останніх, товщини відкладів, які заторкнуто порушенням, в лежачому і висячому крилах однакові. Амплітуди переміщення в зоні скидів різноманітні. В даному випадку вони відносно незначні і складають біля 100 мс (110-150 м). Слід відмітити, що з глибиною амплітуда скиду зменшується, а його площа виположується. В часовому інтервалі 3.0-3.5 с ознак тектонічного порушення практично не фіксується. Це пов'язано з тим, що цей постседиментаційний скид переходить в **поверстровий скид (розврив)**.

Виділити ці типи порушень за сейсмічними даними важко із-за відсутності видимих ознак (розвривів відбиттів, видимого зміщення горизонтів і т.д.).

Розпізнавати поверстрові скиди на часових розрізах можна за зміною характеру хвильової картини. Так, на рисунку 3.12 в зоні виположування площини відмічаються припинення простеження окремих площадок відбиття, а нижче відбиття на часі біля 3,5 с фіксується зона інтерференційного запису, яка відповідає площині сковзання, і по якій слід проводити порушення.

Тектонічні порушення цього типу широко розвинуті і в інших регіонах України.

Приклад виділення такого тектонічного порушення над соляним криптодіапіром, який розвинутий у відкладах палеозою та мезозою ДДЗ, наведено на рисунку 3.13. На ПК 45-50 ( $t=0,8$  с) відмічається виположування площини скиду і послідовне зміщення припинення простеження відбиттів в південному напрямку. При цьому відбувається погіршення простеження відбиттів, і фіксується вузька зона інтерференційного запису. Площа скиду проводиться вище цієї зони пограниччю точках припинення простеження площадок відбиття.

Скидові дислокації можуть виникати і на етапах стиснення в результаті активного розтягання у вершинах антиклінальних складок (скиди торошення), а

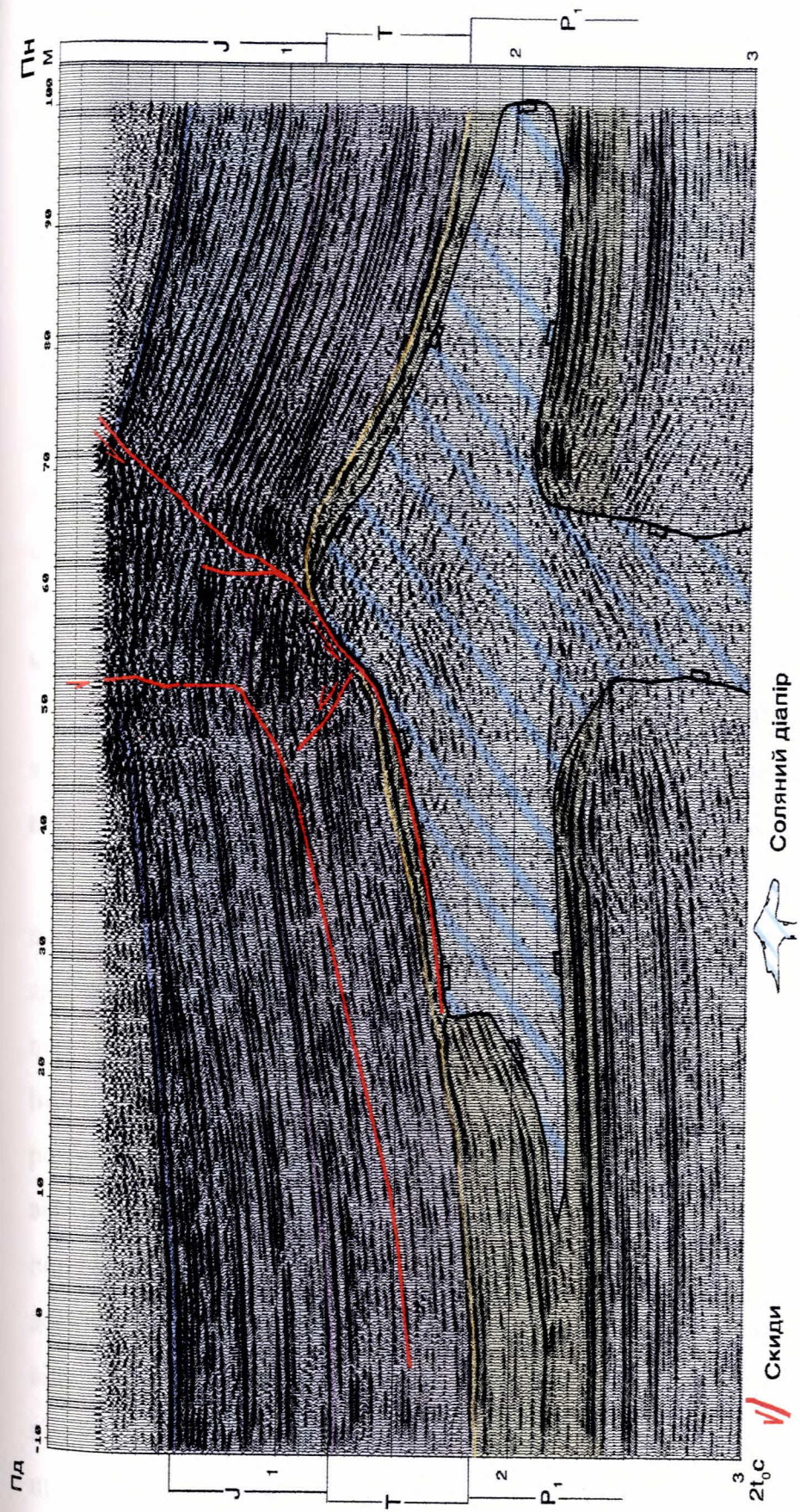


Рис. 3.13. Виділення скідів та поверхтових скідів над соляним діапіром. ДДЗ.

Стлав С. В. Кольцов з використанням матеріалів СУГРЕ ДП “Укргеофізика”, 2004

також в зонах просідання над глиняними кріптодіапірами (скиди вдавлених синкліналей).

На рис. 3.14 представлено фрагмент часового розрізу по профілю МСГТ, перетинаючому антиклінальну складку, яка утворилася в результаті насування на південь. В склепінні структури зафіковано декілька малоамплітудних тектонічних порушень, які ускладнюють її геологічну будову. Слід відмітити, що поряд з тектонічним порушенням з яскраво вираженою підкидовою кінематикою (ПК 40), яке можна інтерпретувати як підкид торошення, відмічаються і скидові дислокації (**скиди торошення**). Вони відмічаються по перериванню відбиттів та зміні кривизни границь. Опущені крила, як правило, характеризуються від'ємною кривизною границь, які в окремих випадках можуть бути деформовані (хвильоподібні відбиття).

Скиди торошення, як правило, малоамплітудні, інтервали відкладів, які заторкнуті цими порушеннями, незначні. З глибиною площини порушень виположуються, і вони (порушення) стають поверхневими скидами.

Більш значними амплітудами переміщень характеризуються скидові дислокації, які виникли в результаті розвитку соляних діапірів. На рисунку 3.13 добре видно найбільш відомі ознаки скидів. Вздовж сліду основного порушення в інтервалі 0,7 с - 1,4 с відмічено декілька дифрагованих хвиль. Іншою ознакою є переривання осей синфазності і зміщення відбиттів через розрив і відносно глибоке “проникнення” скиду по розрізу. Амплітуда вертикального зміщення по скиду складає 200-250 мс (320-400 м). Решта порушень менш амплітудна, переміщення по них складають перші метри або десятки метрів, розповсюдження їх на глибину незначне (затухання на рівні відкладів тріасу). Основним порушенням повністю заторкнуті мезозойські відклади і верхи нижньопермських. Тіло соляного діапіру скидом не розбито, про це свідчить відсутність слідів порушення нижче діапіру. Можна припустити, що на рівні контакту соляного діапіру з вміщаючими відкладами скид із січного перетворився в субповерховий.

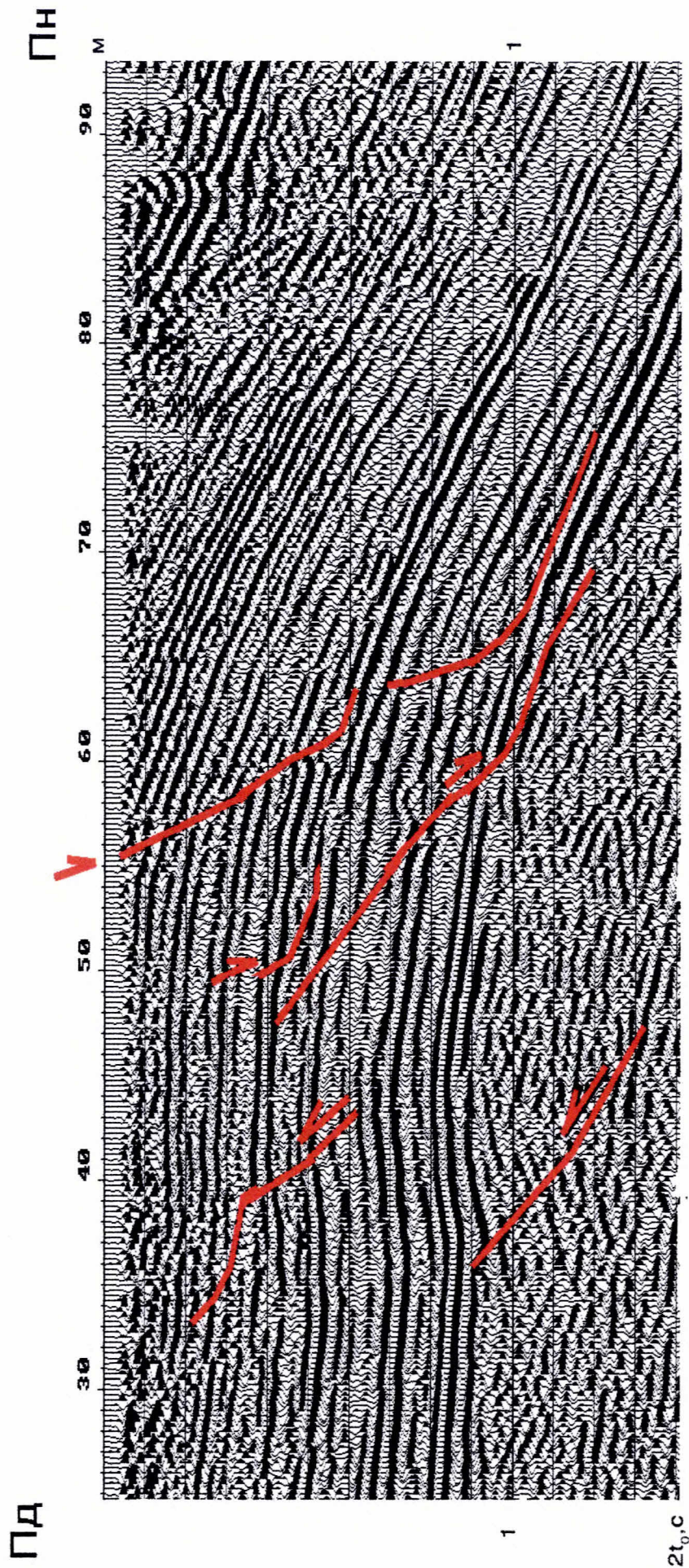


Рис. 3.14. Скідлові дислокації в склепінні антиклинальної складки.  
Стклав С. В. Кольцов з використанням матеріалів КГФЕ “Кримгеофізика”, 2006

Деяке скривлення осей в лежачому крилі пов'язано з рефракцією сейсмічних променів при проходженні через площину розриву, оскільки в зоні порушення спостерігаються локальні зміни швидкості.

Значно більшими амплітудами розривів характеризуються скидові дислокації, які виникають в результаті утворення вдавлених синкліналей.

На рис. 3.15 представлений фрагмент часового розрізу по профілю МСГТ, який перетинає Владиславівську антиклінальну складку у відкладах нижнього міоцену і олігоцену, що утворилася в результаті насування на південь по серії підкідо-насувів та глиняної діапіризації нижчезаллягаючих відкладів олігоцену. Південне крило структури ускладнено скидами амплітудою біля 150 мс (160 м). Тектонічне порушення виділяється по перериванню відбиттів і зміні рисунка сейсмічного запису (ПК 48-52), наявності окремих дифрагованих хвиль.

Інтервал відкладів, заторкнутих скидами, складає біля 1250 м (1,05 с). На глибині біля 1800 м (1,7 с) однозначно виділити порушення неможливо із-за складності хвильової картини, яка обумовлена наявністю глиняного криптодіапіру.

На часі менше 0,6 с розрив осей синфазності не зафіковано, що свідчить про те, що порушенням відклади неогену не заторкнуті. Як правило, подібні тектонічні порушення мають перемінні амплітуди і відносно невеликі глибини розповсюдження. Вони виникають в результаті просідання при утворенні вдавлених синкліналей над глиняними діапірами.

### 3.2.2 Підкиди та підкідо-насуви

На рисунку 3.16 представлено часовий розріз по профілю, який відпрацьований через Карлавську структуру (родовище) Північнокримського рифтогенного прогину. Антиклінальна складка утворилася в результаті насування відкладів палеогену і крейди в південному напрямку по розривах, які мають січні (ремпи) і поверхтовові (флети) складові. Січні підкиди виділяються по перериванню відбиттів в зоні розривів та зміні додатньої кривизни границь

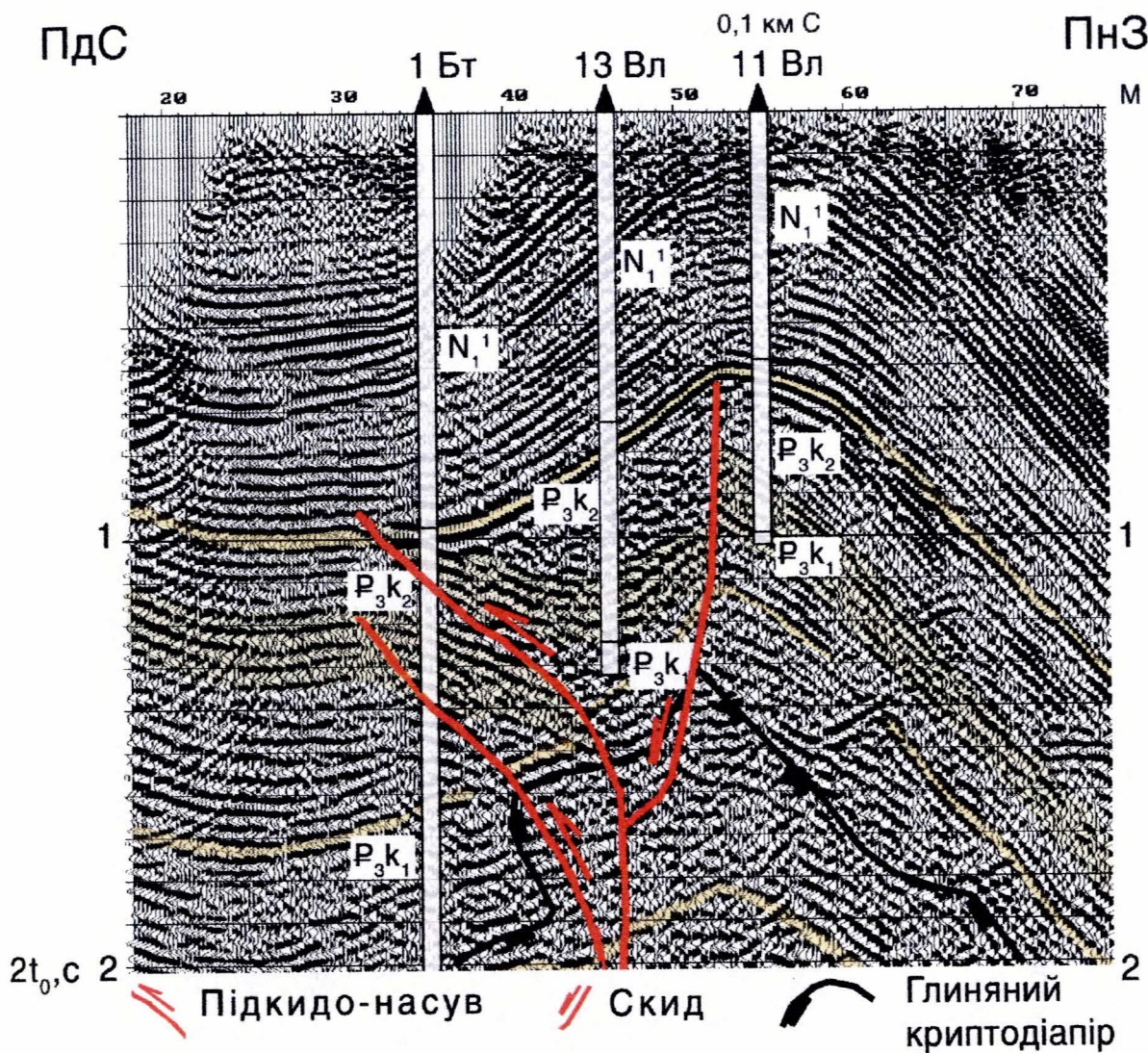


Рис. 3.15. Скидові дислокації по бортах вдавленої синкліналі.

Склад С. В. Кольцов з використанням матеріалів КГФЕ “Кримгеофізика”, 2005

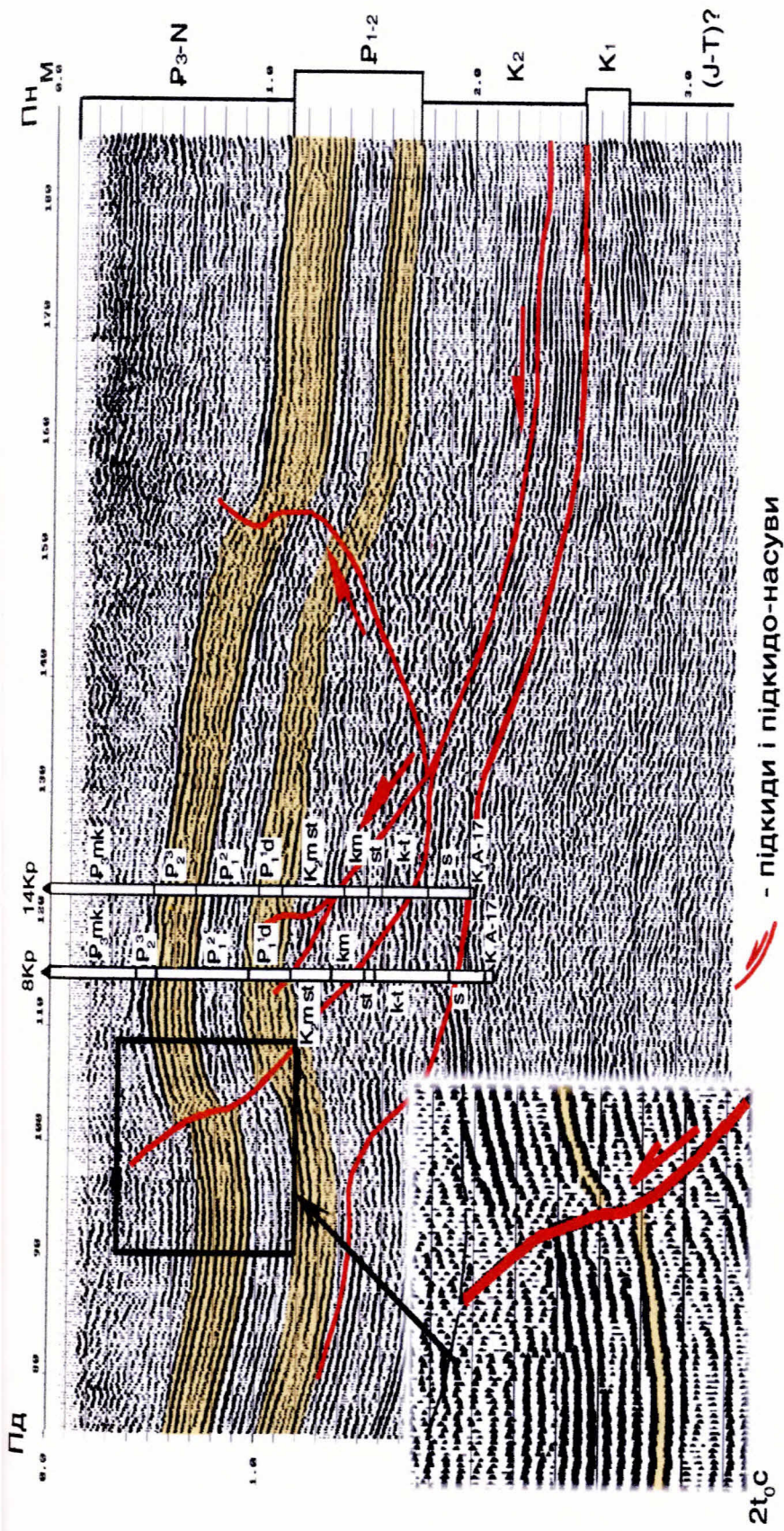


Рис. 3.16. Видлення підкидових дислокаций за сейсмічними даними. Карлавська площа.  
Північнокримський рифтогенний прогин (MZ).

Склад С. В. Кольцов, М.Є. Герасимов з використанням матеріалів КГФЕ “Кримгеофізика”, 2002

на від'ємну і нахилу площини зміщувача в сторону піднесеного крила під кутами 60-80°.

В опущених крилах фіксуються відбиття з від'ємною кривизною границь, а в піднесених з додатньою. При цьому антикліналі мають яскраво виражену асиметричну будову з крутими крилами, які притиснуті до порушення, і більш пологими протилежними.

За вергентністю складок і зміщенням склепінь на різних стратиграфічних рівнях можна судити про напрямок насування; в даному випадку - в південному напрямку, про що свідчать більш круті південні крила і пологі північні (південна вергентність).

На відміну від скидів, піднесені крила підкідових дислокацій характеризуються більш складною геологічною будовою, обумовленою тектонічною роздробленістю. На часових розрізах в межах склепіння складок, як правило, фіксується хаотичний або бугристий рисунок сейсмічного запису, чергування протяжних відбиттів з зонами відсутності, припинення простеження окремих площаць і горизонтів, зміна амплітуд і частот відбиттів. В шаруватих товщах, складених глинистими та більш компетентними відкладами (пісковики, вапняки та інш.), в піднесених крилах відмічається збільшення товщини відкладів в результаті розшарування по поверхневих зривах або утворення відносно малоамплітудних дисгармонічних складок (Рис. 3.17).

Опущені крила характеризуються більш простою і витриманою хвильовою картиною.

Для більшості підкідів Південного регіону України характерно виположування площини зміщувача з глибиною і перехід підкідової дислокації в підкідо-насув (кут нахилу 30-60°), або насув (10-30°) (Рис.3.17).

Тектонічне порушення підкідового, підкідо-насувного і насувного типів в більшості випадків супроводжується одним або декількома порушеннями того ж типу, але зустрічного падіння (ретронасув) (Рис.3.16). Критерій виділення цих розривів аналогічні вищезазначеним, за виключенням того, що їх розповсюдження обмежується площею основного порушення.

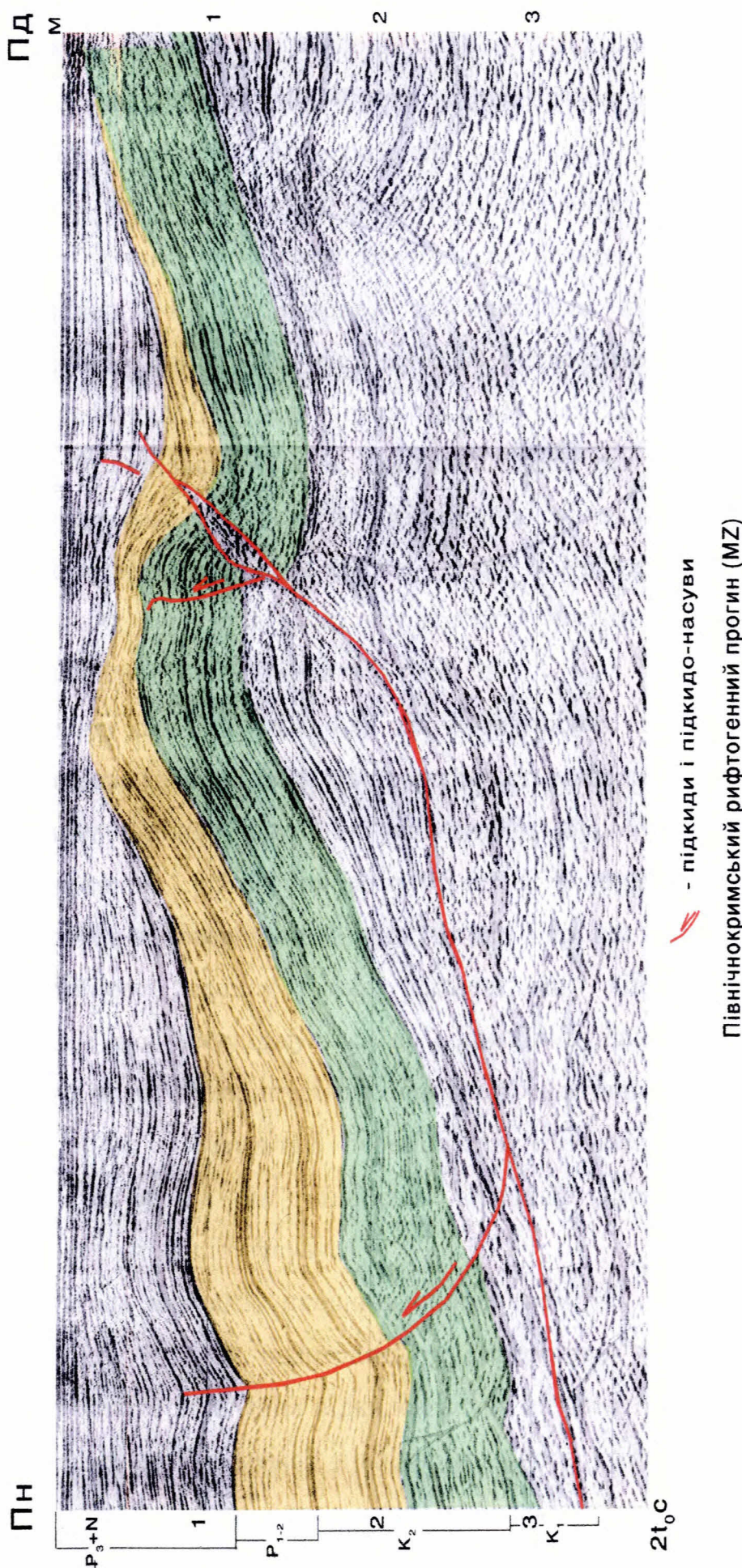


Рис. 3.17. Видлення підкидо-насуву за сейсмічними даними. Західно-Тарханкутська площа.  
Склад М. Е. Герасимов, С. В. Кольцов з використанням матеріалів “Вестерн Дженофізика”, 2002

Лівнічнокримський рифтогенний прогин (MZ)



В деяких випадках як скидові, так і насувні дислокації переходять в поверхневі зриви (флети) [50]. **Флети** відрізняються від січних тектонічних порушень відсутністю видимих розривів сейсмічних границь, що утрудняє виділення їх за сейсмічними даними. Основним критерієм виділення поверхневих зривів на часових розрізах є характер поведінки горизонтів відбиття вище і нижче розриву та наявність ліній витягнутої зони інтерференційного запису. На рисунку 3.18 представлено фрагмент часового розрізу по профілю МСГТ, відпрацьованого в межах Західного Причорномор'я. На ПК 95-110 виділяється зона Придунайського підкідо-насуву. Опущене крило характеризується наявністю витриманих субгоризонтальних горизонтів без видимих розривів осей синфазності. На ПК 140-170 фіксується ряд розривів і антиклінальних перегинів горизонту відбиття  $V_a(J_3\text{tt-km})$ , приуроченого до покрівлі соленосної товщі кімериджу-титону.

При цьому характер поведінки нижчезалігаючих відбиттів не змінюється. Подібна хвильова картина свідчить про наявність малоамплітудних тектонічних порушень типу “підкідо-насув”, які ускладнюють будову соленосних відкладів. Площини розривів різко виположуються з глибиною, і січні розриви перетворюються в поверхневий зрив (флет). Площині флету відповідає зона інтерференційного запису між горизонтами відбиття  $V_a(J_3\text{tt-km})$  і  $V_b(J_3\text{покр.кп.})$ , яка просліджується до зони Придунайського підкідо-насуву. Цей факт дає підставу припустити, що флет генетично пов'язаний з підкідо-насувом і виник в результаті переміщення соленосної товщі по поверхні карбонатів оксфорду на відносно великий відстані перед фронтом Придунайського підкідо-насуву.

В багатьох випадках площини січних (ремпів) дислокацій з глибиною виположуються, і вони переходят у поверхневі (флети). На рис. 3.17 приведено приклад виділення підкідо-насуву на часовому розрізі по профілю, який відпрацьований в межах північно-західного шельфу Чорного моря. На часовому розрізі чітко видно, що відносно високоамплітудна Західно-Тарханкутська складка у відкладах палеогену та верхньої крейди виникла в

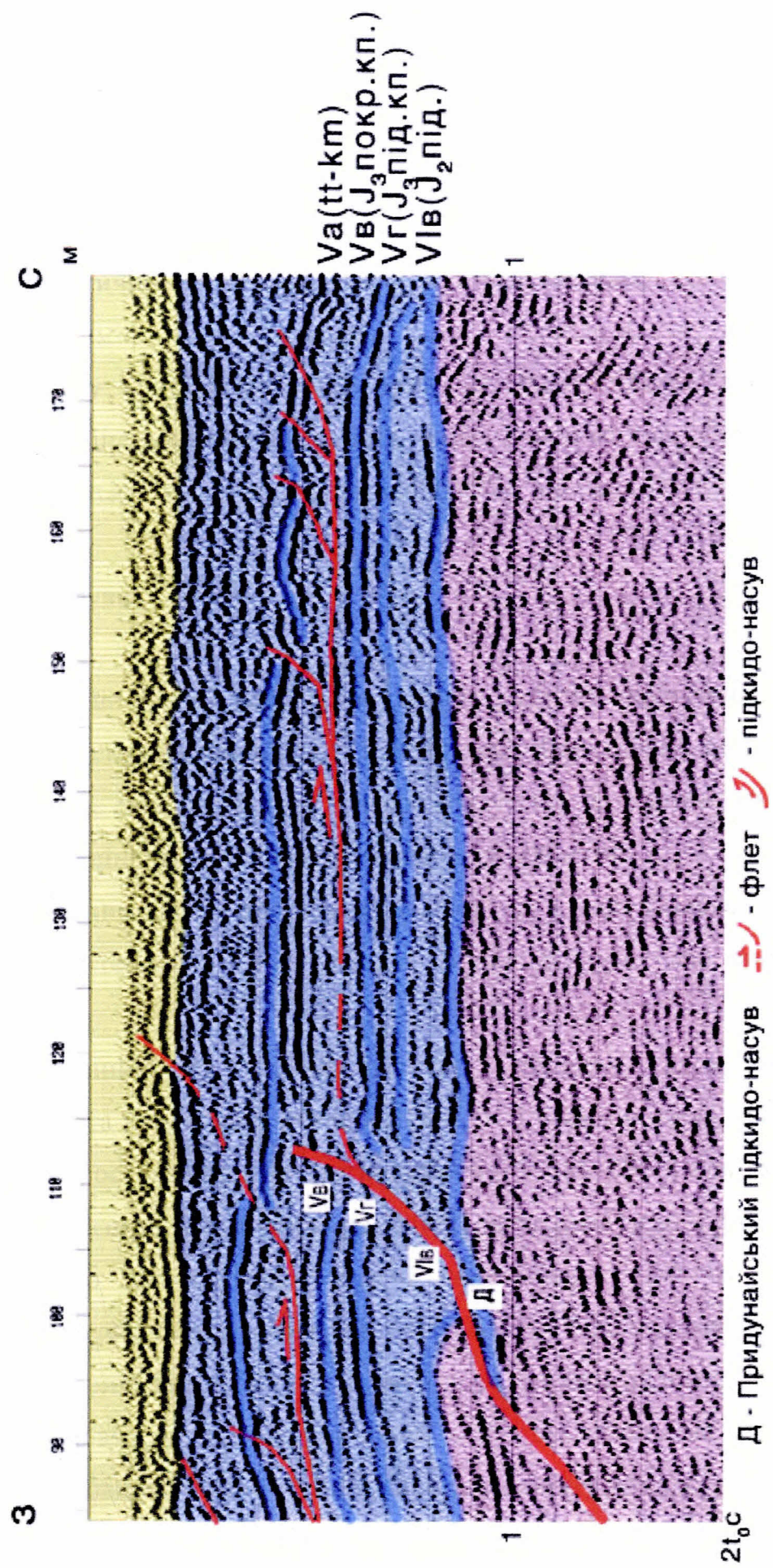


Рис. 3.18. Видлення поверхового зриву (флет).

Склад С. В. Кольцов з використанням матеріалів КГФЕ “Кримгеофізика”, 2003

результаті насування в південному напрямку по підкидо-насуву. При цьому з глибиною амплітуда складки зменшується, і у відкладах нижньої крейди вона практично не фіксується.

В центральній частині профілю відмічається виположування площини розриву і практична відсутність ознак виділення підкиду. Це свідчить про те, що відбулася зміна січної складової даного підкидо-насуву на поверхневу. Площині флету відповідає вузька зона інтерференційного запису, до якої приурочена зміна хвильової картини вище і нижче ней. При цьому вище площини переважають випуклі форми відбиттів, а нижче – угнуті.

### 3.2.3 Насуви

Критерії виділення насувів на часових розрізах аналогічні тим, за якими виділяються підкиди як січні, так і поверхневі. Фронтальна частина алохтонів, як правило, має складну будову і характеризується наявністю одного перегину або серії антиклінальних перегинів горизонтів відбиття.

Погіршення якості простеження відбиттів в голові насувів, як правило, пов’язано з інтенсивним руйнуванням в процесі руху або ерозії (Рис.3.19, ПК 10-40).

В серединній зоні (панцир насувного покриву і алохтону) фіксується відносно проста хвильова картина (ПК 0-15). В окремих випадках відмічається погіршення простеження горизонтів відбиття (“зона тіні”), пов’язане із зміною кривизни траєкторії сейсмічних променів (рефракцією) в зоні розриву.

Відносно значні горизонтальні переміщення можуть виникати при гравігенно-тектонічному сковзанні. (Рис.3.20). При цьому в фронтальній частині алохтонів антиклінальні перегини горизонтів відбиття не фіксуються, або вони малоамплітудні. Це пов’язано з тим, що алохтонна частина складена однорідною товщою компетентних порід, (у даному випадку – вапняками), які переміщаються на “глибинних” відкладах і відбувається “протикання” глин вапняками.

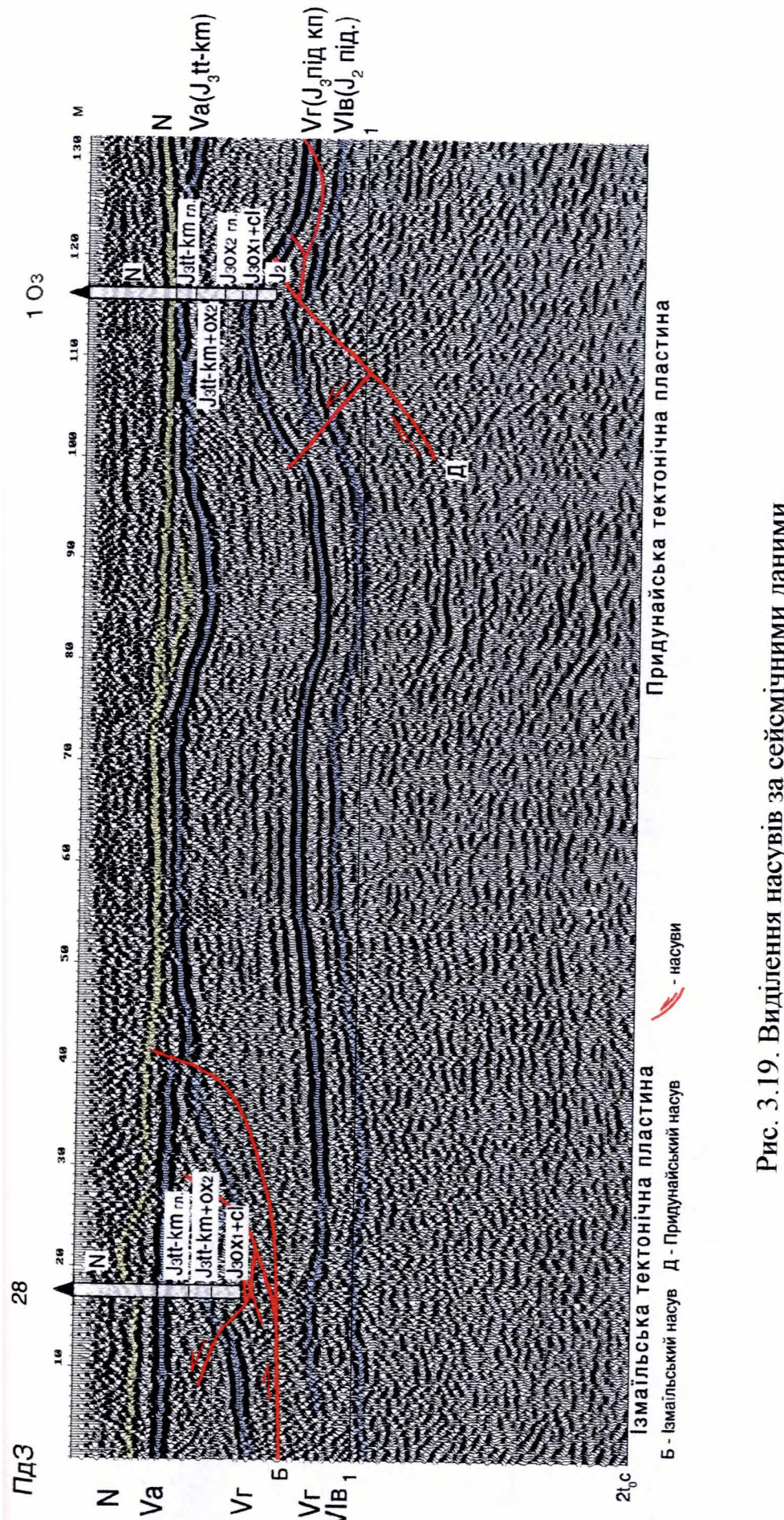


Рис. 3.19. Виділення насувів за сейсмічними даними

Склад: С. В. Кольцов, М.Є. Герасимов з використанням матеріалів КГФЕ "Кримгеофізика", 2002

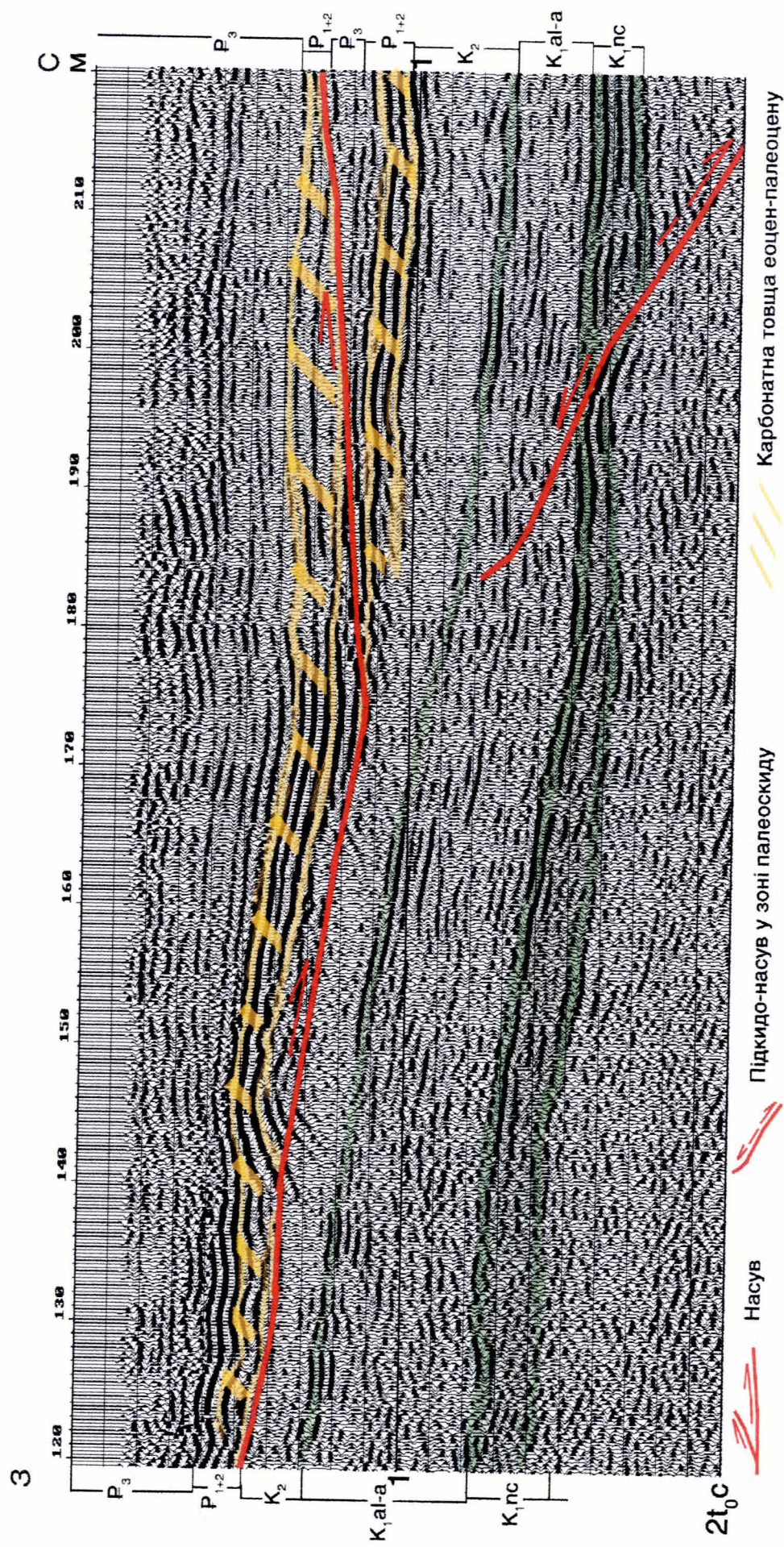


Рис. 3.20. Гравігенно-тектонічний зсув з насуванням у фронтальній частині тектонічної пластини.

Оклад С. В. Кольцов з використанням матеріалів КГФЕ “Кримгеофізика”, 2005

### 3.2.4 Гравігенно-тектонічні зриви

На рисунку 3.21 наведено приклад виділення порушень гравігенно-тектонічної природи. Площина зриву, по якій відбулося зсування в сторону регіонального занурення, виділяється за різкою зміною хвильової картини. В незаторкнутих зсуванням товщах фіксується бугристий рисунок сейсмічного запису, що свідчить про умови седиментації верхньокерлеуцьких відкладів та наявність тектонічних порушень іншої природи (переважно зсувів або підкидо-насувів).

При значних переміщеннях в межах гравігенно-тектонічних пластин відмічається різка зміна рисунка сейсмічного запису з "регулярного" на бугристий, а у багатьох випадках на хаотичний.

В зірваних товщах при відносно незначних амплітудах переміщень рисунок сейсмічного запису залишається "недеформованим" та характеризується наявністю горизонтів відбиття без видимих розривів осей синфазності. У таких випадках виділення подібних зон ускладнюється. Вони виділяються за наявністю зони інтерференційного запису та за зміною кривизни відбиттів.

Як правило, при гравігенных переміщеннях утворюються декілька окремих пластин (пластини торошення), які обмежені скидовими дислокаціями. Площини, по яких відбулося переміщення окремих блоків (пластин), різко виположуються на рівні площини дестачменту (покрівлі верхньокерлеуцьких відкладів –горизонт відбиття ІБ( $P_3^3$ vk покр.). В багатьох випадках при переміщеннях утворюються антитетичні блоки, а по фронту пластин зсування формуються антиклінальні складки різних розмірів і амплітуд. З цими об'єктами можуть бути пов'язані певні перспективи пошуків вуглеводнів.

Горизонтальні розміри, товщини і амплітуди переміщення пластин змінюються в широкому діапазоні - від перших десятків і сотень метрів до десятків кілометрів. На рисунку 3.22 представлено фрагмент часового розрізу по профілю, який перетинає Ломоносівський підводний масив (акваторія

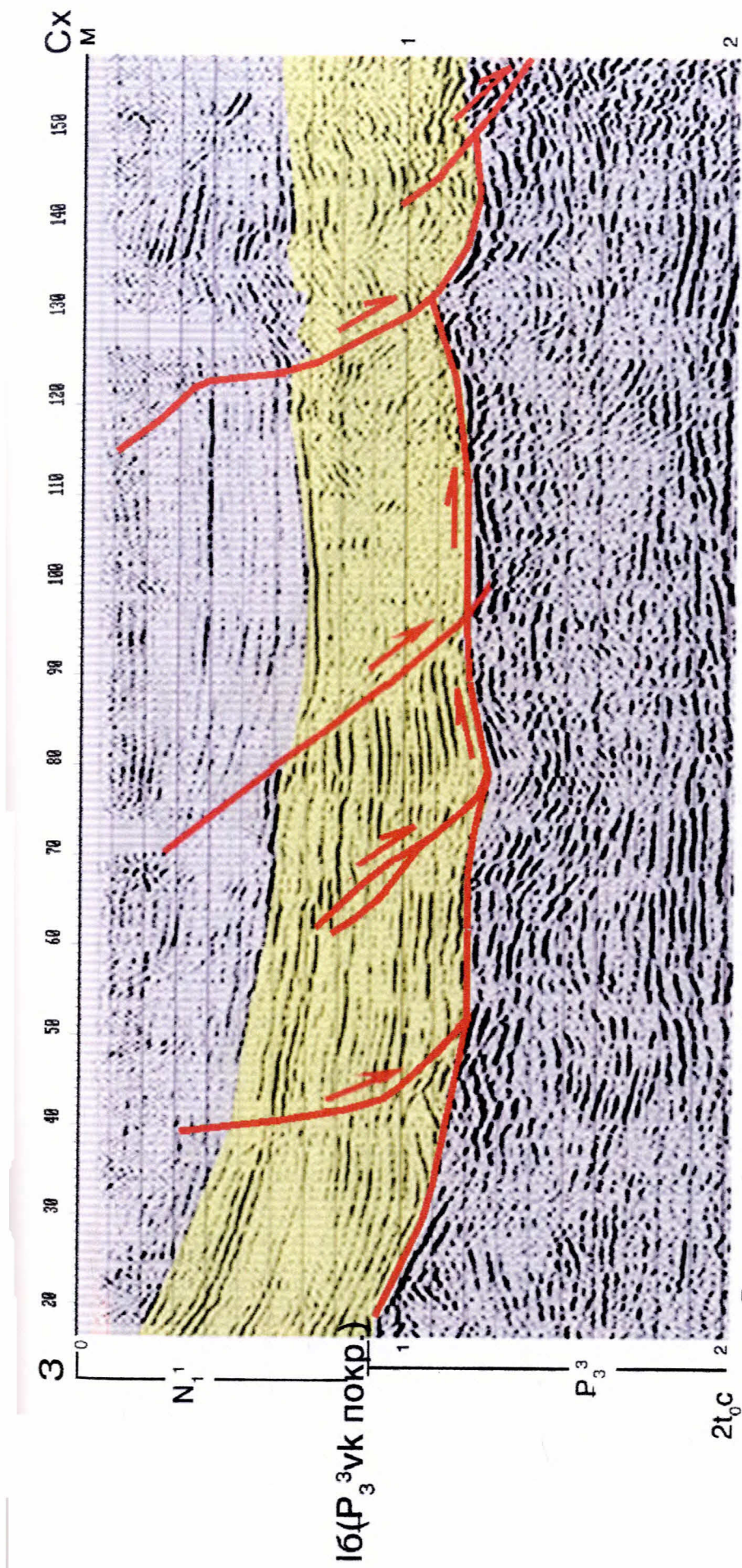


Рис. 3.21. Формування блоків торошення при гравігенно-тектонічному сковзанні.  
Складав С. В. Кольцов, А. Й. Івановський з використанням матеріалів КГФЕ “Кримгеофізика”, 2004

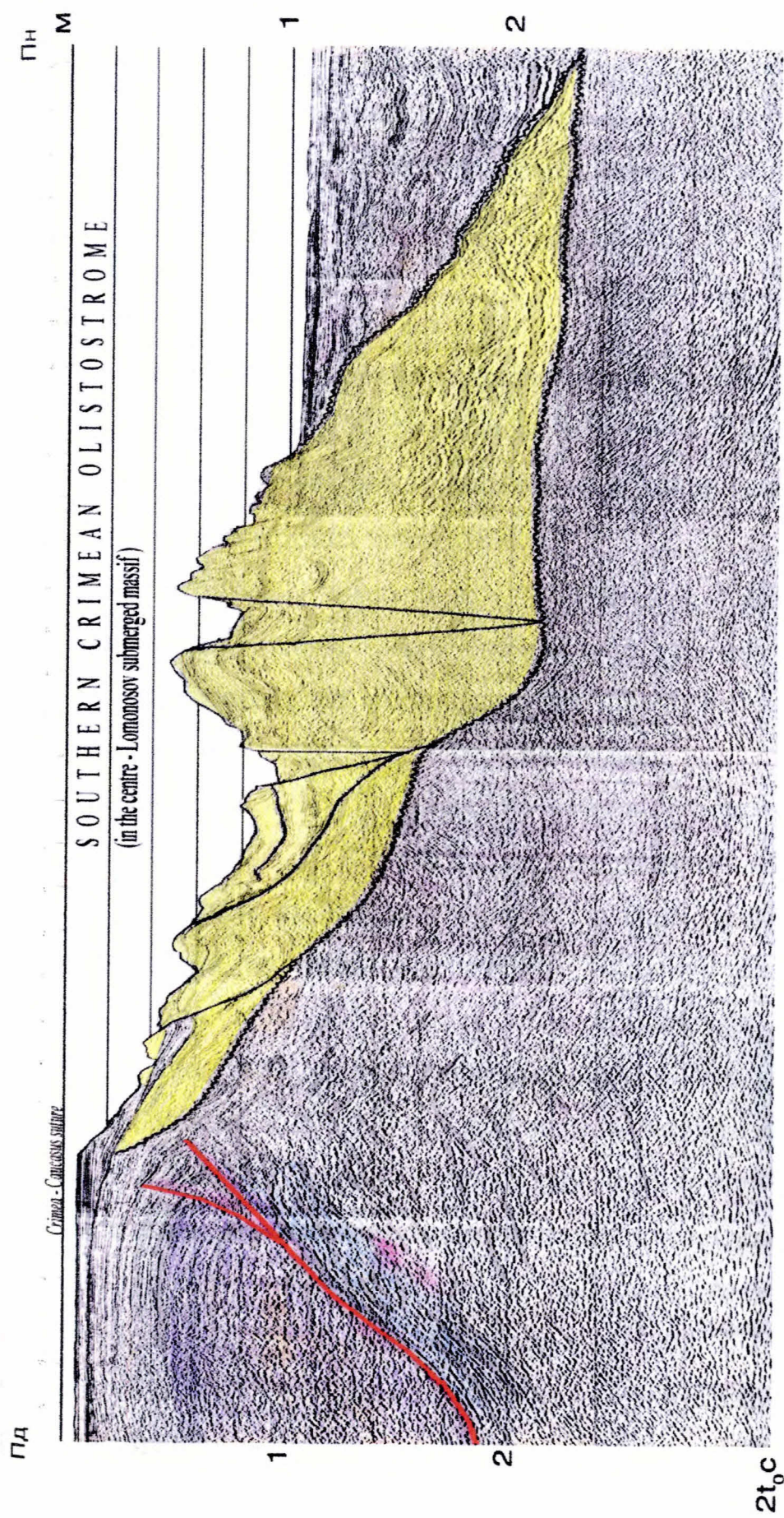


Рис. 3.22. Південно-Кримська олістострома.

Склав М.Є. Герасимов з використанням матеріалів "Вестерн Дженофізика", 2003р.

Чорного моря). Цей крупний елемент представляє собою олістострому, що утворилася в результаті зсування великих мас гірських порід в сторону глибоководної частини басейну. В межах олістостроми за сейсмічними даними виділяються окремі пластини зсування, які переміщені по площинах зриву в південному напрямку. Критерії їх виділення аналогічні вищезазначеним.

### 3.2.5 Інверсійні розриви

При вивчені порушення інверсійного типу необхідно виділяти ділянки субповерстрових і січних розривів, визначати форми і асиметрію структур, які контролюють ці розриви, аналізувати рисунки сейсмічного запису і поведінки товщини відкладів в різних крилах [89].

До категорії інверсійних тектонічних розривів відноситься Південнобортовий скид, який обмежує з півдня Північнокримський рифтогенний прогин; на різних ділянках простеження цьому порушенню притаманні риси скидової і підкідової дислокацій.

На рисунках 3.23, 3.24 приведено монтаж часових розрізів по профілях від оз. Донузлав до м. Тарханкут, які перетинають палеоскид. На цьому монтажі по відкладах неокому нижньої крейди Південнобортовий розрив характеризується як скид з північним падінням площини зміщувача і амплітудою до 1500-2000 м (Рис. 3.23). В скинутій частині, за даними сейсморозвідки, зафіковані підвищені товщини нижньої крейди (до 1800-2000 м), порівняно з 500-600 м в припіднятій частині. Це підтверджується і даними буріння. Так, товщина відкладів нижньої крейди в піднесеній частині коливається від 544 м (св. Октябрська 2) до 827 м (св. Октябрська 1), в скинутій частині товщини пачок А-17, 18 і, частково, А-19 складають 1206 м (св. Октябрська 26) і 1312 м (св. Октябрська 37) [89]. Північніше порушення на часових розрізах відмічається рисунком сейсмічного запису, характерний для рифтогенних прогинів.

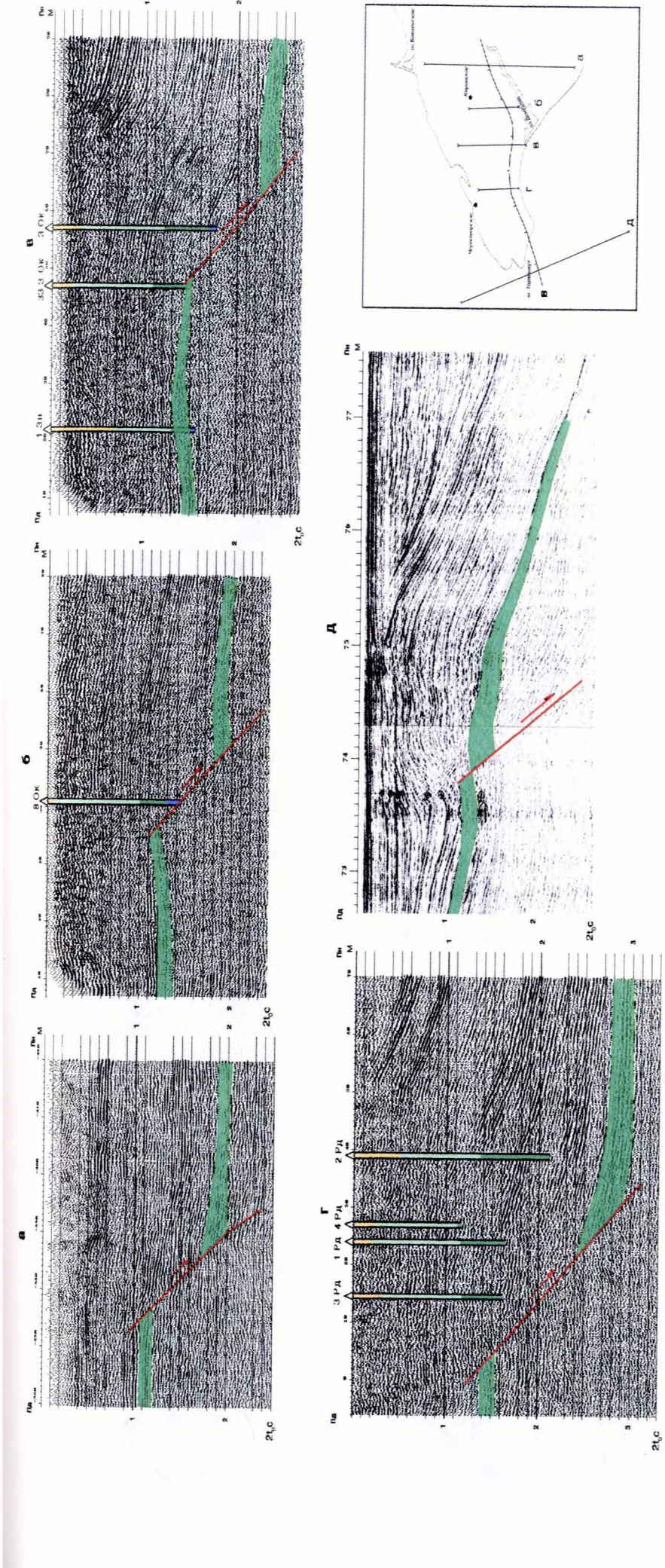


Рис. 3.23. Простяження Південнобортового палеоскіду (В).

Склав С. В. Колльцов з використанням матеріалів КГФЕ “Кримгеофізика” (а-г) та “Вестерн Дженофізика” (Д), 2005

Лістричний скід      Відклади низів нижньої крейди (пачки А-20, А-21)

свердловини: Ок - Октябрські, Зн - Знаменська, Рд - Родніковські

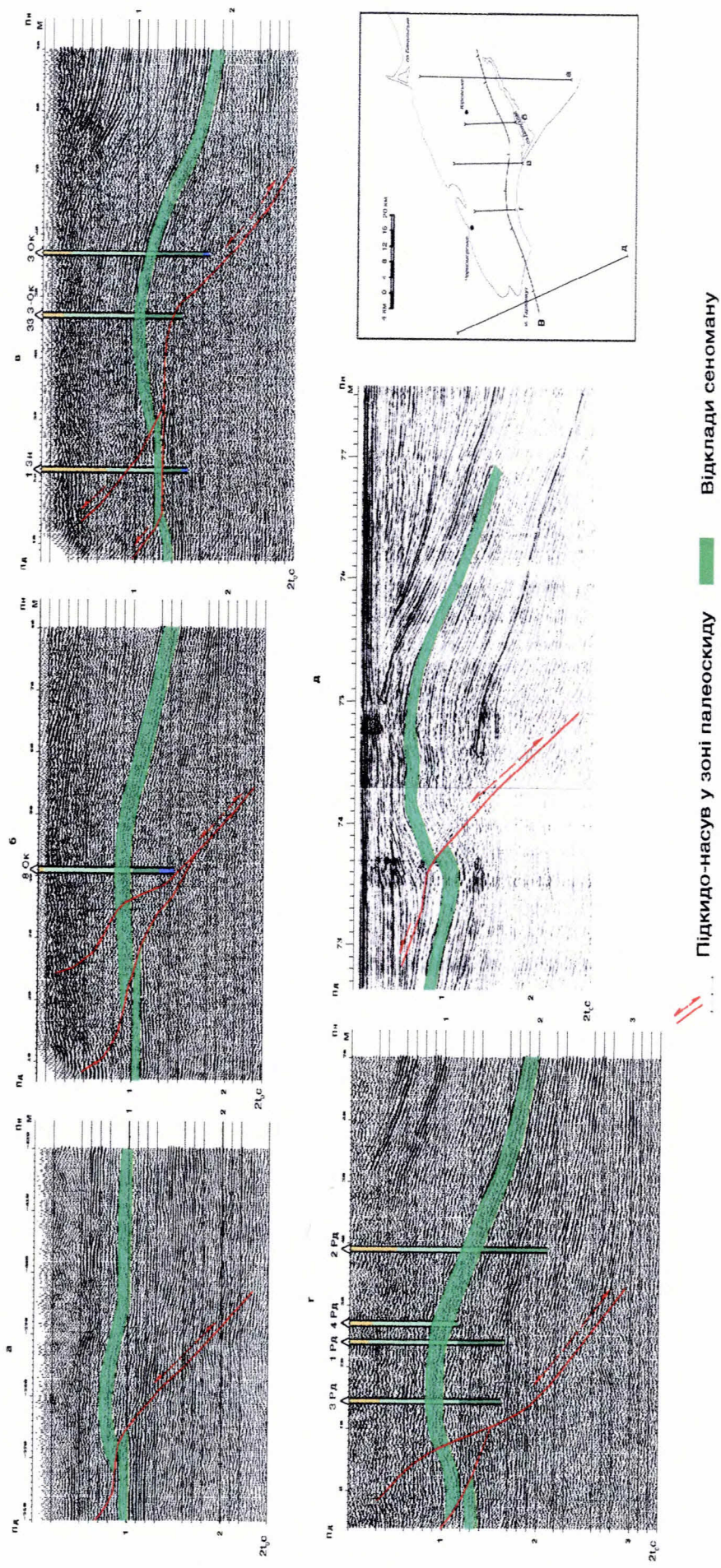


Рис. 3.24. Простеження інверсійного насуву в зоні Південноноборгового палеоскиду.

Склав С. В. Кольцов з використанням матеріалів КГФЕ “Кримгеофізика” (а-г) та “Вестерн Дженофізика” (Л), 2005

У вищезалігаючих комплексах верхньої крейди і кайнозою це порушення характеризується як підкидо-насув з північним падінням площини зміщувача (Рис. 3.24). При цьому були сформовані структури південної вергентності, з якими на даній території пов'язані родовища нафти і газу (Октябрське, Західно-Октябрське, Оленівське та ін.) [97]. Рисунок сейсмічного запису, зафікований в межах цих структур, в цілому, характерний для елементів, які утворилися при тангенціальному стисненні. Певну, якщо не основну, роль у формуванні цих структур відіграє субповерхтовий розрив (флет) в підошві карбонатних відкладів верхньої крейди, який переходить в січний (ремп) у вищезалігаючих відкладах по фронту складки.

На цьому прикладі однозначно видно, що Південнобортовий палеоскід перетерпів однократну ремобілізацію на етапі стиснення в кайнозої. В ряді робіт висунуто припущення про те, що Південнобортовий розрив частково успадкував площину більш древнього розриву тектонічного порушення, який є границею Сивасько-Каркінітського рифтогенного прогину ранньомезозойського віку [43, 50].

В межах Південного регіону України зафіковані розриви, ремобілізація яких відбувалася на декількох етапах розвитку. Найбільш яскравим прикладом таких тектонічних порушень є Кримсько-Кавказька сутура мезозойського віку [80].

На рисунку 3.25 представлено фрагмент часового розрізу по профілю, який перетинає цей розрив в районі свердловин Тамбовські 1 і 3. Інтерпретація хвильової картини, зафікованої на профілі, без притягнення інформації про історію розвитку регіону і товщини різновікових відкладів, буде помилковою.

На перший погляд, в зоні сутури на усіх стратиграфічних рівнях присутні ознаки підкидо-насувної дислокації, без видимих ознак скидів. Можна припустити, що в зоні сутури відбулося “однократне” стиснення в неогеновий час. Більш детальний аналіз хвильової картини з притягненням іншої геофізичної інформації свідчить про багатократну ремобілізацію тектонічних рухів.

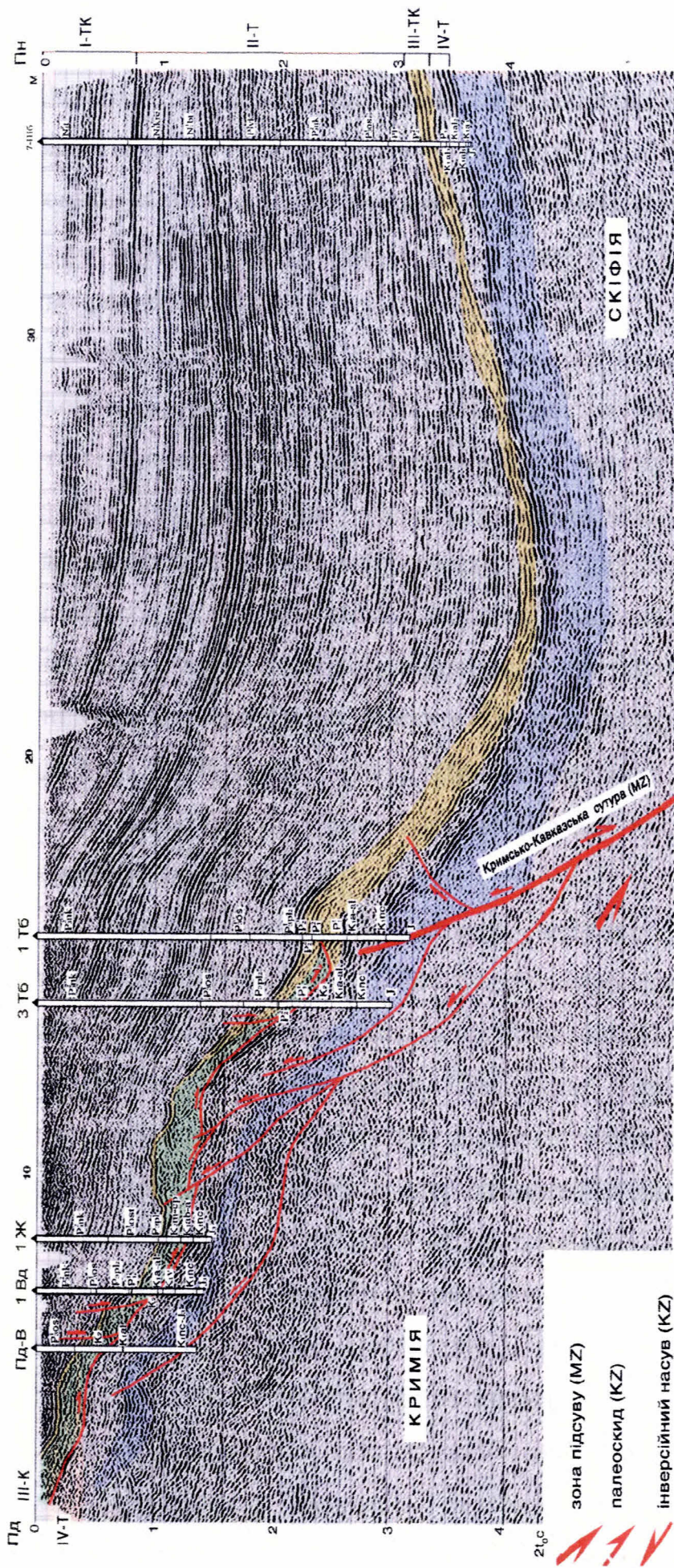


Рис. 3.25. Часовий сейсмічний розріз МСГТ через південний борт Індоло-Кубанського рифтогенного прогину (MZ).

Скіпав С. В. Кольцов з використанням матеріалів КГФЕ “Кримгеофізика”, 2005

Мезозойська кінематика Кримсько-Кавказької сутури в районі, який розглядається, ще чітко виражена на рівні верхньокрейдових відкладів. В алохтонній частині (північному крилі) верхньокрейдові відклади відсутні, а в автохтоні (південніше сутури) в розрізі присутні як юрські, так і нижньо-верхньокрейдові відклади.

Ці факти встановлені бурінням, а зона розриву і область розвитку верхньокрейдових відкладів чітко визначаються на часових розрізах МСГТ. Відсутність відкладів верхньої крейди в алохтонному крилі свідчить про те, що у верхньокрейдовий час Кримсько-Кавказька сутура в районі, що розглядається, кінематично виражалась ще як підкидо-насув. З цього випливає, що, можливо, на більшій частині території Акмонайської синкліналі Індоло-Кубанського прогину верхньокрейдові відклади також відсутні як і на більшій частині Середньоазовського підняття. Це підтверджується за даними буріння свердловини Шубинська 7 [101]. Про це свідчить і відсутність динамічно виражених відбиттів на рівні докайнозойської частини розрізу північніше свердловини Тамбовська 1.

У випадку наявності відкладів верхньої крейди, представлених карбонатною товщею, ними би були обумовлені достатньо інтенсивні динамічно виражені відбиття. Західніше Тамбовської площині це підтверджується даними буріння і сейсморозвідки. Південніше Кримсько-Кавказької сутури наявність відкладів верхньої крейди в розрізі також відображається саме цими ознаками, що підтверджується свердловиною Феодосійська 1 та ін. Можна зробити висновок, що аж до рівня верхньокрейдових відкладів ще проявляється Бітакський крайовий прогин південніше Кримсько-Кавказької (в межах Криму, по В. В. Юдину, Передгірної) сутури, але він не може бути успадкований Індоло-Кубанським прогином [128].

Дані сейсморозвідки, підтвержені глибоким бурінням, показують, що у палеоцен-олігоценових відкладах тектонічний розрив в зоні Кримсько-Кавказької сутури зазнав інверсію і має кінематику крупноамплітудного скиду з північним падінням, який є, за своєю суттю, північною границею південного

(Приморського) моноклінального борту Індоло-Кубанського прогину кайнозойського віку (Рис.3.25). Південніше виділяється ще серія розривів подібної кінематики, але вони розвинуті східніше і південно-східніше Владиславівсько-Харченківської антиклінальної зони, ускладнюючи будову Приморської монокліналі. З цими розривами пов'язані складнопобудовані в основному південновергентні антиклінальні структури, утворені при їх інверсійній трансформації в підкидо-насуви вже в пліоцен-четвертинний час [101].

В результаті проведених досліджень було вперше визначено критерії, за допомогою яких можна виділяти типи тектонічних порушень за сейсмічними даними.

**Конседиментаційні скиди** виділяються за наступними критеріями:

- переривання горизонтів відбиття і зміщення осей синфазностей та флексуроподібні вигини в сторону скинутого крила;
- від'ємна кривизна границь в скинутому крилі і відсутність антиклінального перегину в піднесеному;
- збільшення часової товщини сейсмостратиграфічних одиниць в скинутому крилі та клиноподібне зменшення в піднесеному;
- в скинутому крилі розріз більш повний порівняно з піднесеним;
- затухання розриву в вертикальному напрямку та виположування площини переміщення з глибиною;
- нахил площини порушення в сторону скинутого крила.

**Постседиментаційні скиди** виділяються за наступними ознаками:

- переривання горизонтів відбиття і зміщення осей синфазності та флексуроподібні вигини в сторону скинутого крила;
- від'ємна кривизна границь в скинутому крилі і відсутність антиклінального перегину в піднесеному;
- однакова часова товщина сейсмостратиграфічних одиниць в обох крилах;
- зменшення амплітуди розриву вверх по розрізу та виположування площини розриву з глибиною.

До критеріїв виділення поверхтових скидів відносяться:

- послідовне припинення простеження відбиттів вище площини зриву;
- лінійно витягнута зона інтерференційного запису;
- погіршення простеження відбиттів нижче порушення (рефракція)

**Скиди торошення** виділяються за такими ознаками:

- переривання відбиттів в зоні порушень;
- від'ємна кривизна границь в скинутому крилі та відсутність антиклінального перегину в піднесеному;
- «деформація» відбиттів в скинутому крилі;
- наявність рефракції в зоні порушення;
- швидке затухання і невеликі амплітуди.

**Січні підкиди (ремпи)** виділяються за такими ознаками:

- перериванням відбиттів;
- зміна додатньої кривизни границь на від'ємну;
- наявність у піднесеному крилі антиклінальних складок асиметричної форми та від'ємна кривизна границь у скинутому крилі;
- складна хвильова картина в склепіневих частинах складок;
- нахил площини розриву в сторону піднесеного крила і виположування з глибиною.

**Повертові зриви (флети)** виділяються за наступними ознаками:

- наявність лінійно витягнутої зони інтерференційного запису;
- розриви і антиклінальні перегини горизонтів, що залягають вище розриву;
- незмінність хвильових картин нижче розриву, в окремих випадках деяке погіршення (рефракція).

**Насуви** виділяються за наступними критеріями:

- наявність січної та поверхтової складових, які виділяються за критеріями виділення ремпів та флетів;
- виположування площини розривів в сторону кореня насуву;
- складна хвильова картина в головних частинах алохтонів і відносно проста в панцирі покриву та автохтоні;

- наявність тилових складок;
- рефракція в зоні розриву.

**Гравігенно-тектонічні розриви** виділяються за наступними критеріями:

- зміна рисунка сейсмічного запису в зоні порушення;
- наявність бугристого або хаотичного рисунка запису в межах пластин та незмінний рисунок в незаторкнутих товщах;
- зміна кривизни границь в зоні порушення та наявність інтерференційного запису;
- різке виположування площин розриву на рівні дестачменту;
- наявність антиклінальних складок в головних частинах пластин.

### Висновки

1. Тектонічні порушення півдня України мають інверсійний характер, для вивчення яких необхідна наявність критеріїв виділення їх на часових розрізах МСГТ з визначенням кінематики. Широкий розвиток в межах регіону тектонічних порушень різних типів дозволив вперше отримати критерії виділення конседиментаційних і постседиментаційних скидів, поверхтових скидів, скидів торошення та вдавлених синкліналей, січних підкідів та підкідонасувів (ремпи), поверхтових зривів (флети), насувів, гравігенно-тектонічних зривів, інверсійних тектонічних порушень.

2. Критерії виділення на часових розрізах МСГТ тектонічних порушень, з визначенням їх кінематики різноманітні, але усі вони базуються на аналізі сейсмостратиграфічних характеристик та часової товщини сейсмостратиграфічних одиниць, а також даних буріння.

3. До головних критеріїв виділення скидових дислокацій слід віднести:

- переривання горизонтів відбиття і зміщення осей синфазностей та флексуроподібних вигинів через розрив в сторону скинутого крила;
- від'ємна кривизна границь в скинутому крилі і відсутність антиклінального перегину в піднесеному;
- затухання розриву уверх по розрізу;

- виположування площини скидача з глибиною;
- для конседиментаційних скидів – різке збільшення товщини і повний розріз відкладів, що складають сейсмостратиграфічні одиниці в опущених крилах та клиноподібне зменшення і “випадання” окремих стратиграфічних рівнів у піднесеному, збільшення кількості горизонтів відбиття в опущеному крилі, порівняно з піднесеним;
- для постседиментаційних скидів – однакова часова товщина сейсмостратиграфічних одиниць в обох крилах;
- для поверхтових скидів – послідовне припинення простеження відбиттів вище площини зриву, лінійновитягнута зона інтерпретаційного запису, погіршення простеження відбиттів нижче порушення.

4. До головних критеріїв виділення підкідів та насувів відносяться:

- для січних (ремпи) підкідів – переривання відбиттів та зміна додатньої кривизни границь на від'ємну; наявність у піднесеному крилі асиметричних антиклінальних складок та складної хвильової картини; від'ємна кривизна границь у скинутому крилі, нахил площини розриву в сторону піднесеного крила і виположування його з глибиною;
- для поверхтових (флети) – наявність лінійновитягнутої зони інтерференційного запису; розриви і антиклінальні перегини горизонтів вище та незмінна хвильова картина нижче розриву;
- для насувів – наявність січної та поверхтової складових, виположування площини розриву в сторону кореню насуву, складна хвильова картина в головних частинах алохтонів і відносно проста в панцирі покриву та автохтоні, рефракція в зоні розриву, наявність тилових складок;

5. До головних критеріїв виділення гравігенно-тектонічних розривів слід віднести:

- зміну рисунка сейсмічного запису в зоні порушення з незмінного у незаторкнутих товщах на бугристий або хаотичний;
- зміна кривизни границь в зоні порушення та наявність інтерференційного запису;

- різке виположування площини розриву на рівні дестачменту;
- наявність антиклінальних складок в головних частинах пластин.

6. При вивченні порушень інверсійного типу необхідно виділяти ділянки субповерстрових і січних розривів, вивчати форми і асиметрію структур, аналізувати рисунок сейсмічного запису і товщини в різних крилах.

На думку автора використання розроблених в рамках дисертаційної роботи критеріїв визначення типів тектонічних порушень, геолого-геофізичної та сейсостратиграфічної моделі СЛП Південного регіону України підвищить якість інтерпретаційних робіт. Тому в главі 4 наведено приклад використання результатів досліджень при уточненні геологічної будови відкладів нижньої крейди Північнокримського рифтогенного прогину, виділенні бортових палеоскидів, блоків рифту.

## РОЗДІЛ 4

### ОСОБЛИВОСТІ ГЕОЛОГІЧНОЇ БУДОВИ

### ПІВНІЧНОКРИМСЬКОГО РИФТОГЕННОГО ПРОГИNU

В роботах багатьох авторів [9, 67, 43, 47, 80 та ін.] розглянуто деякі аспекти геологічної і тектонічної будови Північнокримського рифтогенного прогину. Проте інтерпретації сейсмічних матеріалів з побудовою структурних карт по різних рівнях в межах усього прогину з точки зору його рифтогенної природи зроблено не було. З таких позицій сейсморозвідувальні матеріали в межах суходолу Кримського півострова розглянуто в виробничих звітах КГФЕ «Кримгеофізика» [53, 100, 129] і практично відсутні по морській частині рифту. Тому в межах дисертації вперше розглянуто сейсморозвідувальну інформацію, яка отримана в межах усього прогину, з позицій його рифтогенної будови.

Згідно [75], рифтогенні прогини обмежені бортовими палеоскидами лістричної кінематики та складаються з декількох блоків різної тетичності, горстів та грабенів. В складі осадових відкладів рифтів необхідно виділяти дорифтові, синріфтові та постріфтові комплекси.

Розгляд сейсмогеологічної інформації з таких позицій дозволить більш однозначно визначити перспективи нафтогазоносності Північнокримського рифту.

Північнокримський рифт займає центральну частину північно-західного шельфу Чорного моря і північну частину Кримського півострова (Рис.1.1). Лінійні розміри прогину близько 300x75 км. На південному заході грабен виклинюється в зоні Одеської структури, на північному сході через Чингульську сідловину з'єднується з Північноазовським прогином.

Судячи з стрибкоподібного росту товщини, а також вулканогенно-осадового складу розрізу, рифт утворився в середньо-пізньоальбському віці внаслідок задугового спредингу в тилу піддигу під Євразію Кримського терейну і Дзірульської плити. Швидкість нагромадження осадків в цей час

дорівнювала 530-660 м/млн. років [54]. За межами рифту на залишкових підняттях ці відклади мають товщину на порядок меншу, або відсутні взагалі.

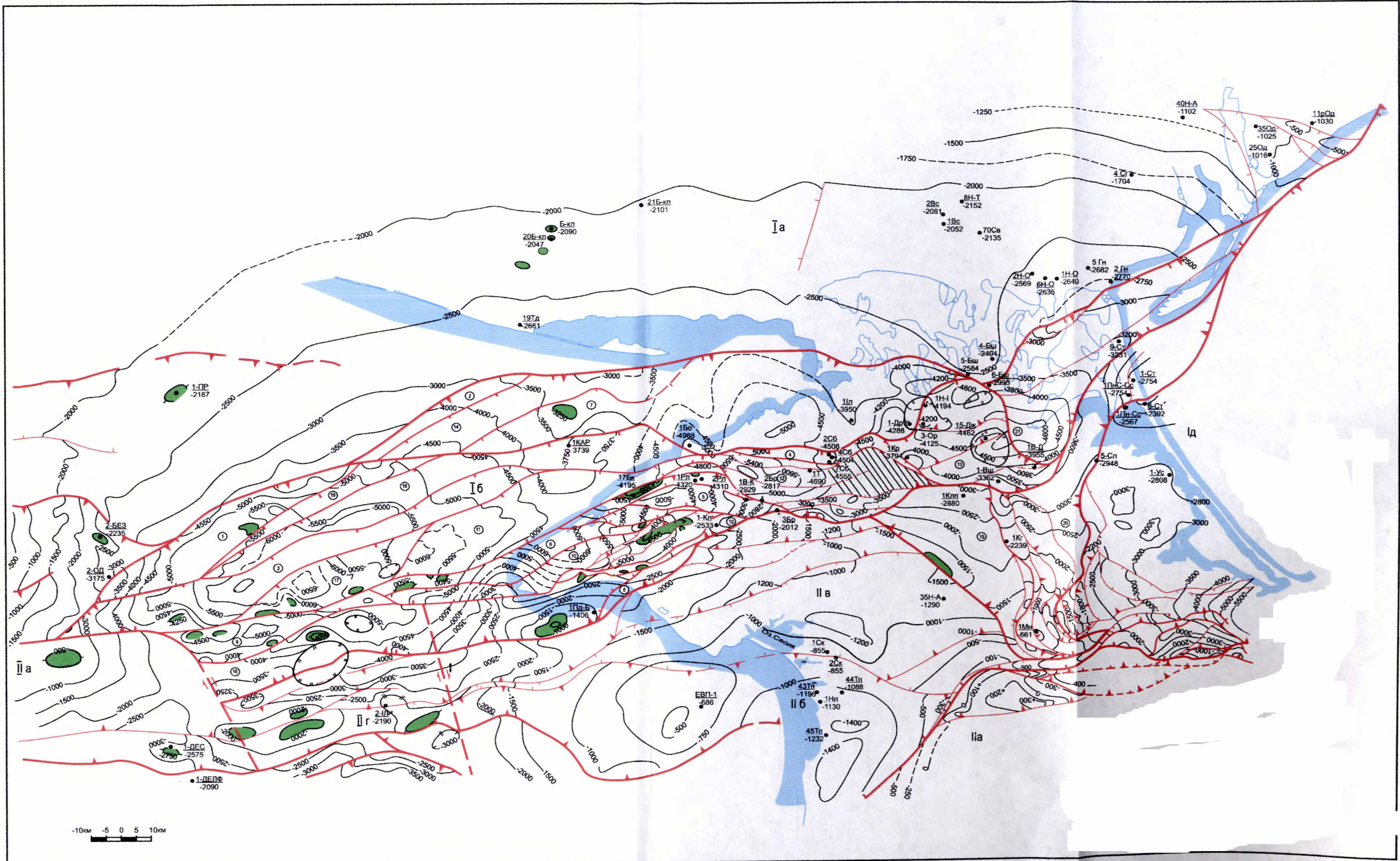
Треба відмітити, що більша частина інформації про геологічну будову мезо-кайнозойських відкладів отримана в результаті проведення бурових робіт і сейсморозвідувальних досліджень МВХ, МСГТ та КМЗХ в межах суходольної частини рифту. Морська частина прогину вивчена менш детально (особливо це стосується відкладів мезозою центрального грабену). Тому основні закономірності геолого-тектонічної будови Північнокримського рифтогенного прогину виявлено за матеріалами, отриманими в межах суходолу та розповсюджено на його морську частину.

При вивченні геологічної будови рифту та визначенні перспектив нафтогазоносності використовувались узагальнені сейсмостратиграфічні характеристики СЛП, критерії виділення типів тектонічних порушень, а також структурні карти горизонтів відбиття IV<sub>b</sub>(К<sub>1</sub>під.), IV<sub>a</sub>(К<sub>1</sub>покр.) та III<sub>a</sub>(Рпід.) масштабу 1:500000, що базуються на позиціях актуалістичної геодинаміки і які вперше побудовані автором в межах морської та суходольної частини рифту (Рис. 4.1, 4.2, 4.3)

#### 4.1. Тектонічна будова

В результаті інтерпретації геолого-геофізичної інформації в 90-х роках минулого сторіччя створена перша тектонічна схема Північнокримського прогину на основі геодинамічних уявлень [58]. Наступними дослідженнями ця схема уточнювалась і видозмінювалася [43, 50, 53].

Порівняльний аналіз першого варіанту з наступними показує, що уявлення про тектонічну будову Північнокримського прогину не перетерпіли суттєвих змін. Винятком є східна центрикліналь рифту. З часу створення першого варіанту схеми геологічна будова цієї частини рифту і характер його зчленування з Північноазовським прогином і Середньоазовським підняттям була дискусійною. З метою рішення цього питання в 2001-2002 р.р. були



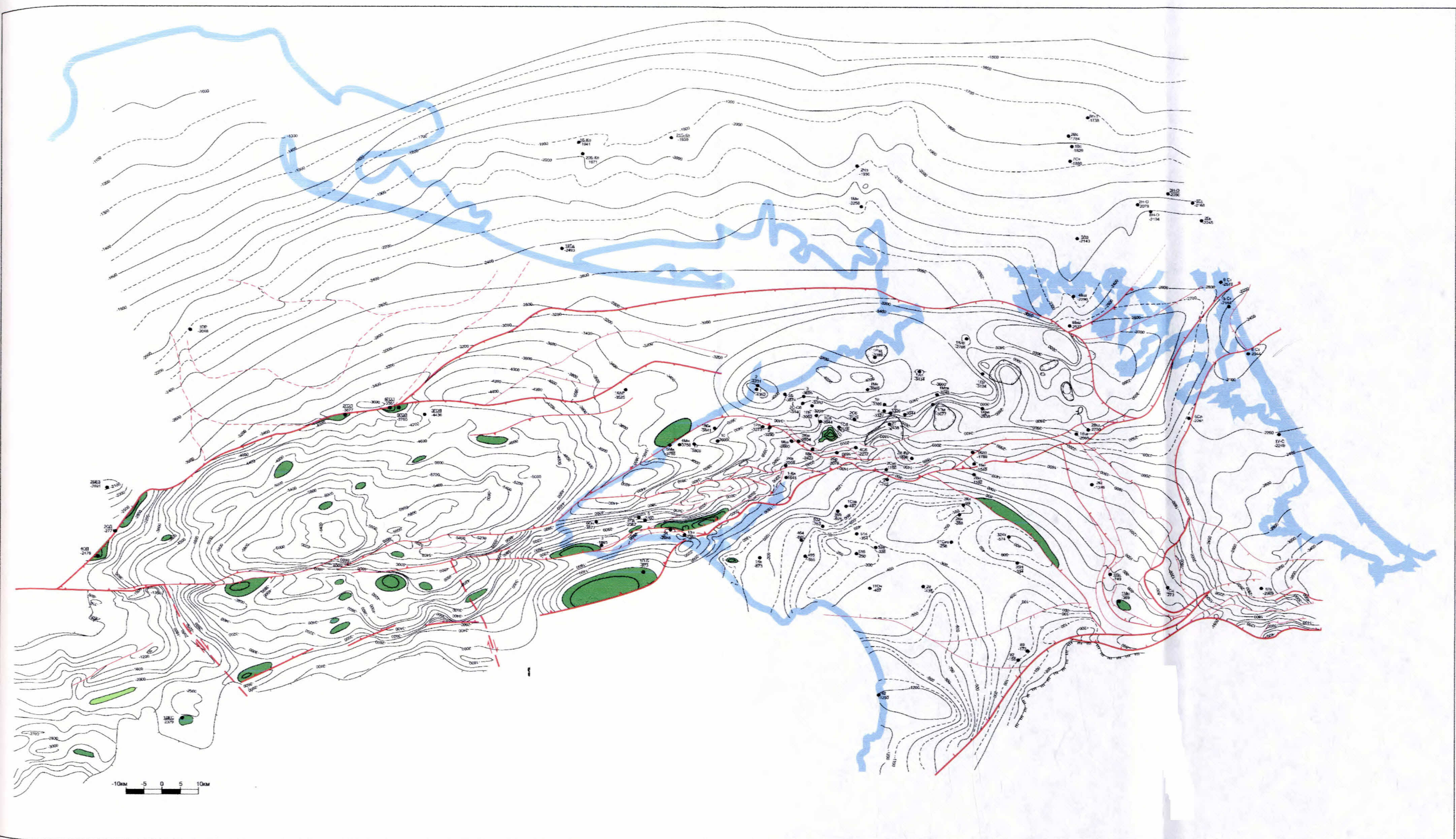


Рис. 4.2. Структурна карта горизонту відбиття IVa (К<sub>1</sub> покр.). Північнокримський рифтогенний прогин.

Склад С. В. Кольцов з використанням матеріалів ДАТ “Чорноморнафтогаз” та ДГП “Укргеофізика”, КГФЕ “Кримгеофізика”, 2007  
(Умовні позначення див. на дод. А).

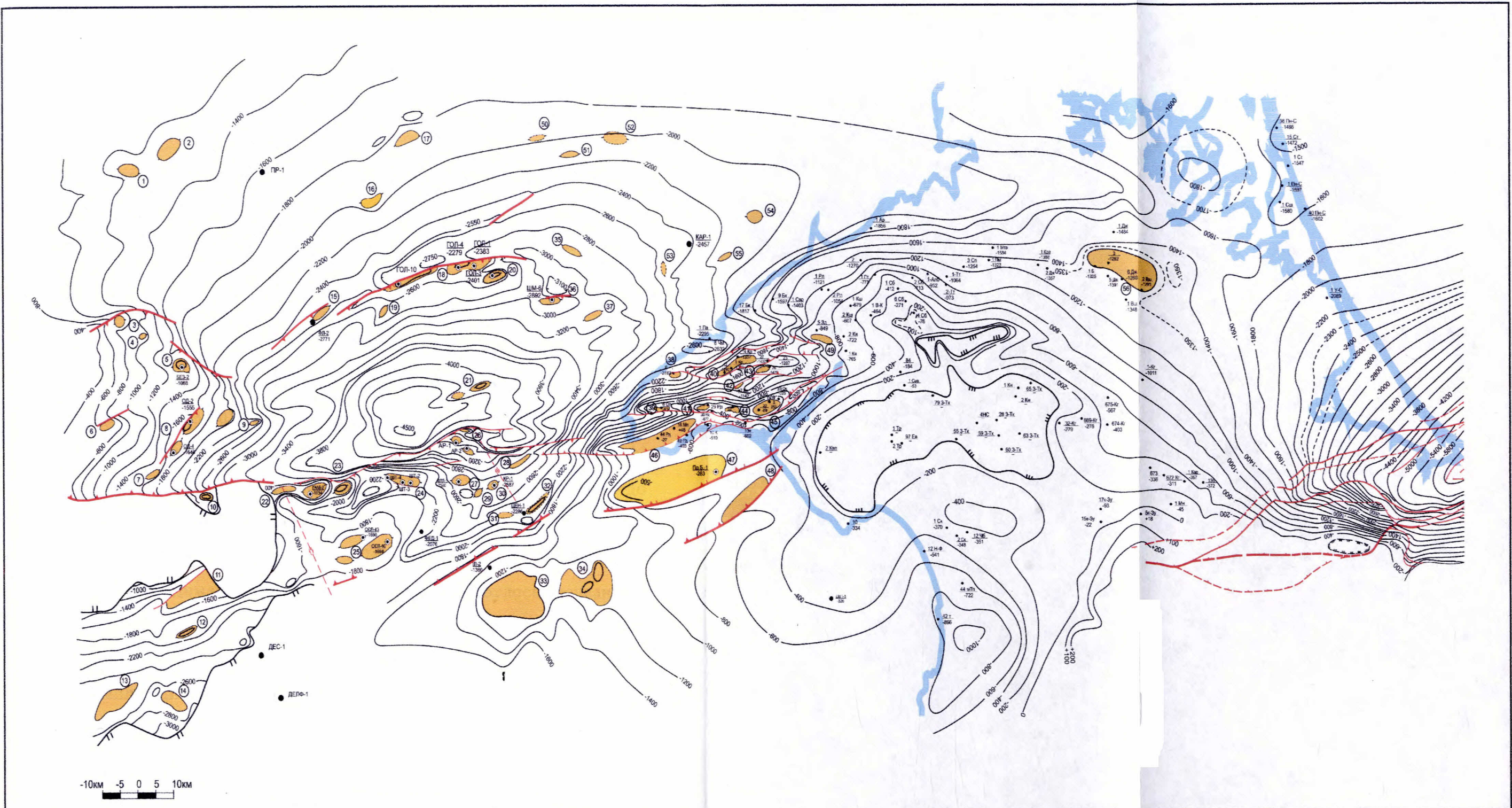


Рис. 4.3. Структурна карта горизонту відбиття Ша (Р<sub>1</sub>під.). Північнокримський рифтогенний прогин.

Склад С. В. Кольцов з використанням матеріалів ДАТ “Чорноморнафтогаз” та ДГП “Укргеофізика”, КГФЕ “Кримгеофізика”, 2007

(Умовні позначення див. на дод. А).

проведені польові региональні роботи МСГТ та перегляд геолого-геофізичної інформації, отриманої раніше [53]. Треба відмітити, що при цих дослідженнях для вирішення поставленого геологічного завдання при інтерпретації сейсмічних матеріалів використовувались сейсмостратиграфічні підходи, в тому числі аналіз хвильових картин та виділення тектонічних порушень за критеріями, які розроблені автором.

На думку автора, для правильного розуміння тектонічної будови Північнокримського прогину необхідно виділити та описати його складові, що характеризують його, як рифт.

#### 4.1.1 Бортові палеоскиди

**Північною границею** рифту є Причорноморський інверсійний палеоскид південного падіння (Рис.3.10), який впевнено простежується на часових розрізах МСГТ від району Одеської структури на північно-західному шельфі Чорного моря, через Голицинське родовище та Каркінітську затоку до Балашовського виступу в Присивассі (Рис.4.1).

Згідно розроблених критеріїв Причорноморський палеоскид класифікується, як конседиментаційний скид в зоні якого відбулося насування в північному напрямку. При цьому, в західному секторі амплітуда скиду дуже значна і досягає максимальних значень більше 2000 м в районі площини Голицина. Також значні амплітуди (200-250м) має підкідо-насув, який виник в зоні палеоскиду в результаті насування в кайнозойський час. В східному секторі амплітуда палеоскиду значно менша (до 350м), а насування на північ мінімальні (Рис. 3.10).

Від східної перикліналі Голицинської площини відгалужується на південний схід Голицинський скид південного падіння [97], який простежується до зчленування з Причорноморським розривом на південній границі Балашовського виступу. Треба відмітити, що в межах суходолу його амплітуда

значно перевищує амплітуду Причорноморського, тобто Голицинський розрив відіграє роль головного (600-700м та 350м, відповідно).

**Південною** **границею** рифту є крупноамплітудний інверсійний палеоскид північного падіння – Південнобортовий [89]. Він простежується від перетину з Причорноморським скидом в районі Одеської площини, по північному схилу Ільїчівського підняття і південніше півострова Тарханкут, до перетину з Причорноморським скидом в районі м. Джанкой [130].

Згідно розроблених критеріїв, на часових розрізах МСГТ цей розрив визначається як палеоскид з північним нахилом площини зміщувача амплітудою 1500-2000м (Рис. 3.23, 4.4) та різким збільшенням товщини нижньої крейди північніше палеоскиду. У відкладах верхньої крейди та палеогену цей розрив класифікується як підкідо-насув амплітудою біля 200-300м (Рис. 3.24, 4.4).

Причорноморський та Південнобортовий палеоскиди успадкували площини більш древніх тектонічних розривів [100]. Це пов’язано з накладенням рифтогенної структури Північнокримського прогину на зону Передскіфійського крайового прогину і Каркінітсько-Сиваського рифтогенного прогину тріасового віку [65].

На рисунку 4.5 наведено зіставлення часових сейсмічних розрізів МСГТ (2 профілі) з глибинними розрізами КМЗХ (3 профілі), виконаних трестом “Дніпрогеофізика” та Інститутом геофізики імені С.І.Субботіна НАН України в 60-х роках минулого сторіччя [131].

Усі лінії профілів проходять майже паралельно та перетинають Рівнинний Крим і Присивассє, приблизно поєднані по зоні Причорноморського інверсійного розриву, який є південною границею Південноукраїнської монокліналі з дорифейським кристалічним фундаментом та осадовим чохлом не древніше неоком-аптського віку.

Із зіставлення розрізів МСГТ і КМЗХ добре видно, що в зоні вказаного розлуму отримано близькі результати. Якщо на розрізах МСГТ видно, що Причорноморський розрив є північним бортовим скидом Північнокримського

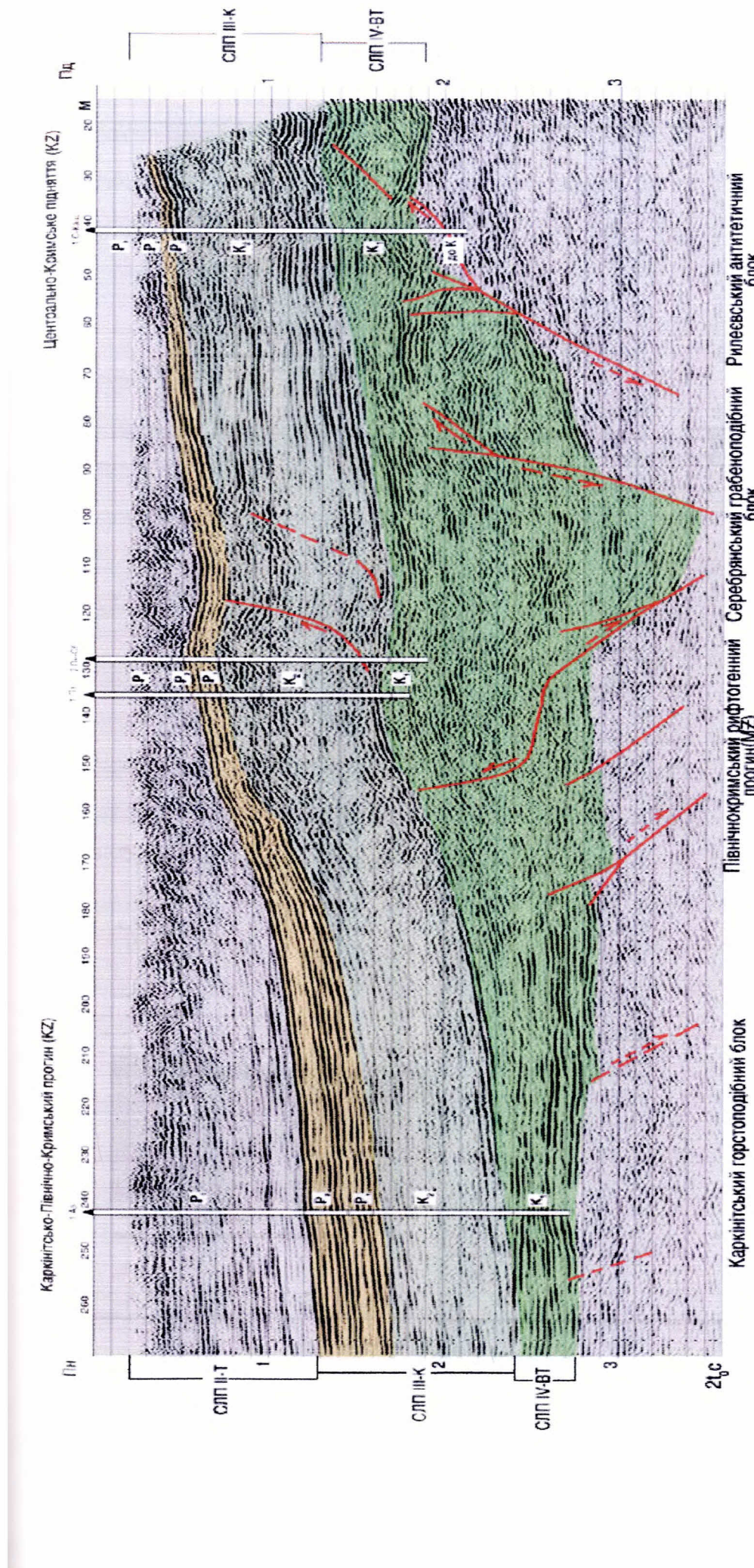


Рис. 4.4. Характер зчленування блоків Північнокримського рифту за М. Є. Герасимовим, 2002

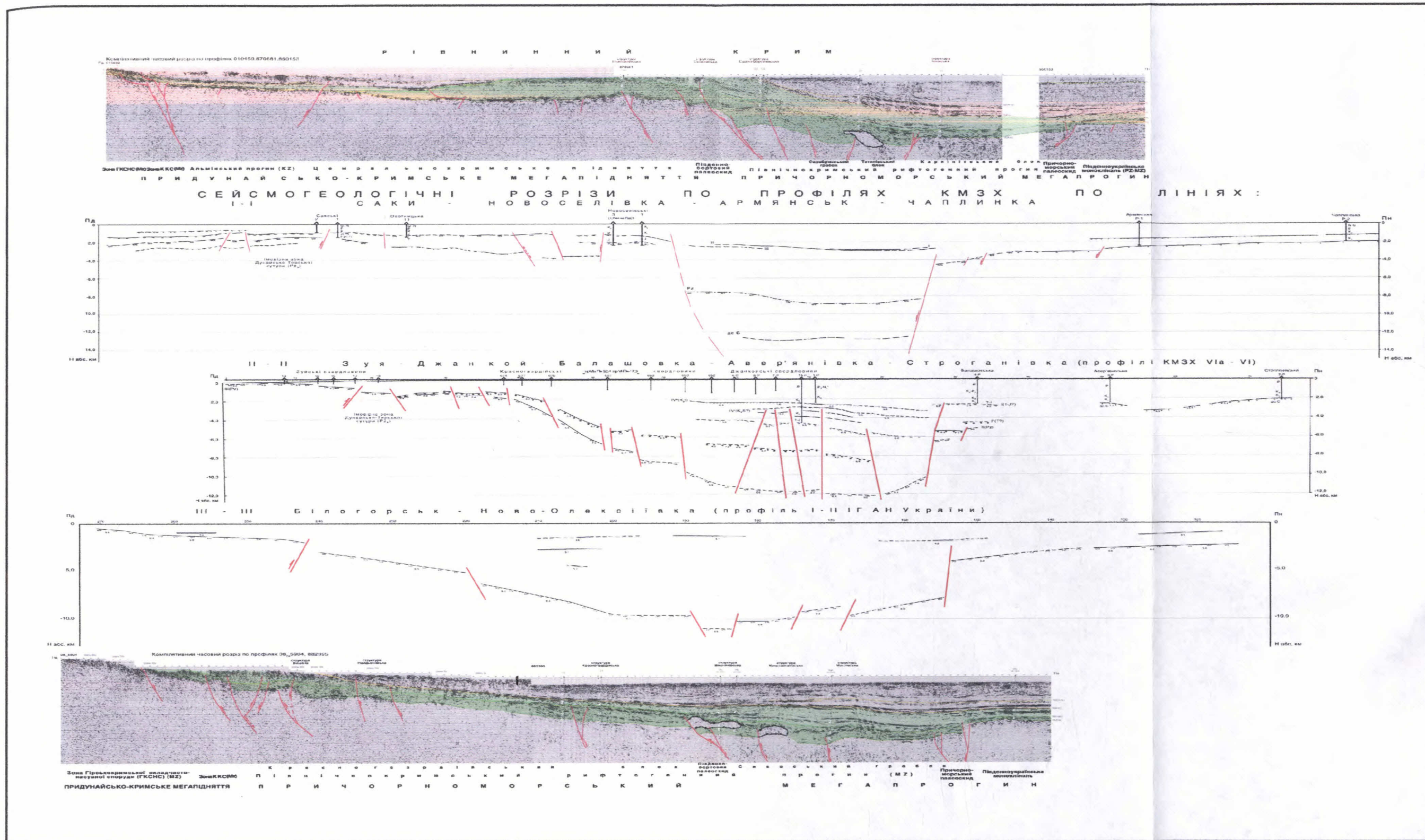


Рис.4.5. Співставлення часових розрізів МСГТ та сейсмогеологічних розрізів КМЗХ. Північно-Кримський рифтогенний прогин.

Склад С. В. Кольцов з використанням матеріалів тресту “Дніпрогеофізика” (1968) та КГФЕ “Кримгеофізика”, 2005

(Умовні позначення див. на дод. А)

рифту, то за розрізами КМЗХ його треба вважати бортовим палеоскидом і Каркінітсько-Сиваського рифтогенного прогину (грабену) тріас-юрського віку.

Найглибшій границі, яка залягає на глибинах більше 10-12 км, різними авторами приписувався різний вік – палеозойський або докембрійський [131].

Оскільки така ж відмінність припускалась і до Південноукраїнської монокліналі, де бурінням доведений дорифейський вік фундаменту, то найглибшу заломлюючу границю необхідно вважати як границю від поверхні кристалічного фундаменту, а границю на глибинах біля 8 км – покрівлею палеозойського комплексу. Високі граничні швидкості на цій границі (5700-6200 м/с) треба вважати наслідком тектоно-магматичної переробки комплексу при формуванні рифтогенних прогинів у тріас-юрський та крейдовий час.

При цьому допущенні товщина докрейдових утворень тріас-юрського віку в прогині може досягати 400-600м, а граничні швидкості в проміжних комплексах високі (до 6000 м/с), як наслідок подальшої тектоно-магматичної переробки. Зони головних палеоскидів також чітко виділяються за різкою зміною товщини нижньокрейдових відкладів [100].

Так, в зоні Південнобортового палеоскиду відбувається сходиноподібне збільшення товщини відкладів нижньої крейди в північному напрямку з 600-1000 м до 1800-2600 м. Причорноморський палеоскид характеризується зміною товщини від 100-200 м північніше нього до 800-1000 м південніше. В східному напрямку амплітуди палеоскидів зменшуються, зміни товщини стають менш помітними (100-200 м).

#### 4.1.2. Складові тектонічні елементи рифту

Згідно [75] в межах рифтогенних прогинів треба виділяти центральний грабен та бортові блоки, які, у свою чергу, можуть поділятися на більш дрібні горстоподібні, грабеноподібні, антитетичні та гомотетичні блоки.

Виходячи з аналізу товщини СЛП IV-BT (відклади нижньої крейди), як південний борт Північнокримського прогину треба розглядати північні та

центральні частини Центральноукраїнського та Іллічівського підняття, де розвинуті відклади цього віку товщиною до 600-1200 м, а як **північний борт** – південну частину Південноукраїнської монокліналі з товщиною нижньої крейди до 250 м [100]. Треба відмітити, що вищеназвані тектонічні елементи відносяться до бортів рифту лише по СЛП IV-BT. За більш древніми літодинамічними комплексами їх необхідно вважати частинами Передскіфійського крайового прогину (північний борт) та активної окраїни Скіфії (південний борт) [55].

На користь достовірності виділення бортів свідчать результати аналізу хвильових картин в межах СЛП IV-BT Центральноукраїнського і Іллічівського підняття [97], а також Південноукраїнської монокліналі [68]. Згідно цього аналізу інтервали нижньокрейдових відкладів в межах цих тектонічних елементів мають близькі рисунки сейсмічного запису (Рис. 2.12; 2.13) та інші сейсмостратиграфічні характеристики (Таблиця 2.2).

Як **приосьовий грабен** рифту слід розглядати Серебрянський грабеноподібний блок, в межах якого зафіковано максимальні глибини залягання підошви (Рис.4.1) та максимальні товщини СЛП-IVBT (більше 6000 м та 3500 м, відповідно) [129], а також зафікована хвильова картина, яка є типовою для усіх рифтогенних прогинів півдня України (Рис.3.12) (Таблиця 3.1).

Осьова зона рифту з максимальними значеннями глибини залягання горизонту відбиття IV<sub>b2</sub>(К<sub>1</sub>під.) проходить південніше Штормової площа (північно-західний шельф Чорного моря), південніше свердловин Борисівська 1, 2, через свердловину Серебрянська 8, яка при глибині вибою 5105 м не вийшла з відкладів альбу, а приосьовий грабен замикається на сході в районі свердловин Вишняківські 1, 2 (Рис.4.1).

Про дійсні значення глибини залягання підошви відкладів крейди в межах центрального грабену судити важко із-за невпевненості або відсутності інтерпретуючого матеріалу між двома зустрічнопадаючими палеоскидами (Рис. 4.1, 4.4, 4.5). Це пов'язано як з великими глибинами залягання горизонту відбиття IV<sub>b2</sub>(К<sub>1</sub>під.), так і наявністю високошвидкісних ефузивних утворень

палеовулканів, в межах яких відбувається суттєве погіршення якості сейсмічної інформації.

По більш молодому СЛП III-К спостерігається зміщення осьової зони прогину з півдня на північ (Рис. 4.2, 4.3) що пояснюється, з одного боку, “відкатом” осі прогину на північ із-за здіймання півдня регіону по мірі підсування під південну окраїну мезозойської Євразії спочатку палеотерейну Кримія, а потім палеомікроконтиненту Дзірулія з південного сходу на північний захід, а, з іншого боку, більш пізнім охолодженням найбільш зануреної північної окраїни слебу (або коро-мантійної суміші), що занурився під окраїну палеоконтиненту при субдукційно-колізійних процесах в середньоюрсько-нижньокрейдовий час [43].

Крім бортових скидів, за сейсморозвідувальними даними МСГТ упевнено виділяється і трасується ряд тектонічних порушень різного падіння, що ускладнюють будову як самого рифту, так і його бортів, та розбивають його на ряд блоків. Найбільш складною будовою, яка обумовлена тектонічною роздробленістю, характеризується зона Південнобортового палеоскиду та південний борт рифту. Північний борт має більш просту будову зі слабким моноклінальним здійманням горизонтів відбиття на північ в сторону Сивашей (Рис. 4.4, 4.5).

Блоки, на які розбито рифт, характеризуються великим діапазоном товщини СЛП IV-BT (від 100 м до 3400 м і більше). Найбільші товщини зафіковані в межах **грабеноподібних** блоків – Михайлівського, Тарханкутського, Північнотарханкутського, Серебрянського, Сиваського, Каркінітського та Середньосиваського. Ці блоки обмежені тектонічними порушеннями зустрічного падіння скидового типу лістричної кінематики і характеризуються на часових розрізах МСГТ наявністю відносно витриманих по площі відбиттів на великих часах (більше 3 с) (Рис.4.4) та підвищеними товщинами IV-BT по відношенню до блоків іншого типу (Тарханкутський –  $2000 \div 3000$  м, Серебрянський –  $1400 \div 3400$  м, Сиваський –  $1400 \div 2000$  м і т.п.) [100,129].

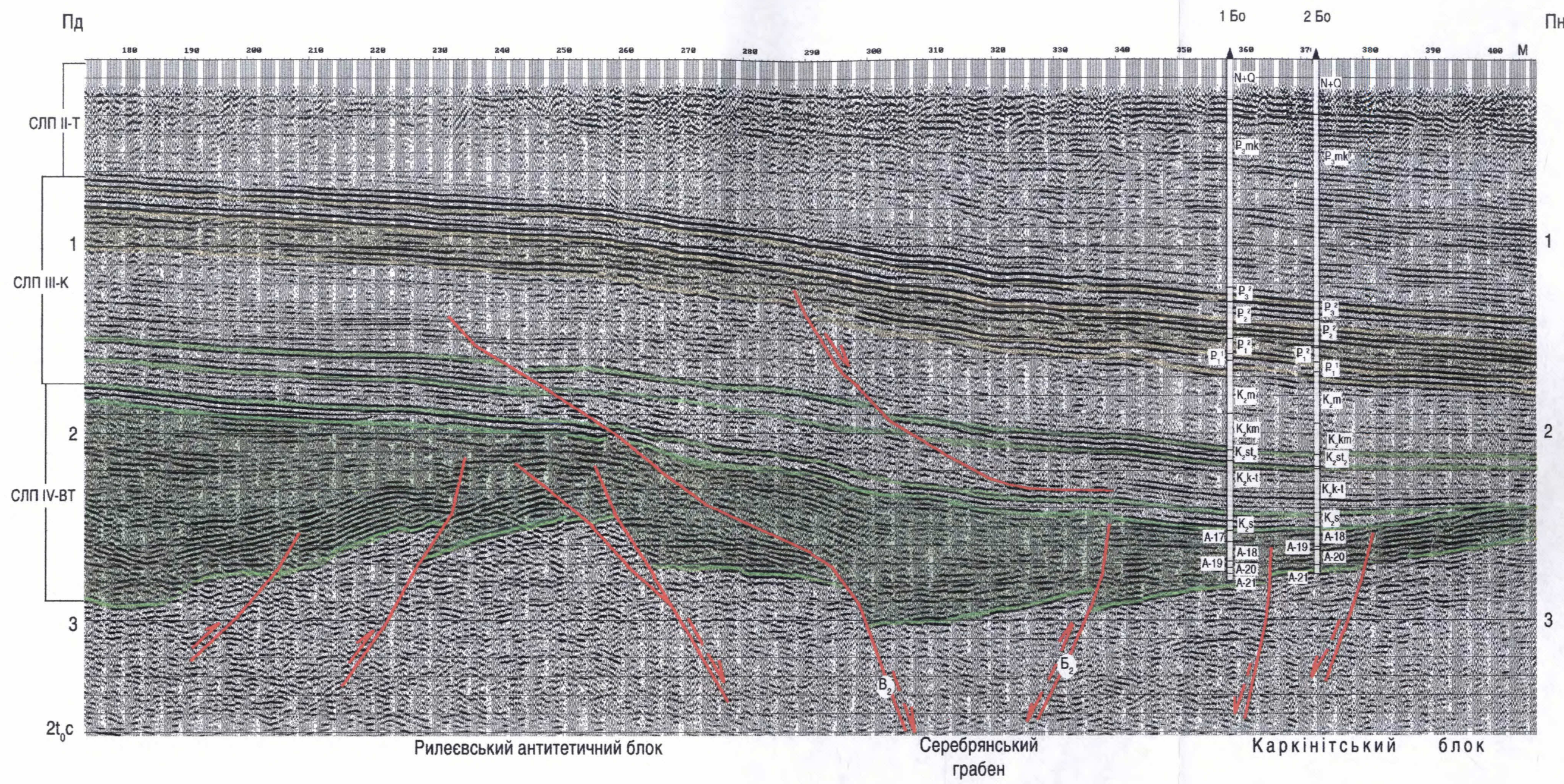


Рис. 4.6. Рилеєвський антигравітативний блок. (Фрагмент часового розрізу по профілю 931527).

Склад С. В. Кольцов з використанням матеріалів КГФЕ “Кримгеофізика”, 2005

В межах грабеноподібних блоків відмічаються антиклінальні перегини по горизонтах відбиття в СЛП III-К та II-T. Ці перегини тяготіють до зон палеоскидів, які обмежують окремі блоки, що пов'язано з ремобілізацією практично усіх тектонічних розривів Північнокримського прогину (як підкідо-насуви) на етапах стиснення.

Горстоподібні блоки – Каркінітський і Глібівський, характеризуються скороченими товщиною СЛП IV-BT (Глібівський 600-1000 м) порівняно з грабеноподібними. Границями цих блоків є інверсійні палеоскиди з протилежнопадаючими площинами скидачей.

Інші блоки в межах рифту є тетичними. Серед них виділяється шість **антитетичних** – Голицинський, Тендрівський, Шмідтівський, Тетянівський, Рилеївський та Октябрський, а також сім **гомотетичних** – Красногвардійський, Південнобортовий, Приосьовий, Південношмідтівський, Південноголицинський, Славненський та Стрілковський. Для тетичних блоків характерно клиноподібне зменшення товщини СЛП IV-BT. При цьому в межах антитетичних блоків зменшення товщини відбувається в сторону загального занурення (зменшення гіпсометричного ефекту нахилу верств). Так, в межах Рилеївського блока товщини нижньокрейдових відкладів зменшуються від 1600 м - 2000 м на півдні, до 400-800 м на півночі, в межах Тетянівського від 2400 м до 100 м. На рисунку 4.6 наведено часовий розріз по профілю МСГТ, який відпрацьований в межах Рилеївського антитетичного блока. Підкідо-насуви утворились в зонах палеоскидів, як тих, що обмежують блок, так і тих, що розбивають його на ряд більш дрібних, різко виположуються з глибиною, перетворююючись, в окремих випадках, в поверхтові зриви (Рис. 4.6, 4.7). При цьому товщини відкладів синрифтового комплексу збільшуються в південному напрямку, в сторону падіння скидів [97]. Для гомотетичних блоків характерно збільшення товщини в сторону загального занурення (збільшення гіпсометричного ефекту). Так, в межах Красногвардійського блока зафіковано зменшення товщини у південному напрямку від 1200 м до 600 м, а в Слав'янському від 1000 м до 400 м. Розвинуті ці блоки в південно-східній частині рифту [53].

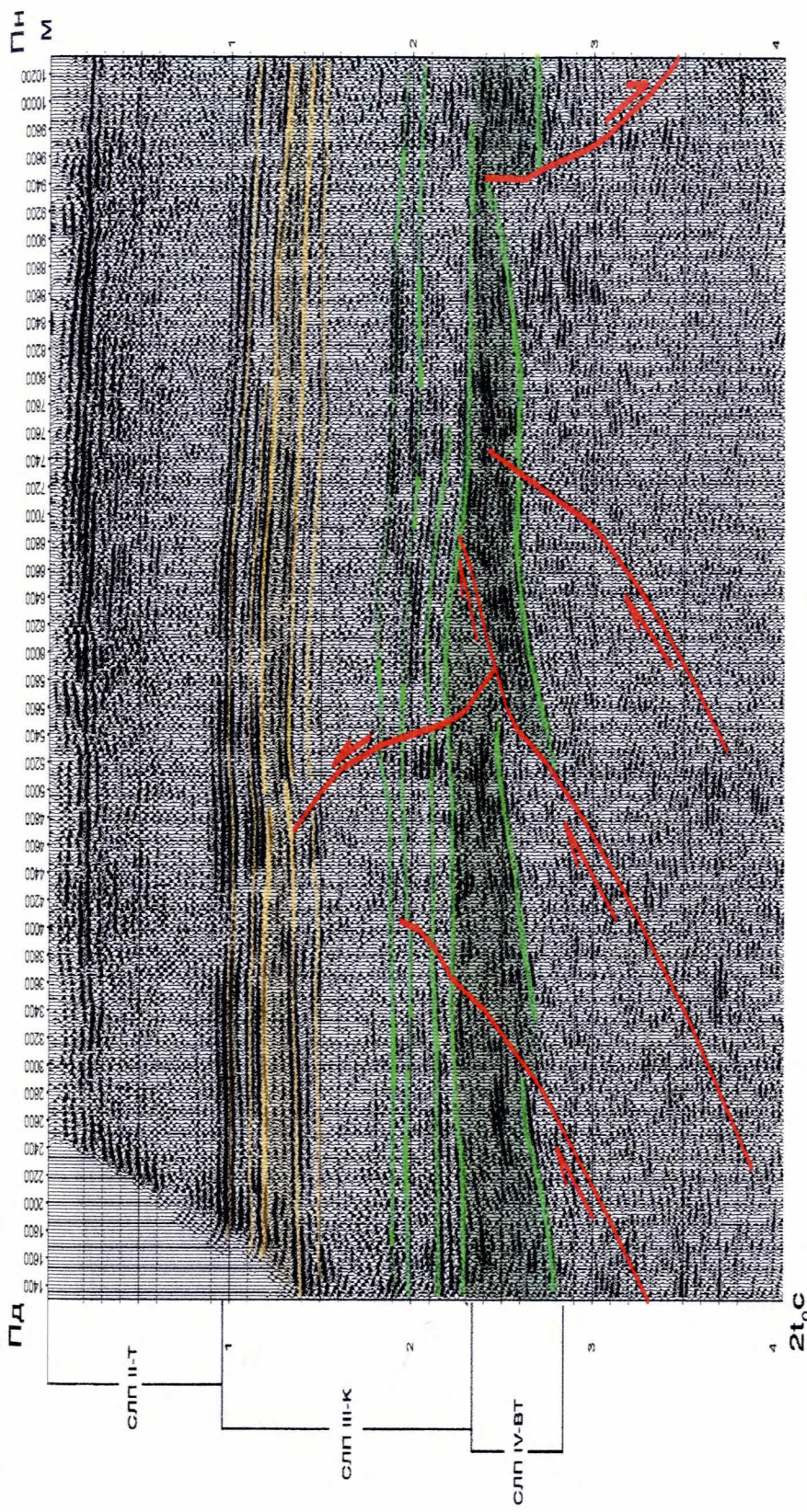


Рис. 4.7. Антитетичні пластини Рилевського блока.  
(Часовий розріз по профілю 010156. Бакальська площа).

Склад С. В. Кольцов та М. Є. Герасимов з використанням матеріалів КГФЕ  
“Кримгеофізика”, 2003

Тетичність блоків залежить від нахилу поверхні тектонічних порушень, які їх обрамляють. Згідно [120] плоскі або круті до низу поверхні сприяють повороту, згідному з напрямленням зміщення. Коли нахил поверхні виположується з глибиною, то відбувається поворот в протилежному напрямку відносно зміщення по скиду (антитетичний блок).

Приклад виділення гомотетичних блоків за сейсморозвідувальними даними наведено на рисунку 4.8. На часовому розрізі по профілю МСГТ 882395, відпрацьованому в межах Красногвардійської тераси, в районі свердловин 1 і 2 Красногвардійських виділяється ряд тектонічних порушень скидового типу. Площини розривів виположуються вверх по розрізу, що характерно для гомотетичних скидів [120]. Цими тектонічними порушеннями обмежені окремі гомотетичні блоки, що входять до складу Красногвардійського блока.

Спираючись на вищезазначені принципи виділення тектонічних порушень і блоків, а також аналіз хвильових картин, за сучасними сейсморозвідувальними матеріалами вдається виділити і впевнено просліджувати по площі тектонічні елементи різної ієархії та їх складові частини.

#### 4.2 Особливості геологічної будови східної центрикліналі

Східна перикліналь рифту характеризується відносно простою геологічною будовою порівняно з іншими частинами центрального грабену.

На рисунку 4.9 представлено фрагмент часового розрізу по профілю 882395, який характеризує східну перикліналь центрального грабену Північнокримського рифтогену. Північніше скиду В, в інтервалах СЛП IV-ВТ, фіксується хвильова картина, яка характерна для синрифтових товщ рифтогену - чергування різних по інтенсивності і протяжності субпаралельних відбиттів різної амплітуди і частоти. Згідно досліджень багатьох авторів [58, 62, 96, 100] підвищення інтенсивності і протяжності відбиттів на деяких ділянках свідчить про зростання піскуватості відкладів (пачки А-17, А-18 та ін.). Інтенсивні

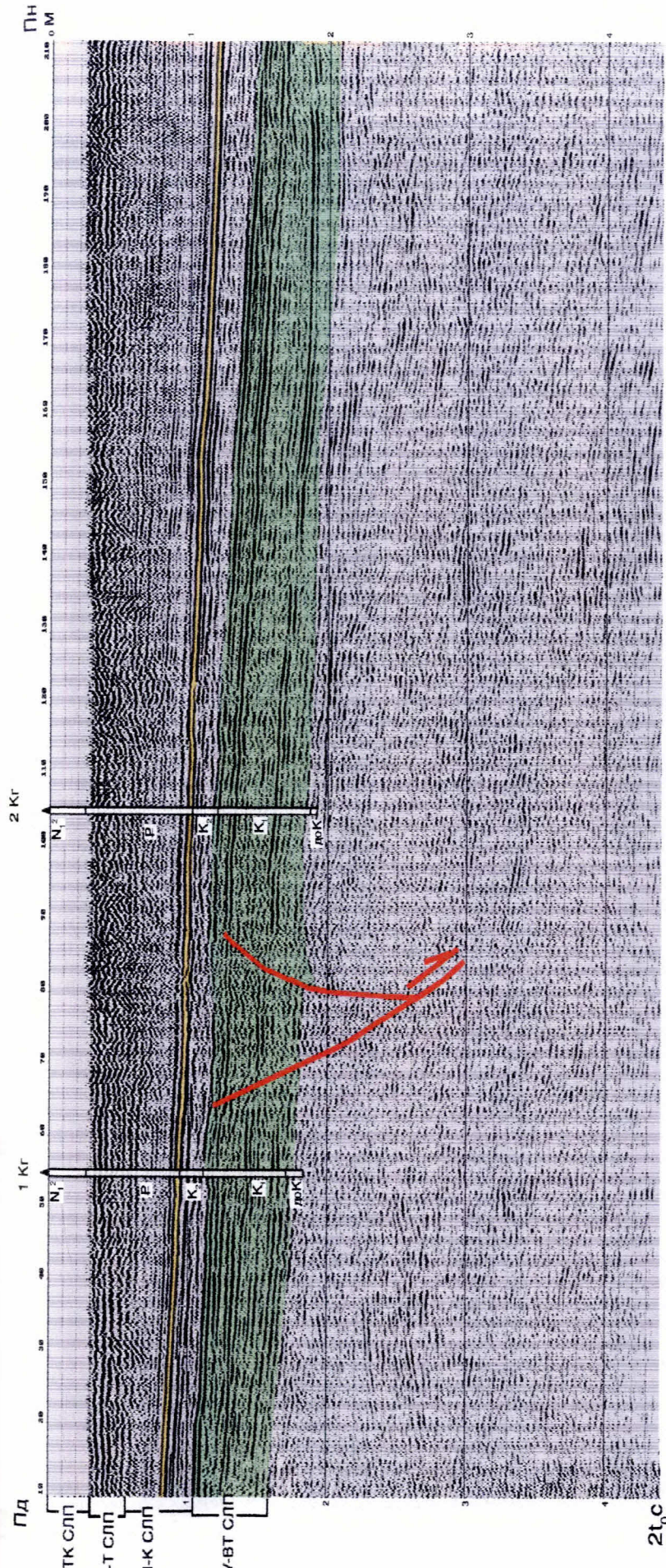


Рис. 4.8. Фрагмент часового розрізу по профілю 882395.  
Склад С. В. Кольцов та М. Є. Герасимов з використанням матеріалів  
КГФЕ “Кримгеофізика”, 2003

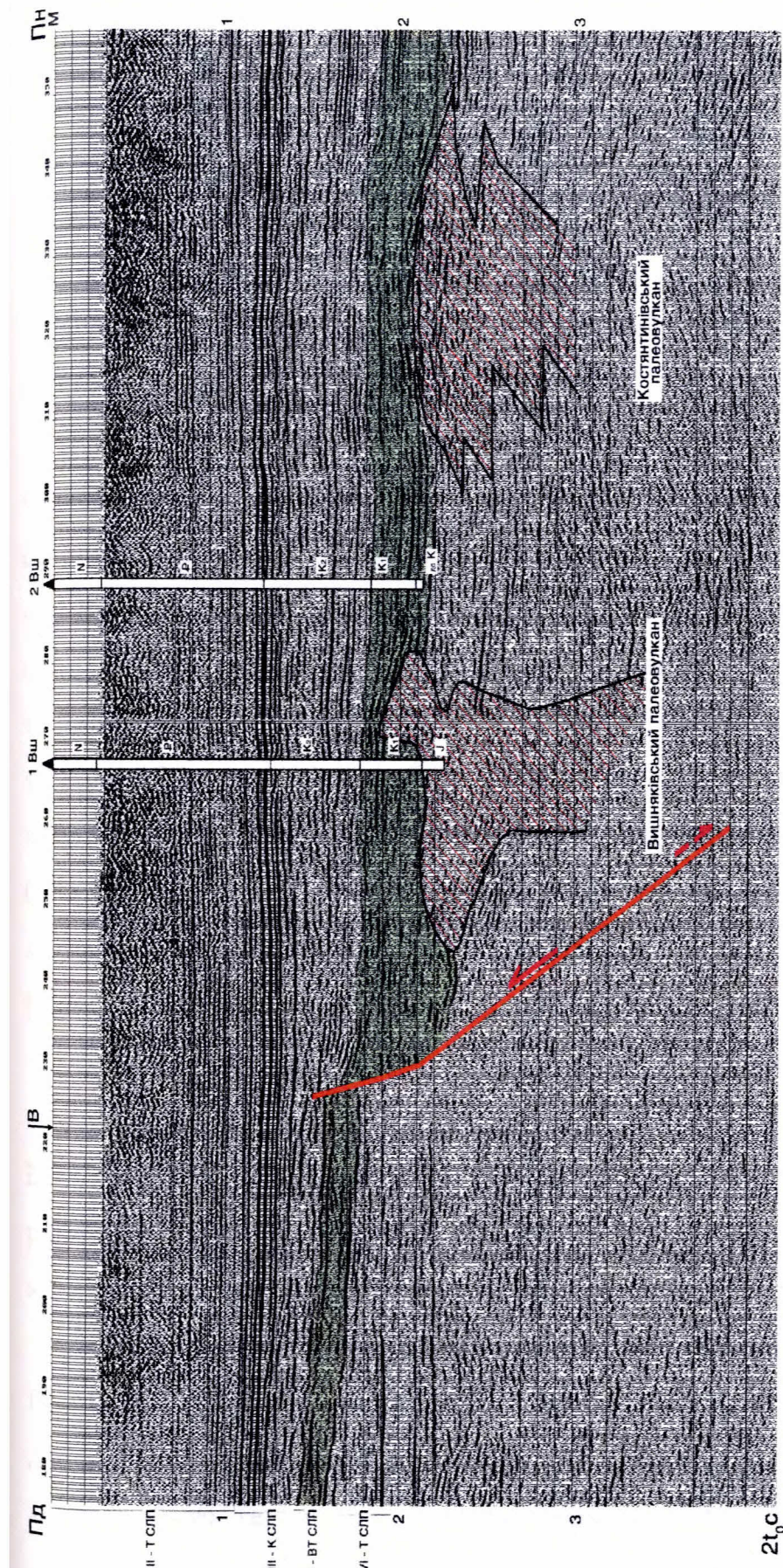


Рис 4.9 Східна перспективальна центральна гравюра Північнооксімського рибаку

Склав С. В. Кольцов та М. Е. Герасимов з використанням матеріалів КГФЕ “Кримгеофізика”, 2003  
(Фрагмент часового розрізу по профілю 882395).

відбиття, що зафіксовані в межах СЛП IV-BT (Рис.4.9 ПК 280-300), пов'язані з пісковиками неокомського віку, які розвинуті на цій території та розкриті свердловиною Вишняківська 2.

Південніше скиду В (ПК 180-220) в інтервалі СЛП IV-BT рисунок запису близький за своїми характеристиками до рисунка, який фіксується в межах суходольної частини південного борту рифту, на всій його протяжності від свердловини Знаменської 1 (Тарханкутський півострів) на заході до Східно-Джанкійських 1 та 2 на сході.

Геологічну будову східної центрикліналі ускладнюють масиви палеовулканів, які виділяються за даними сейсморозвідки. В районі свердловини Вишняківська 1 у відкладах юри та частково нижньої крейди відмічається зона з «німим рисунком» запису, що свідчить про відносну однорідність літологічного складу. За даними свердловин Вишняківська 1 та Джанкійська 15 в цій зоні розвинений магматизм ранньокрейдового (а, можливо, і юрського) віку. Про це свідчить і налягання горизонтів відбиття на покрівлю тіла (ПК 273-280) та наявність облікання вищезалігаючих горизонтів (ПК 270-275). Таке сполучення сейсмостратиграфічних характеристик близьке до зафіксованих в межах більшості палеовулканів Північнокримського прогину [96].

Головний північний бортовий скид Б (Причорноморський) в районі свердловин Східно-Джанкійські 1 та 2 зникається з Південнобортовим скидом В, утворюючи східну центрикліналь осьової частини Північнокримського рифтогену. Далі на північний схід просліджуються менш значні бортові скиди, які відносяться як до північного борту, так і до південного (Рис. 4.1, 4.2).

Таким чином, знайдена відповідь на питання про східне закінчення Північнокримського рифту, яке довго дискутувалось на різних етапах досліджень. Південніше палеоскиду В розвинутий південний борт прогину, який розбито тектонічними порушеннями на ряд блоків і характеризується меншими товщинами СЛП IV-BT порівняно з центральним грабеном.

Сейсмічний розріз по профілю 930428 (Рис.4.10) доводить сходинкову будову південного борту і вказує на відносно різкі скорочення потужності СЛП IV-BT і зміну рисунка сейсмічного запису порівняно з районом свердловин Вишняківська 2 та Джанкойська 15, тобто з зоною центрального грабену Північнокримського рифтогену.

На рисунку 4.11 зображено місцеположення палеоскиду, який ускладнює геологічну будову південного борту рифту північніше свердловини Стрілковська 6 і показує, що Стрілковське газове родовище в майкопських відкладах приурочено до локальної малоамплітудної структури південного борту рифтогену, яка утворилася на етапі тангенціального стиснення в зоні інверсійного підкидо-насуву.

Виділення скиду підтверджується збільшенням часової товщини СЛП IV-BT північніше Стрілковська 6 свердловини і різними рисунками сейсмічного запису по обидві сторони від порушень. Південніше скиду, в інтервалі СЛП IV-BT, фіксуються протяжні, середньої інтенсивності і амплітуди субпаралельні відбиття (ПК 30-70); північніше них інтенсивність, протяжність та амплітуда значно нижчі.

Слід відмітити, що в скинутому блоці поблизу підошви крейди на часі 2,0-2,1 с виділяється товща з хаотичним, місцями прозорим рисунком запису (ПК 70-180). Південніше порушення такого рисунка не зафіксовано. На думку автора, за рахунок товщі, яка характеризується таким рисунком запису, відбувається збільшення товщини СЛП IV-BT в межах скинутого блока.

Дуже цікавими є результати в районі свердловини Стрілковська 9, в якій за даними буріння встановлено збільшення товщини верхньокрейдових відкладів порівняно з свердловинами північніше та південніше. Свердловина 9 приурочена до приосьової частини східного продовження Північнокримського прогину і розташована в зоні між зустрічнопадаючими скидами  $B_1$  та  $V_1$  (Рис.4.1, Рис. 4.12). На користь цього свідчить і угнута кривизна горизонтів відбиття, які зафіксовані північніше скиду  $B_1$ , не дивлячись на те, що

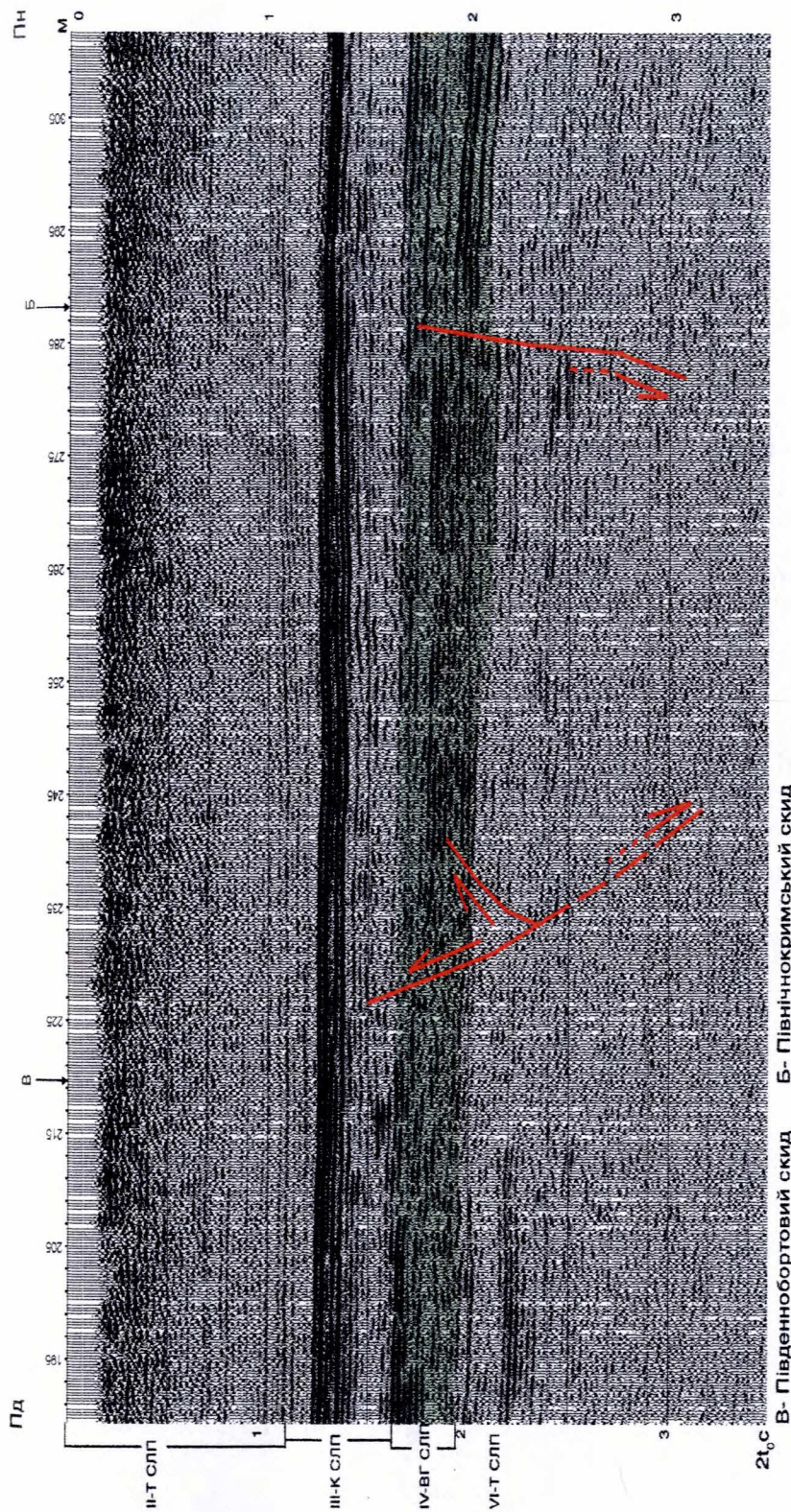


Рис. 4.10. Східне закінчення Північнокримського рифту.  
(Фрагмент часового розрізу по профілю 930428).

Склад В. Кольцов та М. Е. Герасимов з використанням матеріалів КГФЕ “Кримгеофізика”, 2003

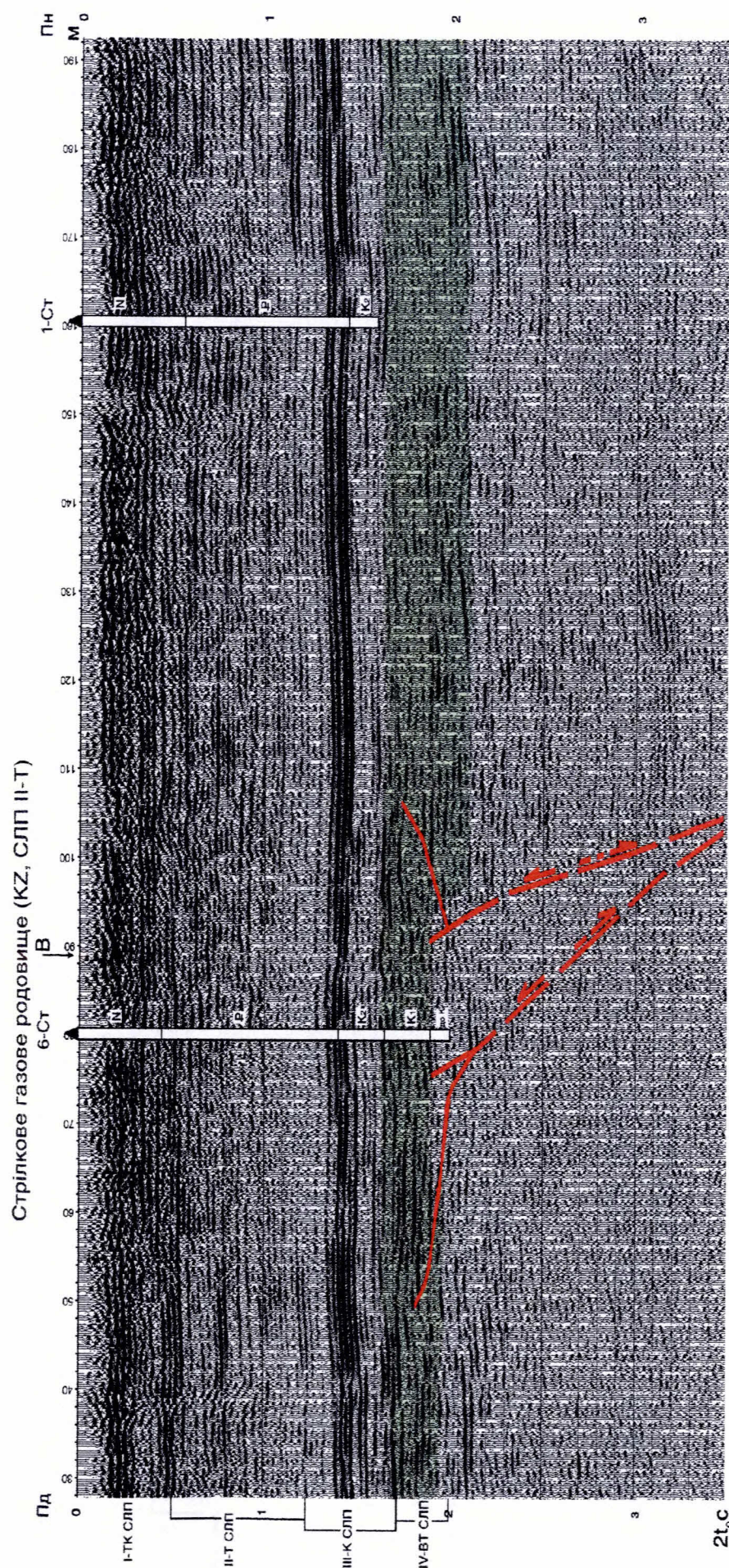
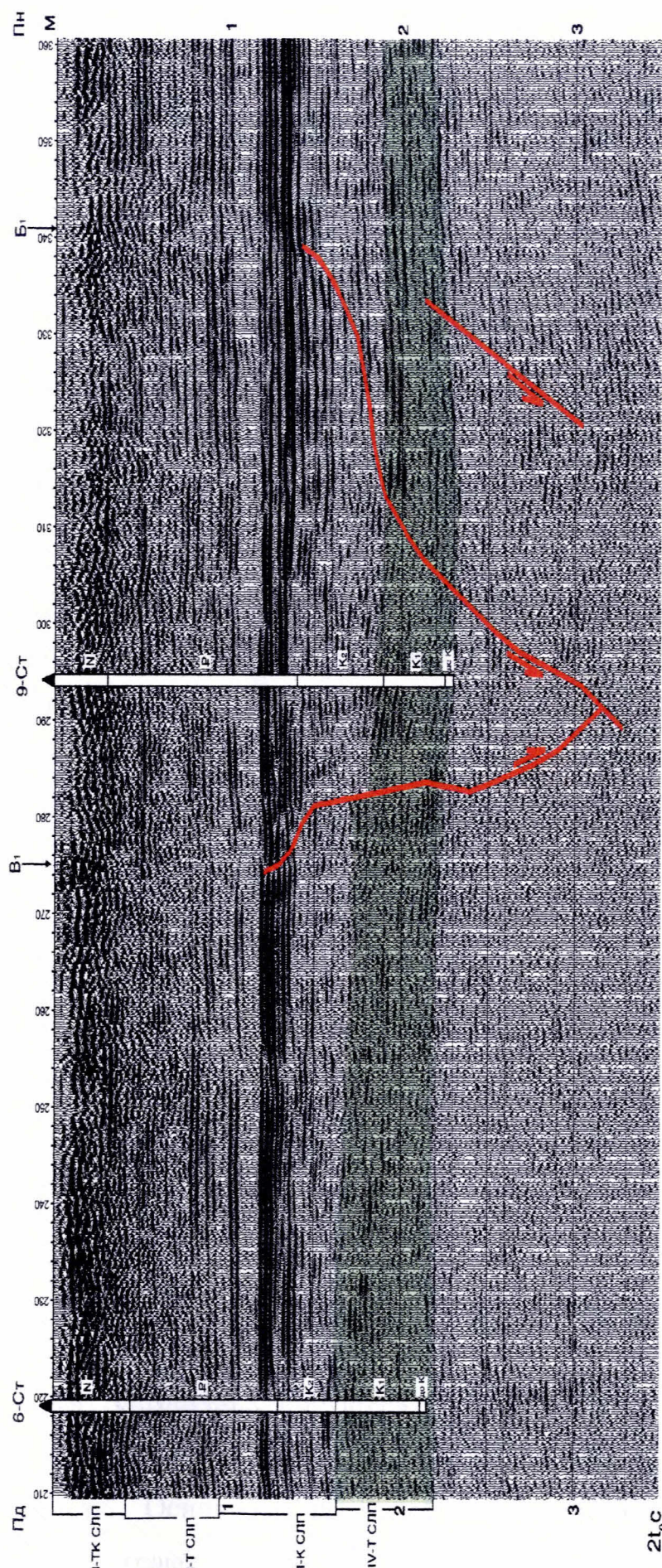


Рис. 4.11. Виділення Південнобортового палеоскиду.

(Фрагмент часовового розрізу 000457).

Склав С. В. Кольцов та М. Е. Герасимов з використанням матеріалів КГФЕ “Кримгеофізика”, 2003



$B_1$ ,  $B_1$  – Бортові скиди Північнокримського рифтогенного прогину.

Рис. 4.12. Приосьова зона східного продовження Північнокримського рифту.

(Фрагмент часового розрізу 000457).

Склав С. В. Колъцов та М. Е. Герасимов з використанням матеріалів КГФЕ “Кримгеофізика”, 2003

відмінності в хвильовій картині, які відносяться до нижньокрейдових відкладів, не помічаються.

Крім головних тектонічних розривів, за сейсмічними даними виділяється низка малоамплітудних палеоскидів, які було ремобілізовано як інверсійні підкідо-насуви, що контролюють зони ускладненого рисунка сейсмічного запису та зони опуклої форми у відкладах крейди, а іноді і палеогену (Рис. 4.13, ПК 80). В результаті проведених досліджень встановлено існування скидів на північному борту Північнокримського рифту в Приазов'ї та в північно-західній частині Азовського моря, що підтверджується результатами робіт по профілю МСГТ 010557, який відпрацьований на схід від свердловини Генічеська 10 до Приазовського газового родовища [67].

Привертає увагу ділянка профілю між ПК 660-750 наявністю антиклінальних перегинів в нижній частині осадового чохла (Рис.4.14). Перегини просліджуються в часовому інтервалі від 0,9 до 1,1 с, що відповідає осадовим докрейдовим відкладам. На користь осадового походження цієї товщі свідчить різка різниця рисунка сейсмічного запису, яка зафікована в утвореннях фундаменту (AR) та осадочного чохла. Для первих характерний "німий" рисунок, без відбиттів ( $t_0$  більше 1,1 с), для інших - інтенсивні, низькочастотні, високоамплітудні відбиття. Покрівлею пачки цих відбиттів є горизонт IVб<sub>2</sub>(К<sub>1</sub>під.). Вік відкладів, до яких приурочені ці відбиття, визначити складно із-за невивченості їх бурінням. Можна передбачити, що антиклінальні перегини могли виникнути на етапі стиснення в пізньопалеозойський або верхньоюрсько-крейдовий час.

#### 4.3 Геологічна будова літодинамічних комплексів крейдового віку

Крім тектонічних порушень та блоків, за сейсмічними даними МСГТ упевнено виділяються комплекси відкладів, що утворилися на різних етапах рифтогенезу. Основним критерієм виділення цих комплексів є аналіз сейсмостратиграфічних характеристик, який спирається на результати

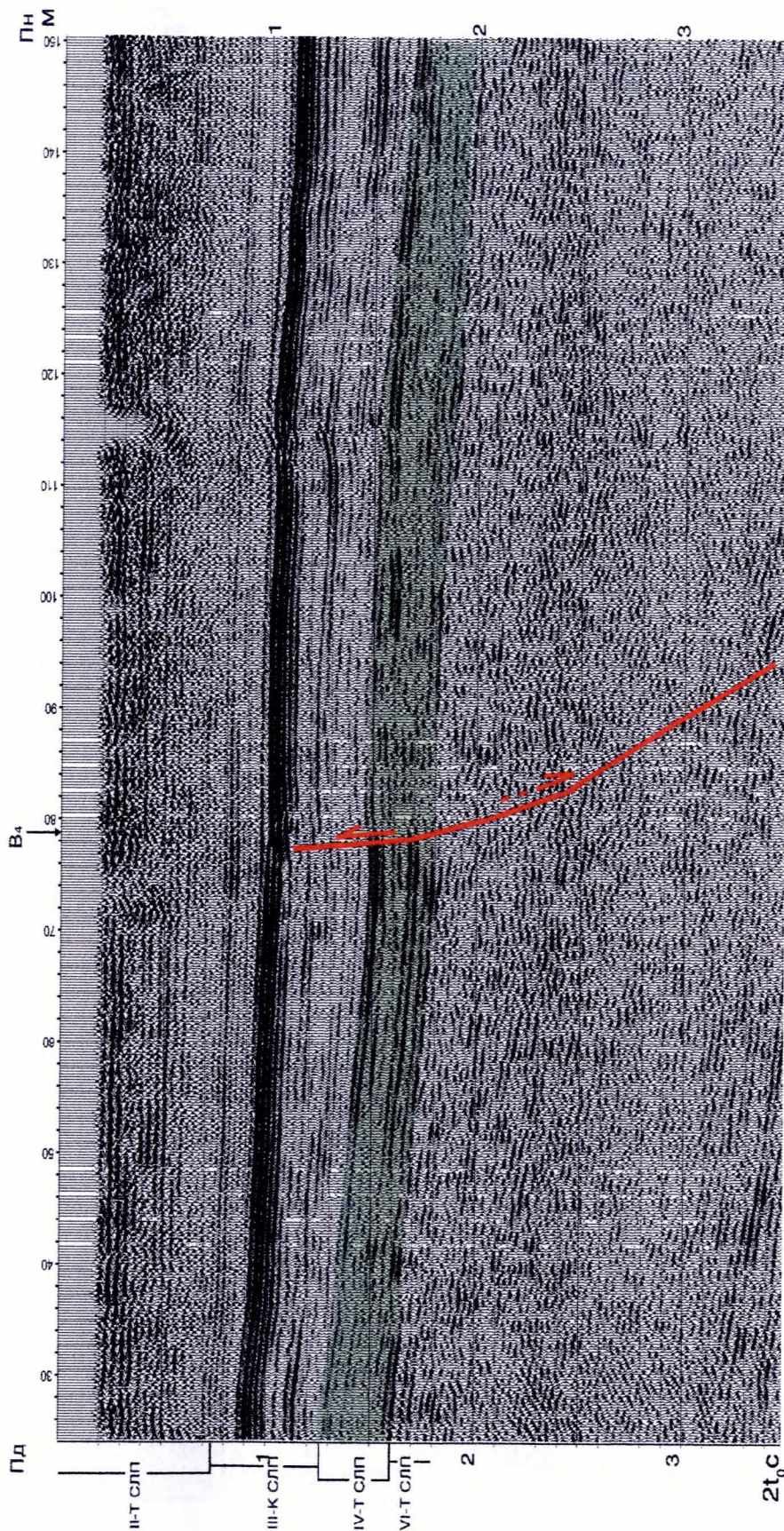
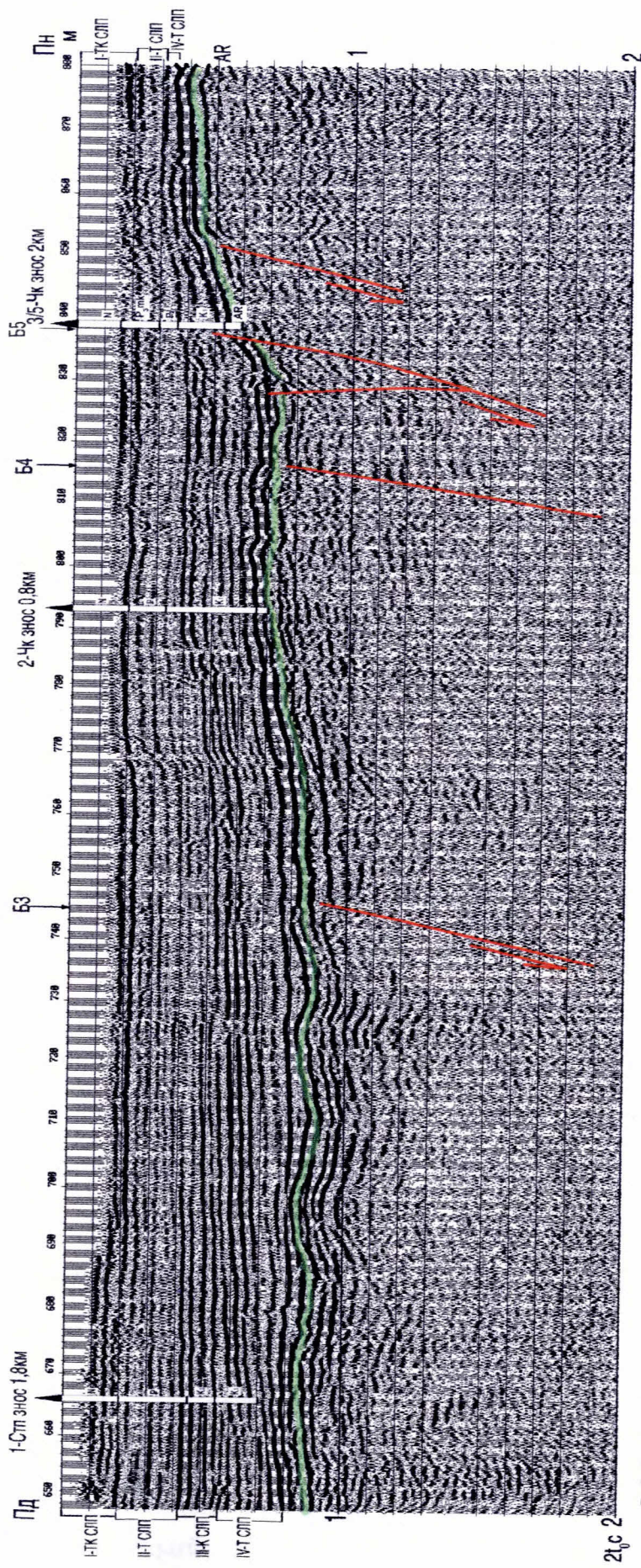


Рис. 4.13. Малоамплітудний палеоскид Південного борту Північнокримського рифту.

(Фрагмент часового розрізку по профілю 920228).

Склад C. B. Кольцов та M. E. Герасимов з використанням матеріалів КГФЕ “Кримгеофізика”, 2003



глибокого буріння. В складі порід мезозой-кайнозойського віку треба виділити відклади дорифтового, синрифтового і пострифтового комплексів, тобто комплекси рифтогенів.

В дорифтовому комплексі достовірно встановлені середньоюрські (СЛП VI-T) та неоком-аптські (КССК IV<sub>b1</sub>-b<sub>2</sub> СЛП IV-BT) відклади, розкриті свердловинами як в межах рифту, так і на його бортах і представлені шельфовими (СЛП VI-T), континентальними та мілководними (КССК IV<sub>b1</sub>-b<sub>2</sub>) фаціями. Літологічно ці відклади представлені вуглисто-глинистими сланцями з проверстками алевролітів, пісковиків, діабазів і туфітів, які переходять вверх по розрізу в субконтинентальні уламкові відклади конусів виносу дельт і озер неоком - аптського віку [43]. Ця товща відповідає початку формування з передрифтового підняття задугового басейну.

Комплекс відкладів синрифтового етапу розвитку (КССК IV<sub>a</sub>-b<sub>1</sub>) представлений морськими фаціями заповнення. Літологічно це переважно темнокольорові глини з проверстками алевролітів, вулканоміктових пісковиків, туфів і туфітів. Загальна товщина цього комплексу складає більше 3200 м. За межами рифту на залишкових підняттях ці відклади мають товщини значно менші (до 400-500 м), або вони відсутні [97].

Вище синрифтової товщі залягає комплекс порід пострифтового етапу. В його складі виділяється перехідний і синеклізний комплекси.

До перехідного комплексу відносяться фації мілководного шельфу сеноман-сантонського віку (КССК III<sub>w-g</sub> СЛП III-K). За межами рифту ці відклади мають незначну товщину або відсутні повністю. Сумарна товщина комплексу досягає 1000 м.

Субплатформні карбонатні відклади кампан-маастрихту (КССК III<sub>a-b</sub>, СЛП III-K) складають синеклізний комплекс. Ця товща суцільним чохлом перекриває рифт і його бортові блоки. Товщина комплексу в зоні рифту досягає 600 м [43, 100].

Дорифтовий, синрифтовий і проміжний комплекси несуть на собі, в основному, сліди розтягнення. Основними тектонічними елементами є горсто -

і грабеноподібні та гомо - і антитетичні блоки, обмежені палеоскидами. Антиклінальні складки в цих комплексах зафіксовані в зонах інверсійних підкидо-насувних дислокаций, що виникли в результаті тангенціального стиснення.

Синеклізний комплекс несе на собі сліди як плікативних, так і діз'юнктивних дислокаций. Останні утворилися на етапах тангенціального стиснення олігоцен-неогенового віку [43, 44].

Основним джерелом тангенціальної напруги тут були гравігенні сили, котрі, в свою чергу, є похідними дивергентної і конвергентної взаємодії літосферних плит. Чим контрастніше відбуваються ці явища, тим інтенсивніше діють гравігенні сили на схилах піднятій і бортах рифтогенних прогинів [128]. В перекриваючому комплексі Північнокримського рифту всі гравігенні структури мають північну вергентність, тобто гірська маса порід під дією гравігенних сил повертсвово переміщалась з північного схилу Каламітського підняття через південний борт і до обмежуючого скиду північного борту рифту. Основні пошарові переміщення відбувались по підошві карбонатної товщі верхньої крейди. Якщо на шляху руху маси гірських порід в субстраті зустрічались тектонічні або магматогенні виступи чи уступи, то в алохтоні утворювались субвертикальні підкиди і косі складки. Останні мають завжди більш круті північні крила. Прикладом таких дислокаций можуть служити пасма структур: Гамбурцева – Архангельського, Флангова – Голицина, Осетрова – Партизанська [43].

Крім осадових порід, в межах Північнокримського прогину бурінням встановлена наявність ефузивних і вулканогенно-кластичних утворень масивів палеовулканів.

Масиви палеовулканів, в більшості випадків, упевнено виділяються на часових розрізах МСГТ (Рис.4.15) і оконтурюються в плані. Їм, як правило, відповідають локальні аномалії магнітного поля. Виняток складають масиви палеовулканів центральної частини рифту (Приосьовий, Північнотарханкутський та ін. блоки). В магнітному полі їм відповідають слабкоградієнтні аномалії, або

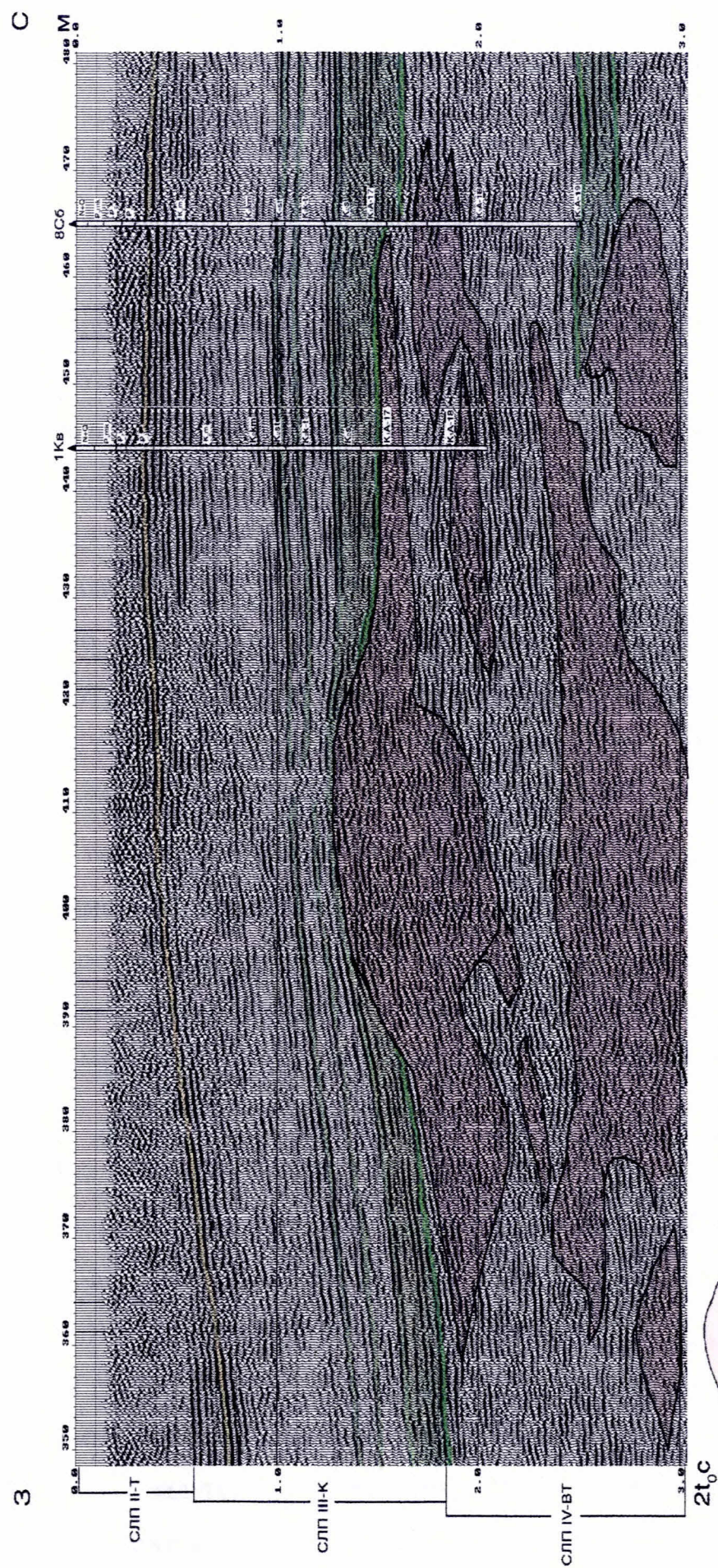


Рис. 4.15. Характер хвильової картини у межах масиву Соколинського палеовулкану Серебрянського грабену.

(Часовий розріз по профілю 921927. Серебрянська площа).

Склав С. В. Колъцов та М. Є. Герасимов з використанням матеріалів КГФЕ “Кримгеофізика”, 2003

вони взагалі не відображаються [58]. Палеовулкани західної і центральної частин рифту заторкують відклади нижньої крейди, в окремих випадках досягаючи відкладів кампану (Олексіївський, Красноярський та ін.). В східній частині вулкани більш древні та перекриті відкладами альбу (Краснoperекопський, Північно-Джанкойський та ін.). Різний вік і літологічний склад вулканічних утворень свідчить про різні джерела їх генерації. На користь того, що Північнокримський рифтогенний прогин утворився на різних етапах рифтогенезу, свідчить і його форма (Рис. 3.29). Східна частина рифту (Каркінітський, Сиваський, Серебрянський, Славненський і Красногвардійський блоки) мають північно-західне простягання. На меридіані Бакальської коси рифт звужується, а простягання центральної і західної частин змінюється на південно-західне.

Згідно [58] східна частина Північнокримського прогину відображає процес задугового рифтингу при причленуванні Гірськокримського терейну до Євразії. Решта частина прогину відповідає етапу причленування палеомікроконтиненту Дзирулія шляхом підсування між мікроконтинентом Мъозія і терейном Кримія (як краєм Євразії) [44]. При цьому в зоні Гірськокримського терейну формувалась невулканічна острівна дуга, а в зоні Центрально-Кримського підняття міждуговий прогин. Вулканічна дуга формувалась в зоні Каламітського валу, про що свідчать магматити, зустрінуті в свердловинах 2 Ільїчевська, 1 Федорівська та ін. [54].

## Висновки

1. В рамках роботи вперше побудовано структурні карти масштабу 1:500000 по основних горизонтах відбиття (ІІІ<sub>a</sub>(Р<sub>1</sub>під.), IV<sub>a</sub>(К<sub>1</sub>покр.), IV<sub>b</sub><sub>2</sub>(К<sub>1</sub>під.)), які характеризують геологічну будову Північнокримського прогину з точки зору його рифтогенної природи. На цих картах знайшли відображення елементи, які характерні для рифтогенних прогинів, що виникли в результаті задугового спредингу. Це бортові палеоскиди лістричної кінематики; приосовий грабен; бортові блоки; дорифтовий, синрифтовий та

пострифтовий літодинамічний комплекс; ефузивні і вулканогенні утворення масивів палеовулканів.

2. Спираючись на розроблені критерії визначення типу тектонічних порушень на часових розрізах МСГТ, геолого-геофізичну і сейсмостратиграфічну моделі виділено:

- Південнобортовий та Причорноморський бортові палеоскиди;
- Серебрянський приосьовий грабен;
- як північний борт – північну та центральну частини Центральнокримського і Іллічівського підняття;
- як південний борт – південну частину Південноукраїнської монокліналі;
- сім грабеноподібних, два горстоподібних, шість антитетичних та сім гомотетичних блоків;
- відклади дорифтового (СЛП VI-T, КССК IV<sub>b1</sub>-b<sub>2</sub> СЛП IV-BT), синрифтового (КССК IV а-б), перехідного (КССК III<sub>v</sub>-г СЛП III-K) та синеклізного (КССК IIa-IIa) етапів розвитку прогину;
- масиви палеовулканів.

3. В результаті вивчення геолого-геофізичної інформації, яка отримана в межах східної центрикліналі прогину, визначено зону східного закінчення центрального грабену, а також західного продовження рифту. Доведена наявність палеоскидів, які ускладнюють геологічну будову північного та південного бортів і утворюють їх сходинкову будову.

Встановлено існування скидів на північному борту прогину в Приазов'ї та в північно-західній частині Азовського моря і виявлено зону розвитку антиклінальних прегінів у відкладах осадового чохла, які представляють певний пошуковий інтерес на цій території.

4. В складі порід мезо-кайнозойського віку за сейсмічними даними впевнено виділяються інтервали відкладів дорифтового, синрифтового і пострифтового комплексів, а також масиви палеовулканів. Дорифтовий, синрифтовий і проміжний літодинамічний комплекс, несуть на собі в основному сліди розтягнення. Основними тектонічними елементами є блоки

різної тетичності. Антиклінальні складки зафіксовано лише в зонах інверсійних підкідо-насувних дислокаций. Синеклізний комплекс несе на собі сліди як плікативних, так і диз'юнктивних дислокаций. Основним джерелом утворень антиклінальних складок є тангенційні напруги, що виникли в результаті гравігенного сповдання гірських порід з північного схилу Каламітського підняття у північному напрямку.

5. Різні геодинамічні режими на яких утворювалися та перетворювались відклади крейдового віку Північнокримського рифту, вплинули на розподіл нафтогазоперспективних структур у розрізі та по площі, і як наслідок на їх нафтогазоперспективність.

На теперішній час не існує чіткої класифікації нафтогазоперспективних структур з розподілом за літодинамічними комплексами та площею прогину. Тому у розділі 5 наведено дослідження з розробки цієї класифікації і приклади її використання при визначенні першочергових напрямків геофізичних робіт.

## РОЗДІЛ 5

### ПЕРСПЕКТИВИ НАФТОГАЗОНОСНОСТІ ВІДКЛАДІВ КРЕЙДОВОГО ВІКУ ТА НАПРЯМКИ ГЕОФІЗИЧНИХ РОБІТ

Прогноз нафтогазоносності полягає у доведенні наявності у надрах сприятливих умов для формування та збереження покладів вуглеводнів [132]. Він базується на аналізі певних критеріїв оцінки нафтогазоносності надр (Таблиця 5.1). Повний аналіз критеріїв у рамках дисертації не проводився, тому у главі розглянуто лише ті чинники для визначення яких використано авторські розробки: сейсмостратиграфічна та геолого-геофізична характеристики для визначення наявності сприятливих структур, порід-колекторів, флюїдонепроникних товщ та сейсмостратиграфічної приуроченості пасток нафти і газу та нафтогазоперспективних структур.

#### 5.1 Сейсмостратиграфічна класифікація нафтогазоперспективних структур

Наявність і тип сприятливих структур (пасток) вуглеводнів є основою для локальної оцінки нафтогазоносності [132]. Світова статистика свідчить, що більше 85% відкритих родовищ пов'язана з пастками структурного (антеклінального) типу [133]. Дуже часто найкрупніші поклади зустрічаються у комплексах горстів та блоків рифтогенних прогинів [134], або окремих блоків у яких скупчення ВВ заповнюють не лише склепіневі частини, а й мульди [132].

На теперішній час, в межах Північнокримського прогину комплексом геолого-геофізичних досліджень виявлено низку нафтогазоперспективних структур (НГПС). Виділяються два головних типи НГПС – антеклінальний (структурний) та неантеклінальний.

**Критерії оцінки нафтогазоносності надр за Б. Й. Маєвським [132]**

Таблиця 5.1

Критерії 1	Чинники 2
<b>Опосередковані ознаки</b>	
Структурно-тектонічні	<p>Тип геотектонічного елемента.</p> <p>Розмір басейну седиментації і товщина осадового чохла.</p> <p>Режим тектонічних рухів.</p> <p>Плитотектонічний розвиток території.</p> <p>Ступінь тектонічного розчленування та дислокованості порід.</p> <p>Геоструктурна зональність розміщення скupчень нафти та газу.</p> <p>Амплітуда неотектонічних рухів.</p> <p>Наявність сприятливих структур.</p> <p>Регіональне положення структур.</p> <p>Історія розвитку структур.</p> <p>Спiввiдношення структурних планiв.</p> <p>Наявність перерв i незгiдностей</p> <p>Осадконагромадження</p>
Лiтолого-фацiальнi	<p>Наявнiсть сприятливих формаций.</p> <p>Наявнiсть порiд-колекторiв.</p> <p>Наявнiсть флюїдонепроникних товщ.</p> <p>Стратиграфiчна приуроченiсть скupчень нафти та газу</p>

Продовження таблиці 5.1.

1	2
Геохімічні	Наявність органічної речовини. Наявність епігенетичних бітумоїдів. Вміст і склад вуглеводневих і невуглеводневих газів. Наявність pH-Eh-аномалій. Присутність сірки, закисних форм заліза і вторинних карбонатів кальцію
Гідрогеологічні	Гідродинамічні Гідрогеохімічні Водогазові
Геотермічні	Розподіл теплового поля
Мікробіологічні	Розвиток бактерій
<b>Прямі ознаки</b>	
Наявність природних нафтогазопроявів	Макропрояви нафти і газу. Мікропрояви нафти та газу.

Аналіз сейсмічної інформації показав, що в межах прогину серед антиклінальних НГПС найбільш поширені склепіневі брахіантеклінальні, структури облікання масивів палеовулканів та лінійновитягнуті. Цей тип НГПС впевнено виділяється за сучасними сейсмічними матеріалами за допомогою сейсмостратиграфічних моделей СЛП та прийомів сейсмостратиграфічної інтерпретації.

Серед НГПС неантеклінального типу найбільш часто зустрічаються присидові, припідкідові, піднасувні, літологічно-екрановані (налягання на

масиви палеовулканів), пастки у корі вивітровання палеовулканів та зони підвищеної тріщинуватості вапняків ефузивних утворень палеовулканів та кристалічного фундаменту. Цей тип пасток характеризується складною будовою та сейсмостратиграфічними характеристиками. Для їх вивчення, окрім стандартних прийомів інтерпретації, було використано увесь комплекс геолого-геофізичної інформації та сейсмостратиграфічних моделей СЛП, а також критерії визначення типів тектонічних порушень.

В результаті проведеного аналізу була вперше розроблена сейсмостратиграфічна класифікація НГПС (Рис. 5.1), а також визначено принципи їх розміщення у розрізі та по площі Північнокримського рифтогенного прогину.

## 5.2 Принципи розміщення нафтогазоперспективних структур

На теперішній час, на території рифту відкрито 20 родовищ (2 нафтових та 18 газових і газоконденсатних), в яких міститься 40 покладів. За запасами тільки 3 з них відносяться до категорії середніх, решта – до малих. За комплексами поклади розподіляються наступним чином: дорифтовий комплекс – 3 поклади, синрифтовий комплекс – 2 поклади, проміжний комплекс – 4 поклади і 31 поклад в перекриваючому комплексі (13 покладів в палеоцені, 16 – в олігоцені та 1 в маастрихті і 1 в еоцені). Промисловий видобуток газу ведеться тільки з відкладів олігоцену та палеоцену, промислова газоносність доведена і для еоценових та нижньокрейдових відкладів. Незначні припливи газу отримані у відкладах міоцену на структурах Архангельського, Сельського, Одеській, Кримській.

Як видно з наведених вище даних, більшість відкритих на сьогоднішній день газових та газоконденсатних родовищ (Штормове, Голицинське, Шмідта, Одеське, Архангельського, Оленівське, Чорноморське, Глібівське, Карлавське, Краснополянське, Кіровське та Задорненське) в прогині пов’язані з еоцен-палеоценовими відкладами (КССК ІІ-ІІІ СЛП ІІІ-К). Всі вони приурочені до

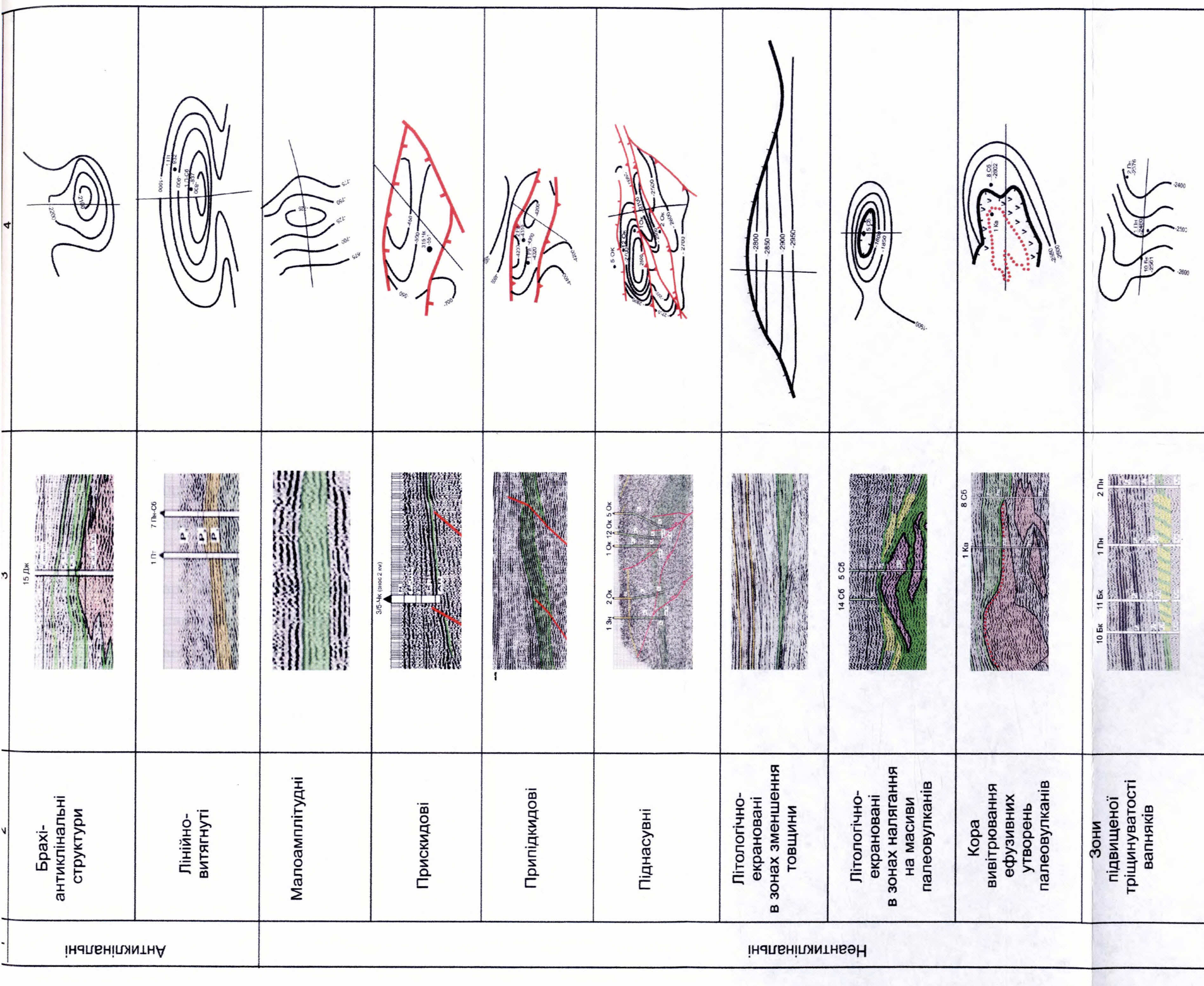


Рис. 5.1. Сейсмостратиграфічна класифікація нафтовозоперспективних структур

Північноукраїнського прифтогенного профілю

Склад С. В. Колъцов з використанням матеріалів КГФЕ "Кримгеофізика" 2007

антиклінальних складок, що виникли біля ремової складової третинних підкідів, площа розриву яких часто досягає морського дна чи денної поверхні. Колекторами тут є тріщинуваті органогенні та органогенно-детритові вапняки нижньопалеоценового відділу. Глинисті вапняки та мергелі верхнього палеоцену відносяться до проміжної товщі (псевдопокришки) і в значній мірі впливають на розміри покладів, тому що від їх потужності залежить коефіцієнт заповнення пастки вуглеводнями.

Олігоценова товща майкопу (СЛП II-T) порівняно з палеоценом в прогині має менший потенціал нафтогазоносності, який на сьогодні можна вважати майже повністю вичерпаним. Тут виявлені невеликі поклади на структурах Голицина, Південно-Голицинській, Архангельського, Шмідта, Кримській, Джанкойській, Стрілковій та Ярилгацькій. Більшість із них пов'язана з пізньотретинними косими складками стиснення, обумовленими підкідами. Колекторами тут являються шари пісковиків і алевритів, котрі залягають серед пластичних глин з відмінними екрануючими властивостями. Майкопські відклади, котрі традиційно відносяться до нафтогазоматеринських, на даний час досягли “наftового вікна” тільки в центральній частині Причорноморського мегапрогину [54].

В глинисто-карбонатних відкладах кампану-маастрихту верхньої крейди, що входять до складу перекриваючого комплексу (КССК IIIa-a<sub>3</sub>), відкриті поклади промислового значення: газу – на родовищі Шмідта, нафти – на Серебрянській структурі. Значні припливи в окремих свердловинах були одержані: нафти – на Першотравневій, Бакальській; газу – на Фланговій та Штильовій структурах. Інтенсивні нафтогазопрояви в свердловинах із відкладів перехідного комплексу (КССК IIIa<sub>3</sub>-IVa) встановлені на Октябрській, Бакальській, Карлавській, Крейдовій, Чорноморській, Родніковській, Міжводненській структурах. Промислові припливи вуглеводнів та нафтогазопрояви різної інтенсивності із відкладів перекриваючого та перехідного комплексу приурочено переважно до структур облікання масивів палеовулканів та лінійновитягнутих складок стиснення, що розвинуті в зонах

крупних тектонічних порушень. Нафтогазопрояви із синрифтового комплексу (КССК IV<sub>a</sub>-б<sub>1</sub>) – на Серебрянській, Північно-Серебрянській, Карлавській, Родніковській, Задорненській, Борисівській та інших площах приурочено до структур тектонічно-екранованого типу (блоки різної тетичності), кори вивітрювання масивів палеовулканів та пасток літологічно-екранованого типу (налягання порід-колекторів на масиви палеовулканів).

Із відкладів дорифтового комплексу (КССК IV<sub>b1</sub>-б<sub>2</sub>) приливи вуглеводнів отримано на Октябрській, Глібівській, Рилеєвській, Бакальській площах у свердловинах пробурених в межах антитетичних та горстоподібних блоків (тектонічно-екрановані пастки).

На даний час практично усі антиклінальні складки, що виявлені по горизонтах відбиття у перекриваючому комплексі, вивчені глибоким бурінням. Вірогідність відкриття нових родовищ у відкладах олігоцену та палеоцену дуже низька, тому надалі наведено дані лише про типи НГПС, породи-колектори та нафтогазонепроникливі товщі у відкладах крейдового віку. Значні приливи нафти і газу, які отримано в межах окремих блоків суходольної частини рифту із відкладів синрифтового та дорифтового комплексів (Октябрська, Рилеєвська та ін. площи), а також в межах антиклінальних структур із відкладів переходного комплексу (Бакальська, Західно-Октябрська) свідчить про їх високий нафтогазоносний потенціал.

Таким чином, у межах Північнокримського рифтогенного прогину поклади вуглеводнів та найбільш значні нафтогазопрояви приурочено до різновікових відкладів і пов'язано з об'єктами, що мають принципово різну геологічну будову. До різних літодинамічних комплексів приурочено різні типи НГПС, тому їх слід розглядати окремо.

У відкладах дорифтового етапу розвитку найбільш поширені пастки, які приурочено до антитетичних і горстоподібних блоків, що обмежені скидовими та підкидо-насувними дислокаціями (прискидові, підкидові та піднасувні пастки) [44].

За результатами узагальнення літолого-стратиграфічного складу відкладів осадового чохла та петрофізичних властивостей встановлено розвиток колекторів та покришок на різних стратиграфічних рівнях. В дорифтовому комплексі достовірно встановлені відклади неокомського та нижньоаптського віків, в інтервалах яких розвинені породи-колектори та покришки (Додаток В). Породи-колектори цього етапу представлені пісковиками, алевролітами, конгломератами, що залягають в основі неокомських відкладів (базальна пачка) і які впевнено виділяються на часових розрізах наявністю відносно протяжних високоамплітудних відбиттів (Таблиця 2.2). Як покришки слід розглядати аргіліти верхньої частини пачки А-21 та глинисто-алевролітову товщу пачки А-20 [129].

**В синрифтовому комплексі** (КССК IV<sub>a</sub>-б<sub>1</sub>) треба виділяти відклади, які утворилися на довулканогенному етапі від тих, що утворилися на вулканогенному, бо вони мають принципово різну геологічну будову та типи порід – колекторів.

До відкладів, що утворилися на протязі **довулканогенної** частини синрифтового етапу (СПЧ IV<sub>b1-a3</sub>) відноситься теригенна товща верхньоаптського-нижньоальбського віку [129]. В межах цієї товщі певний пошуковий інтерес представляють пісковики і алевроліти пачки А-20, перекриті відносно потужною глинисто-аргілітovoю товщою середнього альбу (пачка А-19). Їм на часових розрізах відповідають відносно протяжні відбиття, які в окремих випадках групуються в пачки відбиттів (Рис. 2.12в, 2.13г, Таблиця 2.2).

У відкладах верхньоаптського та нижньоальбського віку найбільш поширені пастки неантиклінального типу, які розташовані в межах антидипситичних та горстоподібних блоків [129] (прискидові, припідкидові та піднасувні пастки).

До відкладів, що утворилися протягом **вулканогенної** фази синрифтового етапу розвитку, відносяться вулканогенно-теригенна товща середньо-

верхньоальбського віку та вулканогенно-теригенно-карбонатна товща сеноману (СПЧ IVa-a<sub>3</sub> та СПЧ IIIg-IVa) [129].

Колектори у відкладах **середнього альбу** приурочені до верхньої частини розрізу і представлені переважно туфами, туфітами, вулканоміктовими пісковиками і гравелітами, рідше зміненими або тріщинуватими лавами.

Породи-колектори **верхнього альбу** представлені вулканоміктовими пісковиками, туфітами, туфами та туфопісковиками, які залягають на трьох стратиграфічних рівнях. Перший рівень розповсюдження колекторів зафіковано в низах відкладів верхнього альбу (базальні верстви пачки А-18), покришками до яких є аргіліти і глини пачки А-18. Головним типом пасток для цього рівня слід вважати тектонічно-екранований тип (прискидові, припідкидові) (Додаток Д).

Другий рівень – вулканогенні і вулканокластичні пачки всередині горизонту А-18, що розташовані в межах окремих тектонічно-екранованих блоків, переважно антитетичного типу. Обидва рівні розвитку колекторів виділяються на часових розрізах МСГТ за наявністю інтенсивних відбиттів різної протяжності та амплітуд (високо та середньоамплітудні сейсмофациї) на фоні напівпрозорого рисунка запису або низькоамплітудної сейсмофациї (Рис. 2.12а, 2.13б).

Третій рівень розповсюдження колекторів зафікований у верхній частині верхньоальбських відкладів (пачка А-17). Колектори представлено туфітами, туфопісковиками та вулканоміктовими пісковиками, які перекрито товщею аргілітів та мергелів. На часових розрізах МСГТ ці інтервали виділяються за ознаками, які аналогічні вищезазваним, але інтенсивність відбиттів декілька нижча. На цьому рівні головний тип пасток – антиклінальний (структурна облікання палеовулканів) або літологічно-екранований (налягання теригенно-вулканогенних відкладів на ефузивні утворення). Певний інтерес представляє кора вивітрювання ефузивних утворень палеовулканів, з якими можуть бути пов'язані поклади нафти. В межах рифту ці типи пасток розповсюджені в зонах

розвитку масивів палеовулканів (Соколинського, Джанкойського, Костянтинівського та інш.) (Додаток Е).

Крім того, певний пошуковий інтерес представляють туфопісковики та туфіти, що залягають в товщі ефузивних утворень. Але однозначно виділити інтервали їх розповсюдження за сейсмічними даними важко із-за близькості хвильових картин, що зафіксовані в їх межах.

В теригенно-карбонатних відкладах **сеноману** колектори представлені вулканогенними і вулканокластичними породами, а також тріщинуватими органогенно-детритовими вапняками. На часових розрізах колектори цього віку практично не виділяються, що обумовлено близькістю сейсмостратиграфічних характеристик, які зафіксовані в інтервалах колекторів та покришок (Рис. 2.15а, б). Виключення складають інтервали розвитку підвищеної тріщинуватості, які належать до зон тектонічних порушень і виділяються як зони хаотичного або бугристого рисунка сейсмічного запису (Рис. 2.15а). Але такий рисунок може бути пов'язаний з іншими факторами. Тому, для їх виділення і картування зон тріщинуватості необхідно використовувати комплексування з іншими геофізичними методами. Найбільш ефективний в даних умовах є метод електророзвідки ЗСБ [135].

Покришками можуть бути вапнисті аргіліти та глинисті мергелі. Припливи ВВ із сеноманських колекторів отримано в свердловинах, що пробурено в межах структур облікання палеовулканів (Серебрянська та Північно-Серебрянська площа) та зон тектонічних порушень, що обмежують окремі блоки у відкладах нижньої крейди (Бакальська площа).

Головним типом пасток у відкладах сеноманського віку є брахіантіклінальні складки облікання палеовулканів (Додаток Ж), літологічно-екрановані пастки, які приурочено до зон налягання теригенно-вулканогенних відкладів на ефузивні утворення, а також лінійновитягнуті антиклінальні складки та зони підвищеної тріщинуватості, що приурочені до крупних тектонічних порушень (Додаток З). До відкладів крейдового віку, які утворилися на **перехідному** та **синеклізному** етапах розвитку, відносяться

карбонатні відклади турону-маастрихту. Не дивлячись на відносно великий стратиграфічний діапазон, перспективи пошуків ВВ пов'язані з колекторами приблизно однакового літологічного складу (тріщинуваті вапняки), які перекрито мергелями та глинистими вапняками. Відклади цього віку впевнено виділяються на часових розрізах за хвильовими картинами (Таблиця 2.2).

В межах рифту можна виділити три групи структур у відкладах турон-маастрихту, перспективних для пошуків ВВ. До першої групи слід віднести брахіантіклінальні складки, які виникли в результаті облікання масивів палеовулканів. Друга група – це лінійновитягнуті антиклінальні структури, що виникли в результаті стиснення. До третьої групи відносяться лінійновитягнуті вздовж тектонічних зон структурні носи, в межах яких зафіковано підвищення тріщинуватості вапняків верхньої крейди.

В результаті аналізу розподілу НГПС та структурних карт по горизонтах відбиття III<sub>a</sub>, IV<sub>a</sub> та IV<sub>b</sub> встановлено, що найбільш перспективними у відношенні пошуків ВВ у відкладах дорифтового та довулканогенної фази синрифтового етапу слід вважати Каркінітський, Глібівський, Голицинський, Тендрівський, Шмідтівський, Тетянівський, Рилеєвський, Октябрський, Каркінітсько-Сиваський, та Південні частини Тарханкутського та Південноголицинського блоків, в межах яких розвинуто тектонічно-екрановані пастки різного типу.

Певний пошуковий інтерес мають зони розвитку руслових фацій неокомського віку, пов'язаних з річками палео-Карасу, палео-Бурульча та палео-Салгір, розвиток яких прогнозується в межах Красногвардійського та Слав'янського блоків.

Основні перспективи пошуків нафти та газу у відкладах, що утворилися протягом вулканогенної фази синрифтового етапу пов'язано з Тетянівським, Серебрянським, Сиваським, Михайлівським, Тарханкутським, Приосьовим, Південношмідтівським, Південнобортовим та Північнотарханкутським блоками. В межах цих блоків розвинуто прискидові, припідкидові пастки

літологічно-екранованого типу, брахіантиклінальні структури облікання масивів палеовулканів, а також кори вивітрювання ефкузивних утворень.

В межах Каркінітського, а можливо і Південношмідтівського блоків прогнозується розвиток руслових фаций пізньоальбських палеорічок, пов'язаних з Каркінітсько-Сиваським палеопідняттям. [97]

Перспективи пошуків ВВ у відкладах перехідного та синеклізного етапів пов'язані з Серебрянським, Сиваським, Михайлівським, Шмідтівським, Тетянівським, Північно-Тарханкутським, Тарханкутським, Приосьовим та Південнобортовим (брахіантиклінальні складки облікання палеовулканів). Південношмідтівським (брахіантиклінальні складки та зони підвищеної тріщинуватості), Шмідтівським, Глібівським Михайлівським, південні частини Тарханкутського, Сиваського, та Серебрянського блоків (лінійновитягнуті структури стиснення та зони підвищеної тріщинуватості), Голицинський, Каркінітсько-Сиваський, Тендеровський, Каркінітський, Східносиваський, Красногвардійський, Октябрський (лінійновитягнуті структури), Рилеєвським (зони тріщинуватості).

На думку автора, особливу увагу слід звернути на НГПС північного та південного бортів рифту. В межах цих частин практично відсутні типи об'єктів, які характерні для центрального грабену. Виключення складають структури південного борту: Тарасівська прискидова, Григорівська припідкидова та Красновська структура облікання одноіменного палеовулкану. Інші НГПС південного борту мають принципово іншу будову і пов'язані з зонами розвитку руслових фаций неокомського віку (річка палео-Салгір з притоками), а також з зонами виклинювань відкладів нижньокрейдового віку.

В межах північного борту (Південноукраїнська монокліналь) основними типами НГПС є літологічно-екрановані пастки, малоамплітудні складки стиснення в осадовому чохлі, зони підвищеної тріщинуватості карбонатів верхньої крейди.

На дорифтогенному етапі монокліналь була фрагментом пасивної окраїни Східно-Європейського кратону, тому тут могли зберегтися як клиноподібне

скорочення на північ відкладів венду-карбону (комплекс пасивної окраїни), так і нижнього карбону-пермі (комплекс Передскіфійського крайового прогину). На структурному плані цих комплексів знайдуть відображення як субмеридіональна зональність кристалічного фундаменту дорифейського етапу формування кратону, так і субширотна зональність структур, які визначаються уже особливостями будови північних бортів Каркінітсько-Сиваського ( $T - J_1$ ) і Північнокримського ( $K_1$ ) рифтогенів.

Уявляється, що в цьому районі розвинені і малоамплітудні структури тангенційного стиснення внаслідок розвитку як інверсійних підкідо-насувів по палеоскидах північного борту рифтогенів, так і формування складок по субпошарових розривах (флетах) на різних рівнях розрізу, а також пов'язаних з рельєфом фундаменту.

Заради зручності використання отриману інформацію про розповсюдження НГПС в межах прогину зведено у таблицю (Таблиця 5.2) і показано на схемі розподілу нафтогазоперспективних структур у відкладах крейдового віку Північнокримського прогину (Рис. 5.2).

### Розділ 5.3 Першочергові напрямки геофізичних робіт

Першочерговою територією для постановки геофізичних робіт (комплекс сейсморозвідки та електророзвідки) є райони відкритих родовищ, або площ, на яких отримано значні припливи вуглеводнів.

В межах суходольної частини рифту, це зона **Південнобортового палеоскиду** де відкрито Октябрське нафтове і Західно-Октябрське газо-конденсатне родовища та отримано припливи на ряді площ (Сусанінська, Родніковська, Мелова).

В межах цієї зони на першому етапі пропонується виконати деталізаційні сейсморозвідувальні роботи МСГТ на Клепіненській прискидовій, Родніковській, Сусанінській та Красноярській припідкідових, Знам'янській піднасувній структурах, а також в межах блоків №4 та №5 Октябрського родовища, де бурові роботи не виконувались. (Рис 5.3). Слід відмітити, що

Розподіл НГПС крейдового віку за сейсмостратиграфічними одиницями  
Північнокримського рифтогенного прогину

Таблиця 5.2

Етап розвитку рифтогену	Сейсмостратиграфічна одиниця	Вік відкладів	Основні типи пасток	Розповсюдження НГПС за блоками
1	2	3	4	5
Дорифтовий	СЛП IV-BT КССК IVб <sub>1</sub> -б <sub>2</sub>	K <sub>1</sub> nc-ap <sub>1</sub>	Прискидові Припідкідові Піднасувні	Каркінітський, Глібівський, Каркінітсько- Сиваський, Голицинський, Південно- Голицинський Тендеровський, Тарханкутський, Шмідтівський, Тетянівський, Рилеєвський, Октябрський
			Літологічно-екрановані, малоамплітудні складки стиснення, палеорусла	Південний та північний борти  Красно - гвардійський, Слав'янський

## Продовження таблиці 5.2

1	2	3	4	5
Синрифтовий довулканогенна фаза	СЛП IV-ВТ КССК IVa-б <sub>1</sub> СПЧ IVa <sub>3</sub> -б <sub>1</sub>	K <sub>1</sub> ap <sub>1</sub> -al <sub>1</sub>	Прискидові Припідкидові Піднасувні	Каркінітський, Глібівський, Каркінітсько- Сиваський, Голицинський, Південноголіцин- ський, Тарханкутський, Тендеровський,
				Шмідтівський, Тетянівський, Рилєєвський, Октябрський
Синрифтовий вулканогенна фаза	СЛП IV-ВТ, КССК IVa-б <sub>1</sub> , СПЧ IVa-a <sub>3</sub> , СЛП III-K, КССК IIIa <sub>3</sub> - IVa, СПЧ IIIg-IVa	K <sub>1</sub> al <sub>2</sub> - K <sub>2</sub> S	Прискидові, припідкидові, брахіанті- клінальні складки, літологічно- екранований, кора вивітрювань ефузивів, лінійнови- тягнуті антиклінальні складки та структурні носи	Серебрянський, Сиваський, Михайлівський, Тарханкутський, Приосьовий, Південношмід- тівський, Південнобортовий, Тетянівський,

## Продовження таблиці 5.2

1	2	3	4	5
			палеорусла	Північнотарханкут-ський, Каркінітський
Перехідний	СЛП III-К, КССК ІІа <sub>3</sub> -ІІа, СПЧ ІІа <sub>3</sub> -г	K <sub>2</sub> t-st	Брахіантик-лінальні складки, лінійно-витягнуті структури стиснення,	Серебрянський, Сиваський, Михайлівський, Тарханкутський, Приосьовий, Південношмід-тівський, Тетянівський, Північнотарханкутський, Сиваський, Каркінітський, Тендеровський, Каркінітсько-Сиваський, Східно-Сиваський, Красногвардійський
			структурні носи	Шмідтівський, Глібівський, Голицинський, Октябрський, Рилеєвський, Південнобортовий

## Продовження таблиці 5.2

1	2	3	4	5
Синеклізний	СЛП IV-BT, КССК Ша-а <sub>3</sub> ,	K <sub>2</sub> km-m	Брахіантік- лінальні складки, лінійно- витягнуті структури стиснення, структурні носи	Серебрянський, Сиваський, Михайлівський, Тарханкутський, Приосьовий, Південношмід- тівський, Шмідтівський, Глібівський, Голицинський, Октябрський, Рилеєвський, Південно- бортовий, Східно- Сиваський, Красно- гвардійський, Тетянівський, Північнотархан- кутський, Каркінітський, Тендеровський, Каркінітсько- Сиваський

у зв'язку з тим, що частина Знам'янської та Родніковської структури знаходиться під озером Донузлав, для її вивчення необхідно провести спеціальні дослідження за методикою робіт у “перехідних зонах” (зони в межах яких неможливо виконувати стандартні морські та суходольні роботи МСГТ).

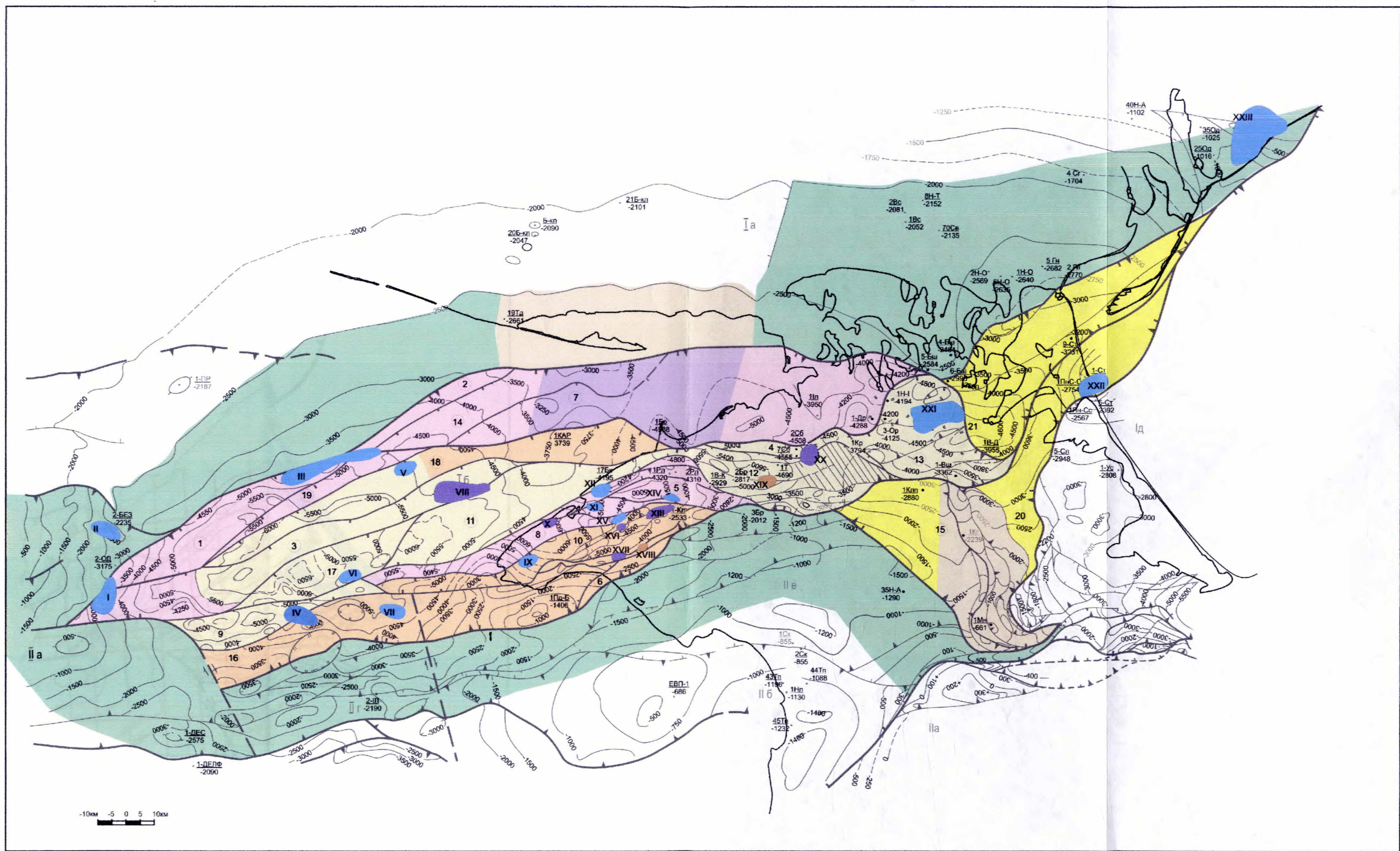


Рис. 5.2. Районування Північнокримського рифтогенного прогину за переважаючими типами нафтогазоперспективних структур. Склад С.В. Кольцов, 2007  
 (Умовні позначення див. на дод. А, Б)

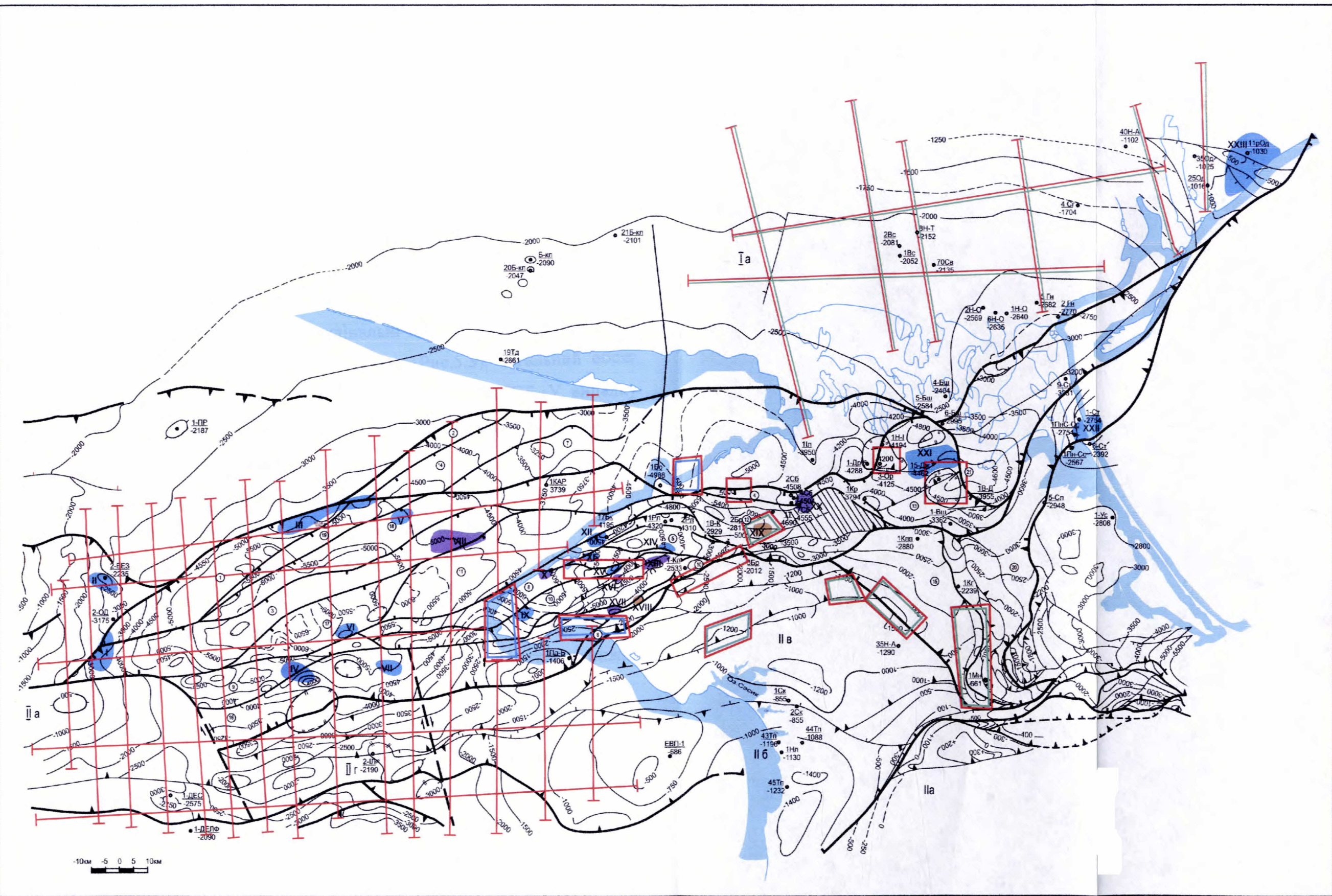


Рис.5.3. Картограмма ділянок геофізичних досліджень, направлених на пошуки нафтогазоперспективних структур. Склад С.В. Кольцов, 2007  
(Умовні позначення див. на дод. А, Б)

Загальний обсяг сейсмічних досліджень складає 600 пог. км профілів МСГТ. Із них 500 пог. км необхідно відпрацювати за методикою суходольної сейсморозвідки, а 100 пог. км за методикою робіт у “перехідних зонах”.

Заслуговує першочергової уваги територія Глібівського та Рилеєвського блоків (Рис.4.1) в межах яких виявлено НГПО різного типу та відкрито низку родовищ у відкладах палеогену (Карлавське, Глібівське, Задорненське та інші) і отримано значні припливи з інтервалів крейди (Карлавська, Глібівська, Рилеєвська та інші площини).

Геологічна будова Глібівського блока до кінця не вивчена. Тому на першому етапі пропонується провести додаткові сейсмічні дослідження з метою підготовки до глибокого буріння припідкідові пастки у відкладах нижньої крейди та лінійновитягнуті антиклінальні пастки у верхній крейді на Глібівській, Кіровській та Задорненській площинах (Рис.5.3). Загальний обсяг сейсмічних досліджень складає біля 300 пог.км профілів МСГТ. У випадку отримання позитивних результатів деталізаційних досліджень відкривається фронт для проведення бурових робіт в межах блока.

**Рилеєвський блок** більш повно вивчений сейсмічними дослідженнями. Практично усі НГПС на різних стратиграфічних рівнях підготовлено до глибокого буріння (Рилеєвська, Західно-Ромашкінська, Північно-Ромашкінська, Каштанівська принасувні; Західно-Котовська та Котовська прискидові; Ромашкінський, Козачий, Міжводненський структурні нося з підвищеною тріщинуватістю вапняків верхньої крейди та принасувні пастки у нижній крейді.

В межах Тетянівського, Каркінітського, Сиваського та Серебрянського блоків у відкладах крейди відкрито Серебрянське, Тетянівське родовища, отримано припливи на Соколинській, Орловській площинах. Комплексом геофізичних досліджень виявлено та закартовано низку НГПО.

На першому етапі в межах **Тетянівського блока** необхідно провести додаткові сейсмічні дослідження МСГТ на Матвіївській площині в обсязі 100 пог.км профілів і повторну комплексну інтерпретацію сейсмічних матеріалів та

даних ГДС, отриманих на Тетянівській площині, з метою створення геолого-геофізичної моделі родовища, якої на теперішній час не існує.

В межах суходольної частини **Каркінітського блока** виявлено Борисівську антиклінальну пастку, але її будова до кінця не вивчена із-за того, що вона частково розташована в акваторії Каркінітської затоки (Рис. 4.1, 4.2).

З метою підготовки Борисівської структури до глибокого буріння необхідно провести додаткові роботи МСГТ у “перехідних зонах” затоки в обсязі 200 пог.км профілів (Рис.5.3).

У **Серебрянському** грабеноподібному блоці для вирішення проблеми нафтогазоносності крейдового віку необхідно провести в межах Серебрянської площині повторну інтерпретацію сейсмічних матеріалів МСГТ та даних ГДС, а також додаткових робіт МСГТ та ЗСБ з метою уточнення площин нафтонасиченості та створення геолого-геофізичної моделі родовища. Загальний обсяг польових робіт складає біля 150 пог.км.

В **Сиваському** грабені найбільш перспективні є пастки, які пов'язані з розвитком ефузивних утворень палеовулканів. На теперішній час виявлено: Орловський антиклінальний об'єкт облікання палеовулкану та Орловську літолого-екрановану пастку; Костянтинівську та Північно-Джанкойську структури облікання палеовулканів; Маслівську структуру облікання та Маслівську пастку літолого-екранованого типу. Усі об'єкти, за виключенням Маслівських, потребують проведення додаткових сейсмічних досліджень з метою підготовки їх до глибокого буріння. Обсяг робіт біля 500пог.км.

Південний та північний борт є територіями, які слабо вивчені сейсмічними дослідженнями МСГТ та глибоким бурінням. На теперішній час в їх межах доведено розвиток порід-колекторів, флюїдонепроникних товщ та прогнозується розвиток НГПС різних типів.

Для вирішення проблеми пошуків НГПС у відкладах крейдового віку в межах бортів рифту, на першому етапі рекомендується починати з проведення регіональних сейсмічних (МСГТ) та електророзвідувальних (КМТЗ) досліджень в обсязі 600пог.км профілів в межах північного борту, а також пошукових

геофізичних (МСГТ, ЗСБ) в межах південного борту загальним обсягом 700 дод.км профілів.

Додаткові геофізичні дослідження в межах **північного борту** дозволяють:

- визначити зони різкого скорочення товщини різновікових літодинамічних комплексів з якими може бути пов'язаний розвиток літолого-екранованих пасток;
- протрасувати тектонічні порушення в кристалічному фундаменті та осадовому чохлі, з якими вірогідно пов'язані малоамплітудні складки стиснення та зони підвищеної тріщинуватості утворень фундаменту;
- вивчити рельєф поверхні фундаменту і спрогнозувати зони розвитку кори вивітрювання кристалічних утворень.

У разі отримання позитивних результатів буде визначено фронт пошукових геофізичних досліджень та параметричного буріння.

В межах **південного борту** пошукові геофізичні дослідження слід провести на Григорівській принасувній, Тарасівській прискидовій та Красновській антиклінальній структурах, що дозволить вивчити їх геологічну будову та підготувати їх до глибокого буріння .

Іншою першочерговою ділянкою південного борту треба вважати Мельничну, Найдьонівську та Красногвардійську площа, в межах яких прогнозується розвиток руслових фацій неокомського віку (палео-Карасу, палео-Бурульча). Вивчення палеорусел дозволить закартувати НГПС та підготувати їх до глибокого буріння.

Відклади крейдового віку **морської частини** рифту геолого-геофізичними дослідженнями вивчено недостатньо.

На теперішній час відклади нижньої крейди повністю розкрито лише в п'яти свердловинах: Десантна 1, Іллічівська 2, Євпаторійська 2, Прадніпровська 2, Каркінітська 2 та частково в Голицинській 3. Верхня крейда вивчена більшою кількістю свердловин, але їх недостатньо для повної уяви про перспективність цієї частини розрізу.

На теперішній час, лише на Штильовій площі отримано промислові припливи газу і конденсату з відкладів кампан-маастрихту.

В цілому територія північно-західного шельфу Чорного моря віднесена до території з низькою ступеню розбуреності (менше 10м проходки 1км<sup>2</sup>) [136].

Згідно [137] крейдові відклади північно-західного шельфу містять 46.4% нерозвіданих запасів Чорного моря. Тому, визначення напрямків пошуків НГПО в цій частині рифту є дуже важливою задачею.

Визначені три пріоритетних ділянки для постановки першочергових геолого-геофізичних досліджень, це:

- зона Південнобортового палеоскиду (Південнобортовий блок);
- приосьова зона рифту, у складі Михайлівського Глібівського, Приосьового та Шмідтівського блоків;
- зона Причорноморського бортового палеоскиду (Південношмідтівський, Голицинський та Каркінітський блоки).

На першому етапі вивчення рекомендується проведення регіональних досліджень в обсязі 3 тис. пог.км профілів МСГТ. В результаті проведення робіт буде отримана інформація про геолого-тектонічну будову рифту та відкрито фронт для буріння параметричних свердловин та пошукових геофізичних досліджень.

Окрім регіональних робіт МСГТ на першому етапі пропонується проведення пошукових сейсмічних досліджень МСГТ в межах прибережної частини Михайлівського та Глібівського блоків, де попередніми роботами виявлено низку НГПС у відкладах палеогену та крейди (Тарханкутська, Західно-Мелова) (Рис.4.2, 4.3). Враховуючи, що ці об'єкти мають продовження на суходолі Тарханкутського півострова, дослідження необхідно виконувати за методикою мілководної сейсморозвідки. Загальний обсяг робіт складає біля 1 тис. пог.км профілів.

## Висновки

1. В межах Північнокримського прогину комплексом геолого-геофізичних досліджень виявлено у відкладах крейдового віку низку нафтогазоперспективних структур (НГПС) різного типу.

В рамках дисертації вперше розроблено сейсмостратиграфічну класифікацію НГПС, у якій узагальнено дані про типи і різновиди пасток, та наведено для кожного типу об'єктів характерний часовий розріз і структурна карта-схема покрівлі пастки.

Найбільш поширеним серед НГПО антиклінального типу є склепіневі брахіантиклінальні структури облікання масивів палеовулканів та лінійновитягнуті структури стиснення.

Серед НГПС неантиклінального типу найбільш поширені прискидові, припідкидові, піднасувні, літолого-екрановані, зони підвищеної тріщинуватості вапняків.

2. Спираючись на розроблені в дисертації сейсмостратиграфічні та геолого-геофізичні моделі, структурні побудови по горизонтах відбиття III<sub>a</sub>, IV<sub>a</sub>, IV<sub>b2</sub> та літературні джерела визначено основні принципи розміщення порід-колекторів, флюїдонепроникливих товщ та НГПС у розрізі рифту:

- у відкладах дорифтового та довулканогенної фази синрифтового етапу (КССК IV<sub>b1-b2</sub>, КССК IV<sub>a-b1</sub>, СПЧ IV<sub>a3-b1</sub>) колектори представлено пісковиками, алевролітами і конгломератами неоком-нижньоальбського віку. Перспективи пов'язано з припідкидовими, прискидовими, піднасувними пастками, які обмежені тектонічними порушеннями різної кінематики;
- у відкладах вулканогенної фази синрифтового етапу (КССК IV<sub>a-b1</sub>, СПЧ IV<sub>a3-a3</sub>, КССК III<sub>a3</sub>-IV<sub>a</sub>, СПЧ III<sub>g</sub>-IV<sub>a</sub>) колекторами є туфи, туфіти, вулканоміктові пісковики і гравеліти альбу і сеноману, а також тріщинуваті вапняки сеноману. Головні перспективи пошуків ВВ пов'язано з антиклінальними структурами облікання та зонами налягання порід-

колекторів на масиви палеовулканів. Також, певні перспективи пов'язано з прискидовими і припідкідовими структурами та лінійновитягнутими зонами підвищеної тріщинуватості вапняків сеноману, які тяготіють до тектонічних розривів;

- у відкладах перехідного та синеклізного етапів (КССК III<sub>a</sub>-IV<sub>a</sub>, КССК III<sub>a<sub>3</sub></sub>) головні перспективи пов'язано з антиклінальними структурами облікання палеовулканів, структурами стиснення та зонами підвищеної тріщинуватості вапняків.

3. В результаті проведених досліджень встановлено головні принципи розміщення НГПС по території рифту:

- пастки тектонічно-екранованого типу у відкладах дорифтового та довулканогенної фази синрифтового етапу розвинуто переважно в межах антитетичних та горстоподібних (Каркінітський, Глібівський, Голицинський, Тендрівський, Рилеєвський, Октябрський, Шмідтівський, Тетянівський) та деяких грабеноподібних блоків (Каркінітсько-Сиваський, Тарханкутський), та Південноголицинського гомотетичного;
- пастки, які пов'язані з ефузивними утвореннями палеовулканів у відкладах вулканогенної фази синрифтового, перехідного та синеклізного етапів є головними об'єктами пошуків в грабеноподібних та гомотетичних блоках (Серебрянський, Північнотарханкутський, Сиваський, Михайлівський, Тарханкутський, Південнобортовий, Південношмідтівський, Приосьовий). Певні перспективи має Тетянівський та Шмідтівський антитетичний блоки;
- антиклінальні лінійновитягнуті НГПС та зони підвищеної тріщинуватості у відкладах перехідного та синеклізного етапів розвинуті в блоках, які обмежені бортовими палеоскідами та тектонічними порушеннями в зонах яких відбулося ремобілізація посувань на етапах стиснення (Глібівський, Голицинський, Шмідтівський, Михайлівський, Рилеєвський, Тарханкутський, Октябрський, Сиваський, Серебрянський, Південношмідтівський, Каркінітський, Каркінітсько-Сиваський, Тендровський, Східносиваський, Красногвардійський).

пастки пов'язані з русловими фаціями річок Каркінітсько-Сиваського палеопідняття розвинуто в межах Каркінітського, а палео-Салгір, палео-Бурульча, палео-Карасу в межах Красногвардійського, Слав'янського блоків;

в межах бортів прогину розвинуті переважно неантеклінальні НГПС, пов'язані з зонами розвитку руслових фацій палео-річки Салгір, зонами скорочення товщин нижньої крейди (південний борт) та виклинувань різновікових комплексів, малоамплітудних складок стиснення, зонами підвищеної тріщинуватості в осадовому чохлі.

4. Спираючись на розробки та структурні побудови, які виконано в рамках дисертаційної роботи визначено першочергові напрямки пошуків НГПС в різних частинах прогину:

- в межах суходольної частини центрального грабену пропонується виконати деталізаційні сейсмічні (МСГТ) та електророзвідувальні (ЗСБ) дослідження в межах 24 площ Глібівського, Рилеєвського, Тетянівського, Каркінітського, Сиваського та Серебрянського блоків, а також в зоні Південнобортового палеоскиду. Загальний обсяг складає біля 1550 пог. км профілів МСГТ та 150 пог. км профілів ЗСБ;
- провести додаткові комплексні регіональні сейсморозвідувальні (МСГТ) та електророзвідувальні (КМТЗ) дослідження в межах північного борту рифту, загальним обсягом 600 пог.км;
- в межах південного борту виконати додаткові пошукові сейсморозвідувальні (МСГТ) та електророзвідувальні (ЗСБ) дослідження в обсязі 700пог.км;
- першочерговими дослідженнями в морській частині треба вважати регіональні сейсморозвідувальні роботи МСГТ. Загальний обсяг робіт складає 3000 пог.км профілей МСГТ;
- провести сейсмічні дослідження за методикою мілководної сейсморозвідки в межах “перехідних зон” Тарханкутського півострова. Загальний обсяг складає 1300 пог.км. профілів.

## ВИСНОВКИ

В дисертаційній роботі на основі наукових розробок та практичних досліджень визначено сейсмостратиграфічні критерії вивчення глибинної будови нафтогазоперспективних літодинамічних комплексів і локальних об'єктів крейдового віку Північнокримського рифтогенного прогину та прилеглих територій. Ці критерії є дуже важливим фактором, який підвищує якість інтерпретаційних робіт, так як дозволяє: однозначно визначати за матеріалами МСГТ кінематику тектонічних порушень; вивчати геологічну будову літодинамічних комплексів, які утворилися на різних етапах розвитку регіону, науково обґрунтувати рівні горизонтів відбиття, оконтурювати зони розвитку глинняних та соляних діапірів та криптодіапірів, масивів палеовулканів; визначати латеральні зміни літології відкладів; прогнозувати і вивчати інтервали розвитку порід-колекторів та покришок.

Висока ефективність дисертаційних розробок підтверджена на практиці, при інтерпретації геофізичної інформації, яка отримана в межах Північнокримського прогину. За сейсмічними матеріалами МСГТ, спираючись на дані глибокого буріння, було виділено та вивчено головні складові прогину, які характеризують його як рифт (бортові палеоскиди, приосьовий грабен, північний та південний борти, масиви палеовулканів, літодинамічні комплекси, що утворилися на дорифтовому, синріфтовому, перехідному та синеклізному етапах). Ці складові знайшли своє відображення на побудованих структурних картах по горизонтах відбиття, які простежуються в межах всього прогину та характеризують геологічну будову відкладів крейдового віку IIIa (Р<sub>1</sub>під.), IVa (К<sub>1</sub>покр.), IVb<sub>2</sub> (К<sub>2</sub>під.).

За допомогою розроблених сейсмостратиграфічної та геолого-геофізичної моделей визначено в межах усіх літодинамічних комплексів крейди рівні розвитку порід-колекторів і нафтогазонепроникливих товщ, типи нафтогазоперспективних об'єктів і їх розповсюдженість по площі рифту. Це

дозволило визначити першочергові напрямки пошуків вуглеводнів в межах Північно-кримського рифтогенного прогину.

Найголовніші наукові і практичні результати дисертаційної роботи наступні:

1. Зроблено аналіз стану забезпечення сейсмостратиграфічної інтерпретації параметричною інформацією. В результаті встановлено, що вивчення геологічної будови Південного регіону України має давню історію, протягом якої отримано значні обсяги інформації про літолого-стратиграфічний склад і петрофізичні характеристики відкладів осадового чохла. В результаті наукових досліджень та узагальнень минулих років встановлено деякі закономірності геологічної і тектонічної будови, історії розвитку, зроблено численні узагальнення даних і створено геолого-геофізичні моделі з розподілом на еонотеми, ератеми і т.д., що суттєво ускладнює їх використання при сейсмостратиграфічній інтерпретації. Більш зручним є відокремлення за сейсмостратиграфічними одиницями різного рівня.

На теперішній час відомо лише одне узагальнення окремих сейсмостратиграфічних характеристик (пластові швидкості, коефіцієнти відбиття, головні горизонти відбиття) та даних про літологічний склад (у тезисному вигляді) з розподілом за структурно-літологічними поверхами (СЛП) та квазисинхронними сейсмічними комплексами (КССК). Це узагальнення було зроблено Герасимовим М.Є. у 80-х роках минулого сторіччя і має велике наукове та прикладне значення. Однак, обсягу даних, що містяться у ньому, не вистачає для виконання якісної інтерпретації сейсмічних даних. Для цього необхідно мати:

- повні дані про літолого-стратиграфічні та петрофізичні характеристики відкладів (геолого-геофізична модель СЛП);
- інформацію про характер хвильових картин, фаціальний склад, геометричні форми та характер граничних горизонтів відбиття, контакти одиниць, якісні та кількісні параметри відбиттів (амплітуда, частота, протяжність);

- чіткі сейсмостратиграфічні критерії визначення типів тектонічних порушень, літодинамічних комплексів, що утворились на різних етапах розвитку, а також геологічних тіл різного генезису (масиви палеовулканів, соляні та глиняні діапіри і криптодіапіри, зони літологічних заміщень);

2. В рамках дисертаційної роботи вперше вивчено та узагальнено дані про літологічний склад та петрофізичні характеристики (інтервальні швидкості розповсюдження пружних коливань, щільність, пористість, магнітну сприйнятливість та позірний опір) відкладів осадового чохла з розподілом за СЛП на базі яких створено геолого-геофізичну модель СЛП Південного регіону України.

3. Вивчено хвильові картини, які зафіксовано в межах сейсмостратиграфічних одиниць Південного регіону України.

На часових розрізах виділено та вивчено горизонти відбиття, що обмежують СЛП та КССК, встановлено характер контакту різновікових сейсмостратиграфічних одиниць, а також визначено їх просторові форми та фаціальний склад. Проведені дослідження слугували базою для створення сейсмостратиграфічної моделі СЛП Південного регіону України.

В результаті аналізу отриманих даних було встановлено деякі закономірності, які притаманні регіону;

- до границь СЛП приурочено протяжні високоінтенсивні горизонти відбиття, які мають региональне розповсюдження;
- горизонти відбиття, що є граничними між КССК з близьким літологічним складом відкладів характеризуються низькими амплітудами та обмеженим розповсюдженням по площі;
- хвильові картини залежать від літологічного складу, а не віку та глибини залягання відкладів;
- хвильові картини та просторові форми подібні в межах СЛП, які утворились в однакових геодинамічних умовах;
- в межах інтервалів розвитку глиняних або соляних діапірів та масивів палеовулканів зафіксовано близькі хвильові картини;

- до зон тектонічних порушень приурочено зони бугристого рисунка сейсмічного запису.

4. Вперше визначено сейсмостратиграфічні критерії, за якими на часових розрізах виділяються тектонічні порушення різного типу (скиди, підкиди, насуви, гравігенно-тектонічні зриви).

До головних критеріїв виділення скидових дислокацій відносяться:

- переривання горизонтів відбиття, зміщення осей синфазності та флексуроподібних вигинів через розрив в сторону скинутого крила, від'ємна кривизна границь у скинутому крилі, відсутність перегину у піднесеному, затухання розриву уверх по розрізу, виположування площини скидача з глибиною;
- для конседиментаційних скидів – різке збільшення часової товщини і повний розріз відкладів в опущених крилах та клиноподібне зменшення у піднесеному, збільшення кількості горизонтів відбиття в опущеному крилі порівняно з піднесеним;
- для постседиментаційних скидів – однакова часова товщина сейсмостратиграфічних одиниць в обох крилах;
- для поверхтових скидів – послідовне припинення простеження відбиттів вище площини зриву, лінійновитягнута зона інтерпретаційного запису, погіршення простеження відбиттів нижче порушення.

До головних критеріїв виділення підкидів та насувів відносяться:

- для січних (ремпи) підкидів – переривання відбиттів та зміна додатної кривизни границь на від'ємну; наявність у піднесеному крилі асиметричних антиклінальних складок та складної хвильової картини; від'ємна кривизна границь у скинутому крилі, нахил площини розриву в сторону піднесеного крила і виположування його з глибиною;
- для поверхтових (флети) – наявність лінійновитягнутої зони інтерференційного запису; розриви і антиклінальні перегини горизонтів вище та незмінна хвильова картина нижче розриву;

- для насувів – наявність січної та поверхневої складових, виположування площини розриву в сторону кореню насуву, складна хвильова картина в головних частинах алохтонів і відносно проста в панцирі покриву та автохтоні, рефракція в зоні розриву, наявність тилових складок;

До головних критеріїв виділення гравігенно-тектонічних розривів слід віднести:

- зміну рисунка сейсмічного запису в зоні порушення з незмінного у незаторкнутих товщах на бугристий або хаотичний;
- зміна кривизни границь в зоні порушення та наявність інтерференційного запису;
- різке виположування площини розриву на рівні дестачменту;
- наявність антиклінальних складок в головних частинах пластин.

При вивченні порушень інверсійного типу необхідно виділяти ділянки субповерсткових і січних розривів, вивчати форми і асиметрію структур, аналізувати рисунок сейсмічного запису і товщини в різних крилах.

5. Уточнено геологічну будову східної централізованої Північнокримського рифтогенного прогину. Вперше побудовано структурні карти масштабу 1:500000 по горизонтах відбиття IIIa ( $P_1$ під.), IVa ( $K_1$ покр.), IV $b_2$  ( $K_1$ під.) в межах усього прогину на яких знайшли своє відображення елементи, що характеризують його як рифт:

- бортові палеоскиди (Південнобортовий і Причорноморський);
- блоки різної тетичності центрального грабену;
- південний і північний борти;
- масиви палеовулканів.

Виділено відклади різних етапів розвитку рифту - дорифтові (СЛП VI-T, КССК IV $b_1$ - $b_2$  СЛП IV-BT), синрифтові (КССК IV а-б), перехідні (КССК IIIв-г) та синеклізні (КССК IIIa-IIIa).

6. Встановлено, що дорифтовий, синрифтовий та перехідний комплекси несуть на собі переважно сліди розтягнення, синеклізний – як плікативних, так і

диз'юнктивних дислокаций, що суттєво впливає на розподіл нафтогазоперспективних об'єктів у розрізі та по площині прогину.

7. Вперше розроблено сейсмостратиграфічну класифікацію нафтогазоперспективних структур (НГПС) у відкладах крейдового віку Північної Кримського прогину з розподілом за етапами розвитку прогину (дорифтовий, довулканогенна фаза синрифтового, вулканогенна фаза синрифтового, переходний, синеклізний).

Визначено основні принципи розміщення НГПС у розрізі та по площині рифту:

- у відкладах дорифтового та довулканогенної фази синрифтового етапів головними НГПС є тектонічно-екрановані пастки різного типу, які розвинуто в межах Каркінітського, Глібівського, Голицинського, Тендрівського, Рилеєвського, Октябрського, Шмідтівського, Тетянівського, Каркінітсько-Сиваського, Тарханкутського та Південноголицінського блоків;
- у відкладах вулканогенної фази головні перспективи пов'язано з антиклінальними структурами облікання та зонами налягання порід-колекторів на масиви палеовулканів в межах Серебрянського, Сиваського, Михайлівського, Тарханкутського, Приосьового, Південношмідтівського, Південнобортового, Тетянівського, Північнотарханкутського блоків;
- антиклінальні лінійновитягнуті НГПС та зони підвищеної тріщинуватості вапняків розвинуті у відкладах вулканогенної фази синрифтового (сеноман), переходного та синеклізного етапів. Основні перспективи пов'язано з Глібівським, Голицинським, Шмідтівським, Михайлівським, Рилеєвським, Тарханкутським, Октябрським, Сиваським, Південношмідтівським, Каркінітським, Каркінітсько-Сиваським, Тендровським, Східносиваським, Красногвардійським блоками;
- пастки, пов'язані з русловими фаціями палеорічок, розвинуті в межах Красногвардійського, Слав'янського (неоком) та Каркінітського (верхній альб) блоків;

- в межах бортів розвинуті малоамплітудні, літологічно-екрановані та пастки, пов'язані з розвитком руслових фацій.

8. В зв'язку з різною ступеню вивченості та нерівномірністю розповсюдження НГПС по площі рифту, напрямки їх пошуків в різних частинах прогину різні:

- в межах суходольної частини центрального грабену пропонується виконати деталізаційні сейсмічні (МСГТ) та електророзвідувальні (ЗСБ) дослідження на 24 площах, загальним обсягом 1550 пог.км профілів МСГТ та 150 пог.км профілів ЗСБ;
- в межах північного борту пропонується провести комплексні регіональні геофізичні роботи (МСГТ та КМТЗ) загальним обсягом 600 пог.км;
- в межах південного борту необхідно виконати пошукові геофізичні дослідження (МСГТ та ЗСБ) в обсязі 700 пог.км;
- в межах морської частини пропонується провести регіональні роботи МСГТ (3000 пог.км);
- в межах “перехідних зон” Тарханкутського півострова виконати 1300 пог.км. профілів за методикою мілководної сейсморозвідки;

9. Практичне впровадження результатів проведених досліджень, надає змогу виявити та підготувати до буріння нафтогазоперспективні структури у відкладах нижньої крейди Північнокримського прогину, а також наростили вуглеводневу ресурсну базу за рахунок відкриття покладів, пов'язаних з пастками різного типу. Це забезпечить стабільний видобуток вуглеводнів на території суходолу Кримського півострова, Північного Причорномор'я та північно-західного шельфу Чорного моря.

## СПИСОК ВИКОРИСТАНИХ ДЖЕРЕЛ

Вид видання	Бібліографічний опис джерела
1	2
Складова частина збірника	1. Соколов Д.В. Некоторые данные по геологии восточной части горного Крыма. Крым № 1 (3), - 1927.
Складова частина збірника	2. Моисеев А.С. Основные черты строения Горного Крыма. Тр. Ленинградского общества естествоиспытателей, 1935, Т.14, Вып.1, - С. 15-29.
Складова частина збірника	3. Моисеев А.С. К геологии юго-западной части главной гряды Крымских гор. Материалы по общей и прикладной геологии. Геолком, Вып.39, Л., - 1930
Складова частина журналу	4. Герасимов М.Е., Кривченков Б.С. О структурно-литологических этажах (СЛЭ) осадочного чехла юга Украины. Геофизический журнал, Научная мысль, 1986, №2, - С. 93-99.
Складова частина журналу	5. Пивоваров В.Л. Качественная геологическая интерпретация новой гравитационной карты Горного Крыма. Сборник "Вопросы теории и практики геологической интерпретации гравитационных, магнитных и электрических полей". Воронеж, изд-во Воронежского университета, - 1998, - С. 202-211.
Монографія, два автори	6. Лебедев Т.С., Оровецкий Ю.П. Физические свойства и вещественный состав изверженных пород Горного Крыма. Киев, - 1969, - 200 с.

1	2
Монографія, п'ять та більше авторів	7. Питомо-геологическая характеристика осадочного покрова нефтегазоносных провинций СССР, Справочник под редакцией Авчаряна Г.М., Озёрской М.Л. М., Недра, - 1985, - 192 с.
Складова частина журналу	8. Голіздра Г.Я., Попович В.С., Татаринова Т.А. Методика комплексной интерпретации сейсмических наблюдений и гравитационных аномалий при изучении осадочной толщи Причерноморской впадины. Геофизический журнал №2, 1995,- С. 23-30.
Збірник наукових праць	9. Прогноз поисков нефти и газа на юге УССР и на прилегающих акваториях. Под редакцией чл.-кор. АН УССР, проф. Глушко В.В. и проф. Максимова С.П. М., Недра,- 1981, - 240 с. (УкрНИГРИ, Труды, Вып. XXX)
Складова частина збірника	10. Фохт К.К. Средняя юра юго-западной части Крыма. Отчет Геологического комитета за 1909г. Известия Геолкома 1910, Т.24, №1, -74 с.
Складова частина журналу	11. Герасимов М.Е., Кривченков Б.С. О структурно-литологических этажах (СЛЭ) осадочного чехла юга Украины. Геофизический журнал, Научная мысль, 1989, №2, - С. 93-99.
Монографія, один автор	12. Муратов М.В. Краткий очерк геологического строения Крымского полуострова. М., Госгеолтехиздат, - 1960,- 207 с.
Монографія, один автор	13. Муратов М.В. Скифская плита. Объяснительная записка к Международной карте Евразии м-ба 1:250 000. М.,- 1964, - 112 с.

1	2
Багатотомні видання	14. Муратов М.В. Тектоника и история развития альпийской геосинклинальной области юга Европейской части СССР и сопредельных стран. Тектоника СССР, Т.11, - 1949
Багатотомні видання	15. Муратов М.В. Возраст и происхождение складок Керченского полуострова. Геология СССР. Т.8, Крым, Часть 1, Геологическое описание. М., Недра, - 1969,- С. 392-397.
Складова частина журналу	16. Муратов М.В. Тектоническая структура и история развития областей, отделяющих Русскую платформу от горных сооружений Крыма и Кавказа. Советская геология, - 1955, №48,- С. 33-65.
Складова частина журналу	17. Муратов М.В., Бондаренко В.Г., Плахотный Л.Г., Черняк Н.И. Строение складчатого основания Равнинного Крыма. Геотектоника,- 1968, №4, - С. 54-69.
Складова частина збірника	18. Лычагин Г.А. Геологическое строение и история развития Керченского полуострова. АН УССР. Инст.минер.ресурсов, Вып. I, Симферополь, - 1957, - С. 11-34.
Складова частина збірника	19. Лычагин Г.А. Геологическое строение и история развития равнинной части Крыма. Тр ВНИГРИ, - 1958, №12, - С. 166-191.
Монографія, один автор	20. Бурштар М.С. "Геология и нефтегазоносность Предкавказья и Крыма". Л., - 1960, - 215 с.
Складова частина журналу	21. Дикенштейн Г.Е. Тектоника Степного и Предгорного Крыма. Сов.геолог, - 1957, №59, - С. 116-129.

1	2
Монографія, один автор	22. Чекунов А.В. Структура земной коры и тектоника юга Европейской части СССР. Киев, "Наукова думка", - 1972, - 236 с.
Монографія, один автор	23. Чекунов А.В., Веселов А.А., Гилькман А.И. Геологическое строение и история развития Причерноморского прогиба. К., Наукова думка, - 1976, - 161 с.
Монографія, п'ять та більше авторів	24. Литосфера Центральной и Восточной Европы. Обобщение результатов исследований (Отв.ред. Чекунов А.В.). Киев, Наукова думка, - 1993, - 258 с.
Складова частина збірника	25. Соллогуб В.Б. Тектоника передовых прогибов Альпийской области и сопредельных районов Европейской части СССР. Киев, изд. АН УССР, - 1960, - С. 3-92.
Складова частина журналу	26. Соллогуб В.Б., Соллогуб Н.В. Строение земной коры Крымского полуострова. Сов.геология, - 1977, №3, - С. 85-93.
Складова частина журналу	27. Соллогуб В.Б. Литосфера Украины. Киев, Наук.думка, - 1986, - 184 с.
Складова частина журналу	28. Борисенко Л.С. Геолого-тектонические условия генерации землетрясений Азово-Черноморского региона. Геофизический журнал, - 1990, Т.12, №3
Монографія, один автор	29. Казанцев Ю.В. Тектоніка Крима. М., Наука, - 1982,- 111 с.
Монографія, п'ять та більше авторів	30. Казанцев Ю.В., Казанцева Т.Т., Аржавитина М.Ю., Аржавитин П.В., Бехер Н.И., Терехов А.А., Попович С.В. Структурная геология Крыма. Уфа, БНЦ УрО АН СССР,- 1989, - 152 с.

1	2
Складова частина журналу	31. Герасимов М.Е. Надвиговый характер мегаантеклиниория Горного Крыма и сейсмичность Керченского полуострова. Геофизический журнал, Т.13, - 1991, - С. 34-41.
Монографія, один автор	32. Хайн В.Е., Ломидзе М.Е. Геотектоника с основами геодинамики. М., изд.МГУ,- 1995, - 480 с.
Монографія, один автор	33. Хайн В.Е., Короновский Н.В., Ясаманов Н.А. Историческая геология. Учебник, М., Изд. МГУ, - 1997, - 448 с.
Багатотомні видання	34. Зоненшайн Л.П., Кузьмин М.И., Наташев Л.М. Тектоника литосферных плит территории СССР в двух томах. М., Недра, - 1990,- С. 328, 334.
Складова частина журналу	35. Печерский Д.М., Сафонов В.А. Палинспастическая реконструкция положения Горного Крыма в средней юре – раннем мелу на основе палеомагнитных данных. Геотектоника, - 1993, №1,- С. 96-105.
Тези доповідей	36. Тихоненков С.П. Геодинамика и сейсмотектоника Крыма. Тезисы докл. XIV конгр. КБГА, София, - 1989, - С. 998-1000.
Складова частина журналу	37. Юдин В.В. Предгорная сутура Крыма. Геологічний журнал, - 1995, №3-4, - С. 56-61.
Складова частина журналу	38. Юдин В.В. Палеогеодинамика Крыма, прилегающих акваторий и территорий. Геологічний журнал, - 1996, №3-4, - С. 115-119.
Складова частина журналу	39. Юдин В.В. Новая модель геологического строения Крыма. Природа, - 1994, №6, - С. 28-31.

1	2
Складова частина збірника	40. Юдин В.В., Герасимов М.Е. Критика тектонических концепций Крыма. Геодинамика Крымско-Черноморского региона (Сб. м-лов конф.). Симферополь, - 1997, - С. 4-11.
Складова частина збірника	41. Юдин В.В., Герасимов М.Е. Геодинамическая модель Крымско-Черноморского региона (сб. м-лов конф.). Симферополь, - 1997, - С. 16-23.
Складова частина збірника	42. Юдин В.В., Герасимов М.Е. Новейшая геодинамика и сейсмогенные зоны Крыма. Известия Крымской Академии наук, 1998, №6. Специальный выпуск. АРК, - С. 10-12.
Складова частина збірника	43. Бондарчук Г.К., Герасимов М.Є. Рифтогенні прогини Азово-Чорноморського регіону: геологічна будова і перспективи нафтогазоносності. Проблемы геодинамики и нефтегазоносности Черноморско-Каспийского региона. Сборник докладов на V Международной конференции "Крым-2003". Симферополь, 2004, - С. 40-48.
Тези доповідей	44. Герасимов М.Е., Бондарчук Г.К., Кольцов С. В., А. І. Терешкун. Разновозрастный рифтогенез и формирование структур тангенциального сжатия как главный фактор высоких перспектив нефтегазоносности южного региона Украины. Матеріали міжнародної науково-технічної конференції «Прикладна геологічна наука сьогодні: здобутки та проблеми» Київ, 5-6 липня 2007р. – К., 2007 – С. 20-22.

1	2
Складова частина збірника	45. Юдин В.В. Конвергентные структуры Азово-Черноморского региона. В сб. Теоретичні та прикладні проблеми нафтогазової геології. Наукове видання в 2-х томах, Київ, ИГННАУ, - 2000, Т.ІІ, - С. 98-102 .
Складова частина збірника	46. Юдин В.В. Предскифийский краевой прогиб в геодинамической интерпретации. В сб.: Геодинамика и нефтегазоносные структуры Черноморско-Каспийского региона Сборник докладов III Международной конференции "Крым-2001". Симферополь, "Таврия-Плюс", - 2001, - С.177-183.
Складова частина збірника	47. Герасимов М.Е., Бондарчук Г.К., Юдин В.В. О новых подходах к нефтегазогеологическому районированию Азово-Черноморья с геодинамических позиций. Сырьевые ресурсы Крыма и прилегающих акваторий (нефть и газ). Материалы конференции "Тектоника и нефтегазоносность Азово-Черноморского региона в связи с нефтегазоносностью пассивных окраин континентов". Приложение к научно-практическому дискуссионно-аналитическому сборнику "Вопросы развития Крыма". Симферополь "Таврия-Плюс", - 2001, - С. 5-18.
Складова частина журналу	48. Герасимов М.Е. О геодинамике и нефтегазоносности Черноморского региона. Геология нефти и газа, - 1995, - С. 4-11.

1	2
Складова частина збірника	49. Герасимов М.Е., Бондарчук Г.К., Скорик А.Н. Закономерности образования, пространственного размещения структур и перспективы нефтегазоносности Южного региона Украины. Геодинамика и нефтегазоносные структуры Черноморско-Каспийского региона. Сборник докладов IV Международной конференции "Крым-2002". Симферополь, - 2003, - С. 61-70.
Складова частина збірника	50. Герасимов М.Е., Бондарчук Г.К., Федорук В.Ф., Кольцов С.В. Основные закономерности глубинного строения южного региона Украины и перспективы нефтегазоносности Черноморско-Каспийского региона. Проблемы геодинамики и нефтегазоносности Черноморо-Каспийского региона Сборник докладов V Международной конференции "Крым-2003". Симферополь, - 2004, - С. 68-80.
Звіт про науково-дослідну роботу	51. Бондарчук Г.К. Звіт по темі "Вивчення і переінтерпретація геофізичних матеріалів півдня України і виявлення особливостей геологічної будови суші і континентального шельфу". КП "Південського геоцентр", Сімферополь, - 2004, - 154 с.
Складова частина збірника	52. Юдин В.В. Симферопольский меланж. Доклад Росс. АН, 1993, Т.333, №2, - С. 250-252.
Звіт про науково-дослідну роботу	53. Кольцов С.В. та ін. Регіональні сейсморозвідувальні роботи в межах Причорномор'я і Криму. Новоолексіївська с/п 257/99, Кн.І – Текст звіту, Кн.ІІ – Графічні додатки, КГФЕ "Кримгеофізика", Сімферополь, - 2002, - 114 с.

1	2
Звіт про науково-дослідну роботу	54. Бондарчук Г.К., Герасимов М.Є. та ін.. Звіт за темою "Деталізація геологічної будови півдня України до рівня локальної складчастості виявлення ділянок зміни літології, виклинування регіональних комплексів з виділенням зон розповсюдження та окремих пасток неантріальногого типу". Сімферополь, 2002, - 121 с.
Складова частина збірника	55. Герасимов М.Є., Бондарчук Г.К., Скорик А.М., Кольцов С.В., Федорук В.Ф., Дякович П.І. Тектонічна карта півдня України з позицій актуалістичної геодинаміки. "Геодинамика, сейсмичность и нефтегазоносность Черноморско-Каспийского региона". Сборник докладов на VI Международной конференции "Крым-2005". Симферополь, Доля, - 2006, - С.11-40.
Тези доповідей	56. Герасимов М. Є., Бондарчук Г.К, Кольцов С. В., Скорик А. П. Особенности интерпретации данных сейсморазведки МОГТ при сочетании разновозрастных структур растяжения, сдвига и тангенциального сжатия. Нефть и газ юга России, Черного, Азовского и Каспийского морей – 2007/ Тезисы докладов. IV Международная конференция по проблеме нефтегазоносности черного, Азовского и Каспийского морей – Геленджик, ГНУ ФГУГП (Южморгеология», 2007, стр. 125-129.
Багатотомні видання	57. Геология СССР, Т.8. Крым. Часть 1. Геологическое описание, ред. Муратов М.В. М., Недра,- 1969, - 575 с.

1	2
Складова частина збірника	58. Герасимов М.Е., Бондарчук Г.К., Юдин В.В. и др. Дивергентные структуры Азово-Черноморского региона. Сборник "Актуальні проблеми нафтогазової геології". Київ,- 2000, - С. 100-107.
Складові частини збірника	59. Герасимов М.Е., Очеретин В.И., Керусов Э.Н., Мех Т.И. Состояние сейсмостратиграфических исследований в ПГО "Крымгеология". Сборник "Сейсмостратиграфические исследования при поисках месторождений нефти и газа". Кн.1, Москва, - 1990, - С. 62-75.
Складові частини журналу	60. Герасимов М.Е., Алиев О.Г., Щеголихин А.Ю. Роль скоростной характеристики осадочного чехла в определении положения очаговых зон землетрясений. Геофизический журнал, - 1992, Т.14, №1, - С. 87-93.
Монографія, один автор	61. Авербух А.Г. Изучение состава и свойств горных пород при сейсморазведке. М., Недра, - 1982, - 232 с.
Збірник наукових праць	62. Кунин Н.Я., Кучерук Е.В. Сейсмостратиграфия в решении проблем поиска и разведки месторождений нефти и газа, "Месторождения горючих полезных ископаемых" (Итоги науки и техники ВНИГИ АН СССР). 1984, Т.13, -198 с.
Складова частина журналу	63. Бондаренко В.Г., Скорик А.М., Кольцов С.В. Органогенні побудови у верхньокрейдових відкладах Рівнинного Криму. Геологія і геохімія горючих копалин, № 6, - 2002
Монографії, два автори	64. Dunbar C.O., Rodgers Y. Principles of stratigraphy. New York. John Wiley and Sons, - 1957, - 356 с.

1	2
Перекладні видання	65. Вейл П.Р., Митчем Р.М. и др. Использование морфологии отражающих волн при стратиграфической интерпретации сейсмических материалов (пер.с англ.). Москва, Недра, - 1979, - 280 с.
Перекладні видання	66. Митчем Р.М., Вейл П.Р., Томпсон С. Осадочный комплекс как основная единица при стратиграфическом анализе. "Сейсмическая стратиграфия" (пер.с англ.). Т.1, М., Мир,- 1982
Монографія, п'ять та більше авторів	67. Богаец А.Т., Дейнега Б.И., Саменецкий А.Е. и др. Прогноз поисков нефти и газа на юге УССР и на прилегающих акваториях. М., Недра, 1981, - 237 с.
Монографія, п'ять та більше авторів	69. Геология шельфа УССР. Стратиграфия (под ред. Тесленко Ю.В.). Киев, Наукова думка, - 1984, - 183 с.
Звіт пр науково-дослідну роботу	70. Полухтович Б.М. Анализ и обобщение результатов геологоразведочных работ на мезозойско-палеозойские отложения Преддобруджинского прогиба и выдача рекомендаций по направлениям дальнейших работ. Львов, - 1992, - 215 с.
Монографія, чотири автора	71. Гнідець В.Т., Григорук Г.К., Полухтович Б.М., Федишин В.О. Літогенез девонських відкладів Придобруджинського прогину (палеоокеанографія седиментаційно-циклічність, формування порід-колекторів). К., УкрДГРІ, - 2003,- 96 с.
Монографія, один автор	72. Бондаренко В.Г. Петрография и строение складчатого основания Равнинного Крыма, Харьков, - 1972, - 118 с.

1	2
Монографія, один автор	73. Слюсарь Б.С. Юрские отложения северо-западного Причерноморья. Кишинев, "ИТИИНЦА", - 1971, - 238 с.
Звіт про науково-дослідну роботу	74. Полухтович Б.М., Самарский Л.Д. и др. Отчет по теме "Зональный прогноз нефтегазоносности юрских отложений Преддобруджинского прогиба. Львов, - 1987, - 77 с.
Монографія, один автор	75. Грачёв А.Ф. Рифтовые зоны Земли. Л., Недра, - 1977, - 246 с.
Складова частина збірника	76. Спиридов Э.М., Федоров Т.О., Ряховский В.М. Магматические образования Горного Крыма. Статья 1, Бюлл. МОИП, 1990, Т.65, Вып. 4, 119-132 с; статья 2, Бюлл. МОИП, 1990, Т.65, Вып.6, - С. 102-113.
Монографія, один автор	77. Юдин В.В. Геология Крыма на основе геодинамики. Научно-методическое пособие для учебной практики. Сыктывкар, РАН, Коми НЦ УрО, СГУ, - 2000, - 43 с.
Складова частина журналу	78. Герасимов М.Е., Бондарчук Г.К., Скорик А.Н., Цёха О.Г., Федорук В.Ф. Современные региональные структуры юга Украины: эволюция их формирования и нефтегазоносный потенциал. Геодинамика и нефтегазоносные системы Черноморско-Каспийского региона Сборник докладов III Международной конференции "Крым-2001". Симферополь "Таврия-Плюс", - 2001, -С. 40-41.

1	2
Складова частина журналу	79. Кольцов С.В. Узагальнена характеристика фізичних властивостей гірських порід і обґрунтування стратиграфічного рівня основних відбиваючих границь в осадовому чохлі Півдня України. Івано-Франківськ. Вища школа. Видавництво при Івано-Франківському університеті, - 2006 - №2(14) – С.26-31. Науковий вісник Івано-Франківського національного технічного університету нафти і газу.
Складова частина збірника	80. Герасимов М.Е., Кольцов С.В., Омельченко В.Я., Москальская С.В., Ивановский А.И. Задачи и возможности сейсморазведки в южном регионе Украины. Геодинамика и нефтегазоносные системы Черноморско-Каспийского региона. Сборник докладов III Международной конференции "Крым-2001". Симферополь "Таврия-Плюс", -2001, - С. 32-35.
Монографія, два автора	81. Павлюк М.І., Богаєць О.Т. Тектоніка і формації області зчленування Східно-Європейської платформи і Скіфської плити. Київ, Наукова думка, -1978,- 147 с.
Монографія, один автор	82. Логвиненко Н.В. Морская геология. Л., Недра, - 1980, - 343 с.
Складова частина збірника	83. Слюсарь Б.С., Ларченко Е.П. Формационная зональность палеозоя Преддобруджья. Тектоника и стратиграфия, - 1986, Вып.27, - С. 59-63.
Складова частина збірника	84. Герасимов М.Е., Кольцов С.В., Федорук В.Ф., Стасула В.Н., Бондарчук Г.К. Новые данные сейсморазведки МОГТ – основа современных представлений о глубинном строении юга Украины.

1	2
	Сырьевые ресурсы Крыма и прилегающих акваторий (нефть и газ): Материалы конференции "Тектоника и нефтегазоносность Азово-Черноморского региона в связи с нефтегазоносностью пассивных окраин континентов. Приложение к научно-практическому дискуссионно-аналитическому сборнику "Вопросы развития Крыма". Симферополь, "Таврия-Плюс", - 2001,- С. 19-25.
Перекладні видання	85. Кеннет Дж.П. Морская геология, в 2-х т. (пер.с англ.). М., Мир, - 1987, Т.1-397 с., Т.2, - 383 с.
Складова частина журналу	86. Богаец А.Т., Бойчук Г.В., Дригант Д.М. и др. Новые данные о триасовых отложениях Преддобруджинского прогиба. Геологический журнал, - 1982, №6, - С. 97-102.
Звіт про науково-дослідну роботу	87. Москальський О.Т. та ін. Пошуково-детальні і регіональні сейсмороботи в межах Білоліського припіднятого блока і Нижньо-Дністровської площа (роботи Нижньо-Дністровської сейсмопартії 219/91), КГФЕ, Сімферополь, - 1992
Складова частина збірника	88. Дулуб В.Г., Іванова В.Р., Полухтович Б.М., Туркевич Є.В. Про розвиток тріасових утворень в межах рік Прут-Дністер. Сырьевые ресурсы Крыма и прилегающих акваторий (нефть и газ): Материалы конференции "Тектоника и нефтегазоносность Азово-, Черноморского региона в связи с нефтегазоносностью пассивных окраин континентов".

1	2
	Приложение к научно-практическому дискуссионно-аналитическому сборнику "Вопросы развития Крыма". Симферополь, "Таврия-Плюс", - 2001, - С.35-40.
Складова частина журналу	89. Кольцов С.В., Герасимов М.Є., Москальська С.В., Євстегнєєва Ю.В. Відображення на сейсмічних даних структур розтягу та стиснення. Розвідка та розробка нафтових і газових родовищ, - 2002, № 4(5), - С.38-44.
Складова частина збірника	90. Тополюк В.В., Победаш М.С., Стovba C.M., Самойлюк А.П., Радул Р.К. Особливості будови поверхні підсольових девонських відкладів у Дніпровсько-Донецькій западині за даними сейсмічних досліджень. Прикладні проблеми нафтогазової геології. Київ,- 2000, Том II, - С. 84-90.
Перекладні видання	91. Хеллем Э. Интерпретация фаций и стратиграфическая последовательность (пер. С англ.). М., Мир, - 1983, - 297 с.
Монографія, п'ять та більше авторів	92. Геология шельфа УССР. Киев, Наукова думка, - 1985,- 192 с.
Звіт про науково-дослідну роботу	93. Москальська С.В. та ін. Звіт по виконанню аналізу та зонального узагальнення геолого-геофізичних даних в межах Грівіцейської, Каланчакської та Придунайської тектонічних пластин Придобруджинського прогину, Кн.I – Текст звіту, Кн. II – Графічні додатки, КГФЕ "Кримгеофізика", Сімферополь, - 2004, - 105 с.

1	2
Складова частина збірника	94. Орловская-Турчина Г.А., Плахотный Л.Г., Савицина А.А., Черняк Н.И. О возрасте нижних горизонтов осадочного чехла Присивашья в районе Геническа - Ново-Алексеевки, Бюлл. МОИП, отд.геол., - 1968, Т.XLIII, (5),- С. 52-57.
Складова частина журналу	95. Соллогуб В.Б. Некоторые данные о глубинном строении земной коры Степного Крыма. Геофизический сб., - 1975, Вып.68, - С. 15-55 .
Складова частина журналу	96. Кольцов С.В. Степанюк В.П. Відображення літодинамічних комплексів Північнокримського прогину на матеріалах сейсморозвідки МСГТ. Розвідка та розробка нафтових і газових родовищ – 2006 - №4 (21) – С. 54-61.
Складова частина журналу	97. Плахотний Л.Г., Бондарчук Г.К., Павлюк М.І., Скорик А.М., Кольцов С.В., Палінська Ю.А. Каркінітсько-Сиваське палеопідняття, його генеза та роль в пізньоальбській седиментації Півдня України. Геологія і геохімія горючих копалин №3, - 2004, - С. 55-74.
Складова частина збірника	98. Герасимов М.Е., Бондарчук Г.К., Скорик А.Н., Федорук В.Ф., Омельченко В.Я., Кольцов С.В. Особенности геодинамической эволюции Южного и Западного нефтегазоносных регионов Украины. Геодинамика и нефтегазоносные системы Черноморско-Каспийского региона. Сборник докладов III Международной конференции "Крым-2001". Симферополь, "Таврия-Плюс", -2001, -С. 29-32.

1	2
Складова частина збірника	99. Кольцов С.В., Герасимов М.Е., Тесленко В.П. Неантиклинальные ловушки в отложениях олигоцена и эоцена в районе Днепрово-Бугского лимана в связи с их возможной нефтегазоносностью. "Геодинамика, сейсмичность и нефтегазоносность Черноморско-Каспийского региона". Сборник докладов на VI Международной конференции "Крым-2005". Симферополь, Доля, - 2006, - С. 61-66.
Звіт про науково-дослідну роботу	100. Герасимов М.Є. та ін. Звіт по темі "Аналіз та узагальнення геолого-геофізичних даних по Причорноморсько-Кримській НГО". КГФЕ "Кримгеофізика", Сімферополь,- 2005, - 195 с.
Складова частина збірника	101. Герасимов М.Е., Кольцов С.В., Ивановский А.И., Дивак Т.М., Дрягина Т.В., Кузьмина О.И. Закономерности формирования нефтегазоперспективных структур Индоло-Кубанского прогиба на примере Владиславовско-Харченковской антиклинальной зоны. Проблемы геодинамики и нефтегазоносности Черноморо - Каспийского региона. Сборник докладов V Международной конференции "Крым-2003". Симферополь, - 2004, - С. 80-90.
Звіт про науково-дослідну роботу	102. Івановський А.І. та ін. Звіт про пошуково-детальні роботи в межах Владиславівсько-Харченківської антиклінальної зони (Приморська монокліналь). Кн. I – Текст звіту, Кн. II – Графічні додатки, КГФЕ "Кримгеофізика", Сімферополь, - 2003, - 185 с.

1	2
Звіт про науково-дослідну роботу	103. Івановський А.Й. Звіт про виконання повторної обробки і інтерпретації сейсморозвідувальних даних в межах Насирсько-Актаської зони Індоло-Кубанського прогину. Кн.І – Текст звіту, КГФЕ "Кримгеофізика", Сімферополь, - 2003, - 114 с.
Складова частина журналу	104. Кольцов С.В. Виділення тектонічних розривів скидової кінематики за сейсмічними даними. Розвідка та розробка нафтових і газових родовищ – 2007 - №1 (22) – С. 95-103.
Звіт про науково-дослідну роботу	105. Кротенко Ю. С., Беляєва А.И и др. Отчет о результатах сейсморазведки (МОВ, МРНП и др.) на Королевской, Булганакской, Тамбовской и Карлавской площадях (работы Королевской 206/71 и Булганаккой 207/71 сейсмопартий и Крымской тематической партии 214/70-72), КГФЭ, Симферополь, - 1973, - 286с
Звіт про науково-дослідну роботу	106. Мень А. А., Черкашин В. В и др. Отчет о сейсморазведке в северо-западной части Тарханкутского полуострова (Работы Черноморской 201/71, Межводненской 202/71 и Каштановская 203/71 сейсморазведочных партий), КГФЭ, Симферополь, - 1972, - 310с
Звіт про науково-дослідну роботу	107. Амиров А.Н., Ивановский А.И. и др. Отчет о результатах изучения скоростной характеристики среды в Причерноморско-Крымской нефтегазоносной провинции и опытно-методических работах на территории Крымского полуострова (Работы Крымской сейсмокаротажной партии 207/77, КГФЭ, Симферополь, - 1978, - 202с.

1	2
Звіт про науково-дослідну роботу	108. Черкашин В.В., Островский В. И и др. Отчет о поисковых и детальных исследованиях МОГТ в Равнинном Крыму и Северном Причерноморье (работы Воронковской 213/82, Орловской 214/82 и Новофедоровской 220/82 сейсмопартий) КГФЭ, Симферополь, - 1983, - 241с
Звіт про науково-дослідну роботу	109. Москальский А. Т., Тулинский Н. И., Кривошай В. И., Перич М. Я. Отчет о поисковых и детальных сейсмических исследованиях СОГТ на Калчевской, Червоноармейской, Валя-Пержайской и Западно-Новоселовской площадях Придобруджинского прогиба (работы Червоноармейской сейсморазведочной партии 234/83). КГФЭ, Симферополь, - 1984, - 125с
Звіт про науково-дослідну роботу	110. Москальский А. Т., Крамаренко Л. Д., Тулинский Н. И., Кривошай В. И. и др. Отчет о результатах поисковых и детальных сейсмических исследований СОГТ на Болградской, Банновской, Лошиновской и Килийской площадях Придобруджинского прогиба (работы Суворовской сейсморазведочной партии 233/83), КГФЭ, Симферополь, - 1984, - 121с
Звіт про науково-дослідну роботу	111. Тулинский Н. И., Москальский А. Т., Перич М. Я., Кривошай В.И., Кудаева В.П. и др. Отчет о результатах поисковых и детальных сейсмических исследований МОГТ на Сарыярской, Розовской, Ярославской, Восточно-Саратской,

1	2
	Долинской, Кантемировской, Белолесской и Желтоярской площадях Придобруджинского прогиба (работы Долинской сейсморазведочной партии 260/85). КГФЭ, Симферополь, - 1986, - 98с.
Звіт про науково-дослідну роботу	112. Москальский А. Т., Керусова Т. Н., Кривошев В. И., и др. Отчет о результатах опытно-производственных поисковых сейсмических исследований МОГТ на Светлодолинской и Джаларской площадях южного склона Восточно-Европейской платформы и Придобруджинского прогиба (работы Светлодолинской сейсморазведочной партии 270/86). КГФЭ, Симферополь, - 1987, - 119с
Звіт про науково-дослідну роботу	113. Москальский А. Т., Кудаева В. П., Романенко Т.А., Боровская А. И. и др. Поисково-детальные и регионально-детализационные сейсмограммы на Павловской, Адамовской, Балабановской, Приморской, Новоселовской, Курортной, Бурнакской, Широковской и Рыбальской площадях. Отчет Павловской сейсмопартии 293/88 о результатах сейсморазведки МОГТ масштаба 1:50000, проведенных в 1988-1989г.г. КГФЭ, Симферополь, - 1989г, - 124с
Монографія, один автор	114. Ярошевский В. Тектоника разрывов и складок. Перевод с польского. М., Недра, - 1981, - 245 с.
Складова частина журналу	115. Пейве А.В. Разломы и тектонические движения. Геотектоника, - 1967, №5, - С. 8-24.

1	2
Складова частина іноземного журналу	116. Harding T.P. Lowell J.D. Structural Styles, theiz plate-tectonic habitats, and hydrocarbon traps in petroleum provinces AA PG Bull, 63, - С. 1016-1058, - 1979
Монографії, один автор	117. Буянов Н.И. Структурная и полевая геология. М., Гостоптехиздат, - 1958, - 194 с.
Монографії, один автор	118. Лук'янов А.В. Структурные проявления горизонтальных движений земной коры. М., Наука, - 1965, - 283 с.
Монографії, один автор	119. Михайлов А.Е. Структурная геология и геологическое картирование. М., Недра, - 1984,- 254 с.
Монографії, один автор	120. Кузин А.М. О роли разрывных напряжений как механизма поддержания геодинамической стабильности. М.,- 2003, - 342 с
Складова частина збірника	121. Клужин С.В. Отображение периодов активизации тектонической деятельности в динамике сейсмических волн. Доклад АН БССР, Т.XXIX, №10, - 1985, - С. 931-933.
Монографія, один автор	122. Пузирёв Н.Н. Интерпретация данных сейсморазведки методом отраженных волн. М., Гостоптехиздат, - 1959
Монографія, два автори	123. Гурвич И.И., Боганик Г.Н. Сейсмическая разведка, Учебник для ВУЗов – 3-е изд., перераб. М., Недра, - 1980, - 551 с.
Монографія, п'ять та більше авторів	124. Интерпретация данных сейсморазведки. Справочник, п.73, под редакцией Потапова О.А. М., Недра, - 1990, - 448 с.

1	2
Монографія, три автори	125. Вольвовский Б.С., Кунин Н.Я., Терехин Б.Н. Краткий справочник по полевой геофизике. М., Недра,- 1977, - 391 с.
Перекладні видання	126. Шерифт Р., Гелдарт В. Сейсморазведка. В 2-х томах, Т.2, Перевод с англ. М., Мир,- 1987,- 400 с.
Монографія, один автор	127. Campbell F.F. Fault criteria geophysics, 30, - 1965, - 976 с.
Складова частина збірника	128. Герасимов М.Е., Юдин В.В. и др. К вопросу тектонического районирования Южного региона с геодинамических позиций. Материалы конференции "Тектоника и нефтегазоносность Азово-Черноморского региона". Симферополь,- 1999, - С. 17-21.
Звіт про науково-дослідну роботу	129. Москальская С.В. та ін. "Сейсморозвідувальні роботи МСГТ на Рилеєвській, Борисівській, Північній, Бакальській і Масловській площах Причорноморсько-Кримської НГО. С/п 256/01. Кн.І – Текст звіту, Кн.ІІ – Графічні додатки, КГФЕ "Кримгеофізика", Сімферополь,- 2005, - 178 с.
Складова частина збірника	130. Соллогуб В.б., Чекунов А.В., Павленкова Н.Н., Хупинский А.Р. Глубинное строение земной коры вдоль меридионального пересечения Черное море-Воронежский массив. Геологический сборник, Вып. 10, - 1966, - С. 46-58.
Монографії, п'ять та більше авторів	131. Гаркаленко И.А., Пустыльников М.Р., Славин В.И., Соллогуб В.Б., Чекунов А.В. Геофизические исследования и тектоника юга Европейской части СССР. Киев, Наукова думка, - 1969, - 247 с.

1	2
Монографія четири автори	132. Маєвський Б.Й., Лозинський О.Є., Гладун В.В., Чепіль П.М. Прогнозування, пошуки та розвідка нафтових і газових родовищ. Київ “Наукова думка” - 2004, – 446с.
Монографія три автори	Маєвський Б.Й., Євдощук М.І., Лозинський О.Є. Нафтогазоносні провінції світу. Київ «Наукова думка» 2002, - 403с.
Складова частина журналу	134. Шахновский И.М. Строение и нефтегазоносность рифтогенных структур. Геология нефти и газа №4, - 1996, - С.19-25.
Складова частина збірника	135. Кольцов С.В. Герасимов М.Е., Сайганов А.Э. Комплексирование сейсморазведки МОГТ и электроразведки ЗСБ при изучении литодинамически разных нефтегазоперспективных комплексов Западного, Восточного и Южного регионов Украины//Геодинамика, сейсмичность и нефтегазоносность Черноморско-Каспийского региона/Международная научная конференция- Симферополь, 2006,-С. 150-159.
Складова частина збірника	136. Захарчук Степан, Мельничук Петро, Полухтович Богдан, Федишин Володимир, Федун Олег. Нафтогазовий потенціал морських акваторій України і стратегія його освоєння. “Геодинамика, сейсмичность и нефтегазоносность Черноморско- Каспийского региона». Сборник докладов на VI Международной конференции «Крым 2005», Симферополь, Доля, 2006, - С. 49-56.

1	2
Складова частина збірника	137. Мельничук Петро, Полухтович Богдан, Федишин Володимир. Пріоритети геологорозвідувальних робіт в акваторії Чорного моря. «Геодинамика и нефтегазоносные структуры Черноморско-Каспийского региона». Сборник докладов IV Международной конференции Крым – 2002. Симферополь 2003, - С. 197-202.
Автореферат дисертації	138. Мельничук П.М. Особливості геологічної будови і перспективи нафтогазоносності нижньокрейдових відкладів північно-західного шельфу Чорного моря. Івано- Франківськ 2005, - 22с.

## Умовні позначення до рисунків 4.1 - 4.3, 4.5, 5.2, 5.3

## ДОДАТОК А

	Ізогеїси горизонту відбиття IVб <sub>2</sub> (К, під.)
	Ізогеїси горизонту відбиття IVа (К, покр.)
	Ізогеїси горизонту відбиття IIIа(Р, під.)
	Інверсійні тектонічні порушення підкідо-насувної кінематики в зоні палеоскидів, які обмежують крупні тектонічні елементи
	Тектонічні порушення підкідо-насувної кінематики в зонах палеоскидів
	Тектонічні порушення підкідо-насувної кінематики
	Імовірна зона зсуву
	Тектонічні порушення скидової кінематики
	Контури палеовулканів на рівні підошви крейди (Рис.4.1)
	Контури палеовулканів на рівні покрівлі крейди (Рис. 4.2)
	Зона відсутності відкладів еоцен-палеоцену
	Зона виходу на денну поверхню відкладів крейди
	Номер свердловини, площа -866 Абсолютна відмітка підошви крейди
	Номер свердловини, площа -1162 Абсолютна відмітка покрівлі крейди
	Номер свердловини, площа -1484 Абсолютна відмітка підошви палеогену

### I Причорноморський мегапрогин

Ia Південноукраїнська монокліналь  
Ib Північнокримський рифтогенний прогин

### Блоки антитетичного типу:

1-Голицинський, 2-Тендерівський, 3-Шмідтівський,  
4-Тетянівський, 5- Рилесвський, 6-Октябрський

### Блоки горстового типу:

7-Каркінітський, 8-Глібівський

### Грабени:

9-Михайлівський, 10-Тарханкутський, 11-Північно-Тарханкутський,  
12-Серебрянський, 13-Сиваський, 14-Каркінітський,  
21-Східносиваський

### Блоки гомотетичного типу:

15-Красногвардійський, 16-Південнобортовий, 17-Приосовий,  
18-Південношмідтівський, 19-Південноголицинський,  
20-Слав'янський

### Ig Середньоазовське підняття

### II Нижньопрутсько-(Придунайсько-Кримське) мегапідняття:

IIa Гірськокримська складчасто-насувна споруда (за В.В. Юдиним)  
IIb Центральнокримське підняття  
IIg Іллічівське підняття

### Заломлюючі граници, які приурочені до відкладів верхньої крейди:

V<sub>r</sub>=3.6-5.2km/c

V<sub>r</sub>=4.0-4.2km/c

V<sub>r</sub>=5.6km/c

I, II, III V<sub>r</sub>=3.2-5.8km/c (верхня крейда)

### Заломлюючі граници за даними КМЗХ:

V<sub>r</sub>=5.3-6.0km/c (юрські відклади)

I(T) в тріасових відкладах

в покрівлі проміжного комплексу

V<sub>r</sub>=5.7-6.2km/c (палеозойський фундамент)

V<sub>r</sub>=5.9-6.5km/c (палеозойський фундамент?)

V<sub>r</sub>=5.8-6.4km/c (докембрійський фундамент)

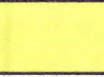
### Перелік структур до рис. 4.3

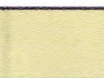
- |                      |                      |
|----------------------|----------------------|
| (1) Зх-Дністровська  | (31) Центральна      |
| (2) Дністровська     | (32) Сх-Центральна   |
| (3) Сундучна         | (33) Зх-Каламитська  |
| (4) Мала             | (34) Каламитська     |
| (5) Безіменна        | (35) Пн-Шмідта       |
| (6) Ювілейна         | (36) Шмідта          |
| (7) Світла           | (37) Сх-Шмідта       |
| (8) Одеська          | (38) Чорноморська    |
| (9) Осетрова         | (39) Оленьовська     |
| (10) Кулісна         | (40) Карлавська      |
| (11) Зональна        | (41) Родніковська    |
| (12) Маріїнська      | (42) Краснополянська |
| (13) Крайова         | (43) Глібівська      |
| (14) Комсомольська   | (44) Зх-Октябрська   |
| (15) Флангова        | (45) Октябрська      |
| (16) Північна        | (46) Мелова          |
| (17) Біостромна      | (47) Пд-Бортова      |
| (18) Голицина        | (48) Мирновська      |
| (19) Пд-зх Голицина  | (49) Задорненська    |
| (20) Пд-Голицина     | (50) Тендерівська 2  |
| (21) Осіння          | (51) Тендерівська 1  |
| (22) Зх-Гамбурцева   | (52) Тендерівська    |
| (23) Гамбурцева      | (53) Якірна          |
| (24) Штормова        | (54) Сх-Каркінітська |
| (25) Сельського      | (55) Пд-Каркінітська |
| (26) Архангельського | (56) Джанкойська     |
| (27) Штильова        |                      |
| (28) Прибійна        |                      |
| (29) Зх-Кримська     |                      |
| (30) Кримська        |                      |

## Умовні позначення до рисунків 5.2 - 5.3

ДОДАТОК Б

Зони розвитку переважаючих типів нафтогазоперспективних структур

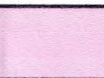
 антиклінальні та зони підвищеної тріщинуватості вапняків

 НГПС, пов'язані з масивами палеовулканів

 тектонічно-екрановані, літологічні та літолого-стратиграфічні

 тектонічно-екрановані, літологічні, літолого-стратиграфічні та НГПС, пов'язані з палеоруслами

 антиклінальні, зони підвищеної тріщинуватості та НГПС, пов'язані з масивами палеовулканів

 тектонічно-екрановані, антиклінальні зони підвищеної тріщинуватості

 тектонічно-екрановані, антиклінальні зони підвищеної тріщинуватості, НГПС, пов'язані з палеоруслами

### I Причорноморський мегапрогин

Ia Південноукраїнська монокліналь  
Ib Північнокримський рифтогенний прогин

### Блоки антитетичного типу:

1-Голицинський, 2-Тендерівський, 3-Шмідтівський,  
4-Тетянівський, 5-Рилєєвський, 6-Октябрський

### Блоки горстового типу:

7-Каркінітський, 8-Глібівський

### Грабени:

9-Михайлівський, 10-Тарханкутський, 11-Північно-Тарханкутський,  
12-Серебрянський, 13-Сиваський, 14-Каркінітський,  
21-Східносиваський

### Блоки гомотетичного типу:

15-Красногвардійський, 16-Південнобортовий, 17-Приосьовий,  
18-Південношмідтівський, 19-Південноголицинський,  
20-Слав'янський

### Ig Середньоазовське підняття

### II Нижньопрутсько-(Придунайсько-Кримське) мегапідняття:

IIa Гірськокримська складчасто-насувна споруда (за В.В. Юдиним)  
IIb Центральнокримське підняття  
IIg Іллічівське підняття

## Перелік родовищ:

- I - Одеське (Kz)
- II - Безіменне (Kz)
- III - Голицинське (Kz)
- IV - Штормове (Kz)
- V - Південноголицинське (Kz)
- VI - Архангельське (Kz)
- VII - Кримське (Kz)
- VIII - Шмідтівське (Kz)
- IX - Оленівське (Mz-Kz)
- X - Чорноморське (Kz)
- XI - Міжводненське (Kz)
- XII - Ярилацьке (Kz)
- XIII - Глібівське (Kz)
- XIV - Задорненське (Kz)
- XV - Карлавське (Kz- Mz)
- XVI - Краснополянське (Kz)
- XVII - Західно-Октябрське (Mz)
- XVIII - Октябрське (Mz)
- XIX - Серебрянське (Mz)
- XX - Тетянівське (Mz)
- XXI - Джанкойське (Kz)
- XXII - Стрілкове (Kz)
- XXIII - Приазовське (Kz)

### Проектні ділянки геофізичних досліджень

 регіональні профілі МСГТ

 регіональні профілі МСГТ та КМТЗ

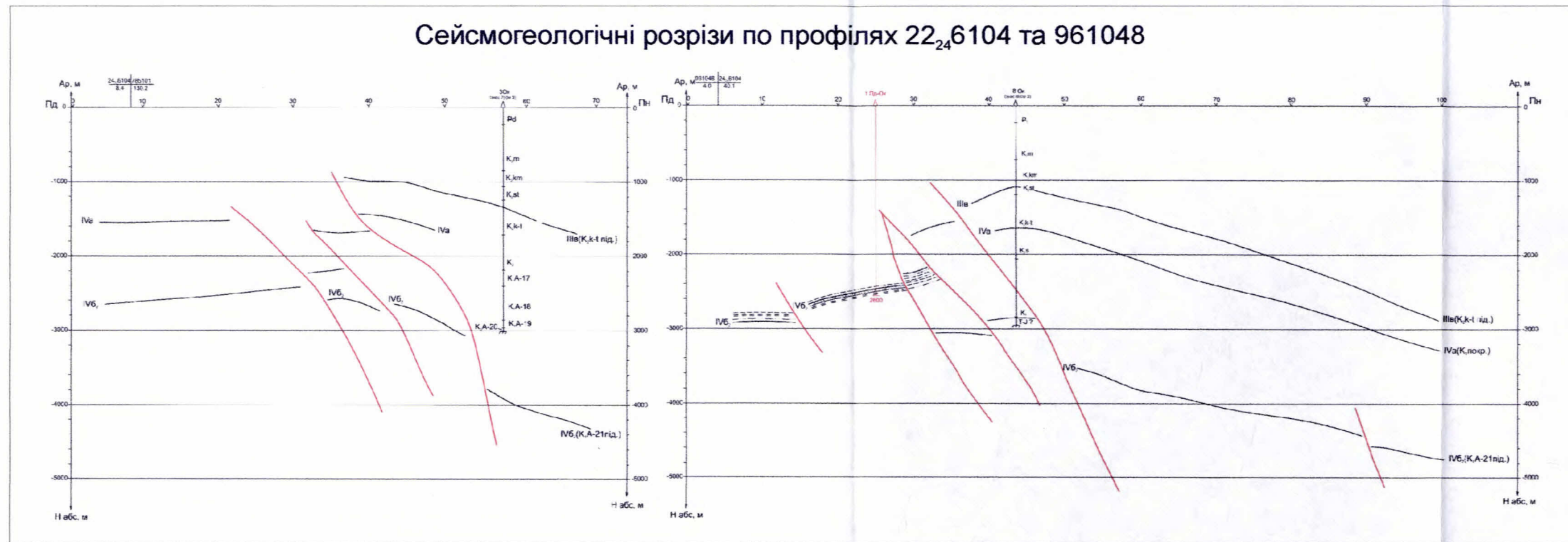
 пошукові роботи МСГТ

 пошукові роботи МСГТ та ЗСБ

 пошукові роботи МСГТ в "перехідних" зонах

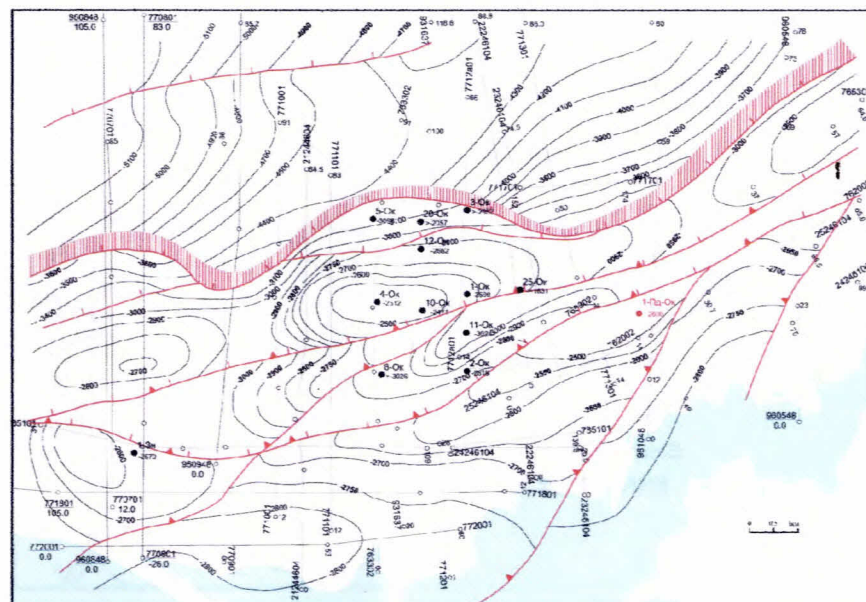
## ДОДАТОК В

Сейсмогеологічна модель Південно-Октябрської нафтогазоперспективної структури  
Склад С.В. Кольцов, С.В. Москальська, за матеріалами КГФЕ “Кримгеофізика”, 2006



## Структурна карта горизонту відбиття IV<sub>б</sub><sub>2</sub>(К<sub>1</sub>під.) поблизу підошви крейди

### Умовні позначення:



## Профілі сейсморозвідки МСГТ:

### Ізогіпси горизонту відбиття IV<sub>b</sub><sub>2</sub>(К<sub>1</sub>під.)

## Тектонічні порушення:

Скид

## Насув в зоні палеоскиду

Насув

Проектна свердловина

## Свердловини глибокого буріння

1 Ок Номер свердловини, площа  
-2590 Абсолютна відмітка підошви відкладів нижньої крейди

**IV6<sub>2</sub>(К,А-21під.)** \_\_\_\_\_

## Горизонти відбиття

## Перетин профілів

#### **Opinions**

іскорки

Линии

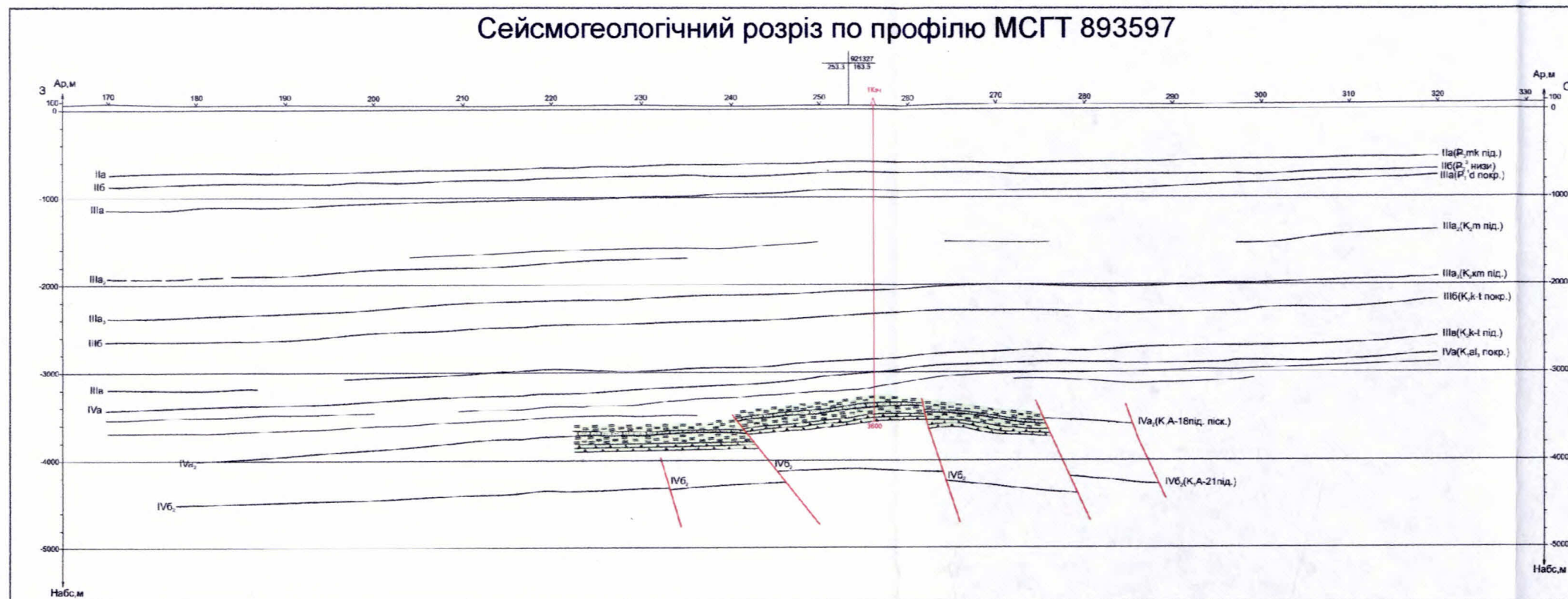
## Левроліти

## Рекомендована свердловина

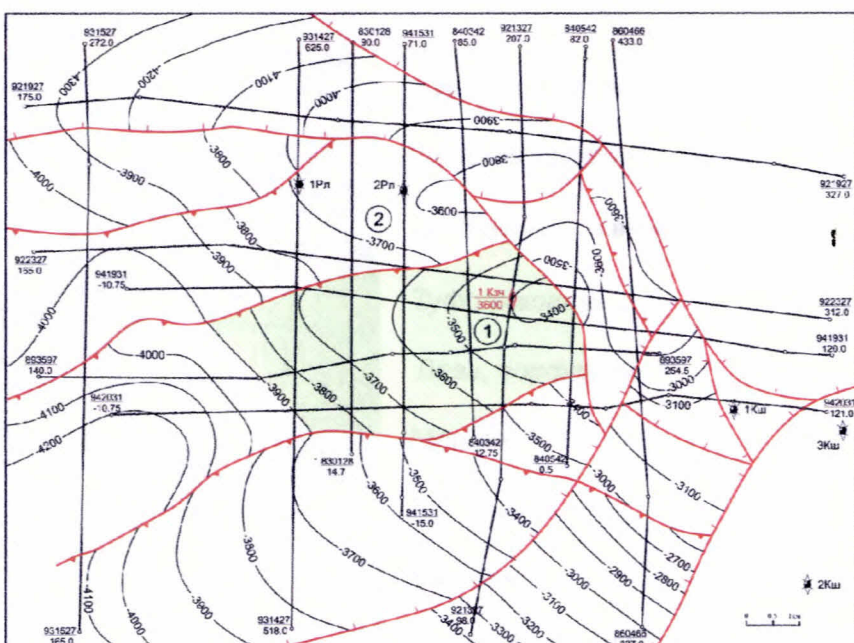
## Свердловина тибокого буріння

Сейсмогеологічна модель Козачої нафтогазоперспективної структури  
Склад С.В. Кольцов, С.В. Москальська за матеріалами КГФЕ "Кримгеофізика", 2005

ДОДАТОК Д

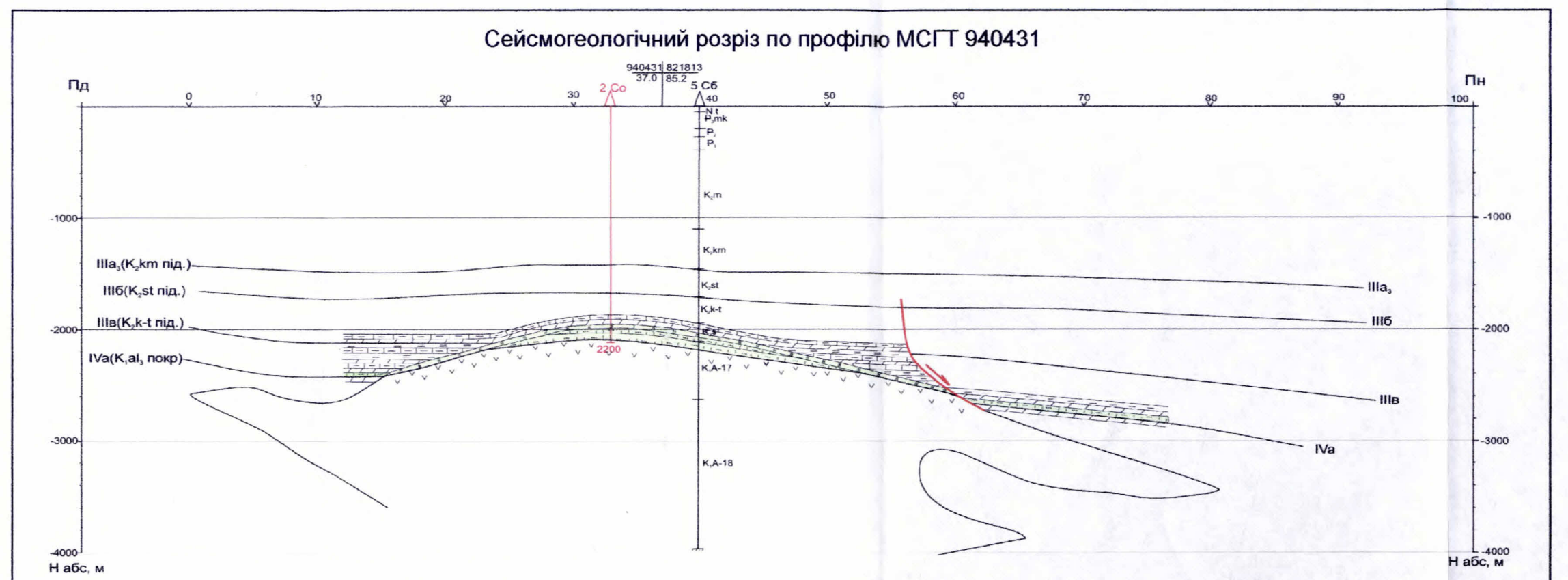


Структурна карта горизонту відбиття  
IVa<sub>2</sub>(K<sub>1</sub>A-18 під.піск.) у відкладах верхнього альбу

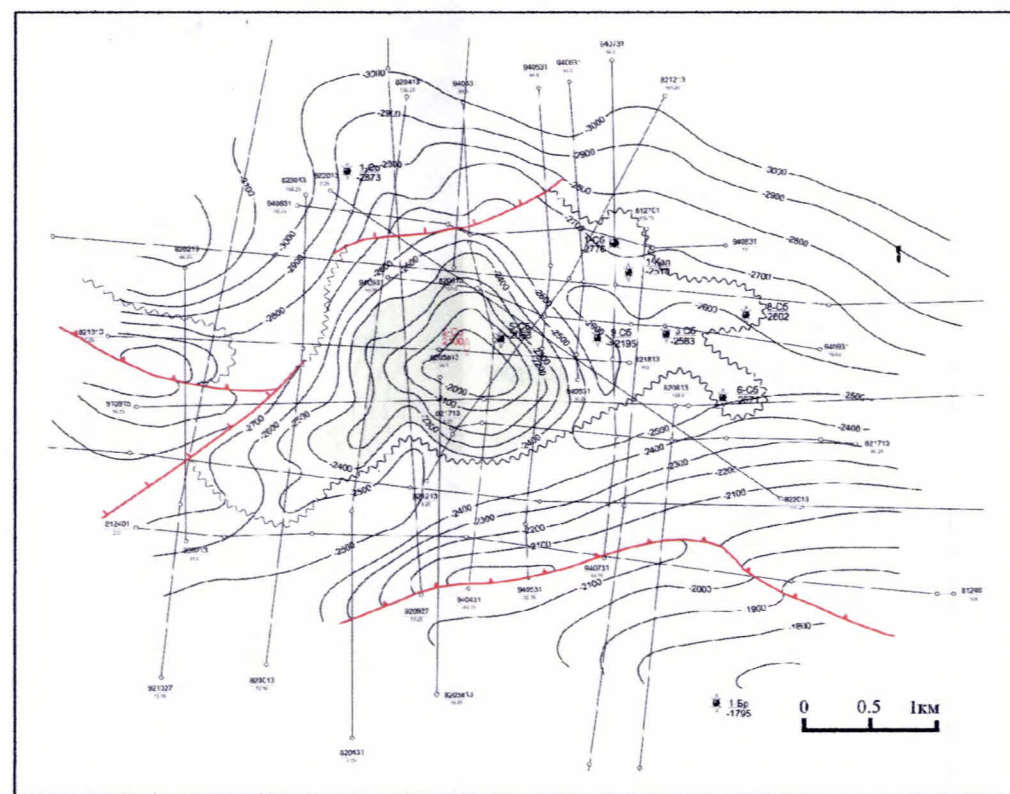


**Сейсмогеологічна модель Соколинської нафтогазоперспективної структури**  
Склад С.В. Кольцов, С.В. Москальська за матеріалами КГФЕ "Кримгеофізика", 2006

ДОДАТОК Е



Структурна карта горизонту відбиття  
IVa(K<sub>1</sub> al<sub>3</sub>покр.) у відкладах нижньої крейди

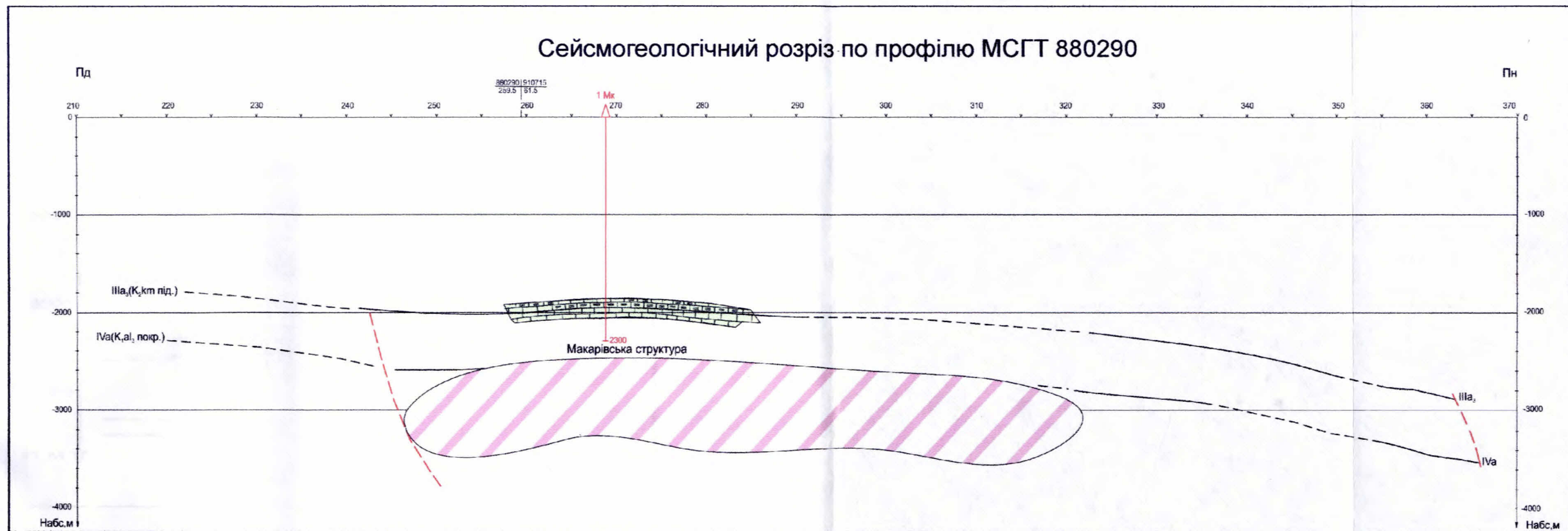


Умовні позначення:

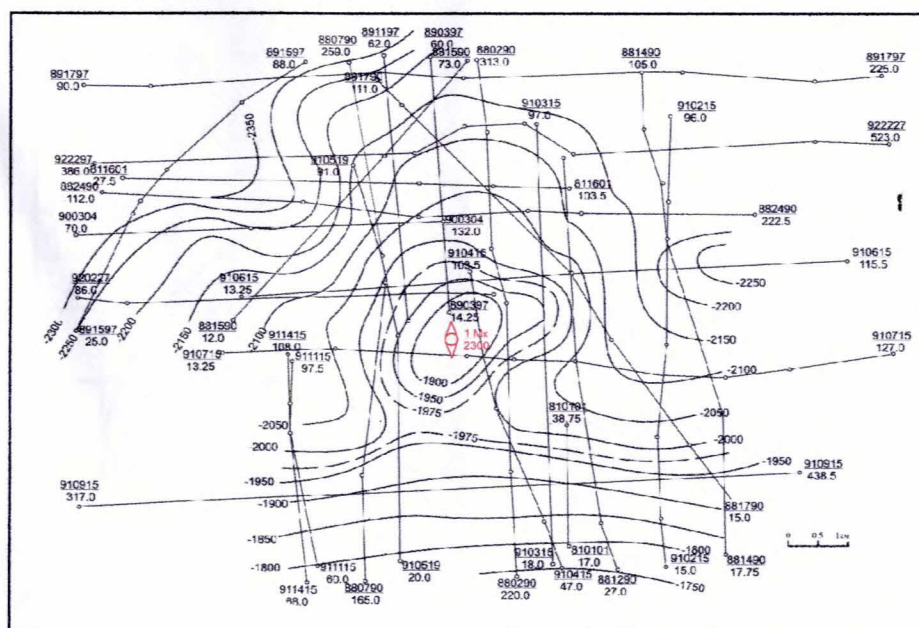
—○—	Профілі сейсморозвідки МСГТ	IVa	Горизонти відбиття
—○—	Ізогами горизонту відбиття IVa(K <sub>1</sub> al <sub>3</sub> покр.)	921327 253.3 163.5	Перетин профілів
~~~~~	Границі ефузивних утворень на рівні горизонту відбиття IVa(K <sub>1</sub> al <sub>3</sub> покр.)		Кора вивітрювання
—	Скиди		Туфорісовики
—▲—	Підкідо-насуви		Лава, порфірити
● ●	Свердловини: 1-параметричного 2-пошукового буріння		Мергелі
5 Сб -2063	Номер свердловини, площа		Аргіліти
△ 2 Co 2100	Абсолютна відмітка покрівлі відкладів альбу		Вапняки
	Номер рекомендованої свердловини, площа		Вапняки глинисті
	Рекомендована глибина		Тектонічне порушення
		2 Co	Рекомендована свердловина

## ДОДАТОК Ж

Сейсмогеологічна модель Макарівської нафтогазоперспективної структури  
Склад В.В. Черкашин, О.Т. Москальський за матеріалами КГФЕ "Кримгеофізика", 1996



Структурна карта горизонту відбиття  
IIIa<sub>3</sub>(K<sub>2</sub> km під.) у відкладах верхньої крейди



## Умовні позначення:

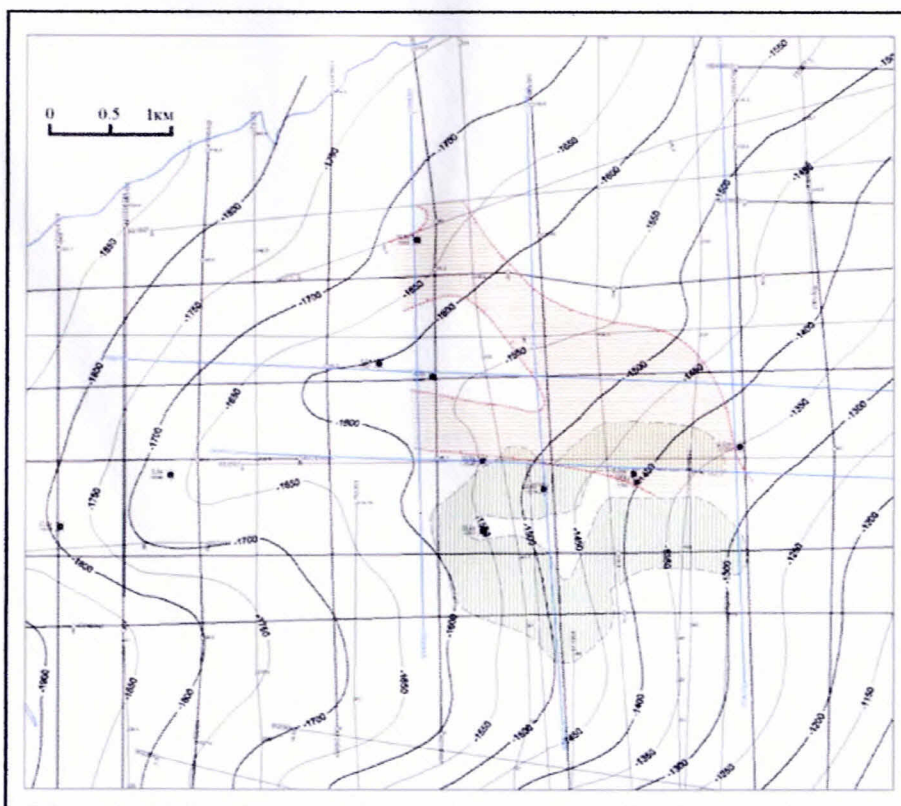
- |  |                                                                        |  |                                         |
|--|------------------------------------------------------------------------|--|-----------------------------------------|
|  | Профілі сейсморозвідки МСГТ                                            |  | Вапняки                                 |
|  | Ізогіпси горизонту відбиття IIIa <sub>3</sub> (K <sub>2</sub> km під.) |  | Глинисті вапняки                        |
|  | Горизонти відбиття                                                     |  | Рекомендована свердловина               |
|  | Імовірне тектонічне порушення                                          |  | 1 Mk                                    |
|  | Первомайський палеовулкан                                              |  | 2300                                    |
|  |                                                                        |  | Номер рекомендованої свердловини, площа |
|  |                                                                        |  | Рекомендована глибина                   |

## ДОДАТОК 3

**Сейсмогеологічна модель Бакальської площини**  
**Склад С.В. Москальська та В.В. Левченко за матеріалами КГФЕ "Кримгеофізика", 2006**



Структурна карта горизонту відбиття IIIa<sub>1</sub>(P<sub>1</sub>'d під.)



**Умовні позначення:**

- Профілі сейсморозвідки МСГТ 2001-2002 р.
  - Профілі сейсморозвідки МСГТ минулих років
  - Профілі електророзвідувальних спостережень ЗСБ
  - 1500 Ізогіпси горизонту відбиття IIIa<sub>1</sub>(P<sub>1</sub>'d під.)
  - Контур АХП "тъмяна пляма" у відкладах маастрихту (K<sub>2</sub>т-верхи), імовірно, пов'язаної з розповсюдженням тріщинуватих вапняків
  - Контур зони підвищеної тріщинуватості відкладів верхньої крейди за даними ЗСБ
  - Свердловини:
    - 1-пошукового
    - 2-розвідувального буріння
  - 10 Бк Номер свердловини, площа
  - 1546 Абсолютна відмітка підошви відкладів палеоцен-дату
- |  |                                         |
|--|-----------------------------------------|
|  | Тектонічне порушення                    |
|  | Горизонти відбиття                      |
|  | Вапняки                                 |
|  | Глинисті мергелі                        |
|  | Зона підвищеної тріщинуватості вапняків |
|  | Свердловина глибокого буріння           |
|  | Припливи:                               |
|  | - нафти                                 |
|  | - нафти та газу                         |
|  | - газу                                  |